

**65659**

**1-AMINO-5-BENZOİL-4-FENİL-1H-PİRİMİDİN-2-ON / -2-TİYON  
NÜKLEOFİLLERİNİN, 1,3-DİKARBONİL BİLEŞİKLERİ VE BAZI  
REAKTİFLERLE REAKSİYONLARININ  
İNCELENMESİ**

**Tezi Hazırlayan  
Zülbiye ÖNAL**

**Tez Yöneticisi  
Doç. Dr. Behzat ALTURAL**

**Erciyes Üniversitesi  
Fen Bilimleri Enstitüsü'ne  
KİMYA Anabilim Dalı'nda Doktora  
Tezi Olarak Sunulmuştur**

**T.C. YÜKSEKOĞRETİM KURUMU  
TEMmuz-1997 UMANTASYON MERKEZİ  
KAYSERİ**

Erciyes Üniversitesi  
Fen Bilimleri Enstitüsü Müdürlüğü'ne,

Bu çalışma, jürimiz tarafından KİMYA Anabilim Dalı'nda DOKTORA TEZİ olarak kabul edilmiştir.

28/09/1992

BAŞKAN : Prof. Dr. Yunus Akçamur E. nnes /  
ÜYE : Prof. Dr. Refik Özkan Genel Doç.  
ÜYE : Doç. Dr. Behzat Altıvar B. Altıvar

ONAY:

Yukardaki imzaların adı geçen öğretim üyelerine ait olduğunu onaylarım.

28/09/1992



## ÖZGEÇMİŞ

Adı Soyadı	: Zülbiye ÖNAL
Ana Adı	: Ayşe
Baba Adı	: Yaşar
Doğum Yeri ve Tarihi	: Kayseri-1969

İlk ve ortaokuldan sonra, 1984 yılında Kayseri Aydınlıkewler Lisesi'ni, 1989 yılında Erciyes Üniversitesi Fen-Edebiyat Fakültesi Kimya Bölümü'nü bitirdi. 1990 yılında aynı fakültenin Organik Kimya Anabilim Dalı'na Araştırma Görevlisi olarak atandı. 1992 yılında, Erciyes Üniversitesi Fen Bilimleri Enstitüsünde Yüksek Lisansını tamamlayarak, aynı enstitüde, 1993 yılında Doktora Programı'na başladı. Evli ve bir çocuk annesidir.

## **TEŞEKKÜR**

Çalışmalarım sırasında, her türlü maddi ve manevi desteğini esirgemeyen değerli hocam Sayın Prof. Dr. Yunus AKÇAMUR'a ve tez çalışmamın danışmanlığını yürüten, değerli hocam Sayın Doç. Dr. Behzat ALTURAL'a en içten teşekkürlerimi sunarım.

Laboratuvar çalışmalarım sırasında her türlü destek gördüğüm Yrd. Doç. Dr. Emin SARİPINAR'a, Yrd. Doç. Dr. İsmail YILDIRIM'a, Doç. Dr. Yahya GÜZEL'e, çalışmalarımda sentezleri gerçekleştirilen, bileşiklerin elementel analizlerinin yapılmasında yardımını esirgemeyen Araş. Gör. İlhan Özer İLHAN'a, Araş. Gör. Murat SARAÇOĞLU'na ve bu ana gelmemde, bana maddi ve manevi destek veren kıymetli eşim Mehmet Ali ÖNAL'a, oğlum DOĞUKAN'a, sevgili anneme, babama ve kardeşlerime teşekkür ederim. Tez yazımı sırasında yardımını gördüğüm, bölüm sekreteri Nurten ÇIKILI' ya da teşekkür ederim. Ayrıca bu çalışmalarımı destekleyen ERCİYES ÜNİVERSİTESİ ARAŞTIRMA FONU BAŞKANLIĞI'na teşekkürlerimi sunarım.

## ÖZET

Bu çalışmada 1-amino-5-benzoil-4-fenil-1H-pirimidin-2-on (**2**) ve -tiyon (**3**) bileşiklerindeki amino grubunun preparatif kimya açısından reaktifliğinin araştırılması amaçlanmıştır.

Çalışmamızda (**2**) ile, bazı 1,3-dikarbonil bileşiklerinin reaksiyonları yapılarak; 1-(5-benzoil-4-fenil-2-okso-1,2-dihidro-pirimidinil)-1-fenil-2-benzoiletен, 1-(5-benzoil-4-fenil-2-okso-1,2-dihidro-pirimidinil-amino)-1-p-metoksifenil-2-p-metoksibenzoiletен, 1-(5-benzoil-4-fenil-2-okso-1,2-dihidro-pirimidinil-amino)-1-metil-2-asetiletен, 1-(5-benzoil-4-fenil-2-okso-1,2-dihidro-pirimidinil-amino)-1-p-metilfenil-2-p-metilbenzoiletен, 1-(5-benzoil-4-fenil-2-okso-1,2-dihidro-pirimidinil-amino)-1-p-metilfenil-2-benzoiletен, 5-benzoil-1-(indan-3-on-1-iliden-amino)-4-fenil-pirimidin-2-on, 3-(5-benzoil-4-fenil-2-okso-1,2-dihidro-pirimidinil-amino)-1-etoksi-1-okso-ethylketimin, N-(5-benzoil-4-fenil-2-okso-1,2-dihidro-pirimidinil) ftalimid, N-(5-benzoil-4-fenil-2-okso-1,2-dihidro-pirimidin-1-il) asetamid bileşikleri elde edilmiştir. Ayrıca (**3**) bileşiği ile de benzer reaksiyonlar yapılmıştır.

Çalışmamızın diğer kısmında (**2**) ve ile fenil- ve p-metil-fenilizotiyosiyanat, benzalasetofenon, siyanoasetikasit, benzil, benzoin, asetil- ve benzoilklorür bileşiklerinin reaksiyonları yapılarak sırasıyla; 1-(5-benzoil-2-okso-4-fenil-1,2-dihidro-pirimidin-1-il)-3-fenil-tiyoüre, 1-(5-benzoil-2-okso-4-fenil-1,2-dihidro-pirimidin-1-il)-3-p-metilfeniltiyoüre, 1-(5-benzoil-2-tiyokso-4-fenil-1,2-dihidro-pirimidin-1-il)-3-p-metilfenil-karbodiimid, N-(5-benzoil-4-fenil-2-okso-1,2-dihidro-pirimidinil-amino)-1,3-difenil-2-etenilketimin, 3-(5-benzoil-4-fenil-2-okso-1,2-dihidro-pirimidinil-amino)-3-imino-propanoikasit, 1-(5-benzoil-4-fenil-1,2-dihidro-pirimidinil-amino)-1,2-difenil-1-hidroksi-2-oksoetan, N-(5-benzoil-4-fenil-2-okso-1,2-dihidro-pirimidin-1-il)-benzamid, 5-benzoil-4-fenil-1-(2-fenil-3-benzoil-4,5-diokso-pirrol-1-il)-pirimidin-2(H)-on bileşikleri sentez edilmiştir.

Sentezlenen bileşiklerin yapıları, elementel analiz, IR,  $^1\text{H-NMR}$  ve  $^{13}\text{C-NMR}$  spektrumları yardımıyla açıklanmıştır

## ABSTRACT

In this study, the reactivity of the amino group on the compounds, 1-amino-5-benzoyl-4-phenyl-1H-pyrimidine-2-on (**2**) and -thion (**3**) were investigated.

In our study, the compounds of 1-(5-benzoyl-4-phenyl-2-oxo-1,2-dihydro-pyrimidinyl-amino)-1-phenyl-2-benzoylethen, 1-(5-benzoyl-3-phenyl-2-oxo-1,2-dihydro-pyrimidinyl-amino)-1-p-methoxyphenyl-2-p-methoxybenzoylethen, 1-(5-benzoyl-4-phenyl-2-oxo-1,2-dihydro-pyrimidinyl-amino)-1-methyl-2-acetyl-ethen, 1-(5-benzoyl-4-phenyl-2-oxo-1,2-dihydro-pyrimidinyl-amino)-1-p-methylphenyl-p-methylphenylethen, 1-(5-benzoyl-4-phenyl-2-oxo-1,2-dihydro-pyrimidinyl-amino)-1-p-methylphenyl-2-benzoylethen, 5-benzoyl-1-(indan-3-on-1-yliden-amino)-4-phenyl-pyrimidin-2-on, 3-(5-benzoyl-4-phenyl-2-oxo-1,2-dihydro-pyrimidinyl-amino)-1-ethoxy-1-oxo-ethylketimine, N-(5-benzoyl-4-phenyl-2-oxo-1,2-dihydro-pyrimidinyl)phthalimide, N-(5-benzoyl-4-phenyl-2-oxo-1,2-dihydro-pyrimidine-1-yl)-acetamid were obtained from the reactions some of 1,3-dicarbonyl by making with (**2**). Furthermore similar reactions have been made with (**3**) compound.

In another parts our study, the compounds of 1-(5-benzoyl-2-oxo-4-phenyl-1,2-dihydro-pyrimidine-1-yl)-3-phenyl-thiourea, 1-(5-benzoyl-2-oxo-4-phenyl-1,2-dihydro-pyrimidine-1yl)-3-p-methylphenyl-thiourea, 1-(5-benzoyl-2-thioxo-4-phenyl-1,2-dihydro-pyrimidine-1-yl)-3-p-methylphenyl-carbodiimide, N-(5-benzoyl-4-phenyl-2-oxo-pyrimidinyl)-1,3-diphenyl-2-ethenylketimine, 3-(5-benzoyl-4-phenyl-2-oxo-1,2-dihydro-pyrimidinyl-amino)-3-imino-propanoic acid, 1-(5-benzoyl-4-phenyl-2-oxo-1,2-dihydro-pyrimidinyl-amino)-1,2-diphenyl-1-hydroxy-2-oxo ethane, N-(5-benzoyl-2-oxo-4-phenyl-1,2-dihydro-pyrimidine-1-yl)-benzamid were synthesized from the reactions of phenylisothiocyanate, p-methylphenylisothiocyanate, benzalacetophenon, cyanoaceticacid, benzoylchlorid, acetylchloride, with (**2**) compound.

The structure of these synthesided new compounds were determined by being interpreted the results of elemental analysis and IR, <sup>13</sup>C-NMR, <sup>1</sup>H-NMR spectra.

**İÇİNDEKİLER****SAYFA**

ÖZGEÇMİŞ .....	I
TEŞEKKÜR .....	II
ÖZET .....	III
SUMMARY.....	IV
İÇİNDEKİLER .....	V
ŞEKİLLER LİSTESİ.....	X

**BÖLÜM I****1. GİRİŞ**

1.1. Araştırmancın Amacı .....	1
1.2. 4-Benzoil-5-Fenil-2,3-Furandion <u>1</u> Bileşiği.....	2
1.3. <u>1</u> Bileşiginin Reaksiyonları.....	3
1.3.1. Termoliz Sonucu Oluşan Sikloadisyon Reaksiyonları.....	3
1.3.2. <u>1</u> 'in Direk Sikloadisyon Reaksiyonları.....	5
1.3.3. <u>1</u> ' in Nükleofillerle Verdiği Sikloadisyon Reaksiyonları.....	9
1.4. N-Amino Yapısındaki Bileşiklerle Yapılan Bazı Reaksiyonlar.....	12
1.5. <u>(2)</u> ve <u>(3)</u> Bileşiklerinin Reaksiyonları.....	13

**BÖLÜM II****2. MATERİYAL ve METOD**

2.1. Deneylerde Kullanılan Kimyasal Maddeler.....	19
2.2. <u>(2)</u> ve <u>(3)</u> Bileşiklerinin Sentezi.....	19
2.2.1. Benzaasetofenon Sentezi.....	19
2.2.2. Benzalasetofenon-dibromür Sentezi.....	20
2.2.3. Dibenzoilmetan Sentezi.....	20

<b>2.2.4.</b> <u>1</u> 'in Sentezi.....	21
<b>2.2.5.</b> Asetofenon Semikarbazon Sentezi.....	22
<b>2.2.6.</b> 5-Benzoil-1-(Metilfenil-Metilen-Amino)-4-Fenil-1H-Pirimidin-2-on Sentezi....	22
<b>2.2.7.</b> 1-Amino-5-benzoil-4-Fenil-1H-Pirimidin-2-on ( <u>2</u> ) Sentezi.....	23
<b>2.2.8.</b> Asetofenon Tiyosemikarbazon Eldesi.....	23
<b>2.2.9.</b> 5-Benzoil-1-(Metilfenil-Metilen-Amino)-4-Fenil-1H-Pirimidin-2-Tyon Sentezi.....	23
<b>2.2.10.</b> 1-Amino-5-Benzoil-Fenil-1H-Pirimidin-2-Tyon ( <u>3</u> ) Sentezi.....	24
<b>2.3.</b> Deneylerde Faydalanan Araç ve Cihazlar.....	24
<b>2.4.</b> Deneylerde Kullanılan Yöntem.....	25

### BÖLÜM III

#### 3. DENEYSEL ÇALIŞMALAR

<b>3.1.</b> ( <u>2</u> ) Bileşığının Dibenzoilmekan ile Reaksiyonu.....	26
<b>3.2.</b> ( <u>3</u> ) Bileşığının Dibenzoilmekan ile Reaksiyonu.....	32
<b>3.3.</b> ( <u>2</u> ) Bileşığının Di(p-Metoksibenzoyl) metan ile Reaksiyonu.....	36
<b>3.4.</b> ( <u>3</u> ) Bileşığının Di(p-Metoksibenzoyl) metan ile Reaksiyonu.....	40
<b>3.5.</b> ( <u>2</u> ) Bileşığının Asetilaseton ile Reaksiyonu.....	44
<b>3.6.</b> ( <u>3</u> ) Bileşığının Asetilaseton ile Reaksiyonu.....	48
<b>3.7.</b> ( <u>2</u> ) Bileşığının Di-p-metilbenzoilmekan ile Reaksiyonu.....	52
<b>3.8.</b> ( <u>3</u> ) Bileşığının Di-p-Metilbenzoilmekan ile Reaksiyonu.....	56
<b>3.9.</b> ( <u>2</u> ) Bileşığının p-Metilbenzoil-benzoilmekan ile Reaksiyonu.....	60
<b>3.10.</b> ( <u>3</u> ) Bileşığının p-Metilbenzoil-benzoilmekan ile Reaksiyonu.....	64
<b>3.11.</b> ( <u>2</u> ) Bileşığının İndan-1,3-dion ile Reaksiyonu.....	67
<b>3.12.</b> ( <u>3</u> ) Bileşığının İndan-1,3-dion ile Reaksiyonu.....	71
<b>3.12.1.</b> ZÖ <u>11</u> ve ZÖ <u>12</u> Bileşiklerinin Reaksiyon Mekanizması.....	74
<b>3.13.</b> ( <u>2</u> ) Bileşığının Etilasetoasetat ile Reaksiyonu.....	75
<b>3.14.</b> ( <u>3</u> ) Bileşığının Etilasetoasetat ile Reaksiyonu.....	79
<b>3.14.1.</b> ZÖ <u>13</u> ve ZÖ <u>14</u> Bileşiklerinin Reaksiyon Mekanizması.....	83
<b>3.15.</b> ( <u>2</u> ) Bileşığının Ftalanhidrit ile Reaksiyonu.....	84

<b>3.16. (3) Bileşinin Ftalanhidrit İle Reaksiyonu.....</b>	<b>88</b>
<b>3.16.1. ZÖ<sub>15</sub> ve ZÖ<sub>16</sub> Bileşiklerinin Reaksiyon Mekanizması.....</b>	<b>91</b>
<b>3.17. (2) Bileşinin Asetanhidrit İle Reaksiyonu.....</b>	<b>92</b>
<b>3.17.1. ZÖ<sub>17</sub> Bileşinin Reaksiyon Mekanizması.....</b>	<b>94</b>
<b>3.18. (2) Bileşinin Fenilizotiyositan İle Reaksiyonu.....</b>	<b>95</b>
<b>3.19. (2) Bileşinin p-Metil-fenilizotiyositan İle Reaksiyonu.....</b>	<b>99</b>
<b>3.20. (3) Bileşinin p-Metil-fenilizositan İle Reaksiyonu.....</b>	<b>103</b>
<b>3.20.1. ZÖ<sub>20</sub> Bileşinin Reaksiyon Mekanizması.....</b>	<b>106</b>
<b>3.21. (2) ve (3) Bileşiklerinin Dimerleşme Reaksiyonu.....</b>	<b>107</b>
<b>3.21.1. ZÖ<sub>21</sub> Bileşinin Reaksiyon Mekanizması.....</b>	<b>108</b>
<b>3.22. (2) Bileşinin Benzalasetofenon İle Reaksiyonu.....</b>	<b>111</b>
<b>3.22.1. ZÖ<sub>22</sub> Bileşinin Reaksiyon Mekanizması.....</b>	<b>114</b>
<b>3.23. (2) Bileşinin Siyanoasetikasit İle Reaksiyonu.....</b>	<b>115</b>
<b>3.24. (2) Bileşinin Benzil İle Reaksiyonu.....</b>	<b>118</b>
<b>3.24.1 ZÖ<sub>24</sub> Bileşinin Reaksiyon Mekanizması.....</b>	<b>122</b>
<b>3.25. (2) Bileşinin Benzoin İle Reaksiyonu.....</b>	<b>122</b>
<b>3.26. (2) Bileşinin Asetilklorür İle Reaksiyonu.....</b>	<b>123</b>
<b>3.27. (2) Bileşinin Benzoilklorür İle Reaksiyonu.....</b>	<b>124</b>
<b>3.28. (3) Bileşinin Benzoilklorür İle Reaksiyonu.....</b>	<b>126</b>
<b>3.29. ZÖ<sub>1</sub> Bileşinin OXCl<sub>2</sub> İle Reaksiyonu.....</b>	<b>127</b>

## BÖLÜM IV

### 4. BULGULAR

<b>4.1. 1-(5-Benzoil-4-Fenil-2-Oksa-1,2-Dihidro-Pirimidinil-Amino)-1-Fenil-2-Benzoi leten (ZÖ<sub>1</sub>).....</b>	<b>129</b>
<b>4.2. 1-(5-Benzoil-4-Fenil-2-Tiyokso-1,2-Dihidro-Pirimidinil-Amino)-1-Fenil-2-Ben zoiletten (ZÖ<sub>2</sub>).....</b>	<b>130</b>
<b>4.3. 1-(5-Benzoil-4-Fenil-2-Oksa-1,2-Dihidro-Pirimidinil-Amino)-1-p-Metoksifenil- 2-p-Metoksibenzoiletten (ZÖ<sub>3</sub>).....</b>	<b>130</b>
<b>4.4. 1-(5-Benzoil-4-Fenil-2-Tiyokso-1,2-Dihidro-Pirimidinil-Amino)-1-p-Metoksife nil-2-p-Metoksibenzoiletten (ZÖ<sub>4</sub>).....</b>	<b>131</b>
<b>4.5. 1-(5-Benzoil-4-Fenil-2-Oksa-1,2-Dihidro-Pirimidinil-Amino)-1-Metil-2-Asetile</b>	

ten (ZÖ <u>5</u> ).....	132
<b>4.6.</b> 1-(5-Benzoyl-4-Fenil-2-Tiyokso-1,2-Dihidro-Pirimidinil-Amino)-1-Metil-2-Asetileten (ZÖ <u>6</u> ).....	132
<b>4.7.</b> 1-(5-Benzoyl-4-Fenil-2-Oksu-1,2-Dihidro-Pirimidinil-Amino)-p-Metilfenil-2-p-Metilbenzoileten (ZÖ <u>7</u> ).....	133
<b>4.8.</b> 1-(5-Benzoyl-4-Fenil-2-Tiyokso-1,2-Dihidro-Pirimidinil-Amino)-p-Metilfenil-2-p-Metilbenzoileten (ZÖ <u>8</u> ).....	134
<b>4.9.</b> 1-(5-Benzoyl-4-Fenil-2-Oksu-1,2-Dihidro-Pirimidinil-Amino)-1-p-Metilfenil-2-p-Benzoileten (ZÖ <u>9</u> ).....	134
<b>4.10.</b> 1-(5-Benzoyl-4-Fenil-2-Tiyokso-1,2-Dihidro-Pirimidinil-Amino)-1-p-Metilfenil-2-p-Benzoileten (ZÖ <u>10</u> ).....	135
<b>4.11.</b> 5-Benzoyl-1-(İndan-3-On-1-İlidene-Amino)-4-Fenil-Pirimidin-2-On (ZÖ <u>11</u> )....	135
<b>4.12.</b> 5-Benzoyl-1-(İndan-3-On-1-İlidene-Amino)-4-Fenil-Pirimidin-2-Tiyon (ZÖ <u>12</u> ).....	136
<b>4.13.</b> N-(5-Benzoyl-Fenil-2-Oksu-1,2-Dihidro-Pirimidinil-Amino)-1-Etoksi-1-Oksu-Etilmetilketimin (ZÖ <u>13</u> ).....	137
<b>4.14.</b> N-(5-Benzoyl-Fenil-2-Tiyokso-1,2-Dihidro-Pirimidinil-Amino)-1-Etoksi-1-Oksu-Etilmetilketimin (ZÖ <u>14</u> ).....	137
<b>4.15.</b> N-(5-Benzoyl-4-Fenil-2-Oksu-1,2-Dihidro-Pirimidinil) Ftalimid (ZÖ <u>15</u> ).....	138
<b>4.16.</b> N-(5-Benzoyl-4-Fenil-2-Tiyokso-1,2-Dihidro-Pirimidinil) Ftalimid (ZÖ <u>16</u> )....	139
<b>4.17.</b> N-(5-Benzoyl-2-Oksu-4-Fenil-1,2-Dihidro-Pirimidin-1-İl) Asetamid (ZÖ <u>17</u> )...139	
<b>4.18.</b> 1-(5-Benzoyl-2-Oksu-4-Fenil-1,2-Dihidro-Pirimidin-1-İl)-3-Fenil-Tiyoure (ZÖ <u>18</u> ).....	140
<b>4.19.</b> 1-(5-Benzoyl-2-Oksu-4-Fenil-1,2-Dihidro-Pirimidin-1-İl)-3-p-Metilfenil-Tiyoure(ZÖ <u>19</u> ).....	140
<b>4.20.</b> 1-(5-Benzoyl-2-Oksu-4-Fenil-1,2-Dihidro-Pirimidin-1-İl)-3-p-Metilfenilkarbodimid (ZÖ <u>20</u> ).....	141
<b>4.21.</b> 2,8-Dibenzoil-3,9-Difenil-Bis [1,3] Diazino [2,3-b; 2',3'-e] [1,2,4,5] Tetrazin (ZÖ <u>21</u> ).....	142
<b>4.22.</b> N-(5-Benzoyl-4-Fenil-2-Oksu-Pirimidinil)-1,3-Difenil-2-Etenilketimin (ZÖ <u>22</u> ).....	142
<b>4.23.</b> 3-(5-Benzoyl-4-Fenil-2-Oksu-1,2-Dihidro-Pirimidinil-Amino)-3-İmino-Propanoik Asit (ZÖ <u>23</u> ).....	143
<b>4.24.</b> 3-(5-Benzoyl-4-Fenil-2-Oksu-1,2-Dihidro-Pirimidinil-Amino)-1,2-Difenil-1-Hidroksi-2-Oksoetan (ZÖ <u>24</u> ).....	143

4.25. N-(5-Benzoil-2-Oksu-4-Fenil-1,2-Dihidro-Pirimidin-1-İl) Benzamid (ZÖ <u>25</u> )..	144
4.26. 5-Benzoil-4-Fenil-1-(2-Fenil-3-Benzoil-4,5-Dioksso-Pirrol-1-İl)-Pirimidin-2(H)-On (ZÖ <u>26</u> ).....	144

## BÖLÜM V

5. TARTIŞMA VE SONUÇ.....	145
KAYNAKLAR.....	148

## ŞEKİLLER LİSTESİ

<u>SEKİL NO:</u>	<u>SAYFA NO:</u>
Şekil.3.1.	ZÖ <sub>1</sub> Bileşiğinin IR Spektrumu.....30
Şekil.3.2.	ZÖ <sub>1</sub> Bileşiğinin <sup>1</sup> H-NMR Spektrumu.....31
Şekil.3.3.	ZÖ <sub>1</sub> Bileşiğinin <sup>13</sup> C-NMR Spektrumu.....31
Şekil.3.4.	ZÖ <sub>2</sub> Bileşiğinin IR Spektrumu.....34
Şekil.3.5.	ZÖ <sub>2</sub> Bileşiğinin <sup>1</sup> H-NMR Spektrumu .....
Şekil.3.6.	ZÖ <sub>3</sub> Bileşiğinin IR Spektrumu.....38
Şekil.3.7.	ZÖ <sub>3</sub> Bileşiğinin <sup>1</sup> H-NMR Spektrumu.....39
Şekil.3.8.	ZÖ <sub>3</sub> Bileşiğinin <sup>13</sup> C-NMR Spektrumu.....39
Şekil.3.9.	ZÖ <sub>4</sub> Bileşiğinin IR Spektrumu.....42
Şekil.3.10.	ZÖ <sub>4</sub> Bileşiğinin <sup>1</sup> H-NMR Spektrumu.....43
Şekil.3.11.	ZÖ <sub>5</sub> Bileşiğinin IR Spektrumu.....46
Şekil.3.12.	ZÖ <sub>5</sub> Bileşiğinin <sup>1</sup> H-NMR Spektrumu.....47
Şekil.3.13.	ZÖ <sub>5</sub> Bileşiğinin <sup>13</sup> C-NMR Spektrumu.....47
Şekil.3.14.	ZÖ <sub>6</sub> Bileşiğinin IR Spektrumu.....50
Şekil.3.15.	ZÖ <sub>6</sub> Bileşiğinin <sup>1</sup> H-NMR Spektrumu.....51
Şekil.3.16.	ZÖ <sub>7</sub> Bileşiğinin IR Spektrumu.....54
Şekil.3.17.	ZÖ <sub>7</sub> Bileşiğinin <sup>1</sup> H-NMR Spektrumu.....55
Şekil.3.18.	ZÖ <sub>8</sub> Bileşiğinin IR Spektrumu.....58
Şekil.3.19.	ZÖ <sub>8</sub> Bileşiğinin <sup>1</sup> H-NMR Spektrumu.....59
Şekil.3.20.	ZÖ <sub>9</sub> Bileşiğinin IR Spektrumu .....
Şekil.3.21.	ZÖ <sub>9</sub> Bileşiğinin <sup>1</sup> H-NMR Spektrumu.....63
Şekil.3.22.	ZÖ <sub>9</sub> Bileşiğinin <sup>13</sup> C-NMR Spektrumu.....63

Şekil.3.23.	ZÖ <u>10</u> Bileşığının IR Spektrumu.....	65
Şekil.3.24.	ZÖ <u>10</u> Bileşığının <sup>1</sup> H-NMR Spektrumu .....	66
Şekil.3.25.	ZÖ <u>11</u> Bileşığının IR Spektrumu.....	69
Şekil.3.26.	ZÖ <u>11</u> Bileşığının <sup>1</sup> H-NMR Spektrumu.....	70
Şekil.3.27.	ZÖ <u>11</u> Bileşığının <sup>13</sup> C-NMR Spektrumu.....	70
Şekil.3.28.	ZÖ <u>12</u> Bileşığının IR Spektrumu.....	72
Şekil.3.29.	ZÖ <u>12</u> Bileşığının <sup>1</sup> H-NMR Spektrumu.....	73
Şekil.3.30.	ZÖ <u>13</u> Bileşığının IR Spektrumu.....	77
Şekil.3.31.	ZÖ <u>13</u> Bileşığının <sup>1</sup> H-NMR Spektrumu.....	78
Şekil.3.32.	ZÖ <u>13</u> Bileşığının <sup>13</sup> C-NMR Spektrumu.....	78
Şekil.3.33.	ZÖ <u>14</u> Bileşığının IR Spektrumu .....	81
Şekil.3.34.	ZÖ <u>14</u> Bileşığının <sup>1</sup> H-NMR Spektrumu.....	82
Şekil.3.35.	ZÖ <u>15</u> Bileşığının IR Spektrumu.....	86
Şekil.3.36.	ZÖ <u>15</u> Bileşığının <sup>1</sup> H-NMR Spektrumu.....	87
Şekil.3.37.	ZÖ <u>15</u> Bileşığının <sup>13</sup> C-NMR Spektrumu.....	87
Şekil.3.38.	ZÖ <u>16</u> Bileşığının IR Spektrumu.....	89
Şekil.3.39.	ZÖ <u>16</u> Bileşığının <sup>1</sup> H-NMR Spektrumu.....	90
Şekil.3.40.	ZÖ <u>17</u> Bileşığının IR Spektrumu.....	93
Şekil.3.41.	ZÖ <u>18</u> Bileşığının IR Spektrumu.....	97
Şekil.3.42.	ZÖ <u>18</u> Bileşığının <sup>1</sup> H-NMR Spektrumu.....	98
Şekil.3.43.	ZÖ <u>19</u> Bileşığının IR Spektrumu.....	101
Şekil.3.44.	ZÖ <u>19</u> Bileşığının <sup>1</sup> H-NMR Spektrumu.....	102
Şekil.3.45.	ZÖ <u>19</u> Bileşığının <sup>13</sup> C-NMR Spektrumu.....	102
Şekil.3.46.	ZÖ <u>20</u> Bileşığının IR Spektrumu.....	104
Şekil.3.47.	ZÖ <u>20</u> Bileşığının <sup>1</sup> H-NMR Spektrumu.....	105
Şekil.3.48.	ZÖ <u>20</u> Bileşığının <sup>13</sup> C-NMR Spektrumu.....	105

Şekil.3.49.	ZÖ <u>21</u> Bileşığının IR Spektrumu.....	109
Şekil.3.50.	ZÖ <u>21</u> Bileşığının $^1\text{H}$ -NMR Spektrumu.....	110
Şekil.3.51.	ZÖ <u>21</u> Bileşığının $^{13}\text{C}$ -NMR Spektrumu.....	110
Şekil.3.52.	ZÖ <u>22</u> Bileşığının IR Spektrumu.....	112
Şekil.3.53.	ZÖ <u>22</u> Bileşığının $^1\text{H}$ -NMR Spektrumu.....	113
Şekil.3.54.	ZÖ <u>23</u> Bileşığının IR Spektrumu.....	116
Şekil.3.55.	ZÖ <u>23</u> Bileşığının $^1\text{H}$ -NMR Spektrumu.....	117
Şekil.3.56.	ZÖ <u>24</u> Bileşığının IR Spektrumu.....	120
Şekil.3.57.	ZÖ <u>24</u> Bileşığının $^1\text{H}$ -NMR Spektrumu.....	121
Şekil.3.58.	ZÖ <u>24</u> Bileşığının $^{13}\text{C}$ -NMR Spektrumu.....	121
Şekil.3.59.	ZÖ <u>25</u> Bileşığının IR Spektrumu.....	125
Şekil.3.60	ZÖ <u>26</u> Bileşığının IR Spektrumu.....	128

## BÖLÜM I

### 1. GİRİŞ

#### 1.1. Araştırmanın Amacı

1-Amino-5-benzoil-4-fenil-1H-pirimidin-2-on (**2**) ve bu bileşliğin kükürtlü analogu olan 1-amino-5-benzoil-4-fenil-1H-pirimidin-2-tiyon (**3**) bileşiklerinin sentezi bölümümüz laboratuvarında gerçekleştirildi [1,2]. (**2**) ve (**3**) bileşiklerinin bazı izosiyanatlarla reaksiyonları yapılarak, biyolojik ve farmakolojik yönden önemli olduğu düşünülen yeni pirimidin türevi bileşikler elde edildi [3].

Bir amino pirimidin türevi olan (**2**) ve (**3**) bileşiklerinin 1,3-dikarbonil bileşikleri ile di-benzoilmetan, di(p-metoksibenzoil)metan, asetilaseton, di(p-metilbenzoil)metan, p-metilbenzoil-benzoilmetan, indan-1,3-dion, etilasetoasetat, ftal ve asetanhidrit) reaksiyonları sonucu, yeni bileşikler elde edilebileceği düşünülmüştür. Bunlara ilave olarak, imkanlar ölçüsünde elde edebildiğimiz fenilizotiyosiyanan, p-metil-fenilizotiyosiyanan, benzalasetofenon, siyanoasetikasit, benzil, benzoin, asetil ve benzoilklorür reaktifleriyle (**2**) ve (**3**) bileşiklerinin reaksiyonları çalışılmıştır.

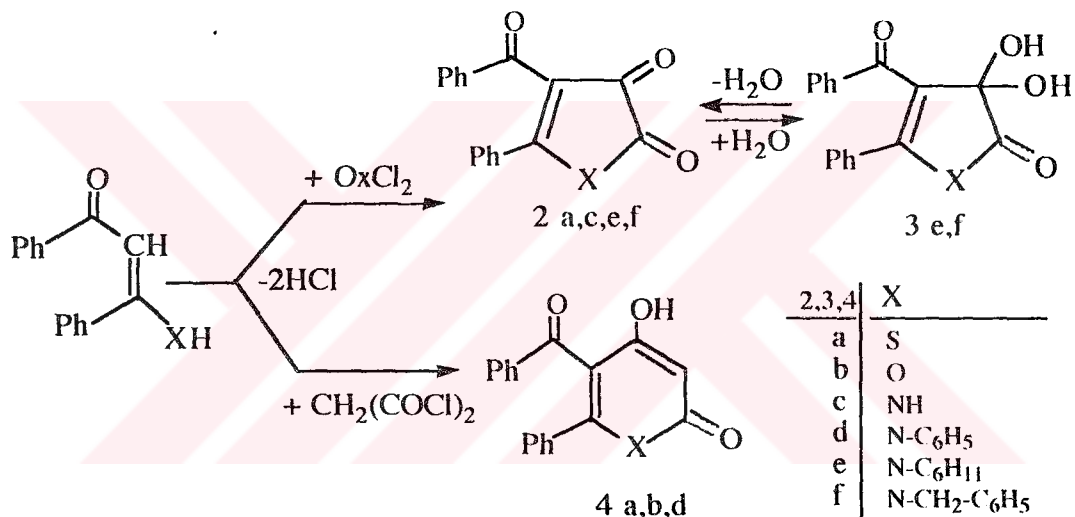
4-Benzoil-5-fenil-2,3-furandion **1**'den başlayarak bir seri reaksiyonlar sonucunda elde edilen (**2**) ve (**3**) bileşiklerinin birbirlerinden tek farkı (**2**)' de pirimidin halkasında bulunan oksijen atomunun yerine, (**3**)' de kükürt atomunun bulunmasıdır.

(**2**) ve (**3**) bileşiklerinde yer alan amino grubunun nükleofilik özelliğinden faydalananarak

yukarıda isimlerinden bahsettiğimiz reaktiflerle yeni bileşikler sentez edebilmek ve (2) ve (3) bileşiklerinin reaksiyonlarında davranışlarının nasıl olacağı düşüncesinden hareketle, üzerinde fazla çalışma yapılmamış olan (2) ve (3) bileşiklerinin, 1,3-diketo yapılarındaki bileşiklerle ve yukarıda isimlerinden bahsedilen bazı substrat maddelerle verebilecekleri reaksiyonlar araştırılmıştır.

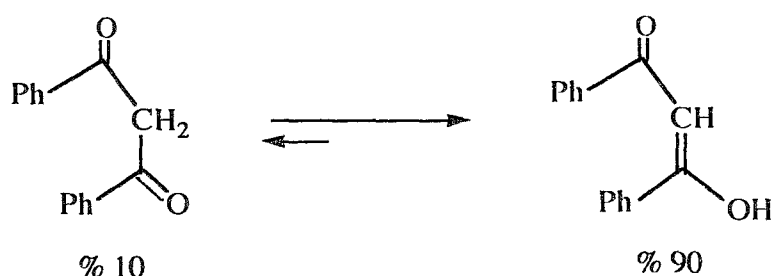
### 1.2. 4-Benzoyl-5-fenil-2,3-furandion **1** Bileşiği

Literatürler incelendiğinde, dibenzoylmetan ve türevlerinin okzaliklorür ile siklokonden zasyonu sonucunda beşli bir dion sistemi olan furan-2,3-dion, maloniklorür ile kondenzasyonundan da altılı sistemlerin elde edildiği görülür [4,5,6].



Burada X'in oksijen olması durumunda beşli dion halkası olan **1** oluşmaktadır. Lakton halkası ihtiiva etmesi nedeniyle oldukça aktif olup, birçok heterosiklik sentezlerde başlangıç maddesi olarak kullanılmıştır [7]. Çok hassas bir madde olan **1**, su ve etanol gibi nükleofillerle parçalanarak dibenzoylmetan ve okzalikaside dönüştürmektedir. Bu nedenle vakumda P<sub>2</sub>O<sub>5</sub> üzerinde saklanmaktadır [4].

**1**'in sentezi için gerekli olan dibenzoylmetan, bir seri reaksiyonlar sonucunda elde edilir [4,8]. Bilindiği üzere dibenzoylmetan 1,3-diketon olup aşağıdaki gibi Keto-Enol tautomerisi gösterir [9]. Dibenzoylmetan sentezi Bölüm II'de izah edilmiştir.



Tautomeri yüzdesi, çözücü ve sıcaklığa bağlı olup genelde enol yüzdesi non-polar çözümlerde daha yüksektir. Çünkü, polar çözümler molekül içi H bağını azaltır ve keto formuna dönüştürürler. Enol şekilleri ise hidrojen köprüleri nedeniyle altılı yapı oluşturduklarından dayanıklılık gösterirler [9].



Dibenzoilmetanın susuz, eterli ortamda okzaliklorürle, oda temperaturundeki reaksiyonu ile sarı renkte heterosiklik bir bileşik olan **1** bileşiği elde edilmiştir [4,5,6].

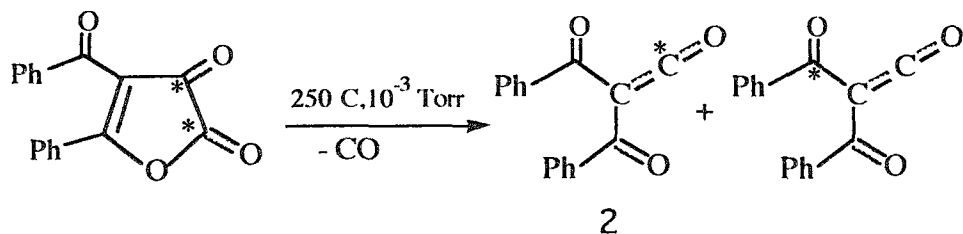
### **1.3. 1 Bileşinin Bazı Reaksiyonları**

Bu bileşiklerle şimdiye kadar yapılan reaksiyonlar incelendiğinde, gerek kimyasal işlem ve gerekse reaksiyon türü bakımından üç şekilde sınıflandırma yapılabilir:

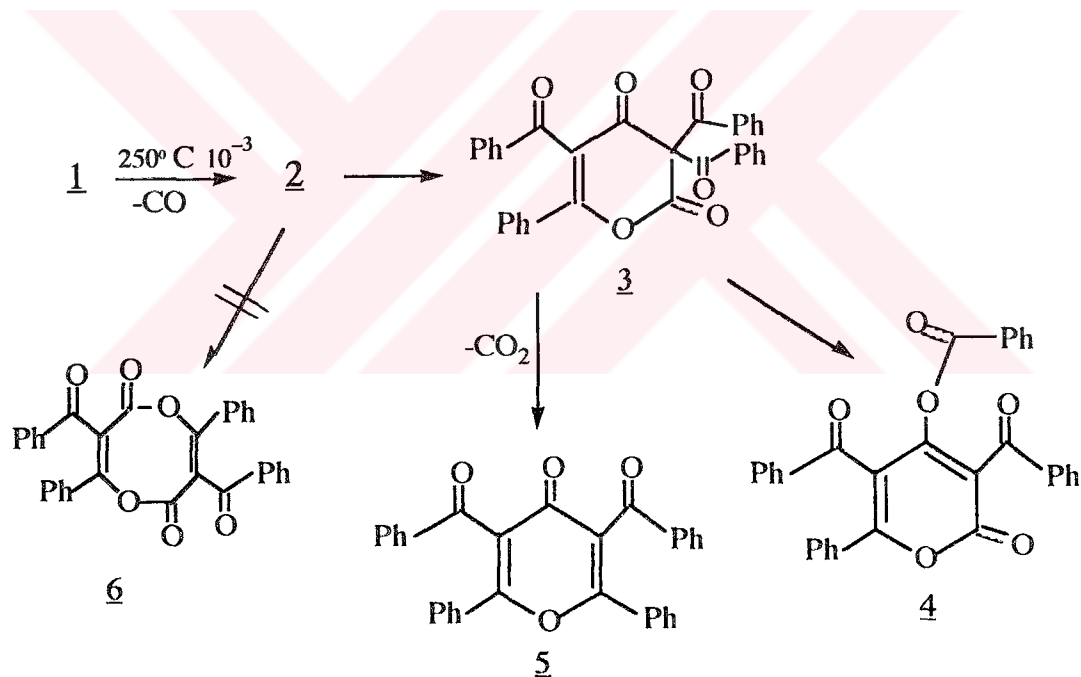
1. Termoliz sonucu oluşan sikloadisyonlar
  2. Direkt sikloadisyonlar
  3. Nükleofillerle verdikleri reaksiyonlar

### 1.3.1. Termoliz Sonucu Oluşan Sikloadisyon Reaksiyonları

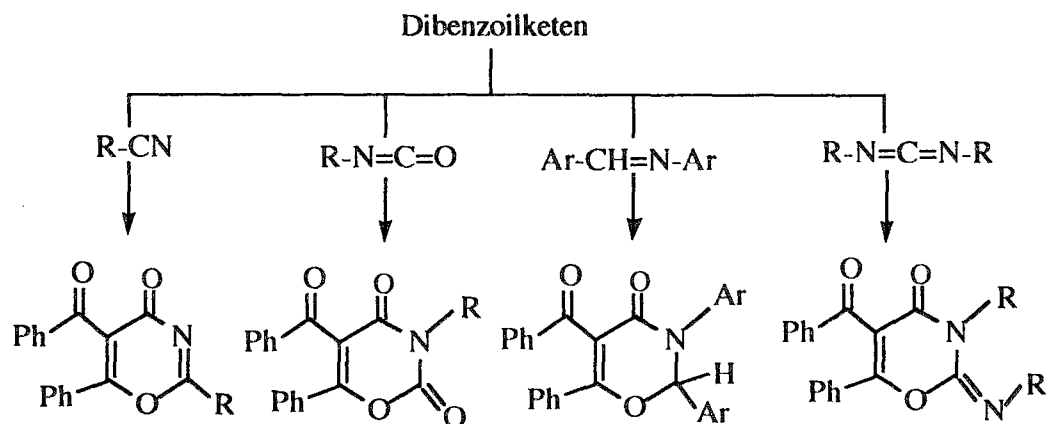
1'in gaz fazı piroliz yöntemini kullanarak yapılan termolizinde, molekülde 1 mol CO ayrılmasıyla dibenzoilketen'in (2), olduğu belirlenmiştir. Bilhassa Wentrup'un bu konu-daki çalışmaları çok enteresandır [10, 11, 12, 13].



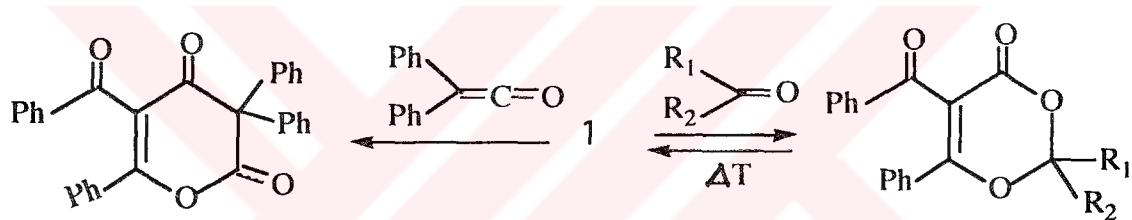
**1**'in dekarbonillendirilmesi, termoliz reaksiyonları ile gerçekleşmektedir. Bu esnada oluşan dibenzoilketen, eğer ortamda sikloadisyon yapacak substrat bulamazsa, reaksiyon ortamına göre iki şekilde dimerleşir [11,12,14]. Böylece termoliz sonucu sikloadisyonlar ortaya çıkar. Örnek olarak 130 °C'de çözelti fazında **1**'in termolizi neticesinde 4+2 sikloadisyonuyla 5 nolu, 4+4 sikloadisyonu ile 6 nolu bileşigin elde edildiği E. Ziegler tarafından yayınlanmıştır[10]. Fakat daha sonra, X-Ray kristalloğrafi yöntemiyle yapılan çalışma sonucu 6 nolu bileşigin oluşmadığı, onun yerine 4+2 siklodimerizasyonu ile 4 nolu bileşigin meydana geldiği belirlenmiştir [12].



**1**'in termal bozunması ile ara kademedede oluşan ve çok aktif bir bileşik olan dibenzoilketen (2) üzerinden arilizosyonatlar, karbodiimitter ve çeşitli şif bazları ile yapılan reaksiyonlar sonunda, 1,3-oksazin türevleri elde edilerek 4+2 sikloadisyonlar gerçekleştirilmiştir [14,15,16,17,18].

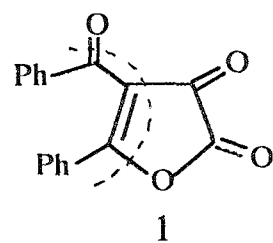


Ayrıca **1**'in çeşitli keten ve ketonlarla yapılan reaksiyonları ile de yine sikloadisyonlar gerçekleştirilebilirler bir çok altılı heterosiklik bileşikler sentezlenmiştir [14,19,20].

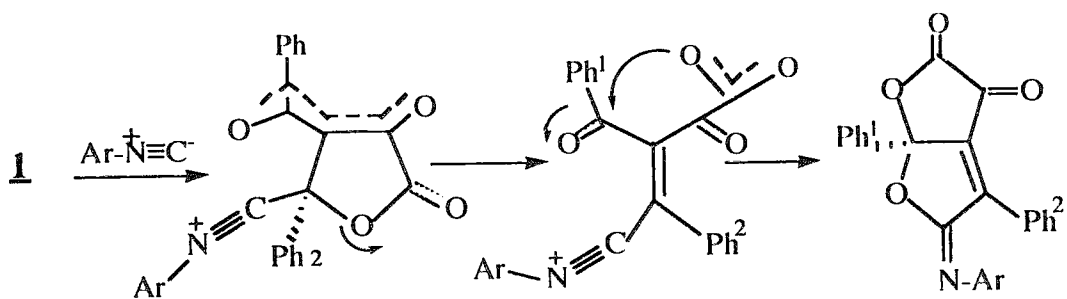


### 1.3.2. **1**'in Direkt Sikloadisyon Reaksiyonları

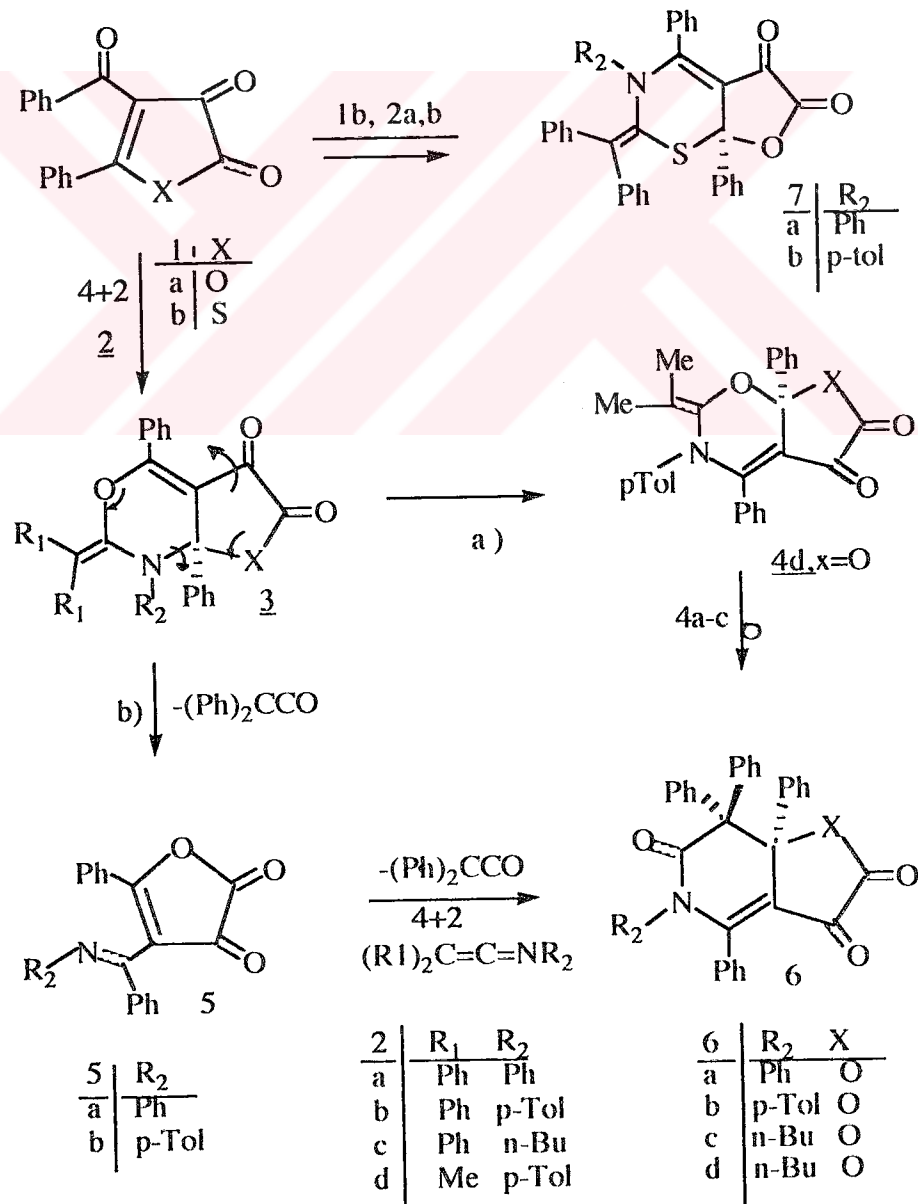
Aşağıdaki reaksiyonlarda **1**'in çeşitli dienofillerle dibenzoilketen olmadan verdiği sikloadisyonlar görülmektedir. Bu reaksiyonlarda ise, **1** bileşiği konjuge bir heterodien'dir [21].



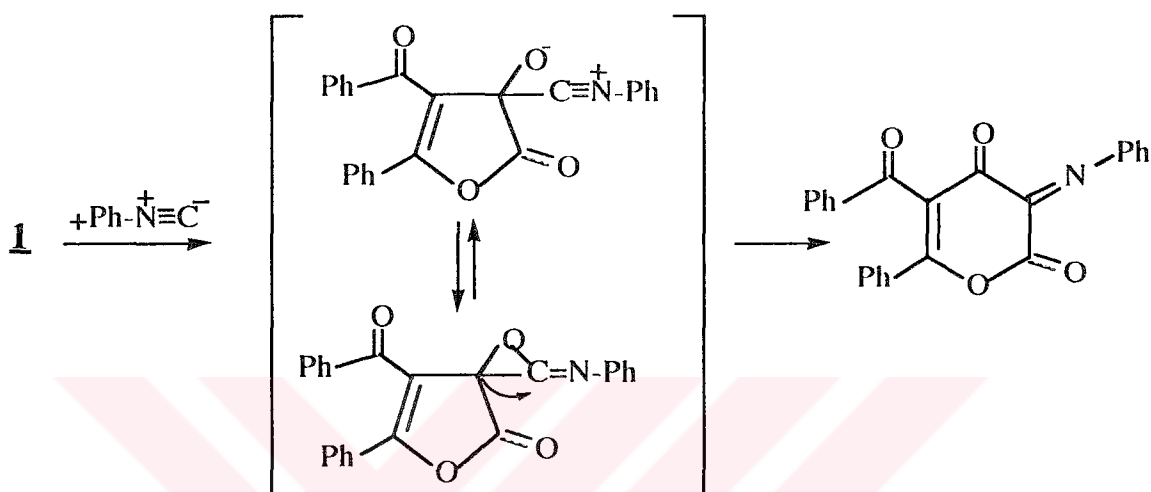
Yukarıda heterodien sistemine benzeyen bileşigin fenilizonitril ile reaksiyonları incelenmiştir. Pirrol 2,3-dion takdirinde 4+2 sikloadisyonu sonucu furo (3,4-b) pirrol sistemi [22,23], **1** bileşiği ile ise furo-(2,3-b) furan türevi bileşikler sentezlenmiştir [24].



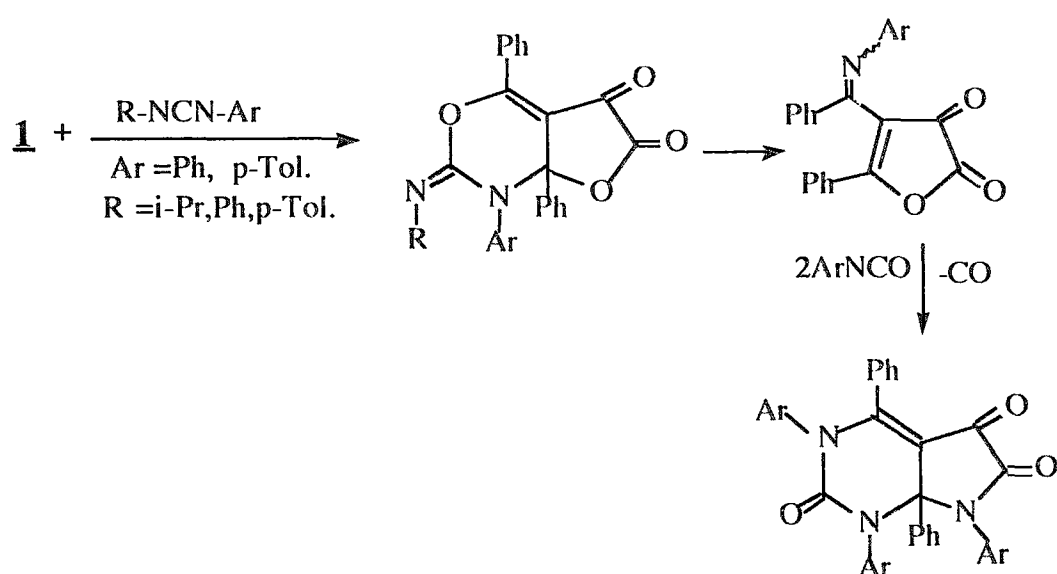
**1**'in ketiminlerle de yukarıdakine benzer şekilde 4+2 sikloadisyon reaksiyonları yapılmıştır. Dienofilin ketiminler olduğu bu reaksiyonlarda, özel çevrilmeler de meydana gelerek, heteroanolog diazopurin sistemleri olan yeni furo (3,2-e) tiazin, furo (3,2-e) 1,3-oksazin ve thieno (3,2-c) piridin türevleri olan bileşikler sentez edilmiştir. Bu reaksiyonlar **1** bileşiği gibi heterodienlerin ketiminlerle kabul edilen ilk 4+2 sikloadisyon örneklerindendir [25].



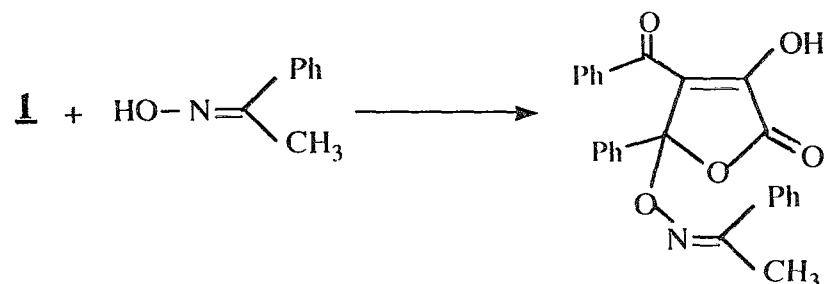
**1**'in arilizonitrillerle reaksiyonu da ilginç olup, önce ara kademedede 2+1 sikloadisyonu ile oluşan iminoooksiran türevi üzerinden, çevrilme sonucu ve halka büyümesi ile piron-2,4-dion türevi oluştugu görülür. Bu çalışmada ayrıca **1** bileşigi yerine pirrol+dion türevi alındığında, her iki durumda, ara kademedede oluştugu düşünülen iminoooksiran türevinin olduğu da gösterilmiştir [23].



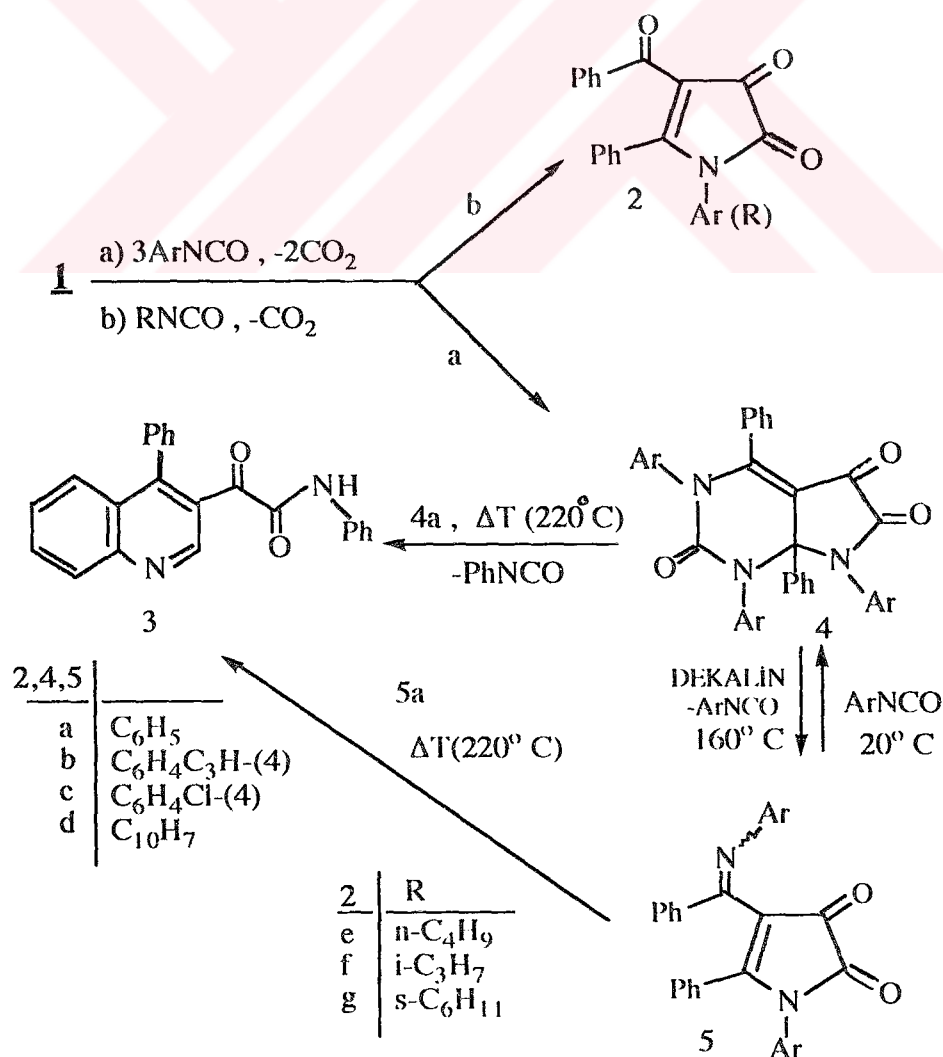
Ayrıca **1**'in diaril veya arilalkilkarbodiimidlerle 4+2 sikloadisyonları sonucunda aşağıda görülen birçok yeni bileşikler elde edilmiştir [26]. Daha sonra bu bileşiklerin  $^{17}\text{O}$  izotopu ile işaretleme suretiyle, reaksiyon mekanizması ile ilgili çalışmalar da yapılmış olup, aşağıda görülen kondansه halkalı heterosiklik sistemlerin oluştugu belirlenmiştir [4]. Buna ilave olarak, son yıllarda, **1**'in çeşitli alkiliminlerle verdiği reaksiyonlar da kaynak olarak gösterilebilir [27].



**1**'in oksimlerle de halka açılması olmadan, Michael-tipi katılma reaksiyonları verdiği görülmüştür. Ayrıca bu reaksiyonlarda elde edilen ürünlerin termolizi yapılarak, yeni tür bileşiklerin elde edilmesi yoluna gidilmiştir [28].



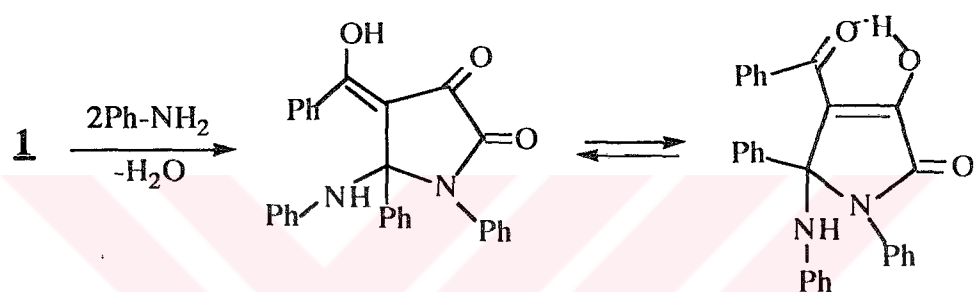
**1**'in yine çeşitli arilizosiyonatlarla yapılan reaksiyonları da bu tip reaksiyonlara örnektir.  $60^\circ\text{C}$ 'de ve 3 mol izosiyonat alınarak yapılan reaksiyonlarda, önce 1 mol izosiyonatın heterodiene primer etkisiyle 4+2 hetero-sikloadisyonu gerçekleşmekte, daha sonra dekarboksilasyon ve çevrilmelerle ikinci ve üçüncü mol izosiyonatın da katılması sonucu çeşitli pirrolo (2,3-d) pirimidin sistemleri oluşmaktadır [29].



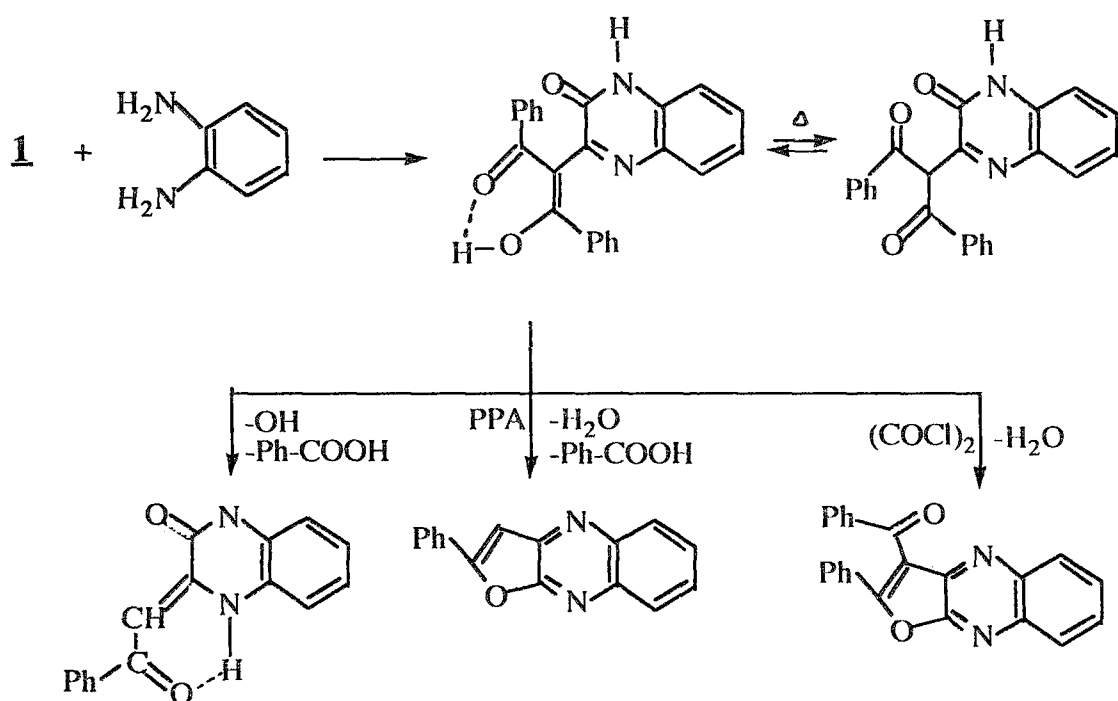
### 1.3.3. **1**'in Nükleofillerle Verdiği Reaksiyonlar

**1** bileşiği oldukça aktif olup, nükleofilin yapısı ve reaksiyon şartlarına bağlı olarak çeşitli heterosiklik bileşikler vermektedir. Su ve etil alkol gibi nükleofillerle etkileşerek dibenzoilmetan ve oksalik asid esteri verecek şekilde bozunmaya uğrar ve çıkış madde-lerine dönüşür [4,9,30].

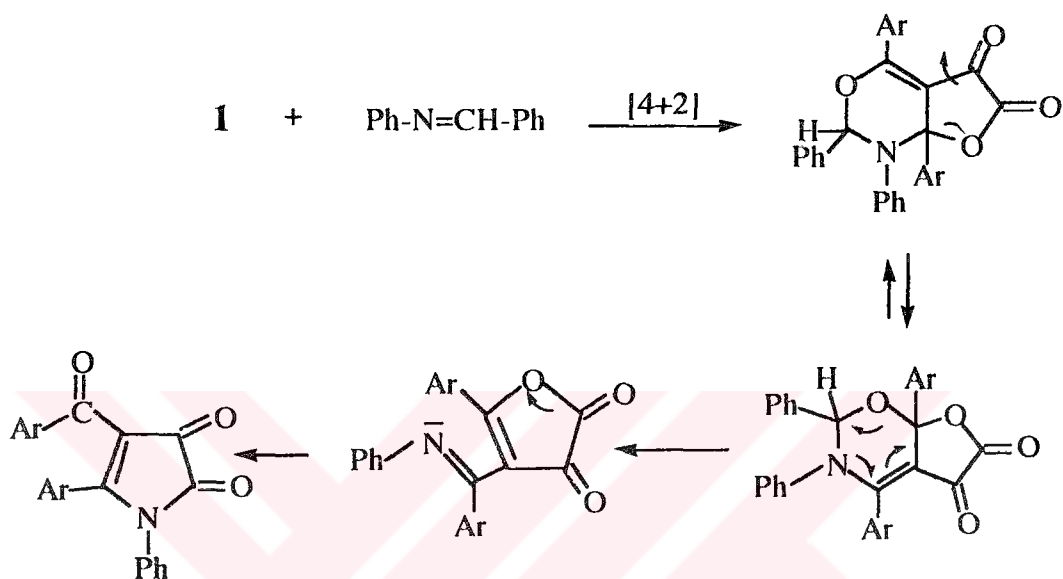
Aşağıda **1**'in çeşitli aminlerle yapılan nükleofilik katılma reaksiyonlarından bazıları görülmektedir. **1**'in anilin ve türevleriyle yapılan reaksiyonlarında çeşitli pirrol+dion türevi, bileşikler sentezlenmiştir [23].



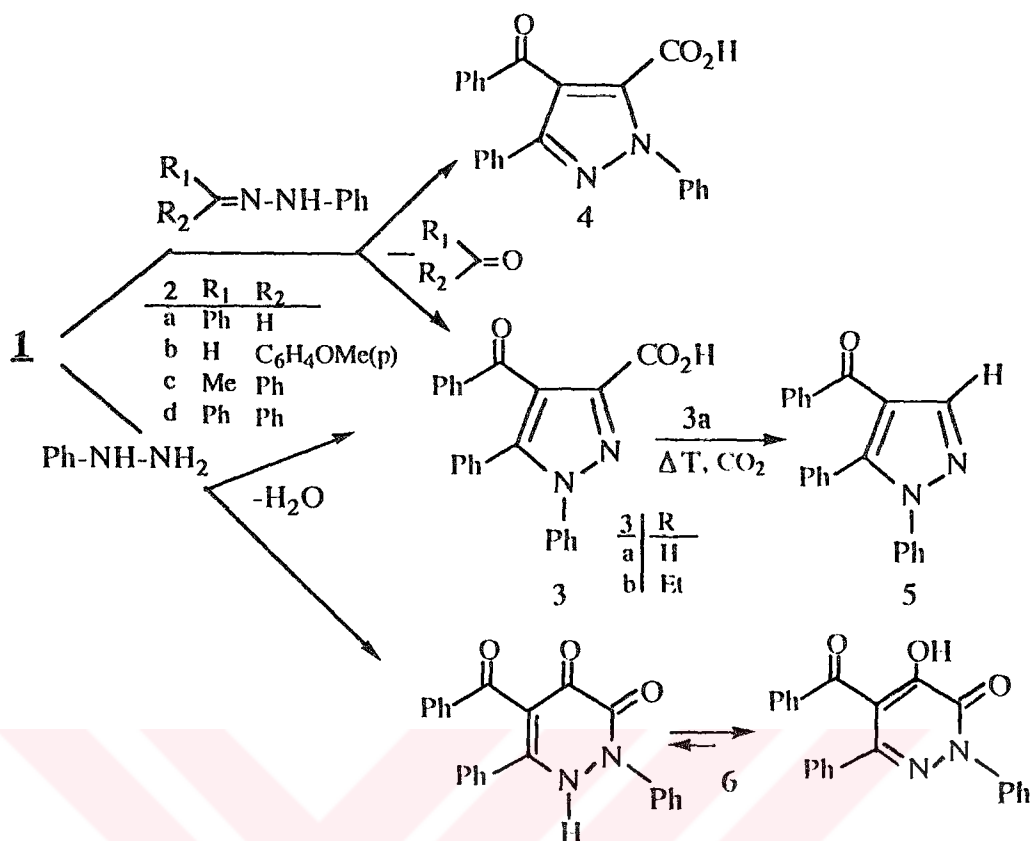
**1**'in o-fenilendiamin ile uygun şartlardaki reaksiyonunda ise aşağıda görüldüğü gibi kinoksalin türevi bileşik elde edilmiş ve bunun da müteakip reaksiyonları gerçekleştirilmiştir [30].



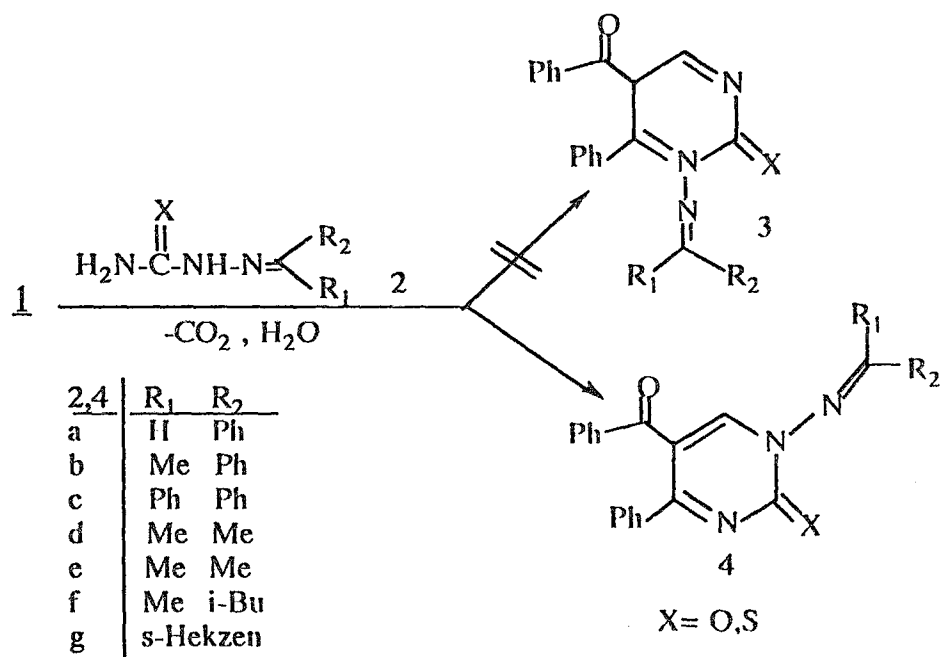
Tipik bir şif bazi olan benziliden-anilin'in **1** ile reaksiyonu azometin'in nükleofilik atakıyla başlar. Önce yedili bir sistem olan 1,3-oksaazepin türevi oluşur. Düşük sıcaklıklarda tamamen kararlı olan bu yedili lakton sistemi, 20 °C'de yedi ile ondört gün içerisinde benzaldehitin ayrılması ile kantitatif bir şekilde -2,3-piroldion sistemine dönüşür [27,31,32].



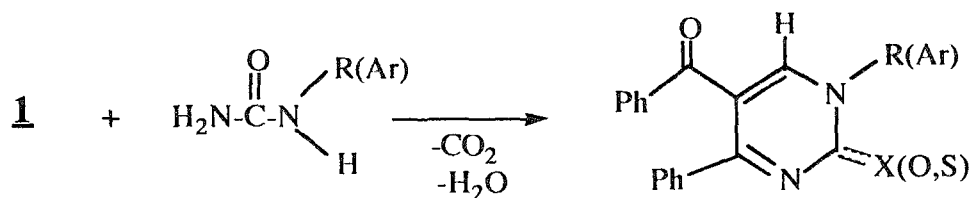
**1**'in fenilhidrazin ve çeşitli fenilhidrazone larla yapılan reaksiyonları da dikkat çekicidir. Gerek benzenli ortamda ve gerekse 70-80 °C'lerde direkt olarak yapılan reaksiyonlarda pirazol-3-karboksilli asit türevi elde edilmiştir. Öte yandan **1**'in fenilhidrazinle reaksiyonun süzüntüsünden ise bir piridazin-3-on türevi elde edilmiştir. Eğer reaksiyon benzen yerine ksilenli ortamda yapılrsa, pirazol-3-karboksili asit yerine, düz zincir yapısına sahip dibenzoilasetasidi-hidrazitleri elde edilmiştir [33].



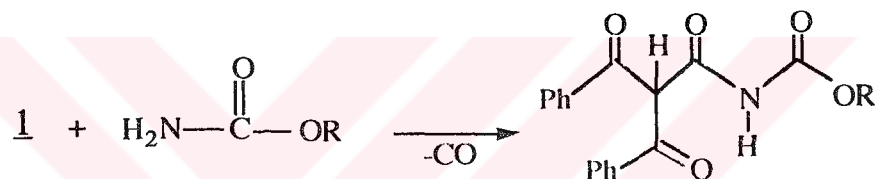
**1** 'in çeşitli tiyosemikarazonlar ve semikarazonlarla yapılan nükleofilik katılma reaksiyonları sonunda, pirimidin türevi yeni bileşikler sentezlenmiştir [2].



Yine **1**'in üre, tiyoüre ve bunların çeşitli alkil veya aril türevleriyle yapılan nüeklofilik katılma reaksiyonları sonucu, çeşitli N-alkil-pirimidin-2-on ve N-alkil-pirimidin-2-tiyonlar sentezlenmiştir [34].



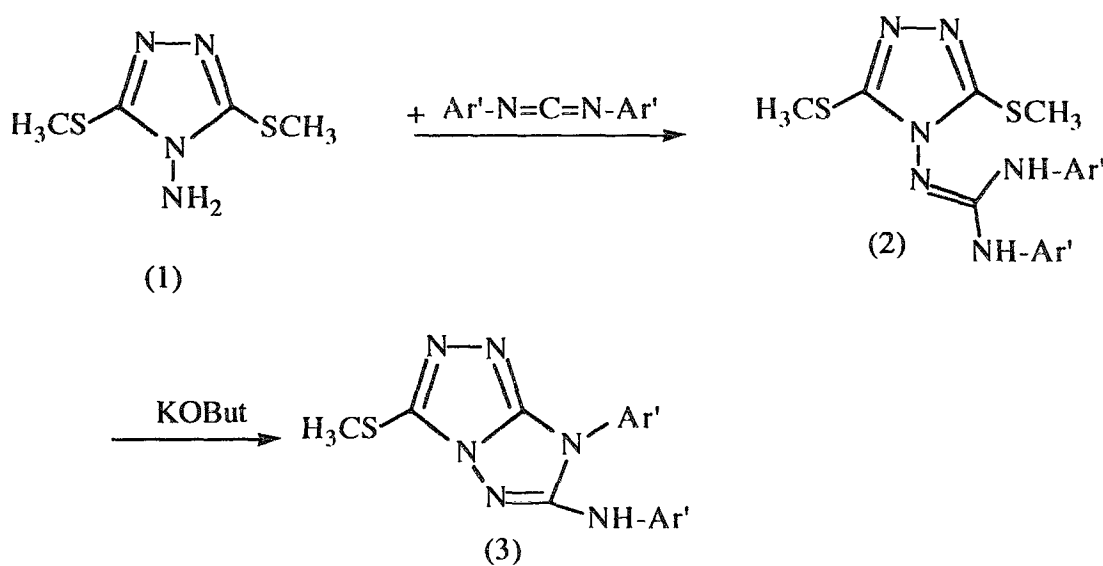
**1**'in üreler yerine çeşitli üretanlar alınarak yapılan reaksiyonları sonucunda ise düz zincir yapısında olan dibenzoilasetik asit -N-karboksi alkil amidler elde edilmiştir [35].



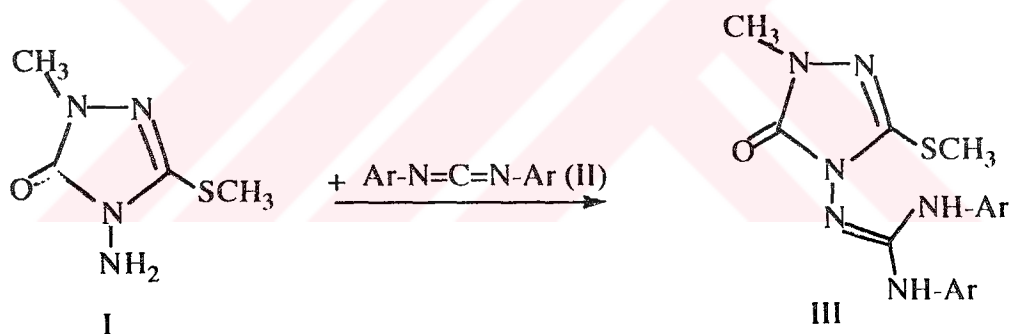
	R	R	X
1	H	C <sub>2</sub> H <sub>5</sub>	O
2	C <sub>10</sub> H <sub>7</sub>	C <sub>2</sub> H <sub>5</sub>	O
3	H	CH <sub>3</sub>	O
4	C <sub>10</sub> H <sub>7</sub>	C <sub>4</sub> H <sub>9</sub>	O
5	C <sub>10</sub> H <sub>7</sub>	CH <sub>3</sub>	O
6	C <sub>10</sub> H <sub>7</sub>	HC(CH <sub>3</sub> ) <sub>2</sub>	O
7	C <sub>10</sub> H <sub>7</sub>	C <sub>5</sub> H <sub>11</sub>	O
8	C <sub>10</sub> H <sub>7</sub>	C <sub>2</sub> H <sub>5</sub>	S

#### 1.4. N-Amino Yapısındaki Bileşiklerle Yapılan Bazı Reaksiyonlar

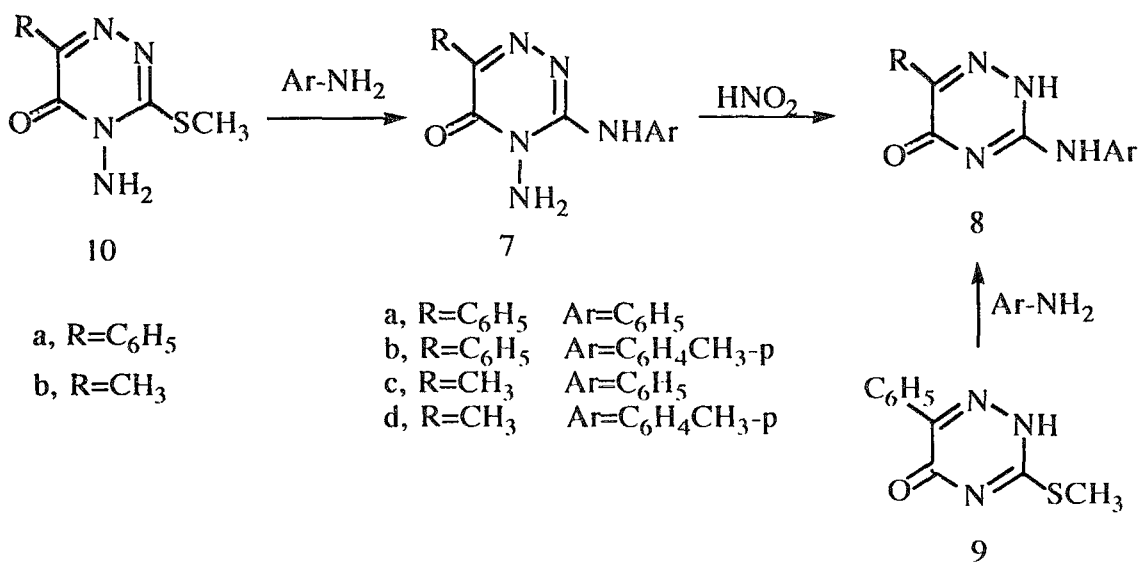
Pedro Molina ve arkadaşları tarafından N-amino heterosiklik bileşik olan, 4-amino-3,5-bis (metiltiyo) [1,2,4] triazol (**1**) bileşinin, diarilkarbodiimid ile reaksiyonundan 4-guanidin [1,2,4] triazoller elde edilmiştir. 4-guanidin [1,2,4] triazollerin, potasyum t-butoksit katalizörliğinde ısıtıldıklarında, halka kapanması yaparak [1,2,4] triazol [4,3-*b*] [1,2,4]-triazoller (**3**) oluşturdukları görülmüştür [36].



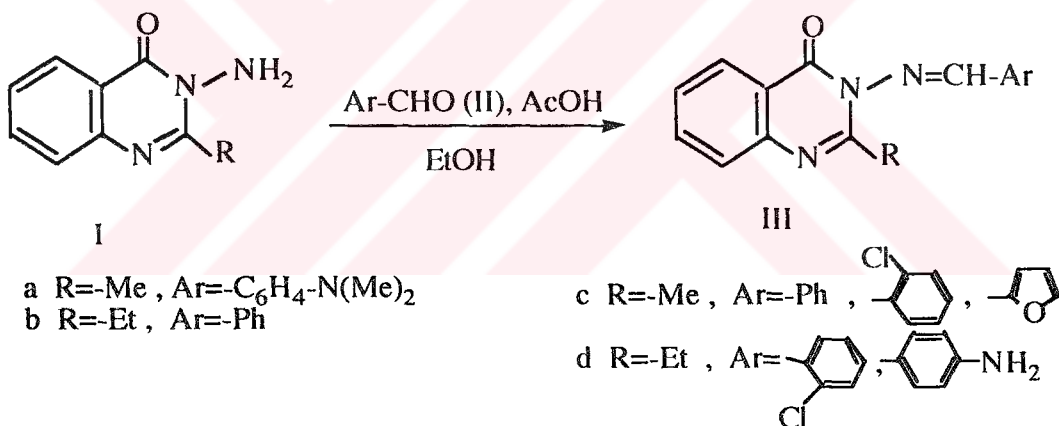
Bu konu ile ilgili diğer bir çalışma, bir N-amino türevi olan 4-amino-1,2,4-triazolun arilkarbodiimidlerle reaksiyonundan, 1,2,4-triazol [4,3-b] [1,2,4] triazol türevlerinin sentezlenmesidir. I ve II bileşiklerinden baz katalizörlüğünde III bileşiği elde edilmişdir [37].



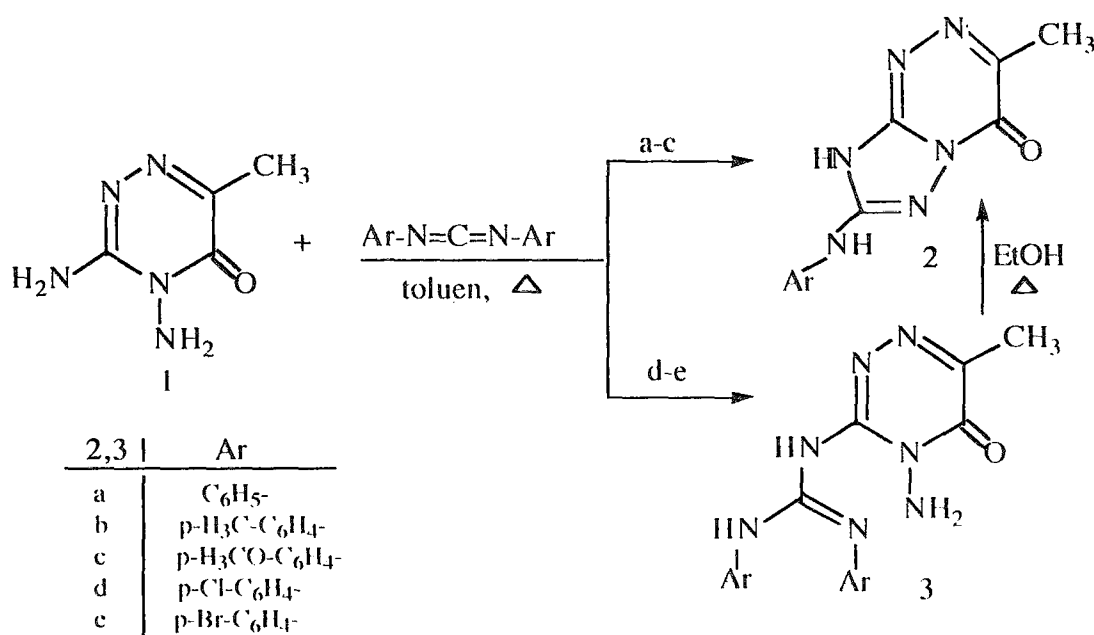
3-Metilmerkapto-4-amino-5-okso-6-fenil (veya metil)-4,5-dihidro-1,2,4-triazin (10a,b)'ye aromatik aminlerin etkisiyle 7a-d bileşikleri elde edilmiştir. 7a bileşığının nitrik asit katalizörlüğünde deaminasyonundan, 3-fenilamino-5-okso-6-fenil-2,5-dihidro-1,2,4-triazin (8a) bileşiği elde edilmiştir. Ayrıca 8a, 3-metilmerkapto-5-okso-6-fenil-2,5-dihidro-1,2,4-triazin (9)'un anilinle reaksiyonundan elde edilmiştir [38].



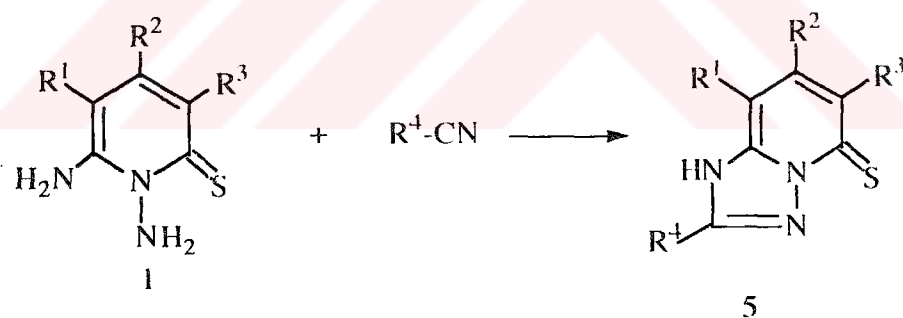
Srivastava ve arkadaşları yine N-amino heterosiklik bir bileşik olan I bileşığının benzaldehit ile kondenzasyon reaksiyonunu yaparak III bileşliğini elde etmişlerdir [39].



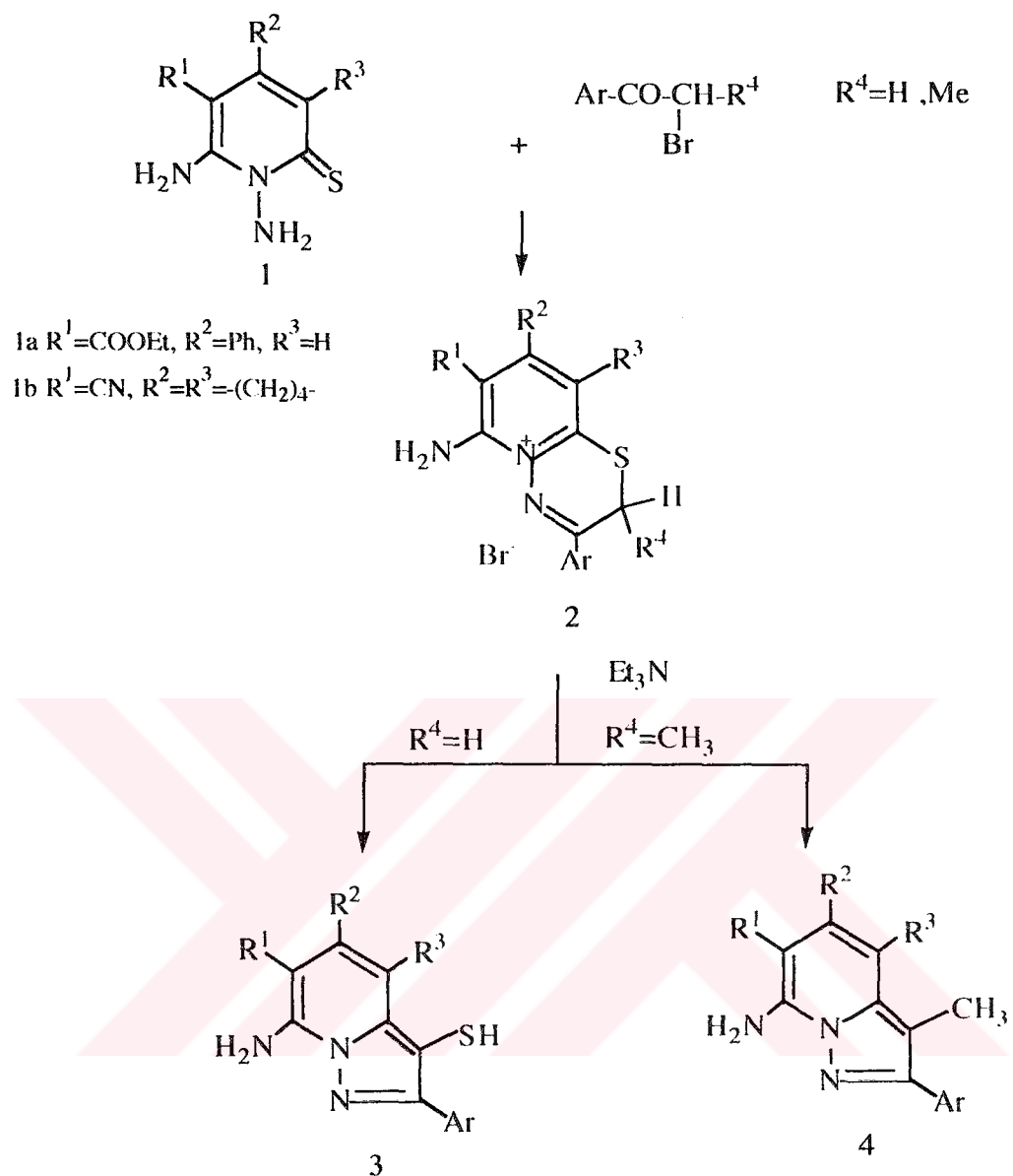
Yine N-amino heterosiklik bir bileşik olan 3,4-diamino-6-metil-5-okso-4,5-dihidro [1,2,4] triazin 1'in diarilkarbodiimidlerle reaksiyonu yapılarak 2a-c bileşikleri elde edilmişdir. 1'in bis(p-klorfenil)- ve bis (p-bromfenil)karbodiimid ile reaksiyonundan 3d-e bileşikleri elde edilmiştir [40].



N-amino heterosiklik bileşik 1a ve 1b'nin nitrillerle direk reaksiyonundan [1,2,4] triazol [1,5-a] piridin 5 elde edilmiştir.

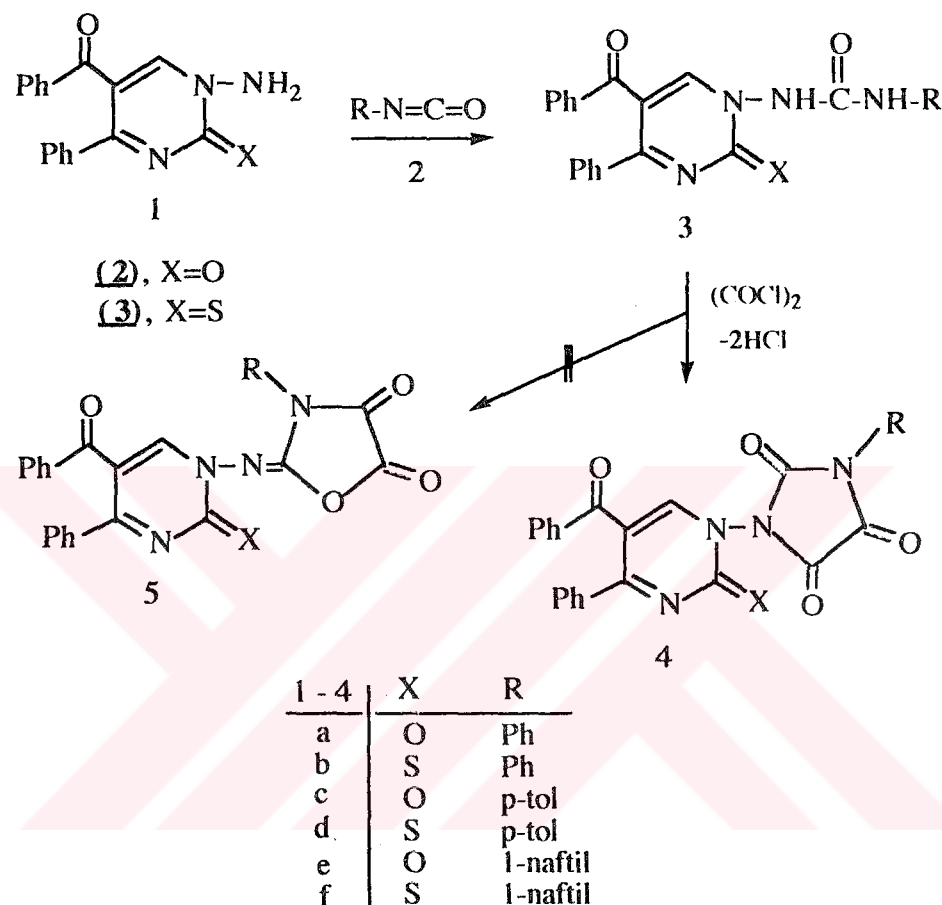


1,6-Diaminopirimidin-2-tyon bileşiklerinin (1a ve 1b),  $\alpha$ -halokarbonil bileşikleri ile reaksiyonundan [2,1-b] [1,3,4] tiyodiazenyum tuzları elde edilmiştir. Bu bileşiklerden bazı katalizörlüğünde pirazol [1,5-a] piridin 3 ve 4 elde edilmiştir [41].



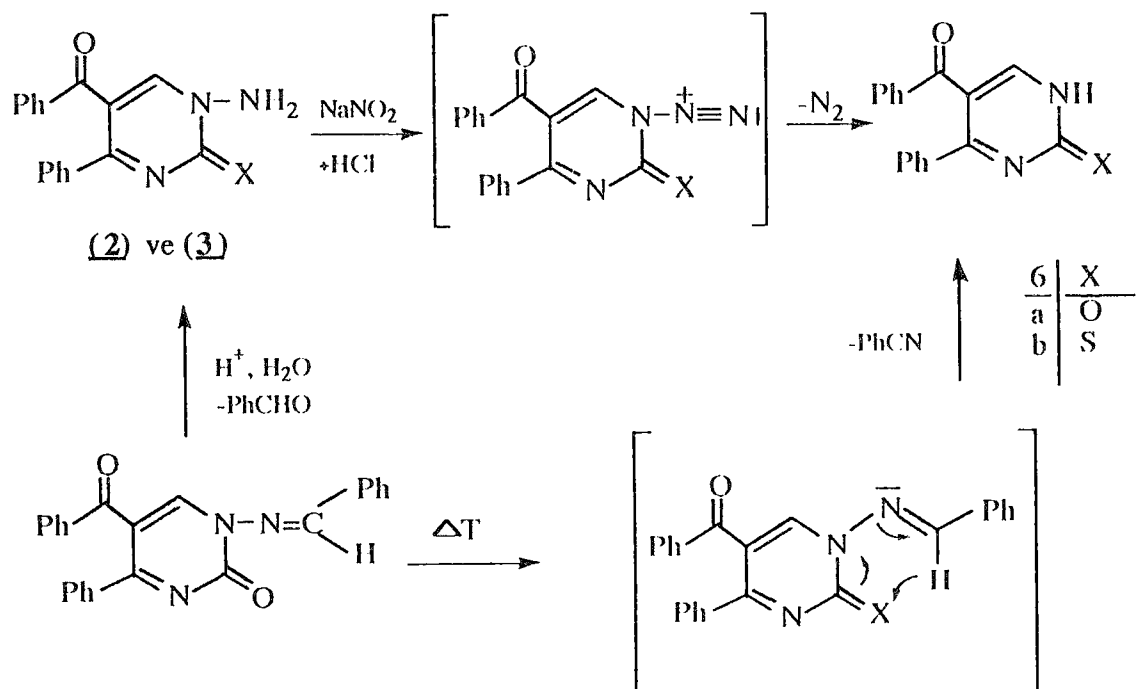
### 1.5. (2) ve (3) Bileşiklerinin Reaksiyonları

Sentezi laboratuvarımızda gerçekleştirilen (2) ve (3) bileşiklerinin arilisosiyatlarla reaksiyonları yapılarak N, N'-di sübstitüe üre türevleri elde edilmiştir [3].



Elde edilen üre türevi bileşiklerin  $\text{OXCl}_2$  ile siklokondenzasyon reaksiyonları sonucunda 1-imidazol-pirimidin türevi bileşikler sentez edilmiştir [3].

Ayrıca (2) ve (3)'ün deaminasyon reaksiyonu ile azotun ayrılmasıyla bir pirimidin türevi olan 5-Benzoyl-6-fenil-pirimidin-2-on/-tiyon bileşikleri elde edilmiştir. Bu bileşikler ayrıca pirimidin türevi bileşiklerin termoliz reaksiyonları sonucu da elde edilmektedir.



## **BÖLÜM II**

### **2. MATERİYAL VE METOD**

#### **2.1. Deneylerde Kullanılan Kimyasal Maddeler**

Deneylerimizde kullanılan başlıca kimyasal maddeler, analitik saflıkta olup, Merc, Fuluka ve Sigma gibi tanınmış firmaların üretimleridir. Bu maddelerden benzaldehit, asetofenon, sodyum hidroksit, brom, metalik sodyum, okzalil klorür, semikarbazit hidroklorür, tiyosemikarbazit, asetil aseton, di(p-metoksibenzozil)metan, etilasetoasetat, ftalanhidrit, fenil izotiyosyonat, p-metil-fenilisotiyosyonat, asetanhidrit, asetilklorür, benzoilklorür, dietileter, petrol eteri, asetik asit, butanol, toluen, benzen reaksiyonlar sırasında kullanılan temel kimyasal maddelerdir. Bu kimyasal maddeler kullanılarak, dibenzoilmetan, asetofenon, semikarbazon, asetofenontiyosemikarbazon, indan-1,3-dion sentezleri yapıldı. Deneylerde kullanılan çözücüler genelde teknik olduğu için bu çözücülerin destilasyon ve diğer tekniklerin kullanılması ile imkanlar ölçüünde saflaştırılmasına çalışıldı.

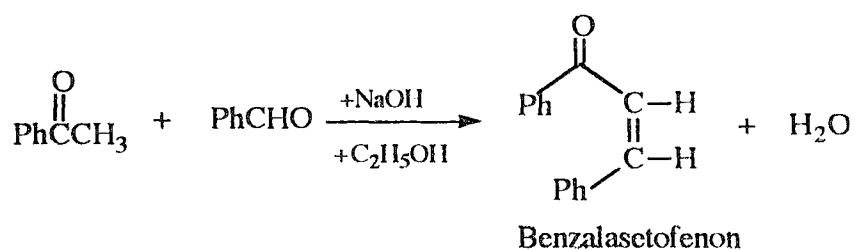
#### **2.2. (2) ve (3) Bileşiklerinin Sentezi**

Reaksiyonlarımızda başlangıç maddesi olarak kullanılan (2) ve (3)'ün sentez edilmesinde aşağıda belirtilen basamaklar takip edilir.

##### **2.2.1. Benzalasetofenon Sentezi**

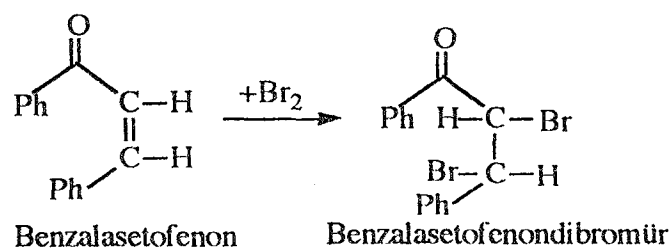
1 lt'lik üç boyunlu bir balona 22 g NaOH konur, üzerine sulu alkol, (200 ml su + 140 ml

etil alkol) ilave edilir. Bir karıştırıcı vasıtasıyla buz üzerinde karıştırılarak çözülür. Sonra bir damlatma hunisi yardımıyla, 51 ml destile asetofenon yavaş yavaş damlatılır. Bu işlem tamamlanınca, 46 ml destile benzaldehit üç boyunlu balon içerisinde birden dökülür. 5-6 saat tuz-buz karışımında karıştırılır. Sıcaklık yaklaşık  $-10^{\circ}\text{C}$ ' de tutulmalıdır. Çöken katı madde buzdolabında bir gece bekletilir. Vakumlanarak süzüldükten sonra (200 ml su + 140 ml etil alkol) ile yıkanır. İyice yıkanan madde bir petri kabına alınıp, vakum desikatöründe  $\text{P}_2\text{O}_5$  üzerinde iki gece bekletilerek kuruması sağlanır. Açık sarı yuvarlak kristaller halinde olup, crime noktası:  $58-59^{\circ}\text{C}$ 'dir [4,8].



### **2.2.2. Benzalasetofenondibromür Sentezi**

Tartılan 110 g benzalasetofenon, üç boyunlu balonda 200 ml  $\text{CCl}_4$ 'de tuz-buz ortamında çözüldükten sonra, eş değer miktarda brom (27.2 ml) damlatma hunisi vasıtıyla buzlu ortamda yavaş yavaş damlatılır. Brom buharının bir lastik boru yardımıyla çeker ocaktan vakumlanması gereklidir. Bromlama işlemi, bromun renginin kaybolmadığı anda durdurulur. Karıştırma işlemine brom ilavesi bittikten sonra 1 saat devam edilir. Vakumlanarak süzüldükten sonra, fazla bromun uzaklaştırılması için sıcak etil alkol ile iyice yıkanır. Petri kabına alınarak, vakum desikatöründe  $\text{P}_2\text{O}_5$  üzerinde kurutulur [4,8]. Reaksiyon denklemi:

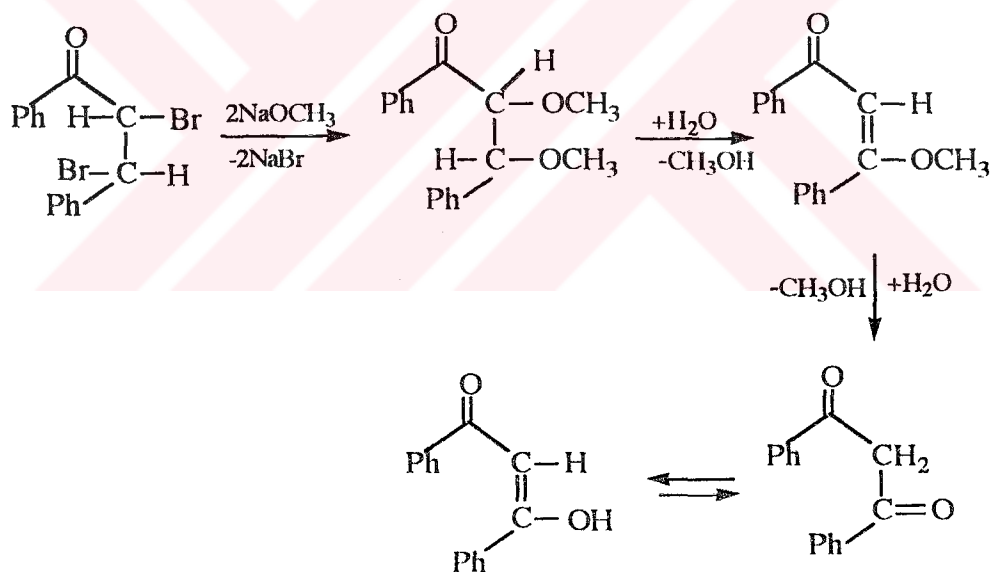


### **2.2.3. Dibenzoilmetan Sentezi**

90 g benzalasetofenondibromür üç boyunlu balona konur ve üzerine 100 ml metil alkol

ilave edilir. Diğer taraftan; şilifli kuru 300 ml'lik erlene üzerinde  $\text{CaCl}_2$  kurutma başlığı bulunan geri soğutucu takılır. Önce 120 ml destile metanol erlen içerisinde konur, sonra küçük parçalar halinde metalik sodyum ilave edilerek,  $\text{NaOCH}_3$  oluşturulur ve damlatma hunisine alınır. Damlatma hunisindeki sodyum metilat ( $\text{NaOCH}_3$ ) yavaş yavaş benzalasetofenondibromür'ün bulunduğu balona ilave edilir. Bu sırada sıcaklığın  $75^\circ\text{C}$  olması na dikkat edilmelidir. Reaksiyona bu sıcaklıkta 1 saat devam edilir. Süre tamamlandığında ısıtma ve karıştırma işlemine son verilerek, soğuması için bekletilir. Soğukta 12 ml derişik  $\text{HCl}$  ilave edilir ( $\text{pH}=1$  olmalı). Bundan sonra 8 ml daha  $\text{HCl}$  ilave edilerek sırakta 5 dakika karıştırıldıktan sonra, madde olduğu gibi buzdolabında 1 saat bekletilir. Vakumlanarak süzüldükten sonra % 50'lük 60 ml metanol, daha sonra da soğuk destile su ile yıkanır ve metanolden kristallendirilir. Süzülen kristalin ürün desikatörde  $\text{P}_2\text{O}_5$  üzerinde kurutulur. **1**'in sentezinde oldukça kuru dibenzoilmetan ile çalışılmalıdır. İnce sarı kristaller halinde olan bu maddenin erime noktası:  $77-78^\circ\text{C}$ dir [4,8].

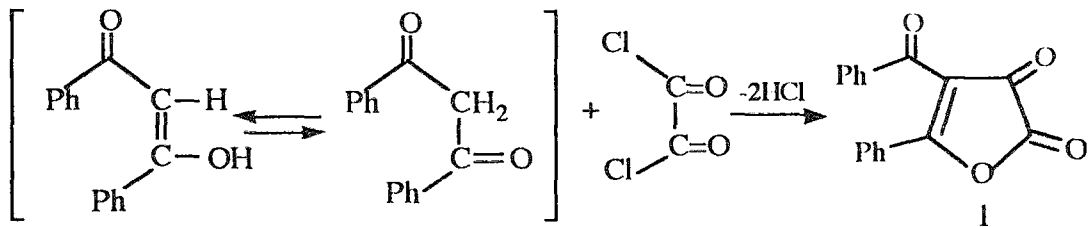
Reaksiyon Denklemi:



#### 2.2.4. **1** Bileşinin Sentezi

10.2 g dibenzoilmetan, 300 ml'lik şilifli bir erlene konur. Üzerine 100 ml susuz dietileter ilave edilerek çözülür. Anorganik tuzlardan iyice ayrılması için filtre edilir. Sonra üzerine 4.1 ml okzalil klorür ilave edilir.  $\text{CaCl}_2$  başlığı takılarak 2-3 gün bekletilir. Sarı ığnemsi kristaller halinde çöken madde, vakumlanarak süzülür ve  $\text{CCl}_4$ 'den kristallendirilir. Çöken kristalin madde, vakum desikatöründe  $\text{P}_2\text{O}_5$  üzerinde kurutulur[4,5,6]. Erime

noktası: 120 °C MA= 278.26 g/mol.



### 2.2.5. Asetofenonsemikarbazon Sentezi

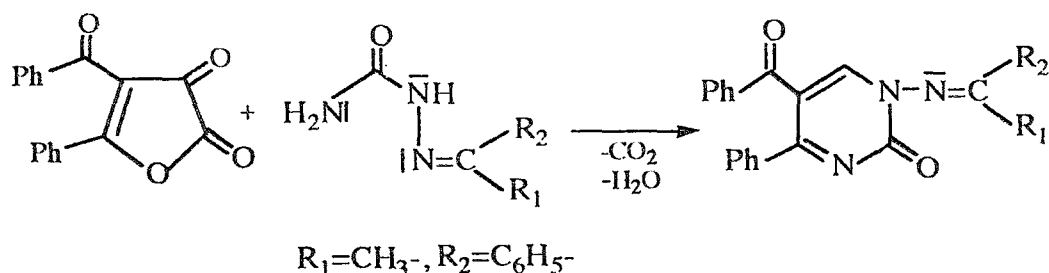
250 ml'lik şilifli bir balonda 0.6 g madde (asetofenonun sulu alkol çözeltisine) 0.7 g semikarbazithidroklorür ve 0.8 g sodyumasetat kristali karıştırılır ve yarım saat ısırılır. Soğuduktan sonra beyaz çökelek elde edilir. Süzüldükten sonra etilalkolden kristallendirilir. EN: 201 °C'dir [42,43].



### 2.2.6. 5-Benzoyl-1-(metilfenil-metilen- amino)-4-fenil-1H-pirimidin-2-on Sentezi

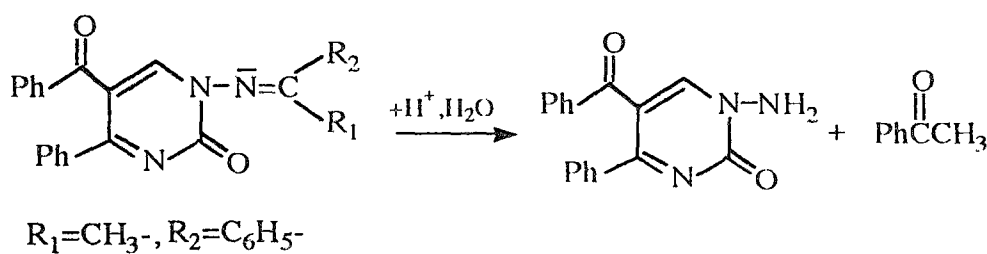
Bire bir mol (1:1), 0.25 mol asetofenon semikarbazon ile 0.25 mol **1** bileşiği, toluen çözücü ortamı kullanılarak, geri soğutucu yardımıyla 45 dakika kaynatılır. Toluен rotavapordan atılır. Yağimsı madde üzerine dietileter ilave edilerek, magnetik karıştırıcıda karıştırılır. Çöken sarı madde süzülür ve n-butanolden kristallendirilir.

Erime noktası: 195 °C [1].



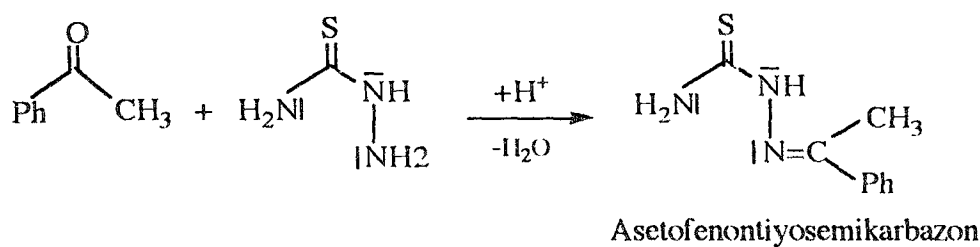
### 2.2.7. 1-Amino-5-benzoil-4-fenil-1H-pirimidin-2-on (2) Sentezi

0.5 g 5-Benzoil-1-(metilsenil-metilen-amino)-4-fenil-1H-pirimidin-2-on bileşigiden alınır. Bir geri soğutucu düzeneğinde n-butanolde ısıtularak çözülür. 5 ml asetik asit ilave edilir. Bulanma olmayınçaya kadar damla damla su ilave edilerek, 20 dakika kaynatılır. Soğuduktan sonra çöken, beyaz kristalin madde süzülerek, n-butanolden kristallendirilir. Erime noktası: 205 °C [1].



### 2.2.8. Asetofenontiyosemikarbazon Sentezi

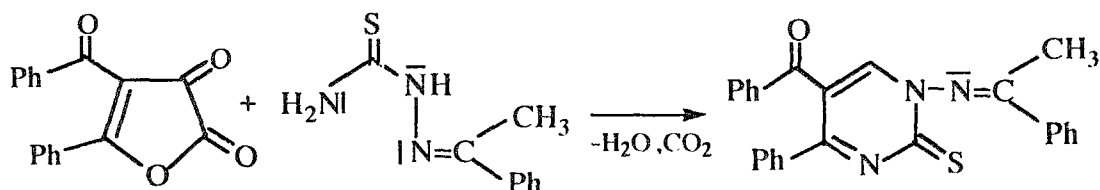
0.1 mol asetofenon, 100 ml % 50'lik etanolde çözülür ve 2 ml buzlu asetik asit ve 0.1 g 0.1 mol tiyosemikarbazit ilave edilir. Çözelti sık sık karıştırılarak, tiyosemikarbazit çözünülinceye kadar ısıtılır ve yaklaşık bir saat geri soğutucu altında kaynatılır. Soğuduktan sonra çöken madde süzülür. % 69'luk etanol veya metanolden kristallendirilir. Tiyosemikarbazon tamamen sarı kristaller şeklinde olup, erime noktası: 108 °C'dir [42,43].



### 2.2.9. 5-Benzoil-1-(metil-fenil-metilen-amino)-4-fenil-1H-pirimidin-2-tiyon Sentezi

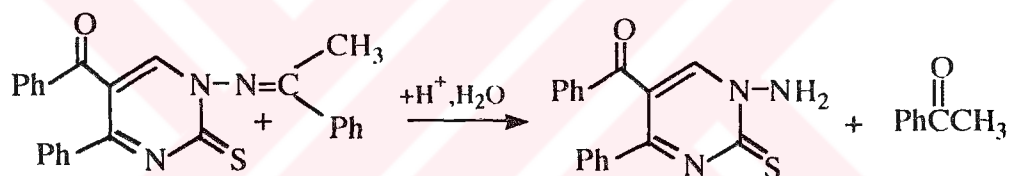
0.5 mol **1** bileşigi ile 0.5 mol asetofenontiyosemikarbazon, toluen ortamında bir geri soğutucu altında 80 °C ısıtılır veya benzen ortamında kaynatılır. Reaksiyon 1 saat devam ettilir. Reaksiyon anında sarı çökelti meydana gelir. 12 saat oda sıcaklığında bekletilir, çökelti sözülür, alınır. Çözücü rotovapordan atılarak, yağimsı madde üzerine dietileter ilave edilir. Elde edilen sarı renkli ürün alınarak, asetikasitten kristallendirilir. Erime nok-

tası: 226-228 °C'dir [2].



### 2.2.10. 1-Amino-5-benzoyl-4-fenil-1H-pirimidin-2-tiyon (3) Sentezi

0.5 g 5-Benzoyl-1-(methylfenil-metilen-amino)- 4-fenil-1H-pirimidin-2-tiyon bileşigiden alınır. 2 ml asetik asitte çözülür. Bir geri soğutucu düzeneği yardımıyla, ısıtılarak, damla damla su ilave edilir. Bulanma olmayıncaya kadar su ilavesine devam edilir ve 20 dakika kaynatılır. Soğuduktan sonra çöken sarı renkli madde süzülür. Asetik asitten kristallendirilir. Erime noktası: 210 °C'dir [2].



## 2.3. Deneylerde Faydalanan Araç ve Cihazlar

- Shimadzu 435 V-04 model IR Spektrofotometresi
- Buchi RE 111 marka rotovapor
- Buchi 510 Erime noktası cihazı
- DC Alufolien Kieselgel 60 1254 Merck TLC levhaları
- Nüve marka FN-500 model etüv (0-300 °C)
- Isıtıcılı magnetik karıştırıcı
- Su banyosu (0-100 °C)
- R 17 Cot Marka karıştırıcı
- Vakum pompası
- EA 1108 CHNS-O marka element analiz cihazı
- Camag marka UV lambası.
- Gemini-varian 200 MHz  $^1\text{H-NMR}$
- " "  $^{13}\text{C-NMR}$

#### 2.4. Deneylerde Kullanılan Yöntem

Reaksiyonlar, reaktiflerin ya etüvde sabit sıcaklıkta direk etkileştirilmesi, ya da çözücü ortamında kaynatılması ile yapıldı. Reaksiyonların ilerleyişi ince tabaka kromatografisi ile kontrol edildi. Gerekteğinde çözücü rotovapor'dan atıldı. Kristallerdirme metodu ile saflaştırma işlemi yapıldı. Elde edilen maddelerin yapıları elementel analiz, IR, <sup>1</sup>H-NMR ve <sup>13</sup>C-NMR spektrumları yardımı ile belirlenmeye çalışıldı.

## BÖLÜM III

### 3. DENEYSEL ÇALIŞMALAR

Bu kısımda yapılan çalışmalarda reaksiyon şartlarını belirlemek için, genel olarak tüm organik reaksiyonlarda dikkate alınan sıcaklık, zaman ve çözücü gibi faktörleri değiştirmek suretiyle çalışmalar yapıldı. Neticede birbirinden farklı olan yeni maddeler literatüre kazandırıldı.

#### 3.1. (2) Bileşininin Dibenzoilmetan ile Reaksiyonu

Bilindiği gibi kimyasal reaksiyonların gidişini belirleyen en önemli parametreler; sıcaklık, zaman, konsantrasyon, çözücünün cinsi, reaktiflerin yapısı ve aktifliğidir. Çalışmalarımızda her bir reaksiyon için bu parametreler gözönüne alınarak, defalarca yapılan denemelerle en uygun reaksiyon şartları belirlenmeye çalışıldı. (2) bileşiği ile dibenzoilmetanın reaksiyonunda (1:1) oranında alınarak benzen, toluen, ksilen gibi değişik çözüçüler kullanılarak sıcaklık ve zaman taramaları yapıldı. Reaksiyonun gidişi ince tabaka kromatografisi (TLC) ile takip edildi. Sözkonusu çözücü ortamlarında yapılan reaksiyonlardan bir sonuç alınamaması üzerine, çözüçüsüz ortamda direkt reaksiyon denemeleri yapıldı. En uygun sıcaklığın 100-110 °C olduğu belirlendi. Başlangıç maddelerinden (1:4) mol oranında alınarak temiz bir balonda, homojen bir şekilde karıştırıldı. p-toluen sulfonik asit katalizörliğinde, 115 °C'ye ayarlanmış etüvde 40 dak ısındı. Süre tamamlanınca etüvden alındı ve oda sıcaklığına kadar soğutuldu. Oluşan yağimsı ürün, susuz dietiletere alındı. 3-4 saat magnetik karıştırıcıda karıştırılarak, bir kısım safsızlığın çözelti fazına geçmesi sağlandı. Çöken ham ürün süzüldü ve çeşitli çözüçüler dene-

nerek kristallendirilmeye çalışıldı. Kristallendirme için en uygun çözücünün etil alkol olduğu tespit edildikten sonra, madde etil alkolde kristallendirildi. TLC, IR ve erime noktası tetkiklerinden sonra yeni ürünün elementel analizi yapıldı. Tezin bulgular bölümünde sunulan elementel analiz sonuçlarına göre, sentez edilen bu bileşigin (ZÖ1) kapalı formülünün  $C_{32}H_{23}N_3O_3$  şeklinde olduğu belirlendi.

Bilindiği gibi IR spektroskopisi tekniği yardımıyla temel titreşim frekansları IR bölgede olan organik bileşiklerin fonksiyonel grupları belirlenir ve yapıları hakkında bazı ön bilgiler elde edilir. KBr disk tekniği ile alınan spektrumların değerlendirilmesinde IR korelasyon tabloları ve bazı yardımcı kitaplardan faydalанılmıştır [44, 45, 46].

Şekil 3.1'de görülen (ZÖ1) bileşiginin IR spektrumunun; hidrojen gerilme bölgesinde 3500-3350  $\text{cm}^{-1}$  arası -NH bağının gerilme titreşimini göstermektedir. 3200-3150  $\text{cm}^{-1}$  deki band -C=CH gerilme titreşimlerine aittir. 3000-3050  $\text{cm}^{-1}$  deki pik aromatik C-H gerilme titreşimlerini temsil eder. Oksijen kükürtten daha çok elektronegatif ve atom çapı daha küçük olduğundan (C=O) grubu C=S grubundan daha büyük dalga sayısında pik verir. 1690  $\text{cm}^{-1}$  deki şiddetli pik moleküldeki karbonil gruplarına aittir. 1600  $\text{cm}^{-1}$  deki pik aromatik halkaların C=C ve C=N gerilme titreşimlerine karşılıktır. 1500-1400  $\text{cm}^{-1}$  arasındaki pikler ise aromatik halka iskelet titreşimine aittir. Ayrıca spektrumun parmak izi bölgesinde 800-660  $\text{cm}^{-1}$  arasındaki piklerinde moleküldeki pirimidin iskeletine ait titreşimleri temsil ettiği IR korelasyon tabloları yardımıyla anlaşıldı.

Şekil 3.2'de verilen 200 MHz'lik  $^1\text{H-NMR}$  spektrumu, (ZÖ1)bileşigi  $\text{CDCl}_3$ 'de çözülmerek alınmıştır. Spektrumun incelenerek yorumlanması için proton kimyasal kayma korelasyon tablolarından ve ilgili kitaplardan yararlanılmıştır [44, 45, 46, 47, 48, 49]. Referans madde olarak TMS kullanılmış olup, kimyasal kayma değerleri  $\delta=\text{ppm}$  ölçü birimindedir. Bilindiği gibi aromatik bileşikler magnetik anizotropi özelliği gösterirler. Bu durum çift bağlardaki elektron akımları sonucu ortaya çıkar. Aromatik, olefinik, asetilenik ve karbonil grubuna bağlı protonların kimyasal kaymaları ( $\delta=\text{ppm}$ ), bu tür perdeleme ile açıklanır. Bu nedenle aromatik protonlar, 6-9 ppm değerleri arasında çıkabilir. Söz konusu bileşige ait sinyallerin kimyasal kayma değerleri, elektronegativite ve anizotropik etkiler gözönüne alınarak şu şekilde yorumlandı. (ZÖ1) bileşiginin spektrumundaki  $\delta=6.67-7.85$  ppm arasındaki pik grubu bileşikteki elektron yoğunlukları farklı olan fenil grupları protonlarına ve pirimidin halkası protonuna aittir. Hangi pikin, hangi fenil grubuna ait olduğunu tespit etmek zordur. Sırasıyla  $\delta=5.82-5.99$  ppm arasındaki dublet pikler -NH ve C=CH protonlarına aittir.

Eğer etkileşen iki protonun rezonans frekansları birbirine yakın ise bu iki proton A ve B ile gösterilir. Protonlar arasında kimyasal kayma farkı çok fazla ise protonların biri A, diğer X ile gösterilir. Bu iki protonun oluşturduğu spin sistemlerine AB ve AX sistemi denir. İki protonun rezonans frekansı birbirine yaklaşınca veya  $\Delta\delta / J$  değeri 10'un altına düşerse oluşan sistem AB sistemidir. AB sistemleri dört çizgiden oluşur. Bu çizgi şiddetleri birbirine eşit değildir. Dıştaki çizgiler içteki çizgilere göre daha küçüktür. Etkileşen protonların kimyasal kayma değerleri birbirine yaklaştıkça dıştaki çizgilerin şiddeti küçülür, içteki çizgilerin şiddeti artar [47].

(ZÖ1) bileşliğinde  $\delta=5.81$  ile 5.99 ppm arasındaki pikler AB (çatı sistemi) sistemini oluşturur. Spektrumda görülen iki tane ikili pik bileşliğimizde bulunan =CH ve -NH protonlarına aittir.  $\delta=5.96$  ppm'de görülen pik azota bağlı protonu,  $\delta=5.85$  ppm'de görülen ise =CH protonuna aittir. Pik yükseklikleri toplamı 4 mm olup, iki protona karşılık gelmektedir.  $\delta=1.6$  ppm'deki pikin çözücü olarak kullanılan  $\text{CDCl}_3$ 'deki sudan kaynaklandığı düşünülmektedir. Spektrumdaki integral alanları karşılaştırılarak orantı ile bulunan proton sayıları elementel analiz ile uyum içindedir.

$$\begin{array}{lll} \delta=\text{ppm} & : & 6.67-7.85 \quad 5.99-5.85 \\ \text{Proton sayısı} : & 21 & 2 \end{array}$$

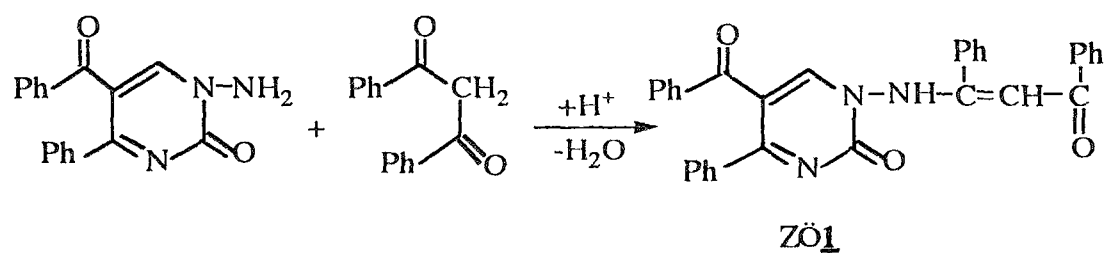
(ZÖ1) bileşininin  $^{13}\text{C-NMR}$  spektrumu, Şekil 3.3'te görülmektedir. Karbonun kimyasal kayması, C'nun hibritleşmesine ve çevresine bağlıdır. C'nun bağlı olduğu atom veya gruplar değişikçe, sinyalin gözlenme yerleri de değişecektir.  $^1\text{H-NMR}$ 'nda yapısı kesin açıklanamayan bileşikler bu tekninin yardımıyla net açıklanabilmektedir. Aromatik C'lar (alken C'ları gibi)  $\delta=110-150'$  ppm arasında soğurma yaparlar. Substitue aril karbonunun absorpsiyonu, substituentin elektronegatifliğine bağlıdır ve pik şiddeti düşüktür. Alkil grupları  $\delta=0-70$  ppm arasında, karbonil bileşikleri ise  $\delta=160-250$  ppm'de sinyal verirler. Karbonil grubu üzerinde elektron yoğunluğunu arturan her fonksiyonlu grup, kimyasal kaymanın azalmasına sebep olur. Yani TMS'ye yakın çıkar. Sentezlediğimiz bileşiklerin  $^{13}\text{C-NMR}$  spektrumlarının yorumu yapıldıken, benzer yapıda olan bileşiklerdeki C'ların kimyasal kayma değerleri literatürlerden çıkarılmıştır. Ayrıca,  $^{13}\text{C-NMR}$  kimyasal tablolarından da yararlanılmıştır [44,45,46].

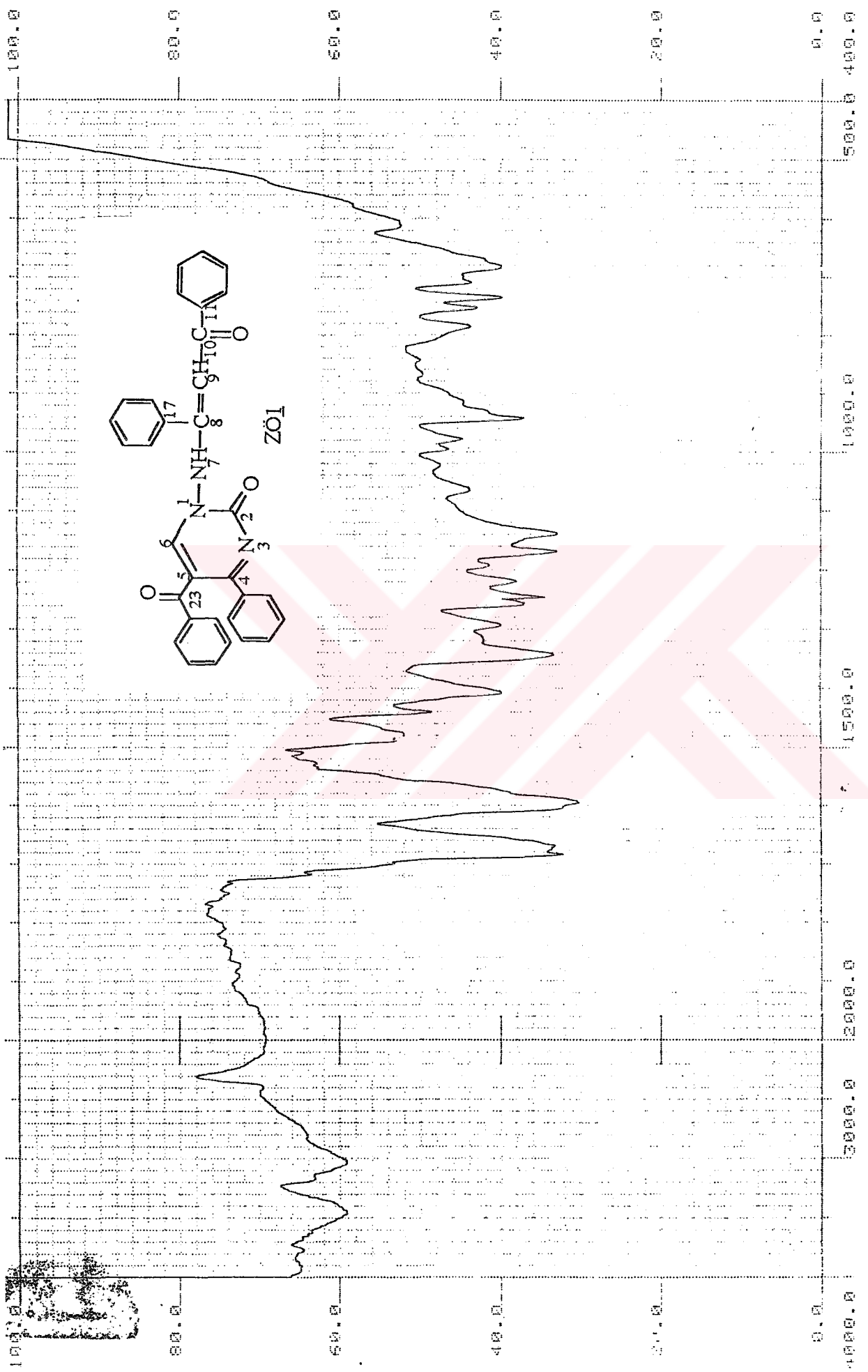
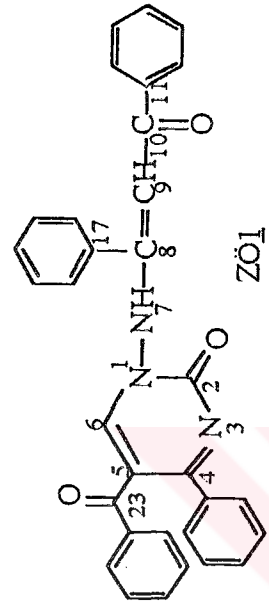
(ZÖ1) bileşinin spektrumunun analizi, C atomlarının numaralarına göre aşağıda gösterilmiştir:

$\text{C}_2$	160.05 ppm (singlet)	$\text{C}_4$	148.37 ppm (s)
$\text{C}_8$	58.69 (s)	$\text{C}_9$	64.91 (s)
$\text{C}_{10}$	196.59 (s)	$\text{C}_{23}$	196.94 (s)

129.12 ile 148.79 ppm arasındaki pikler aromatik karbonlara ve pirimidin halkasındaki karbonlara aittir.

Bu spektral ve elementel analiz bilgileri ışığında, (ZÖ1) bileşiginin reaksiyon denklemi ve açık formülü aşağıdaki gibi olup, bu bileşik IUPAC adlandırma sistemine göre; 1-(5-benzoil-4-fenil-2-okso-1,2-dihidro-pirimidinil-amino)-1-fenil-2-benzoileten şeklinde adlandırıldı.

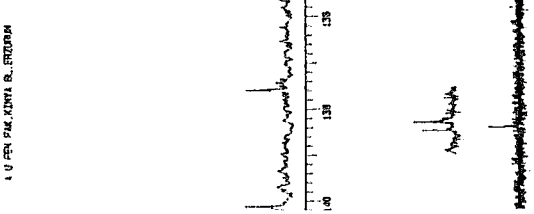
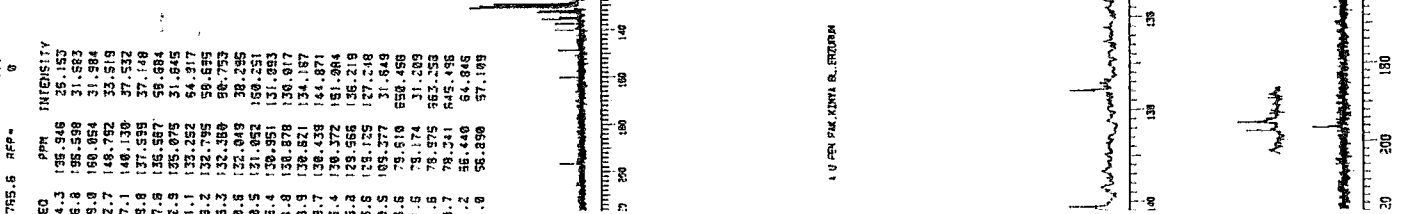
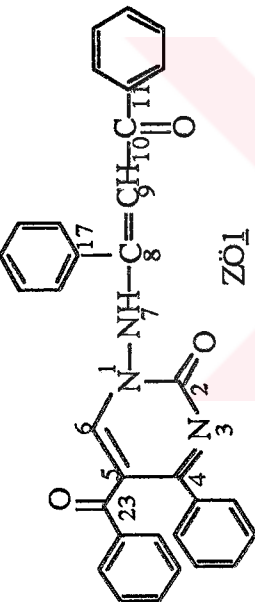




**Şekil.3.1. ZÖ1 Bileşiginin IR Spektrumu**

**Şekil 3.2.** ZÖ1 Bileşliğinin  $^1\text{H-NMR}$  Spektrumu

**Şekil 3.3.** ZÖ1 Bileşliğinin  $^{13}\text{C-NMR}$  Spektrumu



### 3.2. (3) Bileşinin Dibenzoilmetan ile Reaksiyonu

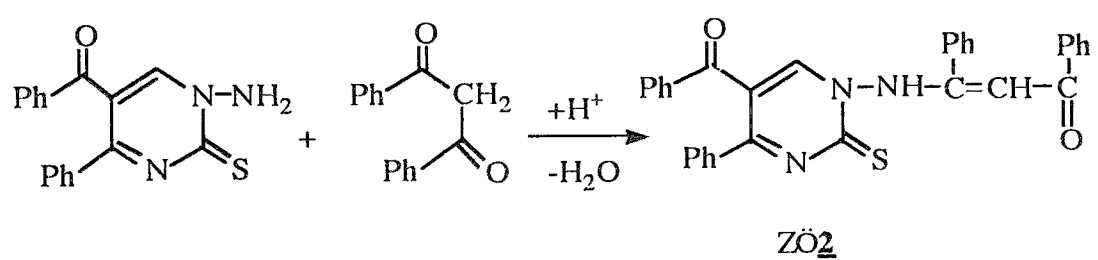
Daha önceki (2) için yapılan çalışmalar gözönünde tutularak bir seri denemeler yapıldı ve (ZÖ1) bileşine benzer şekilde başlangıç maddelerinden (1:4) mol oranında alındı. Homojen bir şekilde karıştırılan maddeler, p-toluen sulfonik asit katalizörliğinde şilifli bir balonda,  $\text{CaCl}_2$  başlığı takılarak  $115\text{ }^{\circ}\text{C}$ 'ye ayarlanmış etüvde 3 saat bekletildi. Süre tamamlanınca etüvden alındı ve oda sıcaklığına kadar soğutuldu. Susuz dietileter ilave edilerek, magnetik karıştırıcıda 3-4 saat karıştırıldı. Elde edilen ham ürün n-butanoldan kristallendirildi. TLC, IR ve erime noktası işlemlerinden sonra elde edilen ürünün (ZÖ2) başlangıç maddelerinden farklı ve saf olduğu belirlendi. Elementel analiz sonuçlarına göre bileşinin (ZÖ2) kapalı formülünün  $\text{C}_{32}\text{H}_{23}\text{N}_3\text{O}_2\text{S}$  şeklinde olduğu anlaşıldı.

Şekil 3.4'te (ZÖ2) bileşinin KBr disk teknigi ile alınan IR spektrumu görülmektedir. Hidrojen gerilme bölgesinde  $3020\text{ cm}^{-1}$  deki pik aromatik gerilme titreşimlerine aittir.  $3400\text{ cm}^{-1}$  deki keskin band -NH gerilme bandıdır.  $1660-1620\text{ cm}^{-1}$  ve  $1220\text{ cm}^{-1}$  deki şiddetli pikler ise sırasıyla karbonil ve tiyokarbonil gruplarının gerilme titreşimleridir.  $1600\text{ cm}^{-1}$  deki pik aromatik halkadaki  $\text{C}=\text{C}$  ve  $\text{C}=\text{N}$  bağlarının gerilme titreşimini gösterir.  $1520-1450\text{ cm}^{-1}$  arasındaki pikler aromatik halka iskelet titreşimini gösterir.  $680-760\text{ cm}^{-1}$  arasındaki pik grubu moleküldeki pirimidin iskeleti titreşimlerini temsil eder.

Şekil 3.5'te görülen (ZÖ2) bileşinin  $^1\text{H-NMR}$  spektrumu incelendiğinde  $\delta=6.66-7.70\text{ ppm}$ 'deki multiple pikler aromatik halka protonlarını gösterir. Alan şiddetleri toplamı 981.662 birim olup, pik yüksekliği 40 mm'dir.  $40:21=1.9\text{ mm}$  bir protona karşılık gelir.  $\delta=5.85-5.89$  ve  $\delta=5.71-5.76\text{ ppm}$  arasındaki dublet pikler sırasıyla  $=\text{CH}$  ve -NH protonlarına aittir. (ZÖ2) bileşliğinde de, yine (ZÖ1) bileşliğinde görülen AB (çatı sistemi) görülmektedir [47]. Pik yüksekliği 4 mm olup,  $4:1.9-2.1$  protona karşılık gelmektedir. Spektrumdaki piklerin integral alanları karşılaştırıldığında bulunan proton sayısı, elementel analiz ile uyum içindedir.

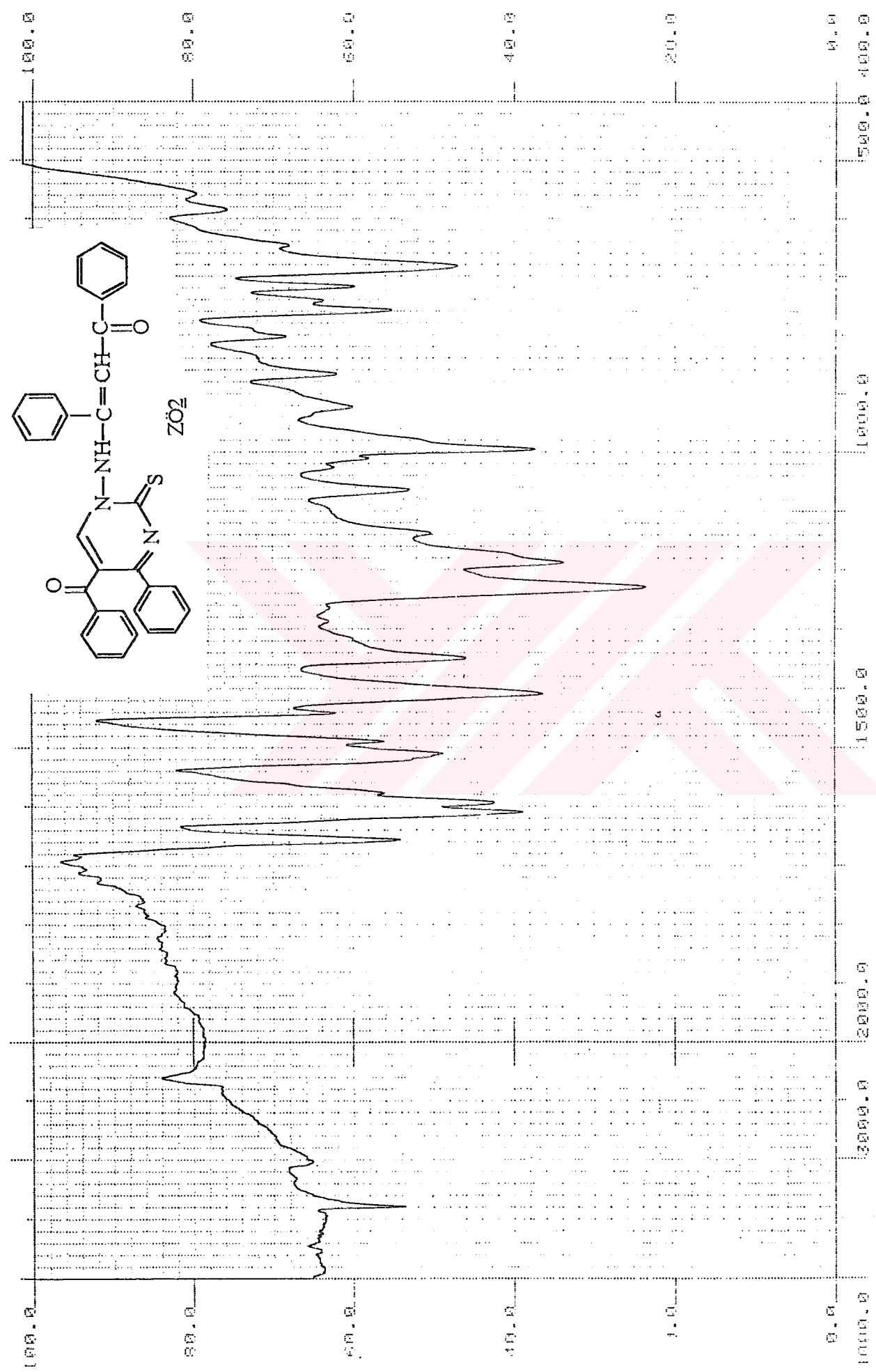
Kimyasal kayma ( $\delta=\text{ppm}$ ) :	5.71-5.89	6.66-7.70
İntegrasyon (proton sayısı) :	2	21

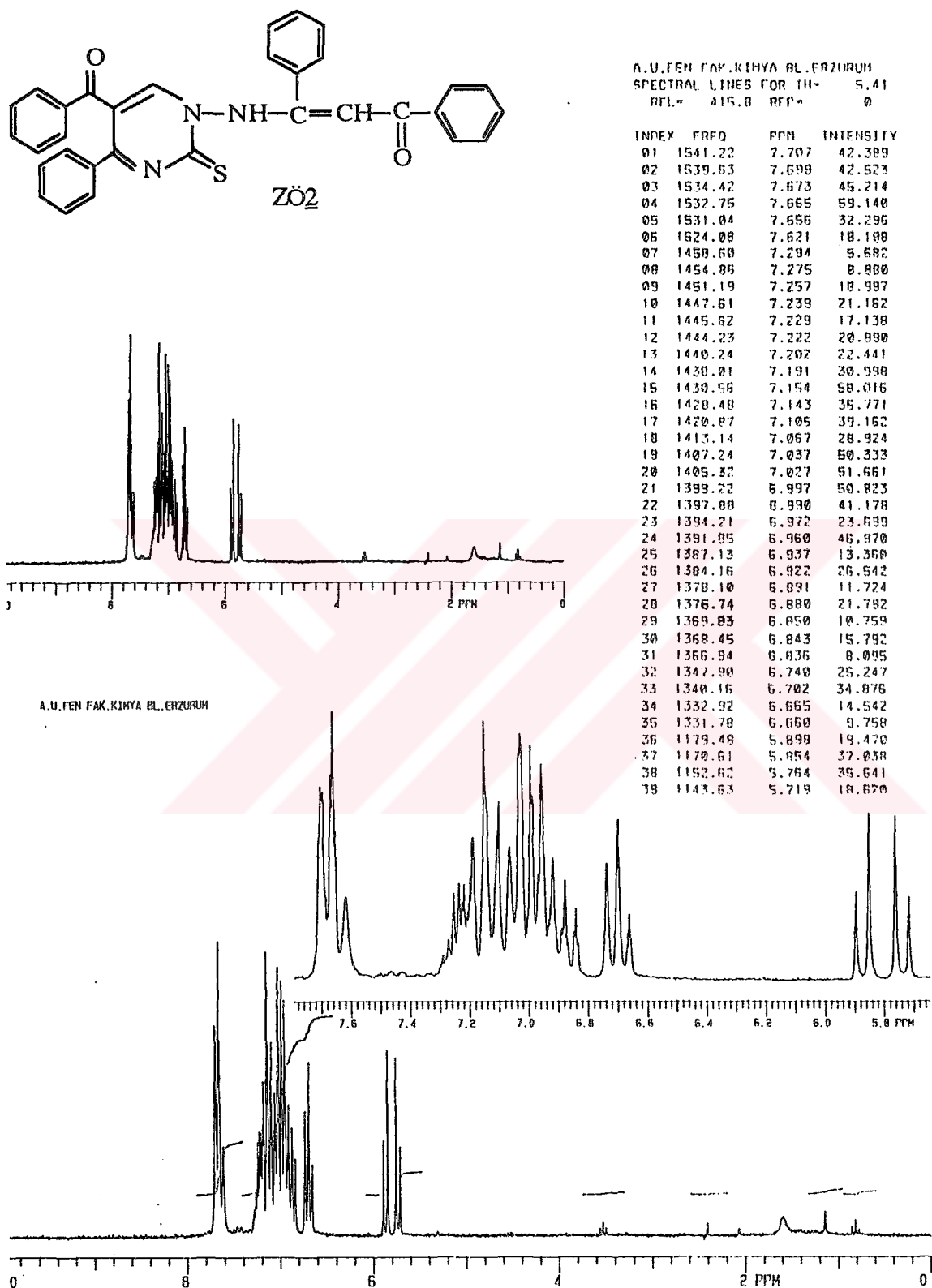
Bu spektral ve elementel analiz bilgileri ışığında, (ZÖ2) bileşinin reaksiyon denklemi ve açık formülü aşağıdaki gibi olup, IUPAC adlandırma sistemine göre; 1-(5-Benzoyl-4-fenil-2-tiyokso-1,2-dihidro-pirimidinil-amino)-1-fenil-2-benzoileten şeklinde adlandırıldı.



ZÖ2

**Sekil 3.4.** **ZÖ<sub>2</sub>** Bileşiginin IR Spektrumu





Şekil.3.5. ZÖ2 Bileşinin  $^1\text{H}$ -NMR Spektrumu

### 3.3. (2) Bileşinin Di ( p-metoksibenzoil ) metan ile Reaksiyonu

Di ( p-metoksibenzoil ) metan' da, dibenzoilmetan gibi davranışları düşünlerek, benzer şekilde direk reaksiyon denemesi yapıldı. (1:4) mol oranında alınan maddeler, p-toluen sulfonik asit katalizörü katılarak homojen hale getirildikten sonra, sabit sıcaklıkta 115 °C'de 2 saat ısıtılarak, reaksiyon yapıldı. Oda sıcaklığında soğutuldu. Soğumuş ürünler karışımına dietileter ilave edilerek, magnetik karıştırıcıda 24 saat karıştırdı. Bir kısım safsızlıklardan temizlenen ham ürün, n-butanoldan kristallendirildi. TLC ile başlangıç maddelerinden farklı olduğu anlaşılan ürünen, IR spektrumu değerlendirilmesi ve erime noktası tayini ile sonuç doğrulandı. Elementel analiz sonuçlarına göre bileşinin (ZÖ3), kapalı formülünün  $C_{34}H_{27}N_3O_5$  şeklinde olduğu anlaşıldı.

Şekil 3.6'da (ZÖ3) bileşinin KBr disk tekniği ile alınan IR spektrumu görülmektedir. Bileşikteki N-H gerilme titresimi  $3500\text{-}3400\text{ cm}^{-1}$  arasında geniş band şeklinde yer almaktadır.  $3100\text{-}3050\text{ cm}^{-1}$  deki geniş pik aromatik C-H gerilme titresimlerine, yani moleküldeki fenil gruplarına,  $3000\text{-}2800\text{ cm}^{-1}$  arasındaki zayıf pik metoksi gruplarındaki C-H gerilme titresimlerine aittir. Karbonil gruplarına ait pikler sırasıyla  $1710\text{ cm}^{-1}$  de halka karbonil grubu,  $1650\text{ cm}^{-1}$  de metoksi grubu karbonili ve benzoil grubu karboniline ait olacağı IR korelasyon tabloları yardımıyla belirlendi [44,46,50]. Aromatik halkalardaki  $C=C$  gerilme titresimleri  $1600\text{-}1580\text{ cm}^{-1}$  deki şiddetli band ile bu halkaların iskelet titresimleri ise  $1510\text{-}1430\text{ cm}^{-1}$  arasındaki bandlar ile temsil edilmektedir.  $1150\text{-}1260\text{ cm}^{-1}$  deki piklerde sırasıyla C-O-C bağlarının asimetrik ve simetrik gerilme titresimlerine aittir.  $900\text{-}760\text{ cm}^{-1}$  arasındaki bandlar ise pirimidin iskeletine ait titresimlerdir.

Bileşinin yapısını aydınlatmak için  $^1H$ -NMR ve  $^{13}C$ -NMR spektrometrik yöntemleri kullanıldı. DMSO'da çözüülerek alınan  $^1H$ -NMR spektrumu şekil 3.7'de görülmektedir. Spektrumda  $\delta=3.66\text{-}3.71\text{ ppm}$ 'da görülen iki pik, moleküldeki metoksi gruplarına aittir. Pik yüksekliği 15 mm olup, 6 protona karşılık gelmektedir.  $\delta=6.62\text{-}6.67\text{ ppm}$ 'de  $=CH$  pik,  $\delta=6.88\text{-}6.92\text{ ppm}$ 'de  $-NH$  piki görülmektedir. Bu spektrumda da daha önceki spektrumlarda olduğu gibi AB sistemi (çatı sistemi) görülmektedir.  $-NH$  ve  $=CH$  protonları birbirleri ile etkileşerek dublete yarılmışlardır.  $\delta=7.04\text{-}7.52\text{ ppm}$  arasındaki multiple pikler aromatik halka protonlarını göstermektedir. Pik yüksekliği 42 mm olup,  $42:19=2.21$  mm bir protona karşılık gelmektedir. Bu piklerin alan şiddetleri toplam 690.21 birimdir. Bileşinin yapısında toplam 27 proton vardır. Bu da, elementel analiz sonucu bulunan proton sayısına eşittir. Kimyasal kayma değerlerine karşılık gelen proton sayıları aşağıda toplu halde gösterilmiştir.

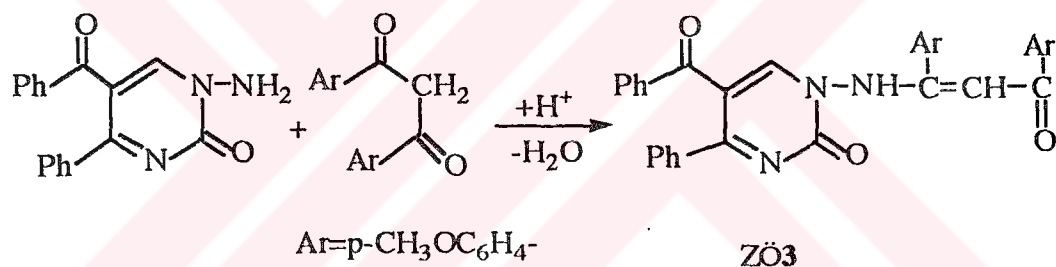
Kimyasal Kayma ( $\delta$ =ppm) :	3.66-3.71	7.04-7.52	6.62-6.92
İntegrasyon (proton sayısı) :	6	19	2

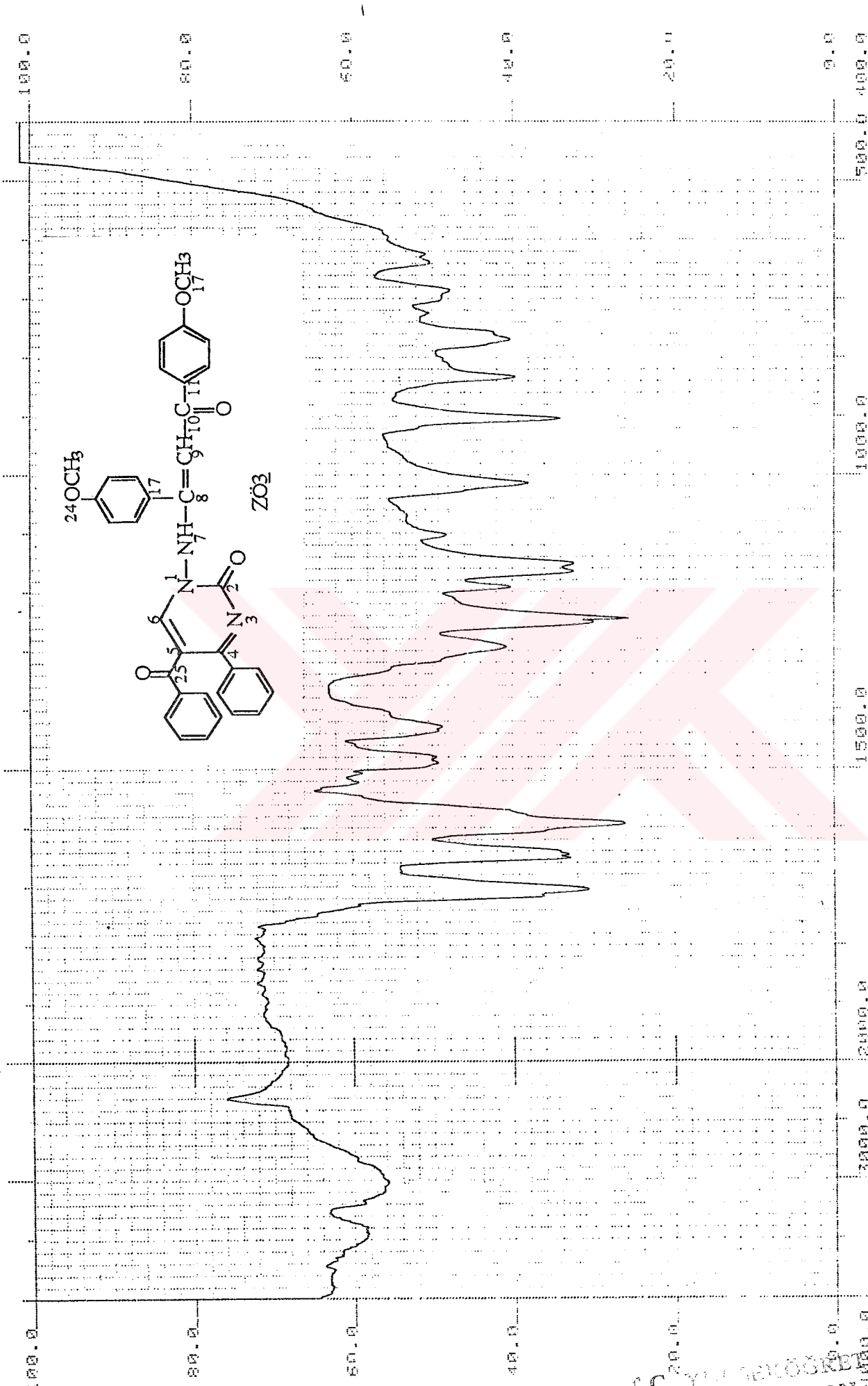
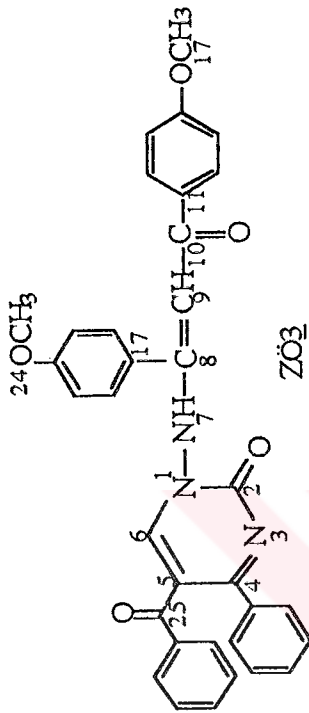
(ZÖ3) bileşininin  $^{13}\text{C}$ -NMR spektrumu ise Şekil 3.8'de görülmektedir. Spektrumun yorumu C atomlarının numaralarına göre aşağıda yer almaktadır:

C <sub>2</sub> 164.81 ppm (s)	C <sub>5</sub> 161.64 ppm (s)	C <sub>6</sub> 155.43 ppm (s)
C <sub>4</sub> 146.43 ppm (s)	C <sub>25</sub> 193.08 ppm (s)	C <sub>24</sub> 56.96 ppm (s)
C <sub>17</sub> 57.10 ppm (s)	C <sub>10</sub> 190.93 ppm (s)	

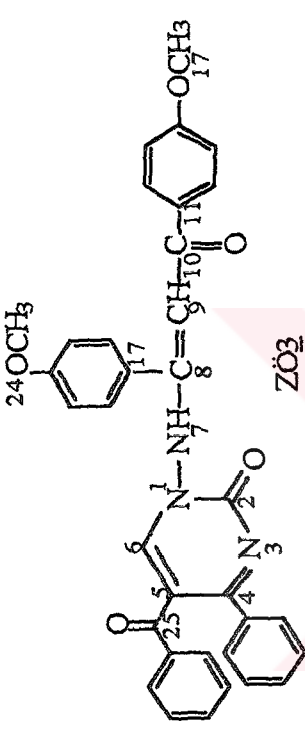
109.69-141.88 ppm arasındaki piklerin, diğer C atomlarına ait olduğu düşünülmektedir.

Bu spektral ve elementel analiz bilgileri ışığında (ZÖ3) bileşinin reaksiyon denklemi ve açık formülü aşağıdaki gibi olup, IUPAC adlandırma sistemine göre; 1-(5-Benzoil-4-fenil -2- okso - 1,2 - dihidro - pirimidinil-amino) - 1 - p-metoksifenil - 2-p- metoksibenzoiletten şeklinde adlandırıldı.





**Sekil 3.6. ZÖ3 Bileşiginin IR Spektrumu**



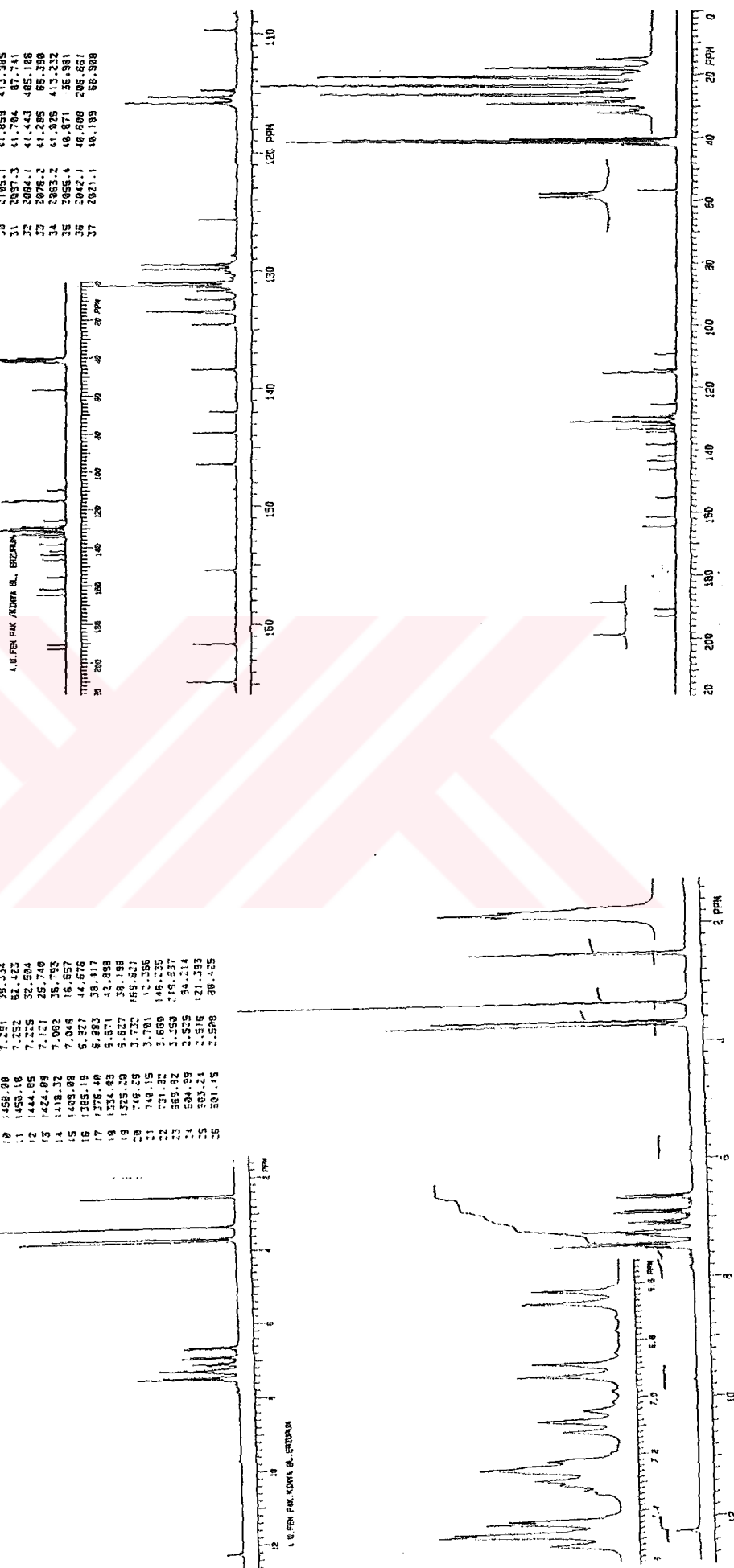
A.U. FEN KİMYA ST. ERZURUM  
SPECTRAL LINES FOR THE 3,81  
g

REFP = 422.1 REP =

4.U. FEN KİMYA ST. ERZURUM

INDEX FREQO PPM INTENSITY

91	259.35	12.253	13.134
92	158.98	7.524	32.418
93	149.95	7.483	16.458
94	149.73	7.480	73.568
95	149.51	7.145	59.492
96	148.73	7.435	49.323
97	147.99	7.340	12.437
98	146.37	7.273	17.062
99	146.16	7.289	27.983
10	145.98	7.291	39.334
11	145.16	7.252	62.423
12	144.85	7.225	32.584
13	142.95	7.121	25.740
14	141.32	7.082	35.793
15	140.93	7.046	16.957
16	138.51	6.927	44.676
17	137.49	6.993	38.417
18	134.93	6.871	13.998
19	135.20	6.627	38.198
20	74.29	3.772	1F9.521
21	74.15	3.781	1C.356
22	731.37	3.689	149.335
23	569.62	3.559	219.337
24	594.95	2.325	94.214
25	595.24	2.516	121.333
26	301.15	2.598	38.435



Sekil 3.7. ZÖ3 Bileşinin  $^1\text{H}$ -NMR Spektrumu

Sekil 3.8. ZÖ3 Bileşinin  $^{13}\text{C}$ -NMR Spektrumu

### 3.4. (3) Bileşinin Di-( p-metoksibenzoil ) metan ile Reaksiyonu

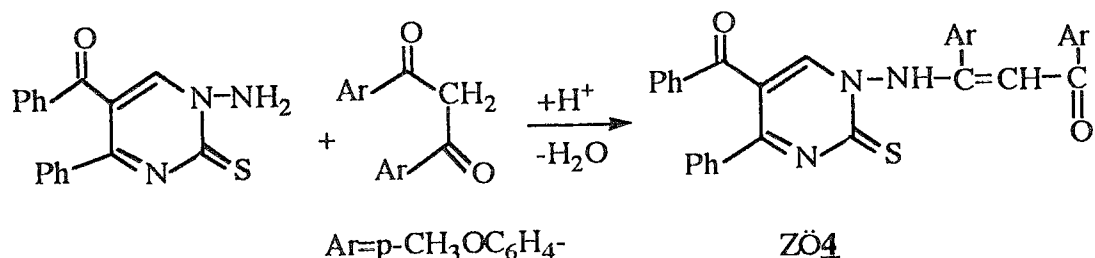
Bu çalışmamızda benzen, toluen, ksilen gibi çözücü ortamında reaksiyonun yapılması denendi. Fakat sonuç alınamadı. Bu nedenle (2) bileşinde olduğu gibi (1:4) mol oranında alınan maddeler, homojen hale getirilerek, bir balona konuldu. p-Tulen sulfonik asit katalizörü ilave edildi ve etiüde 115 °C'de 2 saat ısıtıldı. Etüvdən alınan madde oda sıcaklığına kadar soğutuldu. Dietileter ilave edilerek 24 saat magnetik karıştırıcıda karıştırdı. Elde edilen ham ürün, n-butanoldan kristallendirildi. TLC, IR ve erime noktası tayinlerinden sonra elde edilen ürünün başlangıç maddelerinden farklı ve saf olduğu anlaşıldı. Elementel analiz sonuçlarına göre (ZÖ4) bileşinin, kapalı formülü  $C_{34}H_{27}N_3O_4S$  olduğu anlaşıldı.

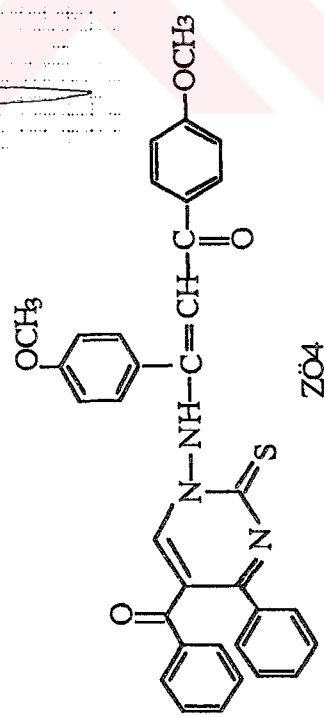
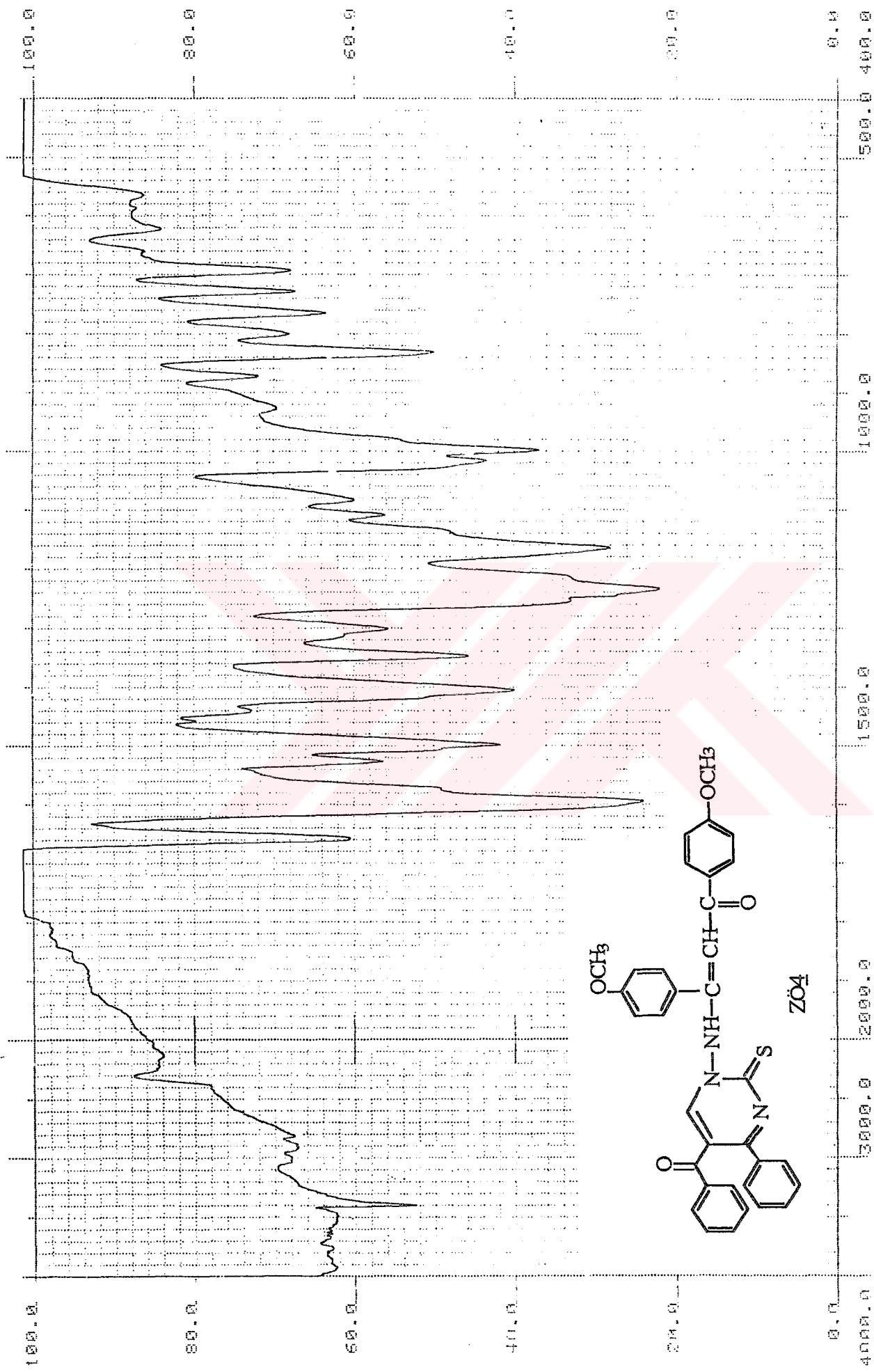
Şekil 3.9'da (ZÖ4) bileşinin KBr disk teknigi ile çekilmiş olan IR spektrumu görülmektedir. 3500-3400  $\text{cm}^{-1}$  arasında NH gerilme titresimi zayıf bir band halinde görülmektedir. 3050  $\text{cm}^{-1}$  deki zayıf pik aromatik C-H gerilme titresimini gösterir. 3000-2800  $\text{cm}^{-1}$  arasındaki iki zayıf pik p-metoksifenil gruplarındaki C-H gerilme titresimlerine aittir. 1660  $\text{cm}^{-1}$  deki keskin ve kuvvetli pik metoksi grubu karboniline ait, 1600  $\text{cm}^{-1}$  de keskin ve kuvvetli pik pirimidin iskeletine bağlı karbonil gruplarının absorbsiyon pikleridir. 1530-1400  $\text{cm}^{-1}$  deki pikler aromatik halka iskelet titresimine ait piklerdir. 1350-1200  $\text{cm}^{-1}$  arasındaki pikler sırasıyla C-O-C bağlarının asimetrik ve simetrik gerilme titresimleridir. C=S tiyokarbonil grubu ise 1160  $\text{cm}^{-1}$  deki pik ile temsil edilmektedir. C=S grubu oksijenden daha az elektronegatif ve yarı çapı daha küçük olduğundan kütük dalgasıında pik verir. 730-600  $\text{cm}^{-1}$  arasındaki pikler pirimidin iskeletine ait titresimlerdir.

(ZÖ4) bileşinin Şekil 3.10'da verilen  $^1\text{H-NMR}$  spektrumu incelendiğinde  $\delta=3.61-3.66$  ppm'deki pikler metil gruplarını gösterir. Alan şiddetleri toplamı 593.18 birim olup, pik yüksekliği 15 mm'dir.  $15:6=2.5$  mm 1 protona karşılık gelmektedir.  $\delta=5.67-5.71$  ppm'de =CH piki,  $\delta=5.73-5.77$  ppm'de -NH piki görülmektedir. Bu protonlar birbirini dublete yarışlardır. Bu spektrumda yine AB (çatı sistemi) sistemi görülmektedir.  $\Delta \delta/J$  oranı 10'nun altındadır. Dıştaki çizgilerin şiddeti içteki çizgilerin şiddettinden küçüktür.  $\delta=6.57-7.68$  ppm arasında aromatik protonlara ait pikler görülmektedir. Pik yüksekliği 47 mm olup  $47:2.5=19$  protona karşılık gelmektedir. Kimyasal kayma değerlerine karşılık gelen proton sayıları aşağıda toplu halde gösterilmiştir.

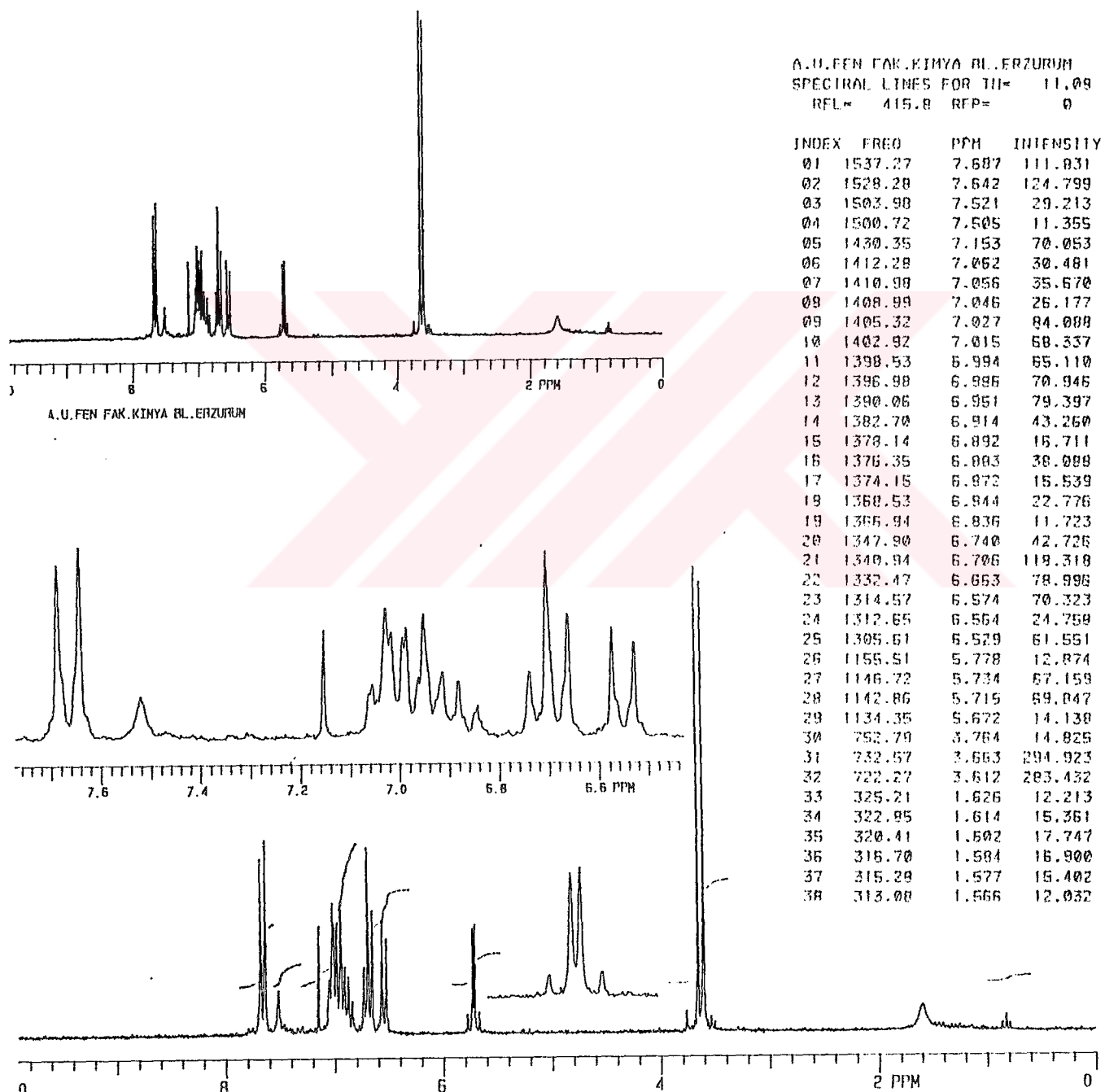
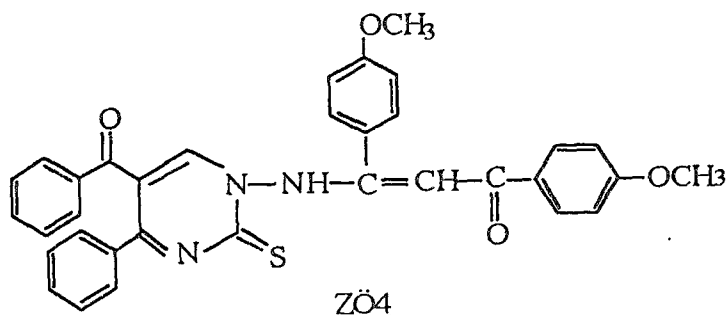
Kimyasal kayma ( $\delta=\text{ppm}$ ) :	3.61-3.66	5.73-5.71	6.57-7.68
İntegrasyon (proton sayısı) :	6	2	19

Bu spektral ve elementel analiz bilgileri ışığında (ZÖ4) bileşinin reaksiyon denklemi aşağıdaki gibi olup, IUPAC adlandırma sistemine göre; 1-(5-Benzoil-4-fenil-2-tiyokso-1,2-dihidro-pirimidinil-amino)-1-p-metoksifenil-2-p-metoksibenzoiletten şeklinde adlandırıldı.





**Şekil 3.9. ZÖ4 Bileşiginin IR Spektrumu**



Şekil.3.10. ZÖ4 Bileşinin  $^1\text{H}$ -NMR Spektrumu

### 3.5. (2) Bileşiginin Asetilaseton ile Reaksiyonu

Burada (2) ve asetilaseton (1:3) mol oranlarında alınarak, benzen, toluen, ksilen çözücü ortamlarında, geri soğutucu altında kaynatıldı. Elde edilen ürünler TLC ile kontrol edildi. Ürün oluşmadığı anlaşıldı. Daha sonra asetilasetonun fazlası (1.5 ml) (1:30) alınarak etüvde 115 °C'de yarım saat sabit sıcaklıkta tutuldu. Asetilaseton rotovapordan atıldı. Madde dietiletere alındı. 24 saat karıştırıldı. Elde edilen ham ürün n-butanolden kristal-lendirildi. TLC, erime noktası ve IR tayinlerinden sonra elde edilen ürünün başlangıç maddelerinden farklı ve saf olduğu anlaşıldı. Elementel analiz sonuçlarına göre (ZÖ5) bileşiginin kapalı formülünün  $C_{22}H_{19}N_3O_3$  olduğu anlaşıldı.

Şekil 3-11'de (ZÖ5) bileşiginin IR spektrumu görülmektedir. Spektrumda 3500-3400  $\text{cm}^{-1}$  arasındaki geniş band N-H gerilme titreşimini belirtir. 3200-3100  $\text{cm}^{-1}$  arasındaki pik aromatik ve alifatik C-H gerilme titreşimine aittir. Çakışık olarak bulunmaktadır. 3050  $\text{cm}^{-1}$  deki küçük pik, alifatik - $\text{CH}_3$  gruplarına ait C-H gerilme titreşimini gösterir. 1720-1690  $\text{cm}^{-1}$  arasındaki yarılmış kuvvetli pik, karbonil gruplarına ait absorbsiyon pikidir. 1620-1600  $\text{cm}^{-1}$  deki pik aromatik halkalardaki C=C ve C=N gerilme titreşimlerini gösterir. 1500-1400  $\text{cm}^{-1}$  arasında aromatik halka iskelet titreşimine ait pikler görülmektedir. 1340-1240  $\text{cm}^{-1}$  arasındaki orta şiddetteki bandlar  $\text{CH}_3$  grupları için karakteristik eğilme titreşimlerini gösterir. 1140  $\text{cm}^{-1}$  deki kuvvetli pik C-C eğilme iskelet titreşimlerine aittir. 800-690  $\text{cm}^{-1}$  deki pikler pirimidin halkasına ait iskelet titreşimlerini gösterir.

(ZÖ5) bileşiginin  $^1\text{H-NMR}$  spektrumu şekil 3.12'de verilmiştir.  $\delta=2.38$  ve  $1.88 \text{ ppm}'de$ ki iki pik bileşikteki iki - $\text{CH}_3$  grubu protonlarını gösterir [46,47].  $\delta=2.51 \text{ ppm}'de$ ki pik DMSO'ya aittir.  $\delta=3.35$  pik ise suya aittir.  $\delta=4.32-5.31 \text{ ppm}'de$  sırasıyla =CH ve NH protonlarına ait iki dublet pik bulunmaktadır. Bunlar birbirini etkileşimle dublette yarınlardır. Pik yükseklikleri 4'er mm olup her biri bir protonu gösterir.  $\delta=7.03-7.37 \text{ ppm}$  arasındaki multiple pikler, aromatik gruplara ait protonları gösterir. Spektrumdaki piklerin integral alanları karşılaştırıldığında, bulunan proton sayısı elementel analizle uyum içindedir.

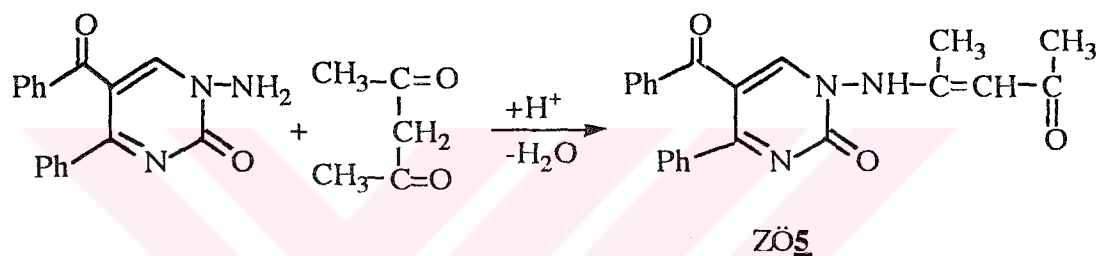
Kimyasal kayma ( $\delta=\text{ppm}$ ) :	1.88-2.38	4.32-5.31	7.03-7.37
İntegrasyon (proton sayısı) :	6	2	11

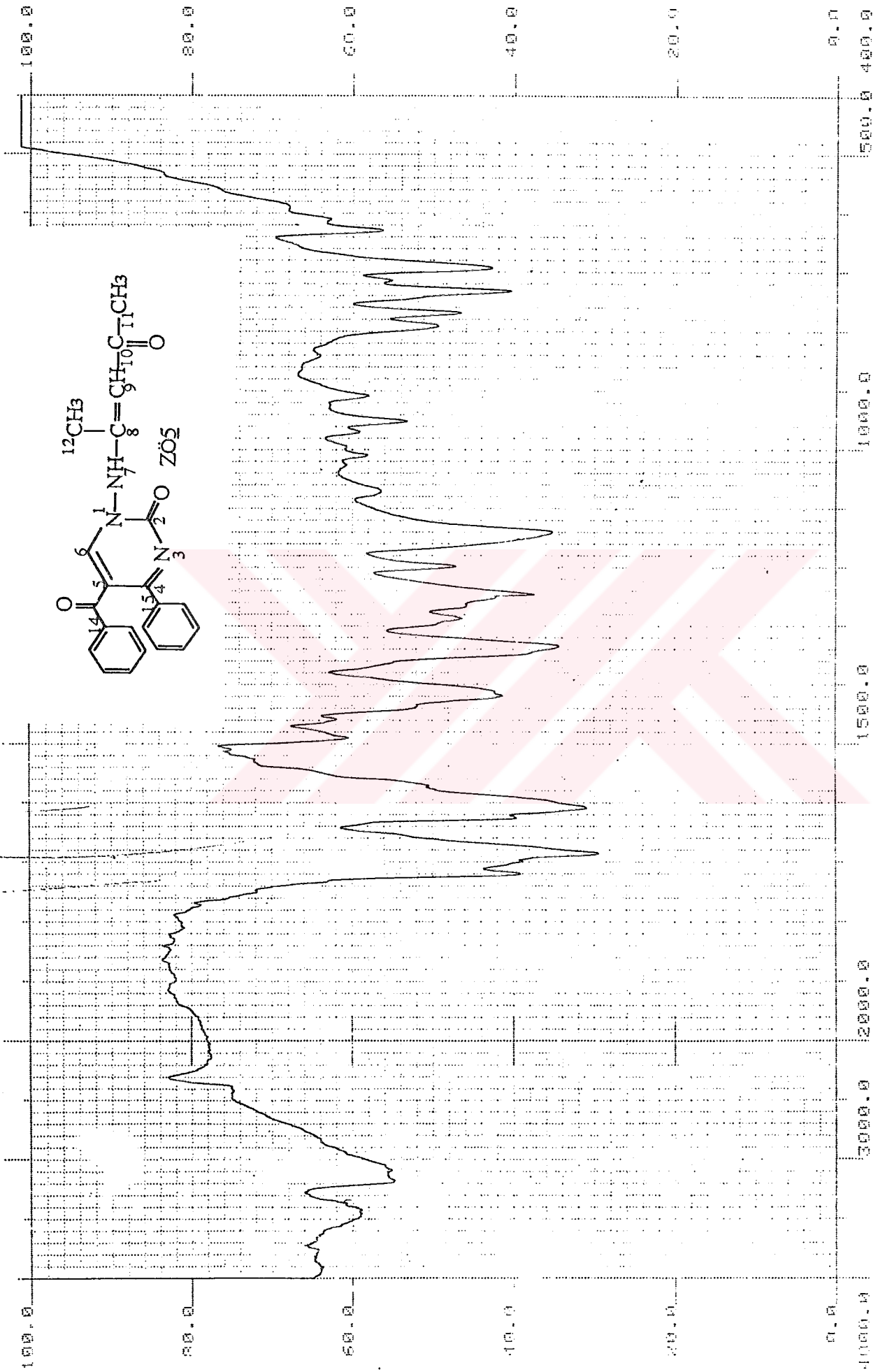
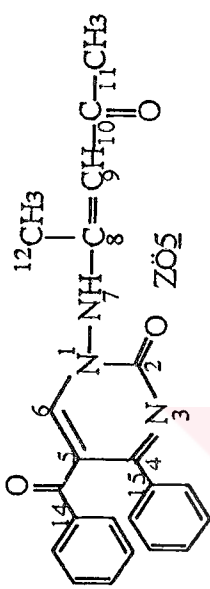
(ZÖ5)'in  $^{13}\text{C-NMR}$  spektrumu şekil 3.13'te verilmiştir. Spektrumun analizi C atomlarının numaralarına göre aşağıda gösterilmiştir.

C <sub>2</sub>	156.81 ppm (singlet)	C <sub>4</sub>	148.68 ppm	(s)
C <sub>5</sub>	151.20 ppm (s)	C <sub>6</sub>	141.04 ppm	(s)
C <sub>10</sub>	196.28 ppm (s)	C <sub>11</sub>	33.05 ppm	(s)
C <sub>12</sub>	16.20 ppm (s)	C <sub>13</sub>	205.51 ppm	(s)

Aromatik halka karbonları 110.08-134.48 ppm arasında bulunmaktadır. Bunları tek tek göstermek oldukça zordur.

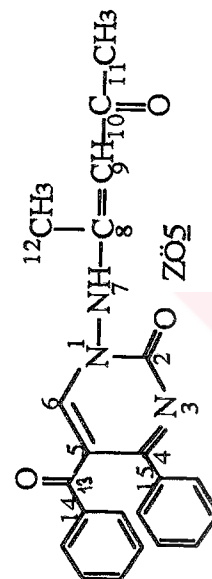
Bu spektral ve analiz bilgileri ışığında (ZÖ5) bileşığının açık formülü ve reaksiyon denklemi aşağıdaki gibi olup, IUPAC adlandırma sistemine göre; 1-(5-Benzoil-4-fenil-2-okso-1,2-dihidro-pirimidinil-amino)-1-metil-2-asetileten şeklinde adlandırıldı.





**Şekil 3.11. ZÖ5 Bileşiginin IR Spektrumu**

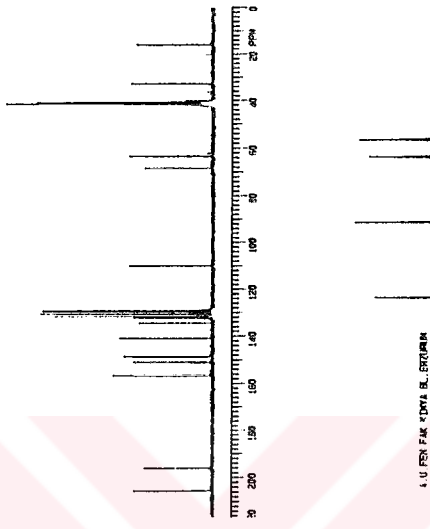
A.U.FEN FAK.KİMYA BL.ERZURUM  
SPECTRAL LINES FOR TH<sup>+</sup> 8.52  
REF# 20338.2 RFP# 0



A.U.FEN FAK.KİMYA BL.ERZURUM  
SPECTRAL LINES FOR TH<sup>+</sup> 14.38  
REF# 422.1 RFP# 0

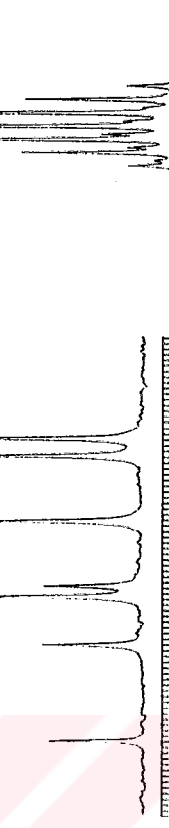
INDEX FREQ PPM INTENSITY  
01 1373.42 295.513 42.766  
02 5871.1 195.287 35.556  
03 7888.3 156.819 51.465  
04 7583.9 151.286 42.271  
05 7477.4 148.687 46.226  
06 7083.9 141.042 48.373  
07 5763.2 134.985 41.985  
08 6677.5 132.801 41.387  
09 6635.7 131.359 49.847  
10 6525.2 131.762 49.786  
11 6569.7 139.617 89.356  
12 6511.1 132.473 98.281  
13 6498.2 131.756 98.218  
14 5535.2 119.987 43.998  
15 2439.2 68.369 37.292  
16 3201.0 53.852 43.634  
17 2143.9 42.632 14.372  
18 2122.9 42.213 45.989  
19 3115.3 12.962 14.853  
20 2910.8 41.795 91.328  
21 2994.0 41.639 22.352  
22 2886.8 41.376 106.779  
23 2673.3 41.227 15.759  
24 2651.8 40.960 90.690  
25 2652.2 40.998 5.658  
26 2639.9 40.543 45.809  
27 2617.8 40.125 14.939  
28 1681.2 23.052 46.182  
29 814.8 15.291 43.957

INDEX FREQ PPM INTENSITY  
01 1373.45 9.968 113.624  
02 1474.03 7.171 115.111  
03 1487.37 7.336 146.322  
04 1485.69 7.329 118.224  
05 1443.96 7.221 36.380  
06 1439.24 7.197 106.317  
07 1438.52 7.195 113.977  
08 1431.34 7.153 175.592  
09 1429.39 7.148 194.256  
10 1419.62 7.059 164.394  
11 1414.57 7.074 154.692  
12 1407.16 7.037 155.481  
13 1408.34 7.091 54.364  
14 1075.35 5.378 93.517  
15 1082.26 5.312 112.467  
16 366.15 4.331 87.481  
17 365.45 4.226 53.765  
18 852.75 4.264 57.145  
19 871.23 3.257 366.282  
20 592.93 1.515 152.535  
21 591.14 2.397 141.169  
22 476.36 2.385 507.133  
23 337.46 1.388 361.584  
24 176.71 0.384 18.612



A.U.FEN FAK.KİMYA BL.ERZURUM

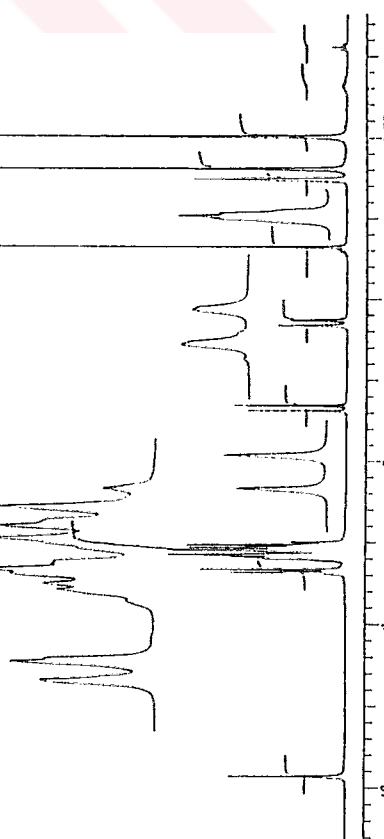
1.0 2.0 3.0 4.0 5.0 6.0 7.0 8.0 9.0 10.0



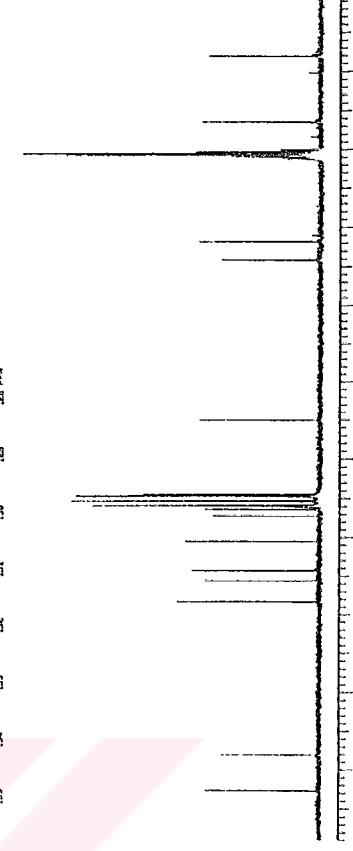
A.U.FEN FAK.KİMYA BL.ERZURUM



A.U.FEN FAK.KİMYA BL.ERZURUM



A.U.FEN FAK.KİMYA BL.ERZURUM



A.U.FEN FAK.KİMYA BL.ERZURUM

**Şekil.3.12. ZÖS Bileşiginin  $^1\text{H}$ -NMR Spektrumu**

**Şekil.3.13. ZÖS Bileşiginin  $^{13}\text{C}$ -NMR Spektrumu**

### 3.6. (3) Bileşinin Asetilaseton İle Reaksiyonu

(2) Bileşinin asetilaseton ile reaksiyonu gerçekleşikten sonra, (3) bileşinin de asetilaseton ile aynı reaksiyonu vereceği düşüncesinden hareketle, (3)'ün asetilasetonla reaksiyonu denendi. Önceki denemelerimize benzer şekilde, asetilasetonun fazmasını (1.5 ml) alarak, p-tulen sulfonik asit katalizörüğünde, etiüde sabit sıcaklıkta 115 °C'de 45 dak. tutuldu. Reaksiyon ürünleri oda sıcaklığına kadar soğutuldu ve etere alındı. Çöken maddede süzüldü. n-Butanolden kristallendirildi. TLC, IR ve erime noktası tayinlerinden sonra, elde edilen ürünün saf ve başlangıç maddelerinden farklı olduğu belirlendi. Elementel analiz sonuçlarına göre bileşinin (ZÖ6), kapalı formülünün  $C_{22}H_{19}N_3O_2S$  olduğu anlaşıldı.

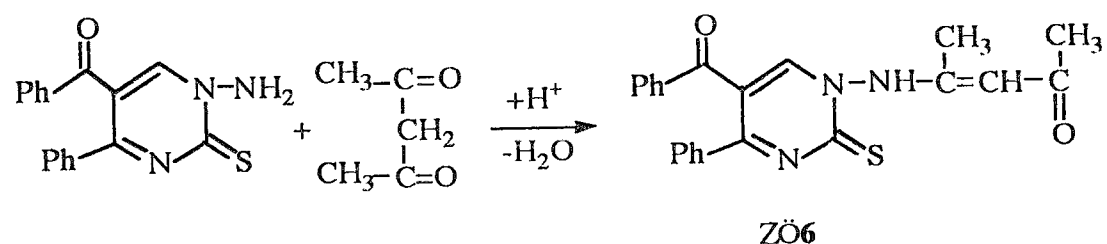
(ZÖ6) bileşinin şekil 3.14'te IR spektrumu görülmektedir. 3600-3400  $\text{cm}^{-1}$  arasındaki geniş pik -NH gerilme titreşimine aittir. 3200-3100  $\text{cm}^{-1}$  arasındaki pik alifatik ve aromatik C-H gerilme titreşimlerini göstermektedir. 3000  $\text{cm}^{-1}$  deki zayıf pik -CH<sub>3</sub> gruplarına aittir. 1900-1760  $\text{cm}^{-1}$  arasında overton bandları görülmektedir. 1720  $\text{cm}^{-1}$  deki keskin pik karbonil gruplarına ait absorbsiyon pikidir. 1600  $\text{cm}^{-1}$  deki şiddetli pik C=C ve C=N gerilme titreşimlerini göstermektedir. 1540-1400  $\text{cm}^{-1}$  arasındaki pikler aromatik halka iskelet titreşimini gösterir. 1220  $\text{cm}^{-1}$  deki kuvvetli pik C=S tiyokarbonil grubuna aittir. 1020-1140  $\text{cm}^{-1}$  arasındaki pikler alifatik C-H simetrik ve asimetrik eğilme titreşimlerini gösterir [49,50 ].

(ZÖ6) bileşinin  $\text{CDCl}_3$ 'de çözülmerek alınan <sup>1</sup>H-NMR spektrumu, şekil 3.15'te görülmektedir.  $\delta=2.14-2.49$  ppm'deki iki pik, bileşikteki iki CH<sub>3</sub> grubuna ait protonları gösterir. CH<sub>3</sub> gruplarından birisi karbonil grubuna komşudur ve diğerinden daha düşük alan da çıkmıştır. Alan şiddetleri toplamı 505.81 birim olup, pik yükseklikleri 11 mm'dir ve her biri 3 protona karşılık gelmektedir.  $\delta=4.10-4.15$  ppm'de dublet =CH piki,  $\delta=5.37-5.43$  ppm'de dublet -NH piki görülmektedir. (ZÖ1) bileşidine açıklandığı gibi bu bileşikte de, AB sistemi pik grubu görülmektedir. Bu  $\delta=6.99-7.33$  ppm'deki multiple pikler fenil gruplarına ait protonları gösterir. Pik yüksekliği 40 mm olup 10 protona karşılık gelmektedir. Piklerin integral alanları karşılaştırıldığında bulunan proton sayısı elementel analizle uyum içindedir.

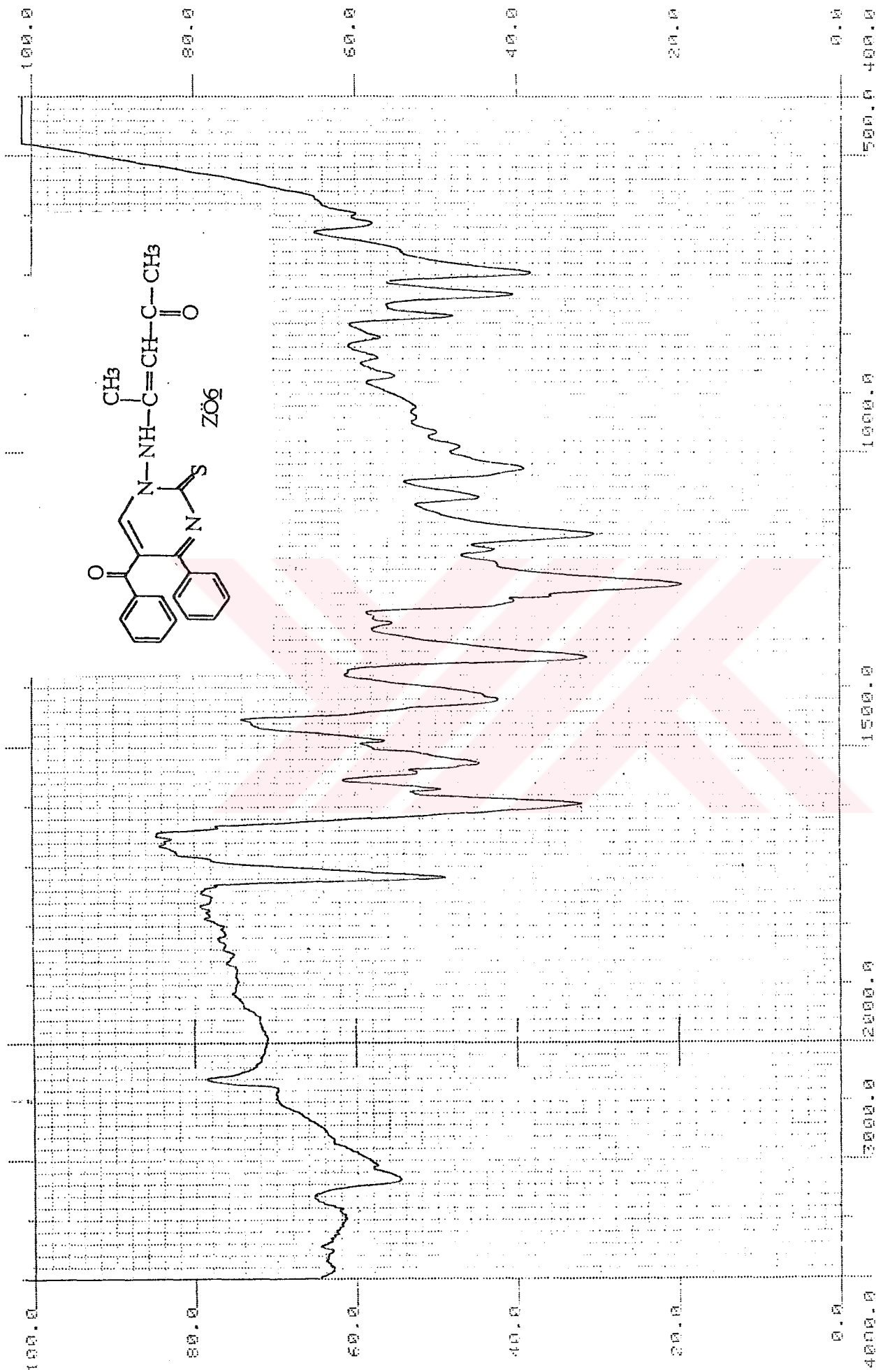
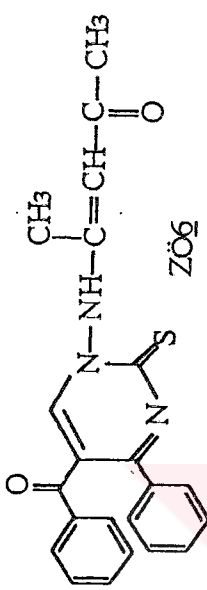
Kimyasal kayma ( $\delta$ =ppm) :	2.14-2.49	4.10-24.15	5.43-5.37	6.99-7.33
İntegrasyon (proton sayısı)	6	1	1	10

Bu spektral ve elementel analiz bilgileri ışığında (ZÖ6) bileşinin reaksiyon denklemi

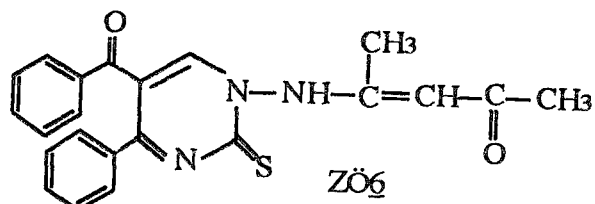
ve açık formülü aşağıdaki gibi olup IUPAC adlandırma sistemine göre; 1-(5-Benzoil-4-fenil-2-tiyokso-1,2-dihidro-pirimidinil-amino)-1-metil-2-asatileten şeklinde adlandırıldı.



ZÖ6

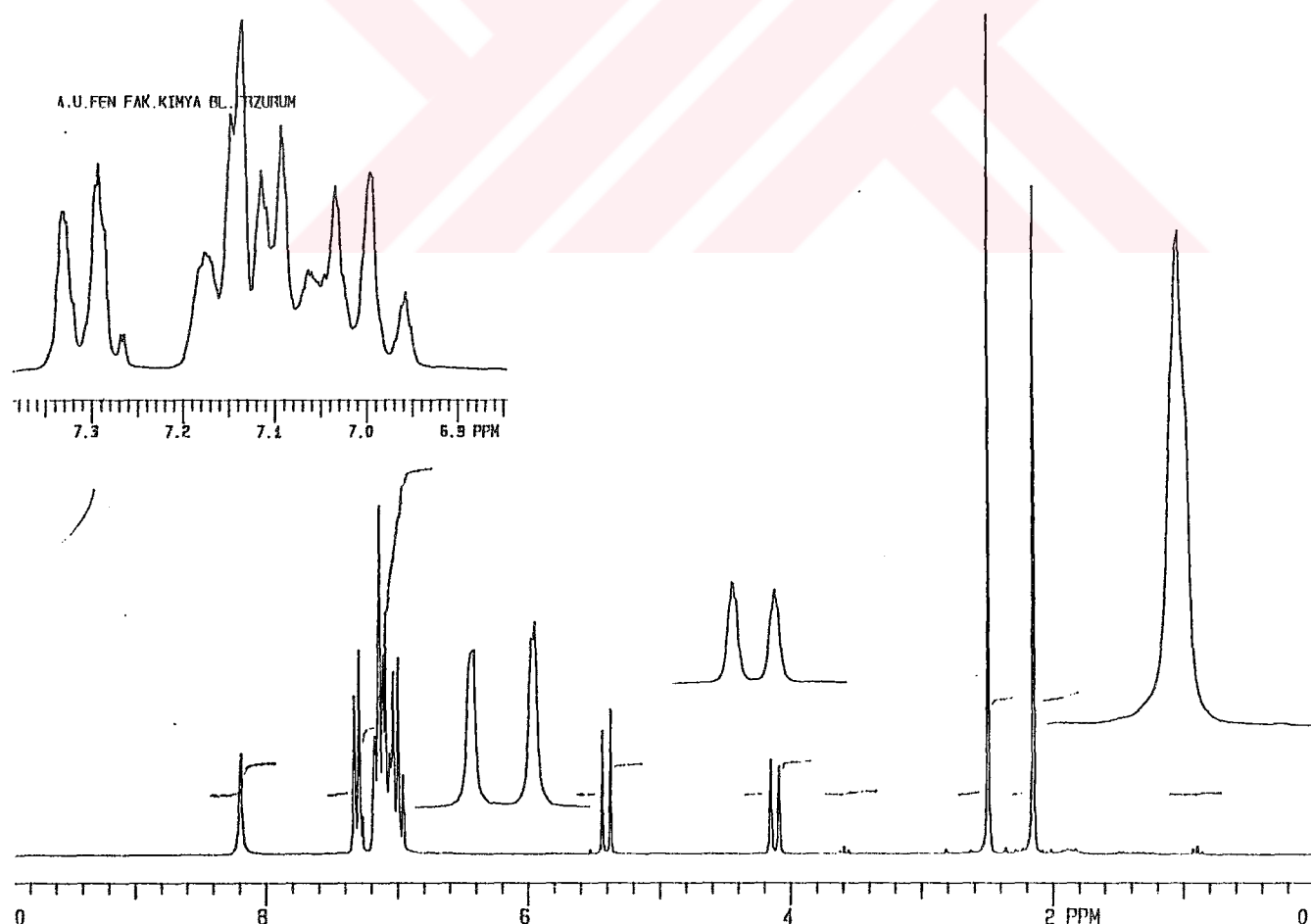


Sekil 3.14. Zög Bileşliğinin IR Spektrumu



A.U.FEN FAK.KIMYA BL.ERZURUM  
 SPÉCIAL LINES FOR TH= 10.52  
 RFL= 393.9 RFP= 0

INDEX	FREQ	PPM	INTENSITY
01	1638.66	8.194	33.641
02	1465.85	7.330	53.207
03	1450.07	7.291	68.505
04	1453.31	7.267	12.351
05	1452.58	7.264	12.518
06	1434.92	7.175	39.880
07	1433.25	7.167	36.631
08	1429.06	7.146	85.864
09	1426.65	7.134	118.337
10	1422.54	7.114	66.511
11	1421.40	7.108	54.447
12	1418.07	7.081	81.808
13	1412.37	7.063	34.079
14	1406.51	7.033	61.460
15	1398.73	6.995	65.816
16	1391.12	6.956	26.792
17	1389.94	6.951	14.795
18	1086.41	5.433	42.662
19	1073.93	5.370	48.326
20	830.13	4.151	31.988
21	817.51	4.088	29.463
22	498.39	2.492	278.407
23	429.69	2.149	227.491



Şekil.3.15. ZÖ6 Bileşinin  $^1\text{H}$ -NMR Spektrumu

### 3.7. (2) Bileşininin Di-( p-Metilbenzoil )metan İle Reaksiyonu

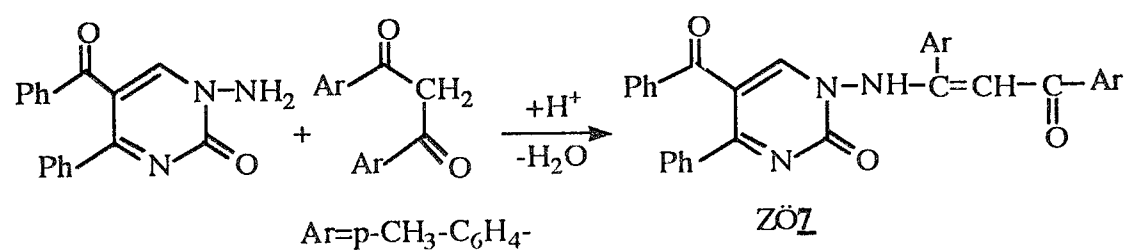
Burada da yine reaktislerden (1:4) mol oranlarında alarak homojen bir şekilde karışmaları sağlandı ve şilifli bir balonda  $\text{CaCl}_2$  başlığı takılarak, etüvde sabit sıcaklıkta, 120 °C'de 2 saat ısıtıldı. Burada p-toluen sulfonik asit katalizör olarak kullanıldı. Elde edilen ürün incelendiğinde biraz ana maddenin reaksiyona girmediği anlaşıldı. Reaksiyon aynı sıcaklıkta süre 4 saatte çıkarılarak tekrarlandı. Etüvdene alınan madde, oda sıcaklığına kadar soğutuldu. Dietileter ilave edilerek 24 saat karıştırıldı. Elde edilen ürün süzüldü. n-Butanolde en iyi kristallendi. TLC, IR ve erime noktası tayinlerinden sonra ürünün saf ve başlangıç maddesinden farklı olduğu anlaşıldı. Elementel analiz sonucuna göre bileşinin (ZÖ7), kapalı formülünün  $\text{C}_{34}\text{H}_{27}\text{N}_3\text{O}_3$  olduğu belirlendi.

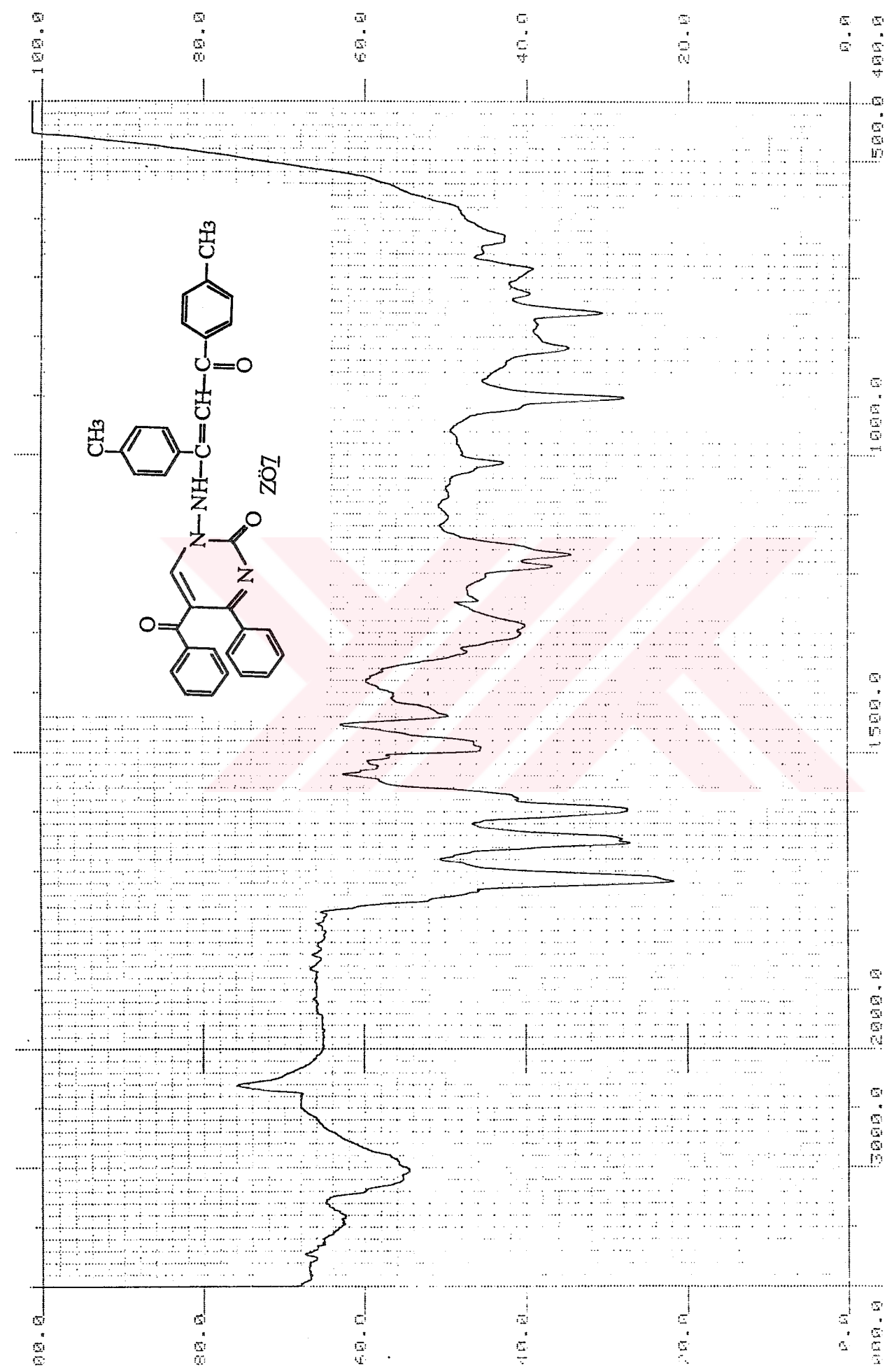
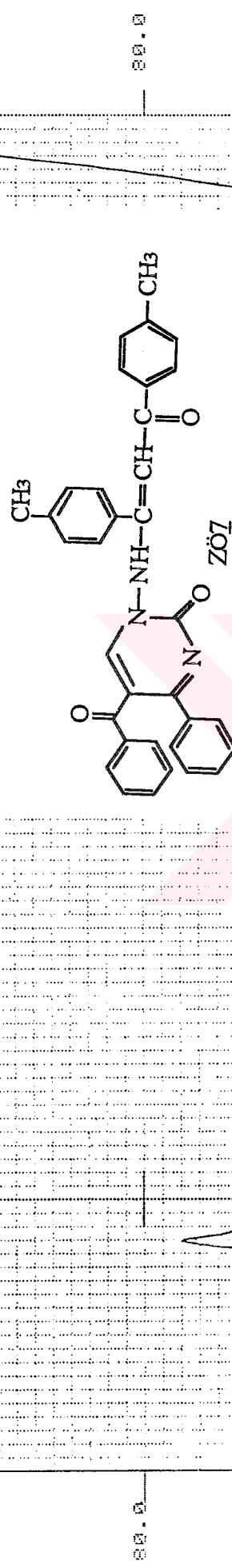
Şekil 3.16'da KBr disk teknigi ile alınan IR spektrumu görülmektedir. Spektrumda 3500-3400  $\text{cm}^{-1}$  de -NH gerilme titreşimi, 3100-3000  $\text{cm}^{-1}$  arasında aromatik C-H gerilme titreşimi görülmektedir. 3000-2900  $\text{cm}^{-1}$  arasındaki geniş bandın bir kısmı  $\text{CH}_3$  gruplarına ait gerilme titreşimlerini gösterir. 1720-1650  $\text{cm}^{-1}$  arasındaki iki kuvvetli pik, karbonil gruplarına ait absorbsiyon pikleridir. 1600  $\text{cm}^{-1}$  deki pik aromatik halkalardaki  $\text{C}=\text{C}$  ve  $\text{C}=\text{N}$  gerilme titreşimlerini gösterir. 1500-1400  $\text{cm}^{-1}$  arasındaki pikler aromatik halka iskelet titreşimine aittir. 1320-1160  $\text{cm}^{-1}$  arasındaki iki pik alifatik -C-H eğilme titreşimleridir ve yine 900-860  $\text{cm}^{-1}$  arasındaki pikler, pirimidin iskeleti titreşimlerine aittir [44,45,46].

Bileşinin  $^1\text{H-NMR}$  spektrumu şekil 3.17'de görülmektedir.  $\delta=2.08-2.15$  ppm'de iki metil grubuna ait singlet pikler görülmektedir.  $\delta=5.64-5.69$  ppm ve  $\delta=5.80-5.85$  ppm'deki dublet pikler  $=\text{CH}$  ve NH protonlarına aittir.  $\delta=6.63-7.69$  ppm arasındaki pikler aromatik halkalara ait protonları gösterir.  $\delta=8.88$  ppm'deki pik pirimidin iskeletindeki  $=\text{CH}$  protonuna aittir. Piklerin integral alanları karşılaştırıldığında bulunan proton sayısı, elementel analizle uyum içindedir.

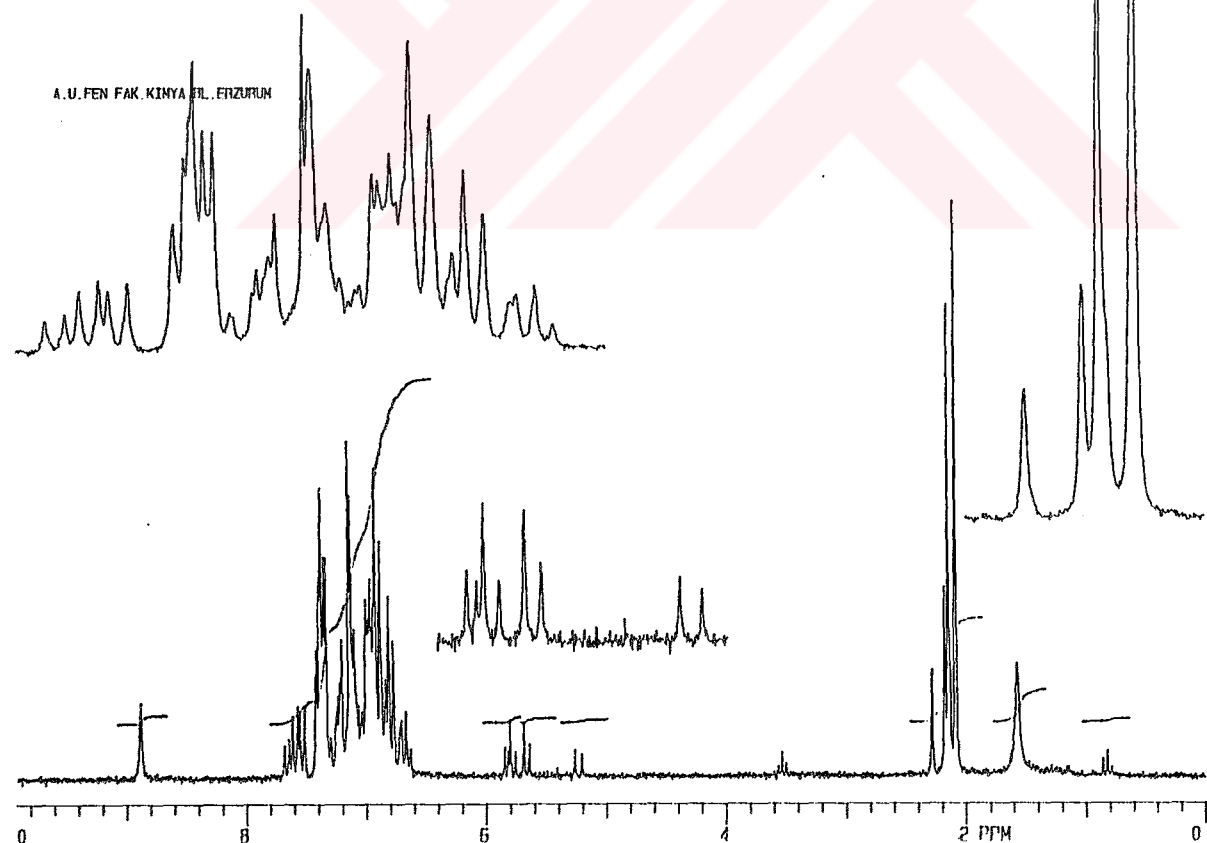
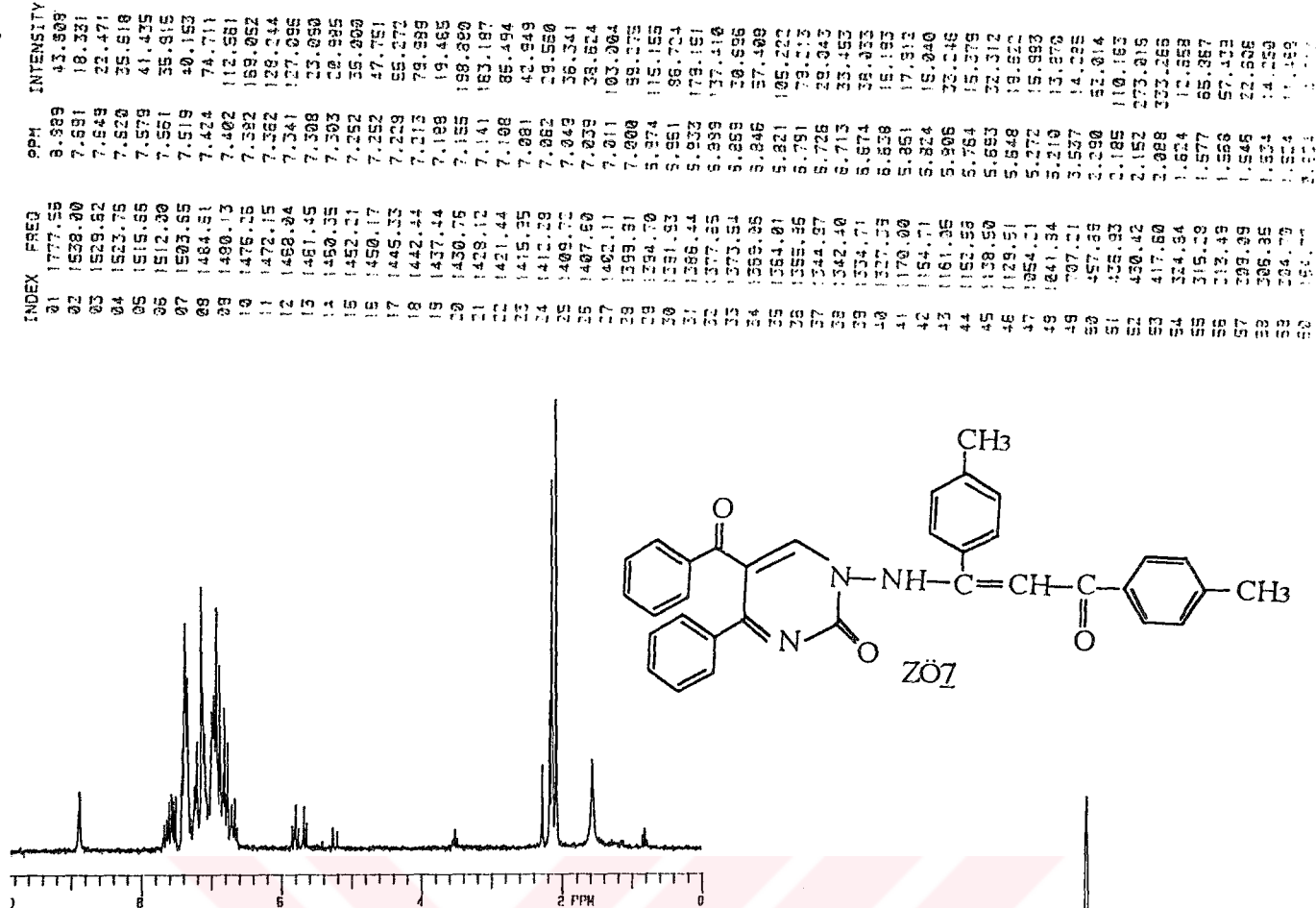
Kimyasal kayma ( $\delta=\text{ppm}$ ) :	2.08-2.15	5.64-5.69	5.80-5.85	6.63-7.69
İntegrasyon (proton sayısı) :	6	1	1	19

Bu spektral veriler ışığında (ZÖ7) bileşininin açık formülü ve reaksiyon denklemi aşağıdaki gibi olup IUPAC adlandırma sistemine göre; 1-(5-Benzoil-4-fenil-2-okso-1,2-dihidro-pirimidinil-amino)-1-p-metilfenil-2-p-metilbenzoiletten şeklinde adlandırıldı.





**Sekil 3.16. ZÖ7 Bileşiginin IR Spektrumu**



Sekil.3.17. ZÖ7 Bileşiginin  $^1\text{H}$ -NMR Spektrumu

### 3.8. (3) Bileşinin Di-( p-Metilbenzoil )metan ile Reaksiyonu

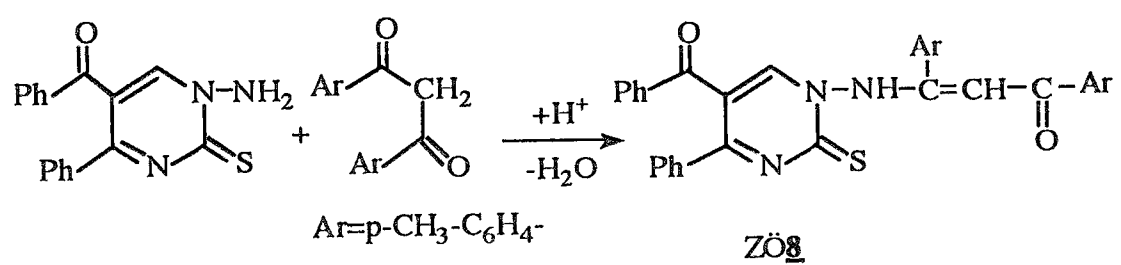
Bu reaksiyonda maddeler (1:4) mol oranlarında alınarak etiüde 120 °C'de sabit sıcaklıkta, p-toluen sulfonik asit katalizörüğünde, 2 saat ısıtıldı. Etiüden çıkarılan madde oda sıcaklığına kadar soğutuldu. Oluşan yağımısı ürün, mutlak etere alınarak 24 saat karıştırıldı ve bir kısım safsızlıkların uzaklaşması sağlandı. Çöken ham ürün süzüldü ve kristallendirilmeye çalışıldı. Kristallendirme için uygun bir çözücü bulunamadı. Madde İ-propol alkolde sıcakta yıkandı ve süzüldü. Bu işlem madde saflaşınca kadar tekrarlandı ve TLC, IR ve erime noktası tayinlerinden sonra maddenin saf olduğu anlaşıldı. Başlangıç maddesinden de farklı olduğu anlaşılan maddenin (ZÖ8), kapalı formülünün  $C_{34}H_{27}N_3O_2S$  olduğu tespit edildi

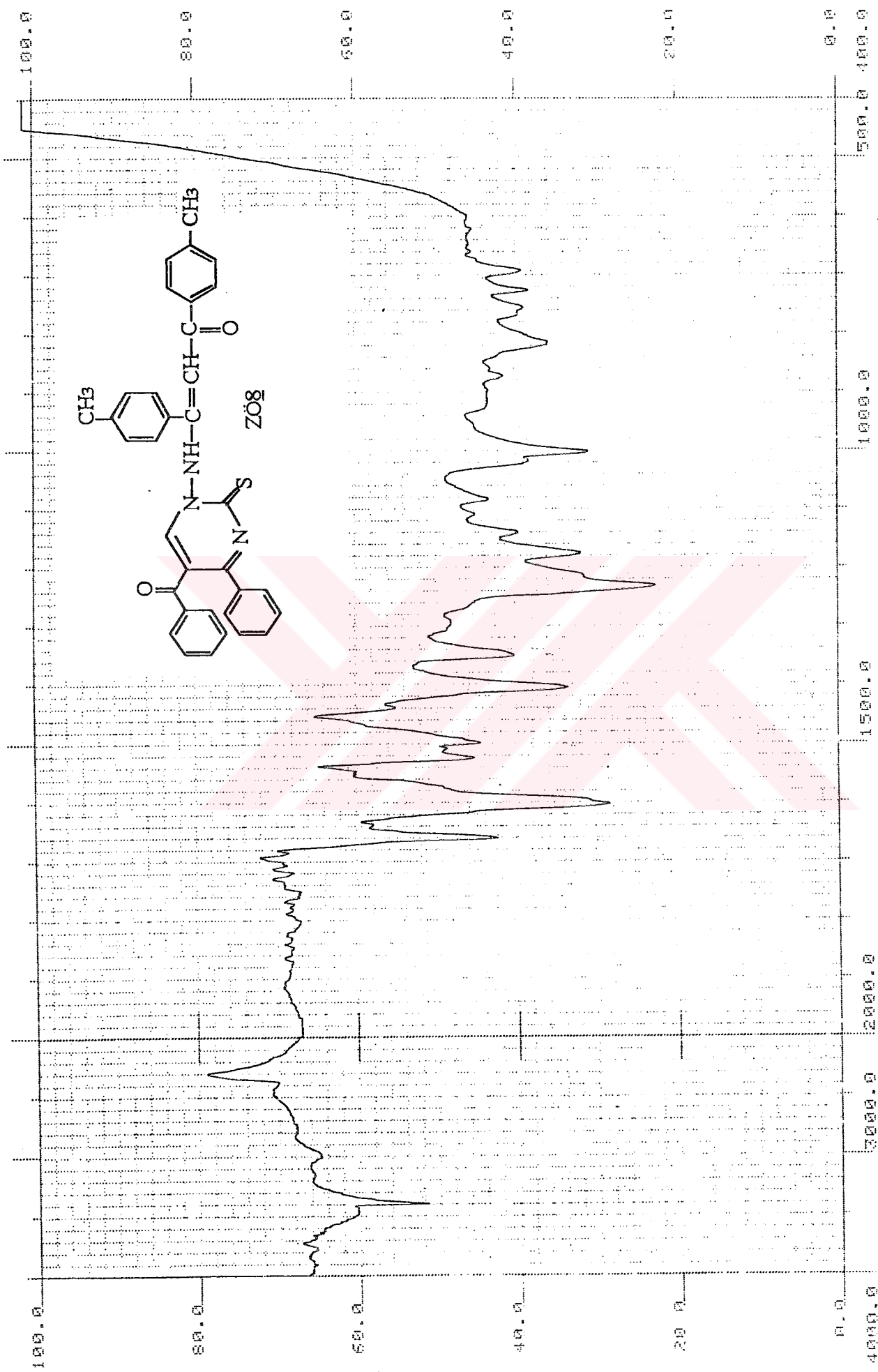
Şekil 3.18'de KBr disk teknigi ile alınan IR spektrumu görülmektedir. Spektrumda 3500-3400  $\text{cm}^{-1}$  de -NH gerilme titreşimi, 3100-3020  $\text{cm}^{-1}$  de aromatik Ar-C-H gerilme titreşimi, 3000-2900  $\text{cm}^{-1}$  de alifatik C-H gerilme titreşimleri görülmektedir. 1660  $\text{cm}^{-1}$  de karbonil grupları görülmektedir. 1600  $\text{cm}^{-1}$  deki kuvvetli pik C=C ve C=N bağlarına aittir. 1520-1450  $\text{cm}^{-1}$  deki pikler aromatik halka iskelet titreşimine aittir. 1240  $\text{cm}^{-1}$  de C=S ve 1200-1100  $\text{cm}^{-1}$  de alifatik C-H eğilme titreşimleri görülmektedir.

(ZÖ8) Bileşinin  $^1\text{H-NMR}$  spektrumu, şekil 3.19'da görülmektedir.  $\delta=2.22-2.27$  ppm'deki pikler metil gruplarını gösterir. Alan şiddetleri toplamı 321.303 birim olup, 6 protona karşılık gelmektedir.  $\delta=5.83-5.88$  ppm'deki dublet pik =CH protonunu,  $\delta=6.35-6.40$  ppm'deki dublet pik -NH protonunu gösterir. Bu pik grubu AB (çatı sistemi) sistemi şeklindedir. Aromatik bölgede  $\delta=6.87-7.89$  ppm arasındaki multiple pikler aromatik halka protonlarını gösterir ve 19 protona karşılık gelmektedir.  $\delta=2.51$  ppm'de DMSO piki,  $\delta=3.40$  ppm'de  $\text{H}_2\text{O}$  piki görülmektedir. Spektrumdaki piklerin integral alanları karşılaştırıldığında bulunan proton sayısı elementel analizle uyum içindedir.

Kimyasal kayma ( $\delta=\text{ppm}$ ) :	2.22-2.27	5.83-5.88	6.35-6.40	6.87-7.89
İntegrasyon (proton sayısı) :	6	1	1	19

Bu spektral veriler ışığında (ZÖ8) bileşinin açık formülü ve reaksiyon denklemi aşağıdaki gibi olup, IUPAC adlandırma sistemine göre; 1-(5-Benzoil-4-fenil-2-tyokso-1,2-dihidro-pirimidinil-amino)-1-p-metilsenil-2-p-metilbenzoiletten şeklinde adlandırıldı.

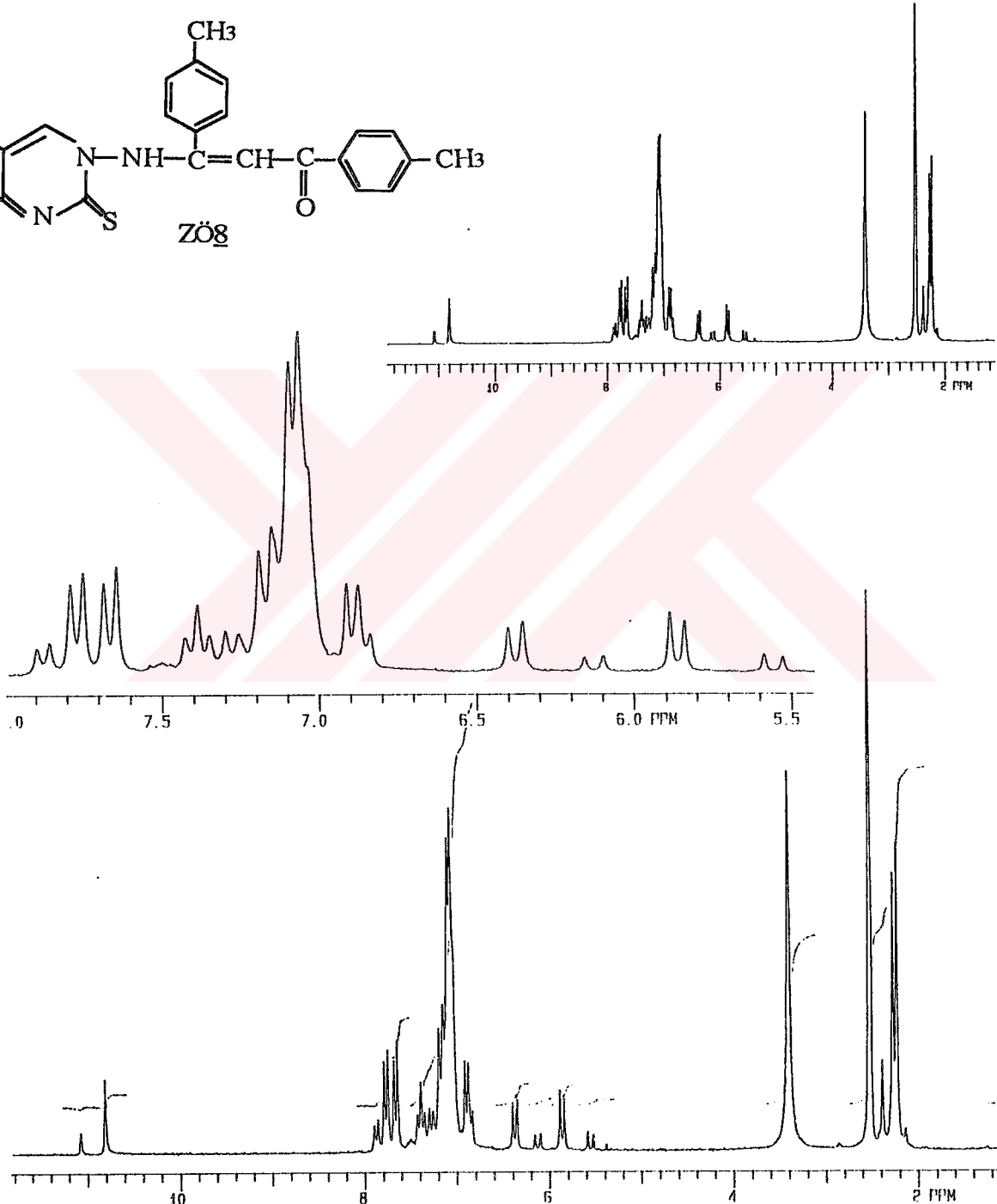
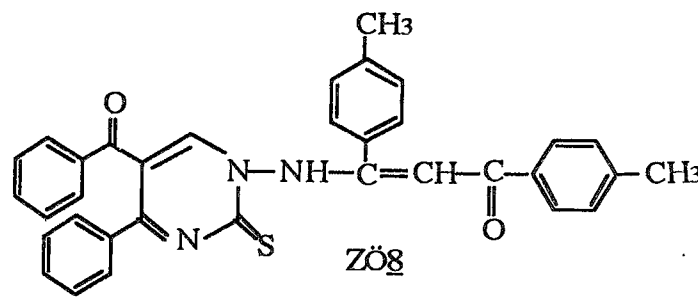




Şekil 3.18. **Zög** Bileşliğinin IR Spektrumu

A.UZEN SAKARYA UL. SEZİYURUH  
SPECTRAL LINES FOR THF 5.26  
RFI = 422.1 QFPW 0

INDEX	FREQ	PPM	INTENSITY
21	2015.12	11.427	10.289
22	2161.73	12.812	40.251
23	1579.34	7.397	14.234
24	1571.18	7.357	17.319
25	1557.53	7.783	49.927
26	1543.97	7.715	56.129
27	1538.47	7.933	50.554
28	1523.41	7.515	53.598
29	1502.48	7.513	5.569
30	1509.12	7.392	6.938
31	1437.36	7.493	5.128
32	1484.79	7.475	5.769
33	1455.18	7.427	20.711
34	1427.41	7.389	38.455
35	1410.25	7.351	21.293
36	1452.32	7.380	23.557
37	1455.53	7.184	12.379
38	1451.12	7.157	12.172
39	1447.37	7.239	14.379
40	1437.93	7.181	58.145
41	1429.58	7.149	31.723
42	1427.68	7.153	74.577
43	1419.86	7.098	12.534
44	1415.53	7.054	18.351
45	1386.72	7.374	115.268
46	1386.44	7.373	12.334
47	1381.57	6.364	11.837
48	1382.10	6.312	49.142
49	1273.21	6.319	40.415
50	1257.51	6.370	22.312
51	1248.98	5.451	124.999
52	1223.61	6.255	23.355
53	1231.43	6.163	3.357
54	1218.51	6.287	9.245
55	1177.13	6.368	33.386
56	1162.38	5.373	29.555
57	1117.45	6.367	0.299
58	1186.74	6.377	3.513
59	796.37	6.372	5.125
60	723.71	6.371	5.398
61	559.50	5.103	5.103
62	226.59	5.223	1.114
63	862.49	5.235	9.373
64	923.48	5.182	5.182
65	695.92	5.235	6.574
66	554.51	5.213	6.135
67	855.29	5.257	5.819
68	562.44	5.119	31.057
69	495.55	5.383	7.395
70	412.30	5.463	5.449
71	489.63	5.449	5.841
72	463.39	5.416	0.953
73	158.42	5.386	49.951
74	173.32	5.355	8.385
75	457.38	5.279	53.168
76	414.91	5.225	18.135
77	455.35	5.132	9.875
78	152.17	5.161	7.122
79	428.03	5.117	428.03
80	11.738	5.117	11.738



Şekil.3.19. ZÖ8 Bileşinin  $^1\text{H}$ -NMR Spektrumu

### 3.9. (2) Bileşininin p-Metilbenzoil-benzoilmekan İle Reaksiyonu

(2) bileşigi ile p-metilbenzoil-benzoilmekanın reaksiyonunda benzen, toluen gibi çözücü ortamları kullanılarak bir seri çalışmalar yapıldı. Ama iyi bir sonuç alınamadı ve diğer reaksiyonlarımızda olduğu gibi direk reaksiyon denendi. Reaktifler (1:4) mol oranlarında alınarak, bir balon içerisinde maddelerin homojen olarak karışması sağlandı. Katalizör olarak p-toluen sulfonik asit eklendi.  $\text{CaCl}_2$  başlığı takılarak,  $125^\circ\text{C}$ 'ye ayarlanmış etüvde 3 saat ısıtıldı. Süre tamamlanınca etüvden alındı ve oda sıcaklığına kadar soğutuldu. Dietileter ilave edilerek bir süre karıştırıldı. Çöken ürün süzülerek, n-butanoldan kristallendirildi. TLC, IR ve erime noktası tayinlerinden sonra maddenin saf ve başlangıç maddesinden farklı olduğu anlaşıldı. Elementel analiz sonuçlarına göre, (ZÖ2) bileşinin kapalı formülünün  $\text{C}_{33}\text{H}_{25}\text{N}_3\text{O}_3$  olduğu belirlendi.

Şekil 3.20'de bileşinin IR spektrumu görülmektedir. Bundan önceki diğer bileşikte olduğu gibi  $3500\text{-}3400\text{ cm}^{-1}$  arası pik -NH gerilme titreşimlerini,  $3100\text{-}3000\text{ cm}^{-1}$  arası aromatik -C-H gerilme titreşimini,  $2900\text{ cm}^{-1}$  deki hafif çıktı, metil grubuna ait -C-H gerilme titreşimlerini gösterir.  $1720\text{-}1680\text{ cm}^{-1}$  deki ikiye yarılmış kuvvetli pik -C=N bağlarına ait gerilme titreşimleridir.  $1500\text{-}1400\text{ cm}^{-1}$  arasındaki pikler aromatik halka iskelet titreşimini gösterir.  $1240\text{-}1160\text{ cm}^{-1}$  arasındaki pikler alifatik -C-H eğilme titreşimlerini gösterir.  $800\text{-}680\text{ cm}^{-1}$  arasındaki pikler pirimidin iskeletine ait titreşimlerdir.

Bileşinin şekil 3.21'de verilen  $^1\text{H-NMR}$  spektrumu  $\text{CDCl}_3$  da çözülkerek alınmıştır.  $\delta=2.07\text{ ppm}$ 'deki pik metil grubunu gösterir.  $\delta=5.66\text{-}5.70\text{ ppm}$ 'de =CH protonu,  $\delta=5.81\text{-}5.86\text{ ppm}$ 'de NH protonunun pik verdiği düşünülmektedir. Bunlar AB sistemini oluşturmaktadır.  $\delta=6.62\text{-}7.72\text{ ppm}$ 'de aromatik halka protonları multiple pikler vermişlerdir. Sonuçlar elementel analiz sonuçları ile uyum içinde olduğu görülmektedir.

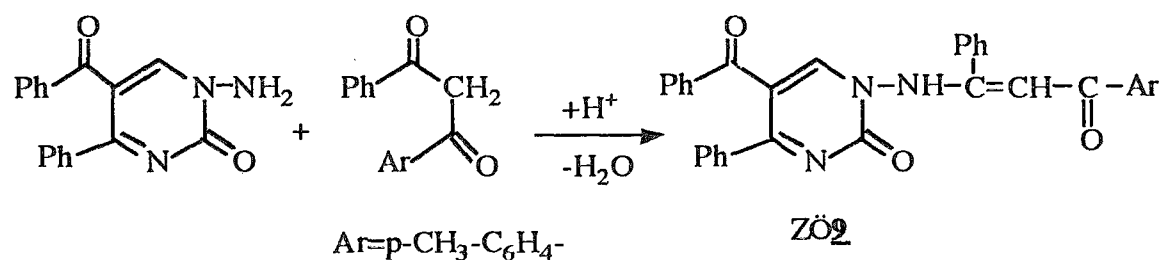
Kimyasal kayma ( $\delta=\text{ppm}$ ) :	2.07	5.70-5.81	6.62-7.72
İntegrasyon (proton sayısı) :	3	2	20

Şekil 3.22'de (ZÖ2) bileşininin  $^{13}\text{C-NMR}$  spektrumu görülmektedir.

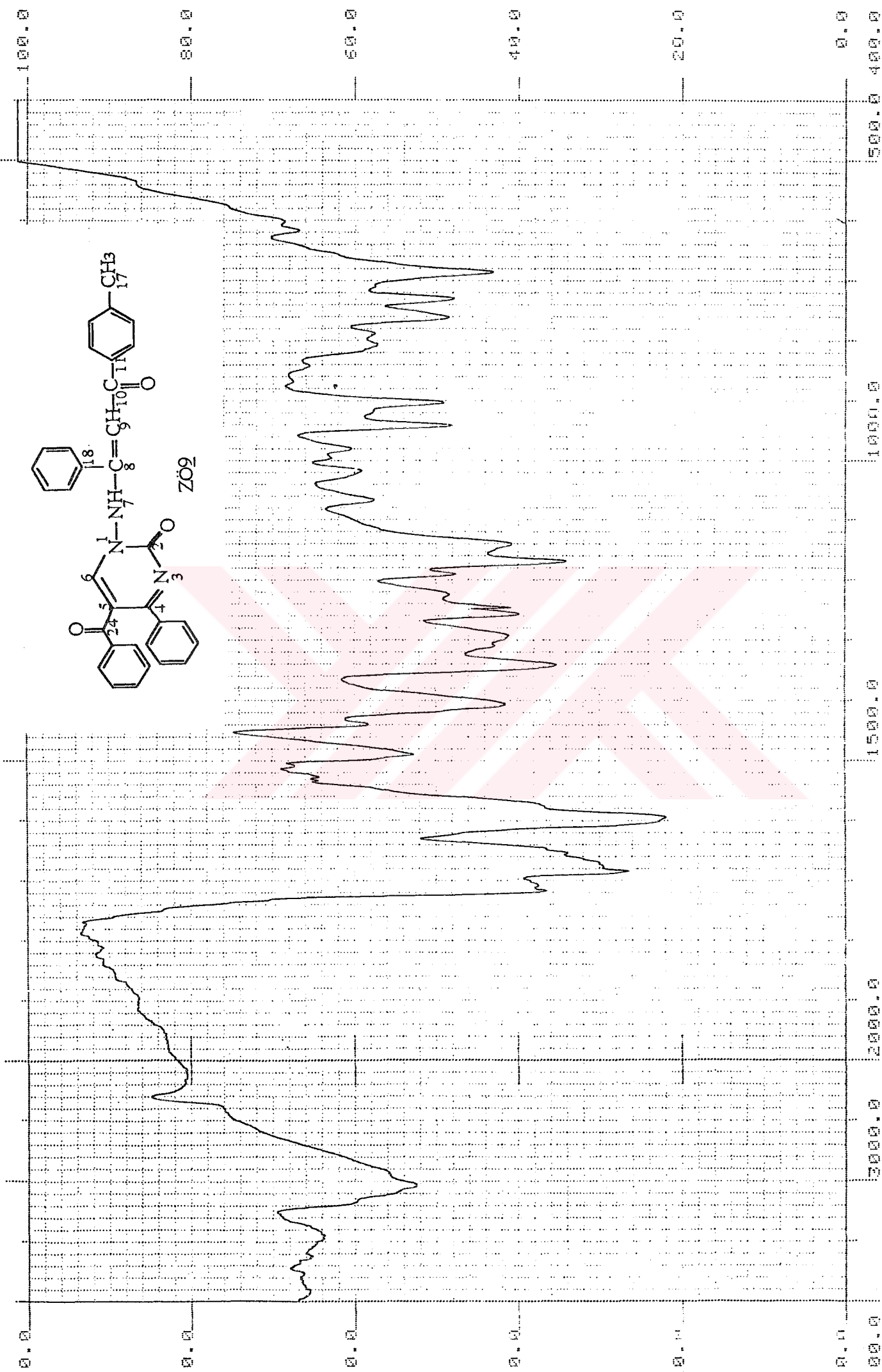
$\text{C}_2$	160.25 ppm (singlet)	$\text{C}_4$	146.64 ppm	(s)
$\text{C}_5$	149.12 ppm (s)	$\text{C}_6$	143.26 ppm	(s)
$\text{C}_{10}$	196.03 ppm (s)	$\text{C}_{17}$	23.26 ppm	(s)
$\text{C}_{24}$	196.97 ppm (s)			

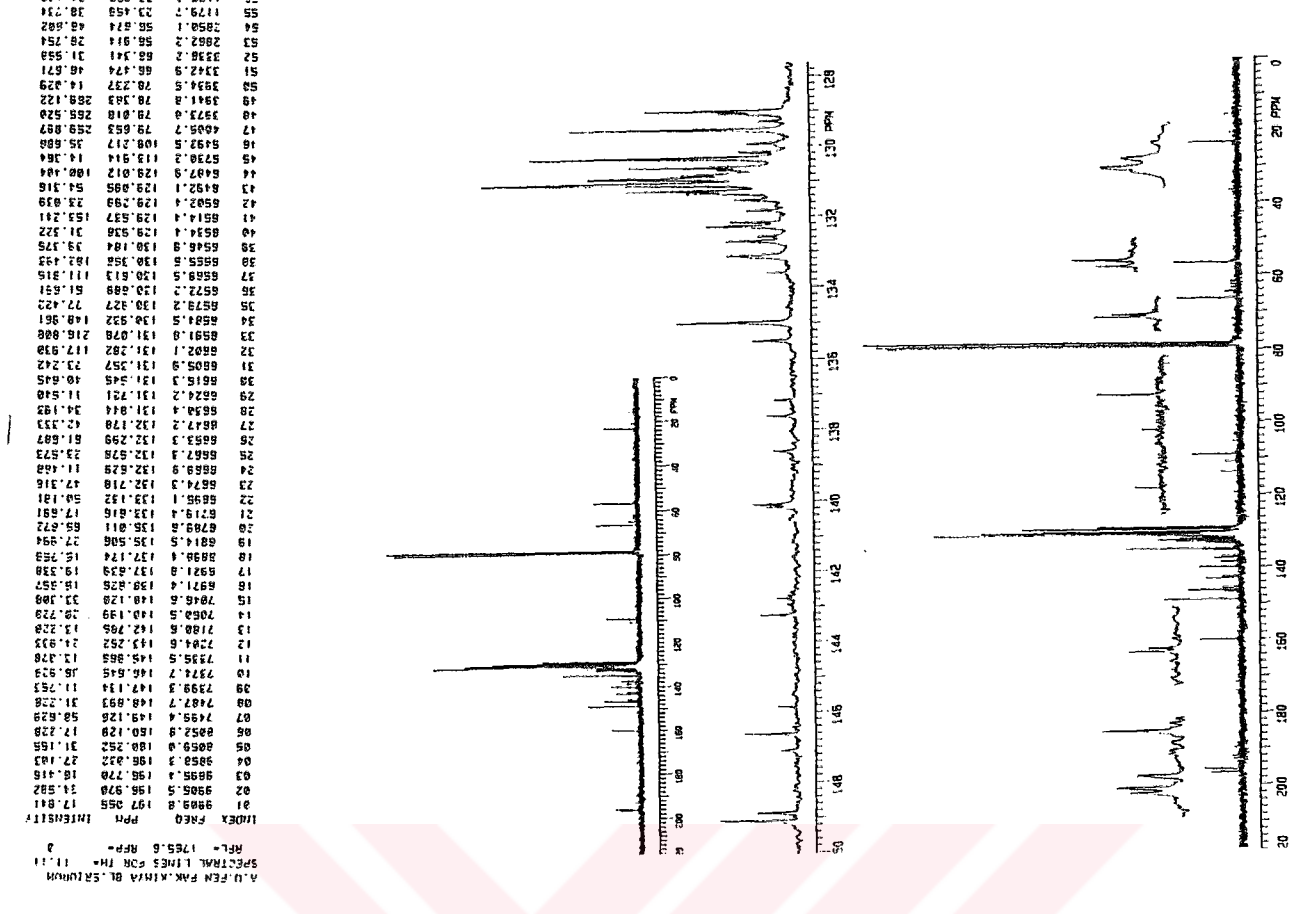
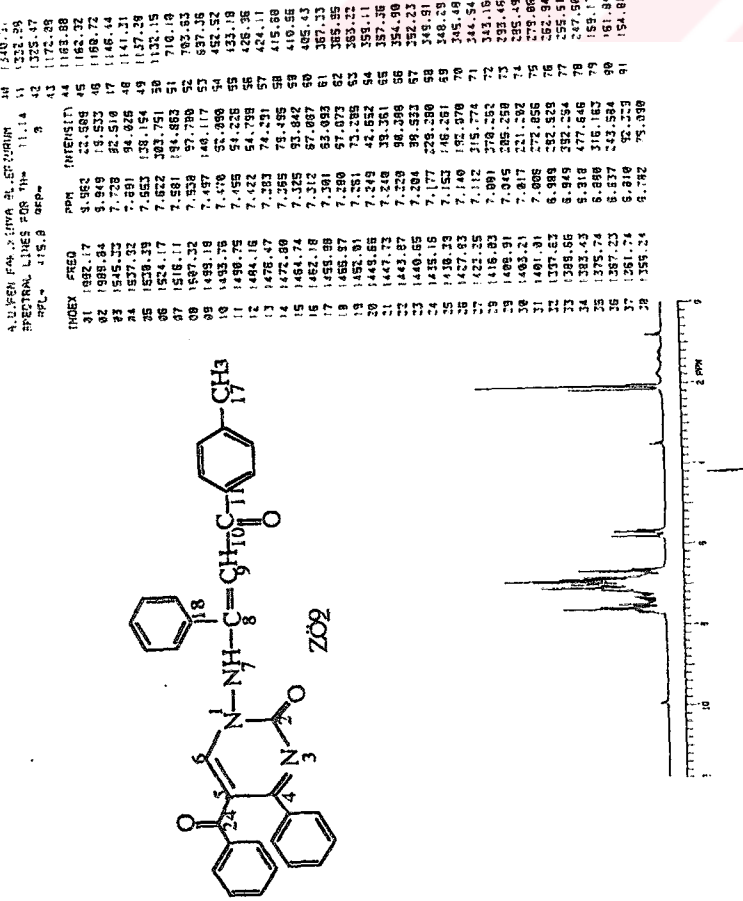
Diger aromatik halka ve pirimidin halkası karbon atomları 56.67-145.86 ppm arasında yer almaktadır.

Bu spektral ve elementel analiz bilgileri ışığında (ZÖ2) bileşiginin reaksiyon denklemi ve açık formülü aşağıdaki gibi olup, IUPAC adlandırma sistemine göre; 1-(5-Benzoil-4-fenil-2-okso-1,2-dihidro-pirimidinil-amino)-1-fenil-2-p-metilbenzoilet en şeklinde adlandırıldı.



### Sekil 3.20. ZÖ<sub>2</sub> Bileşiginin IR Spektrumu





Sekil 3.21. Zöög Bileşikinin  $^1\text{H-NMR}$  Spektrumu

**Sekil 3.22.** ZÖ<sub>9</sub> Bileşiginin <sup>13</sup>C-NMR Spektrumu

### 3.10. (3) Bileşinin p-Metilbenzoil-benzoilmetan İle Reaksiyonu

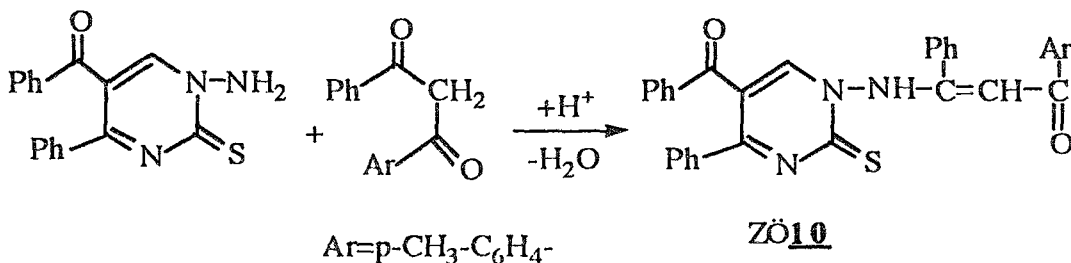
Başlangıç maddelerinden (1:4) mol oranlarında temiz bir balona alınarak, p-toluen sulfonyik asit katalizi ile ilave edildi ve homojen olarak karışmaları sağlandı. 125 °C'ye ayarlanmış etüvde 2 saat ısıtıldı. Süre tamamlanınca etüvden alındı, oda sıcaklığına kadar soğutuldu. Dietil eter ilave edilerek bir süre karıştırıldı ve safsızlıkların uzaklaşması sağlandı. Ham ürün süzüldü ve kristallendirilmeye çalışıldı. n-Butanol'dan kristallendirildi. TLC, IR ve erime noktası tayinlerinden sonra ürünün saf ve başlangıç maddesinden farklı olduğu anlaşıldı. Elementel analiz sonuçlarına göre bileşinin (ZÖ10), kapalı formülünün  $C_{33}H_{25}N_3O_2S$  olduğu anlaşıldı.

Şekil 3.23'te (ZÖ10) bileşinin IR spektrumu görülmektedir. 3500-3400  $\text{cm}^{-1}$  arasında orta kuvvetli pik -NH gerilme titreşimine aittir. 3050  $\text{cm}^{-1}$  deki pik aromatik -C-H gerilme titreşimini, 3000  $\text{cm}^{-1}$  e kaymış olan küçük pik alifatik yani metil grubuna ait gerilme titreşimlerini gösterir. 1660  $\text{cm}^{-1}$  de karbonil grubuna ait pik, 1600  $\text{cm}^{-1}$  de C=N çift titreşimini, 1230  $\text{cm}^{-1}$  deki kuvvetli pik -C=S tiyokarbonil grubunu, 1200-1100  $\text{cm}^{-1}$  arasındaki zayıf pik alifatik eğilme titreşimini gösterir. 800-660  $\text{cm}^{-1}$  arasındaki pikler pirimidin iskeletine ait titreşimlerdir [44,45].

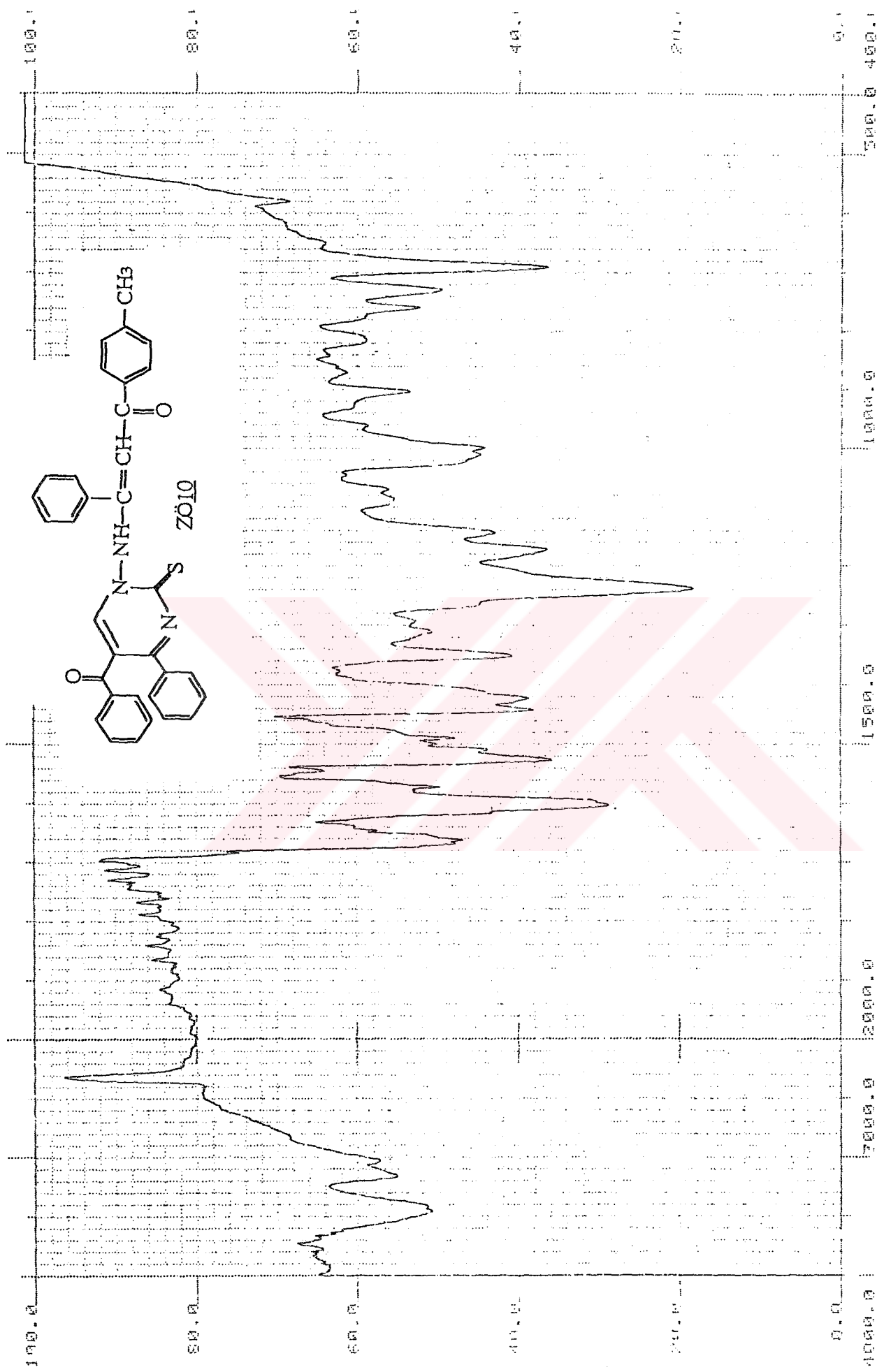
Şekil 3.24'te bileşinin  $^1\text{H-NMR}$  spektrumu görülmektedir.  $\delta=2.10$  ppm'de metil grubu protonları görülmektedir.  $\delta=5.29-5.35$  ppm'de =CH protonları,  $\delta=5.73-5.80$  ppm'de NH protonları görülmektedir.  $\delta=6.69-5.95$  ppm'de aromatik halka protonları pik vermişlerdir. Sonuçların, elementel analiz sonuçları ile uyum içinde olduğu görülmektedir.

Kimyasal kayma ( $\delta=\text{ppm}$ ) :	2.10	5.29-5.80	6.69-5.95
İntegrasyon (proton sayısı) :	3	2	20

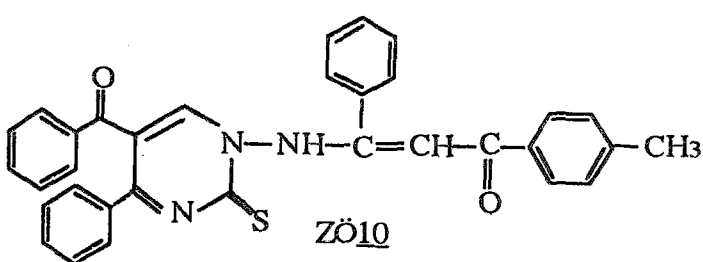
Bu spekral ve elementel analiz verileri doğrultusunda (ZÖ10) bileşinin açık formülü ve reaksiyon denklemi aşağıdaki gibi olup IUPAC adlandırma sistemine göre; 1-(5-Benzoil-4-fenil-2-tiyokso-1,2-dihidro-pirimidinil-amino)-1-p-metilenil-2-benzoilet en şeklinde adlandırıldı.



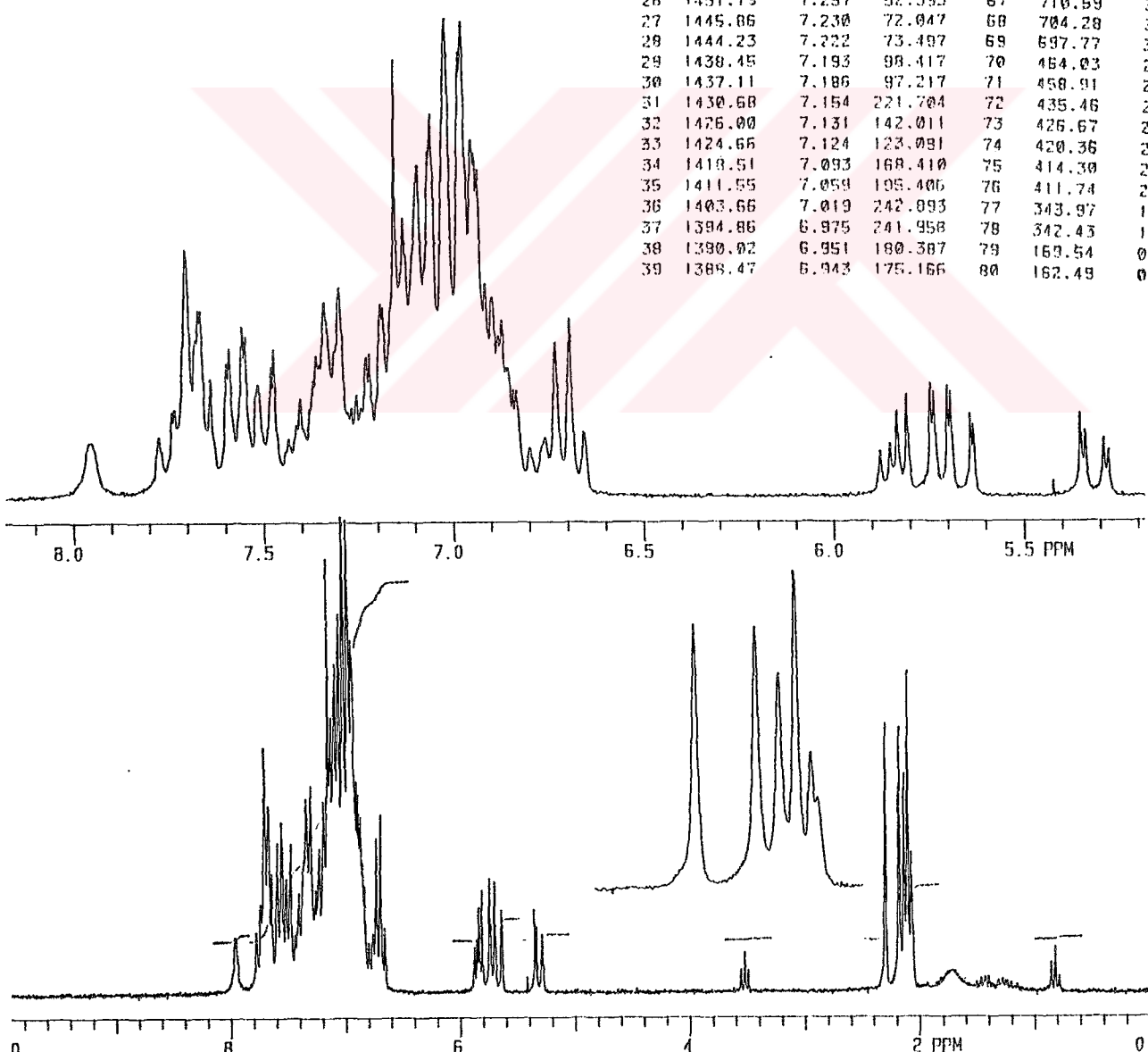
**Şekil 3.23.** ZÖ10 Bileşiginin IR Spektrumu



A.U.FEN FAK.KİMYA BL.ELERZURUM  
SPECTRAL LINES FOR TH<sup>+</sup> 11.09  
REF= 415.8 RRF= 0



INDEX	FREQ	PPM	INTENSITY	41	1386.12	6.934	165.53
01	1591.85	7.960	28.633	42	1379.03	6.896	101.21
02	1555.06	7.776	31.619	43	1376.10	6.881	82.11
03	1547.69	7.739	45.233	44	1374.19	6.872	90.51
04	1546.35	7.733	46.443	45	1370.97	6.856	65.91
05	1540.03	7.706	125.406	46	1360.45	6.843	54.51
06	1534.26	7.672	85.927	47	1366.82	6.835	55.26
07	1532.96	7.666	95.662	48	1359.99	6.801	25.434
08	1527.67	7.639	61.007	49	1352.01	6.761	30.386
09	1519.40	7.598	68.782	50	1346.35	6.733	78.068
10	1517.78	7.530	77.030	51	1338.74	6.695	90.570
11	1511.18	7.557	87.754	52	1331.62	6.659	33.823
12	1509.51	7.549	82.265	53	1175.62	5.879	24.254
13	1503.12	7.517	59.459	54	1170.53	5.853	27.309
14	1502.11	7.511	53.776	55	1166.71	5.834	44.309
15	1495.96	7.481	67.087	56	1161.54	5.808	52.566
16	1494.41	7.473	75.839	57	1149.08	5.746	58.381
17	1487.95	7.436	29.919	58	1147.13	5.736	53.681
18	1480.50	7.403	50.613	59	1140.17	5.702	56.407
19	1478.95	7.390	35.464	60	1138.38	5.693	52.365
20	1472.36	7.363	73.114	61	1128.16	5.642	42.026
21	1468.12	7.342	93.165	62	1126.53	5.632	37.289
22	1462.03	7.315	74.760	63	1070.25	5.352	42.272
23	1460.27	7.302	106.135	64	1067.68	5.339	33.377
24	1455.87	7.280	43.839	65	1058.32	5.292	30.728
25	1453.84	7.270	45.913	66	1055.68	5.273	23.966
26	1451.19	7.257	52.393	67	710.59	3.563	11.847
27	1445.86	7.230	72.047	68	704.28	3.522	20.641
28	1444.23	7.222	73.497	69	697.77	3.489	11.202
29	1438.45	7.193	98.417	70	464.03	2.320	11.129
30	1437.11	7.186	97.217	71	458.91	2.295	136.005
31	1430.68	7.154	221.704	72	435.46	2.178	135.066
32	1426.00	7.131	142.011	73	426.67	2.134	111.297
33	1424.66	7.124	123.081	74	420.36	2.102	164.353
34	1419.51	7.093	168.410	75	414.30	2.072	71.140
35	1411.55	7.059	195.406	76	411.74	2.059	47.814
36	1403.66	7.019	242.093	77	343.97	1.720	11.155
37	1394.86	6.975	241.958	78	342.43	1.712	11.133
38	1390.02	6.951	180.387	79	169.54	0.848	15.138
39	1388.47	6.943	175.166	80	162.49	0.813	23.205



Şekil.3.24. ZÖ10 Bileşinin <sup>1</sup>H-NMR Spektrumu

### 3.11. (2) Bileşinin İndan-1,3-dion ile Reaksiyonu

Reaksiyon için, 1:2 mol oranında alınan başlangıç maddeleri, şilifli bir balona alınarak, üzerine çözücü olarak etil alkol ilave edildi. Çözüçün rengi, indan-1,3-dion'un etil alkolde çözünmesiyle kırmızı oldu. Ortama katalizör olarak 2 damla HCl ilave edildi. Renk açık sarı oldu Bir magnet atılarak reaksiyon mağnetik karıştırıcıda oda sıcaklığında karışmaya bırakıldı. Reaksiyon 48 saat devam etti. Oluşan katı ürün süzüldü. Sarı renkli ham ürün, n-butanoldan kristallendirildi. TLC, IR ve erime noktası tayinleri yapılarak yeni bir ürünün olduğu belirlendi. Elementel analiz sonuçlarına göre bileşinin (ZÖ11), kapalı formülünün  $C_{26}H_{17}O_3$  şeklinde olduğu anlaşıldı.

Sekil 3.25'de verilen (ZÖ11) bileşigi IR spektrumu incelendiğinde,  $3450\text{cm}^{-1}$  de karbonil grubu overtonları,  $3010\text{ cm}^{-1}$  de aromatik  $=\text{CH}$  gerilme titreşimlerine ait pikler görülmektedir.  $1700\text{ cm}^{-1}$  de ikiye yarılmış kuvvetli pik karbonil gruplarına ait absorbsiyon pikidir.  $1590\text{ cm}^{-1}$  deki kuvvetli pik  $\text{C}=\text{C}$  ve  $\text{C}=\text{N}$  gerilme titreşimlerini gösterir.  $1500-1380\text{ cm}^{-1}$  arasında aromatik halka iskelet titreşimi,  $760-680\text{ cm}^{-1}$  de pirimidin halkasına ait iskelet titreşimleridir.

Sekil 3.26'de (ZÖ11) bileşinin  $^1\text{H-NMR}$  spektrumu görülmektedir. Spektrum DMSO'da çözüülerek alınmıştır.  $\delta=2.51\text{ ppm}$ 'de  $-\text{CH}_2-$  piki,  $\delta=3.37\text{ ppm}$ 'de DMSO piki görülmektedir.  $\delta=7.34-7.94\text{ ppm}$  arasında aromatik halka protonları görülmektedir. Alan şiddetleri toplamı  $1058.086$  birim olup pik yüksekliği  $60\text{ mm}'dir$ .  $60:16=3.75$  birim bir protona karşılık gelmektedir.  $\delta=0.83-1.441\text{ ppm}$  arasındaki pik grubunun safsızlıklara ait olduğu düşünülmektedir. Sonuçların analiz sonuçları ile uyum içinde olduğu görülmektedir.

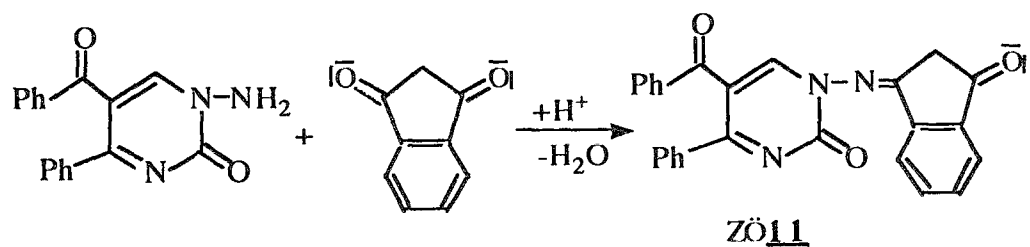
Kimyasal kayma ( $\delta=\text{ppm}$ ) :	2.51	7.34-7.94
İntegrasyon (proton sayısı) :	2	15

(ZÖ11)'in  $^{13}\text{C-NMR}$  spektrumu sekil 3.27'da verilmiştir. Spektrumun analizi karbon atomlarının numaralarına göre aşağıda gösterilmiştir:

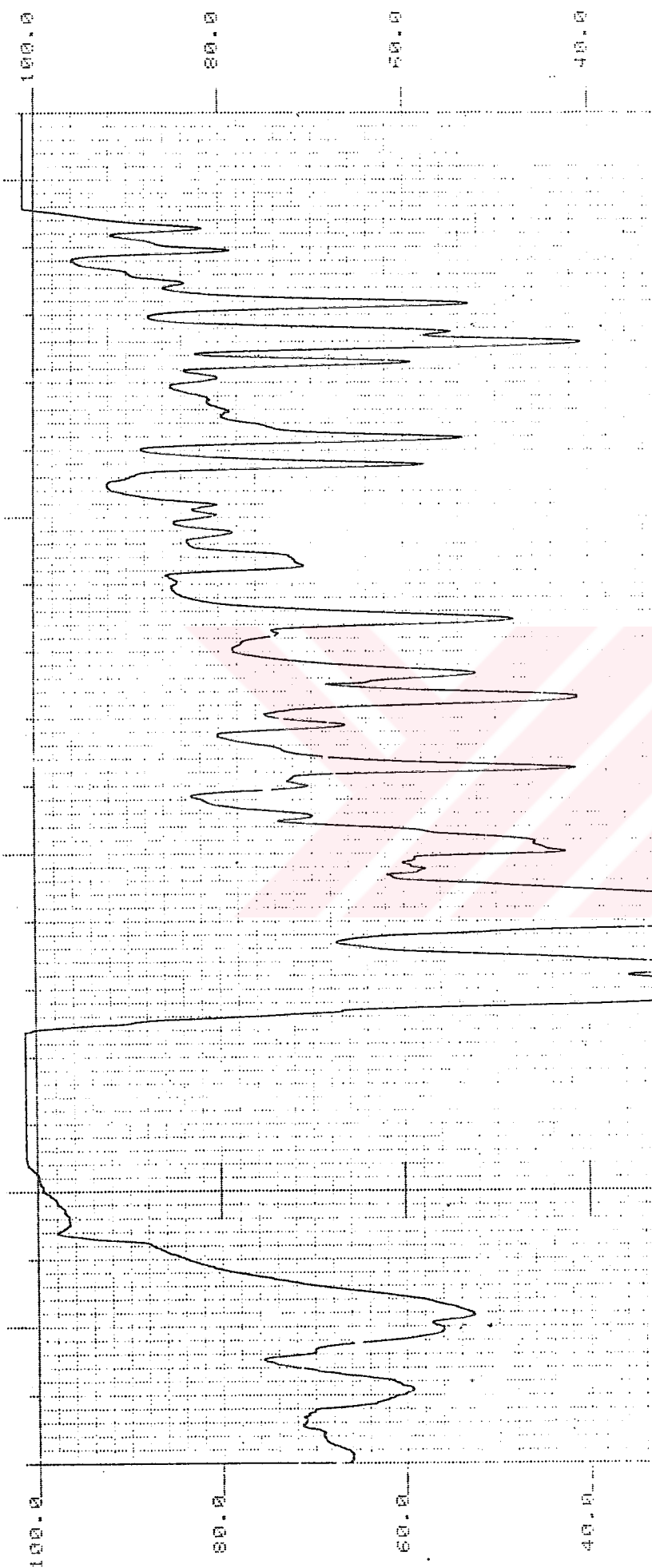
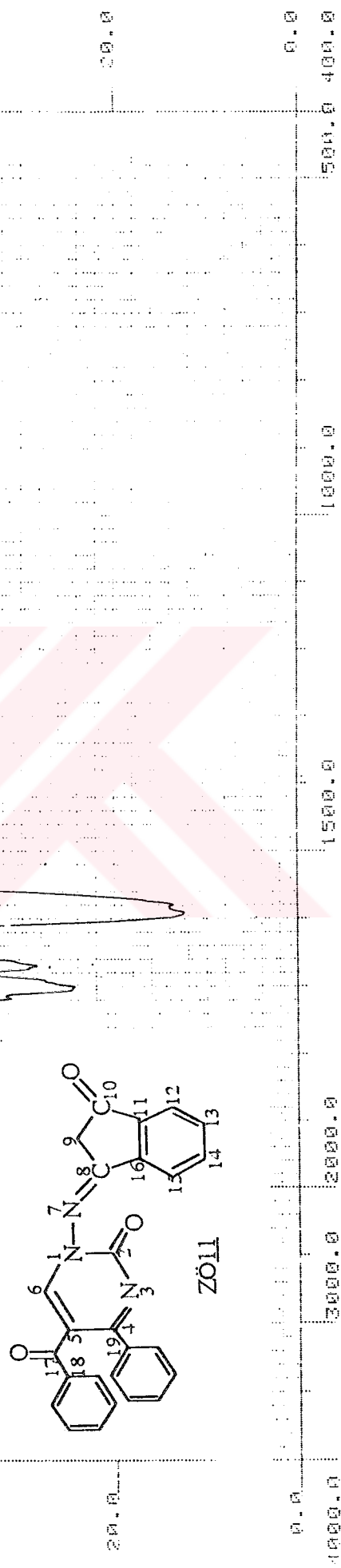
$\text{C}_2$ 167.50 ppm (singlet)	$\text{C}_9$ 62.18 ppm (s)
$\text{C}_{10}$ 182.07 ppm (s)	$\text{C}_{17}$ 192.33 ppm (s)

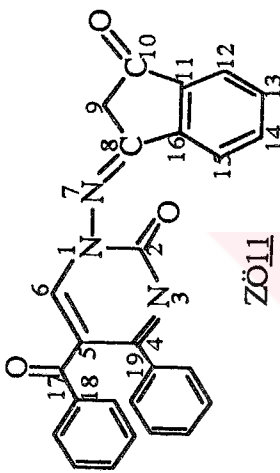
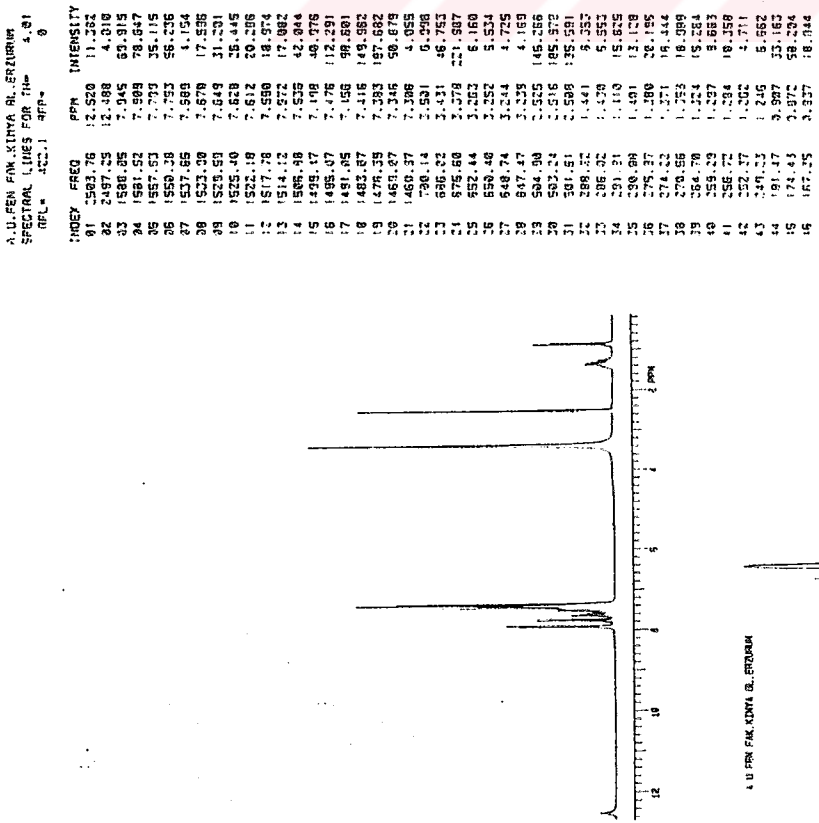
Aromatik halka karbonlarının ise  $\delta=123.24-147-275\text{ ppm}$  arasında bulunduğu bilinmektedir. Bu karbonları tek tek göstermek çok zor olduğu için, gösterilememiştir.

Bu spektral ve analiz bilgileri ışığında (**ZÖ11**) bileşinin reaksiyon denklemi aşağıdaki gibi olup, IUPAC adlandırma sistemine göre; 5-Benzoil-1-(indan-3-on-1-iliden-amino)-4-fenil-pirimidin-2-on şeklinde adlandırıldı.

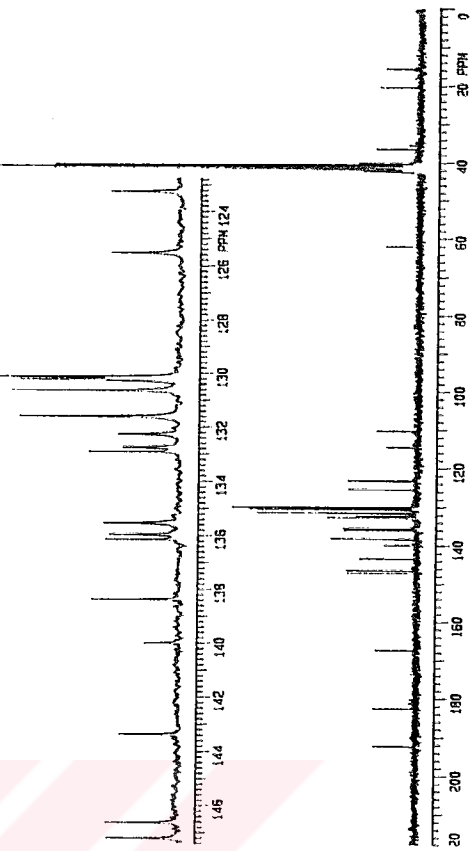


**Şekil 3.25.** ZÖ11 Bileşiginin IR Spektrumu





ZÖ11



Sekil 3.26. ZÖ11 Bileşiginin <sup>1</sup>H-NMR Spektrumu

Sekil 3.27. ZÖ11 Bileşiginin <sup>13</sup>C-NMR Spektrumu

### 3.12. (3) Bileşinin İndan-1,3-dion ile Reaksiyonu

Başlangıç maddeleri (1:2) mol oranlarında reaksiyon balonuna alındı. Üzerine etil alkol çözücü olarak ilave edildi. (ZÖ11)bileşinde olduğu gibi burada da kırmızı renk oluştu. Daha sonra katalizör olarak 2 damla HCl ilave edildi. Renk açık sarı oldu. Reaksiyon 48 saat oda sıcaklığında, magnet yardımıyla karıştırıldı. Çöken katı madde süzüldü. Ham ürün kristallendirilmeye çalışıldı ve en uygun çözücü olarak n-butanol tercih edildi. TLC, IR ve erime noktası tayinlerinden sonra yeni bir ürünün oluştuğu belirlendi. Elementel analiz sonuçlarına göre, bileşinin (ZÖ12) kapalı formülünün  $C_{26}H_{17}N_3O_2S$  olduğu anlaşıldı.

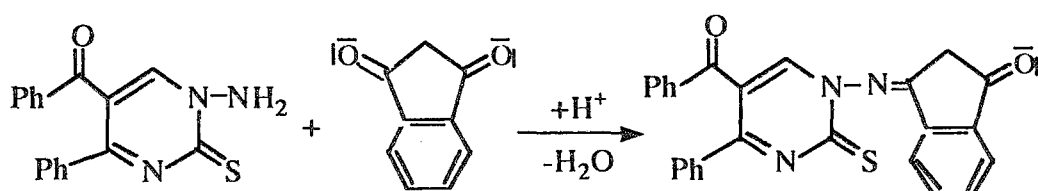
Şekil 3.28'te verilen (ZÖ12) bileşinin IR spektrumu incelendiğinde;  $3400\text{ cm}^{-1}$  de karbonil grubu overtonlarına ait pik görülmektedir.  $1700\text{-}1660\text{ cm}^{-1}$  arasında karbonil gruplarına ait absorbsiyon pikleri bulunmaktadır.  $1600\text{ cm}^{-1}$  deki pik aromatik halkalardaki  $C=C$  ve  $C=N$  gerilme titreşimlerine aittir.  $1500\text{-}1370\text{ cm}^{-1}$  arasındaki pik grubu fenil gruplarını gösterir.  $1230\text{ cm}^{-1}$  deki pik tiyokarbonil grubunu,  $780\text{-}600\text{ cm}^{-1}$  arasındaki pik grubu pirimidin halkasına ait iskelet titreşimlerini gösterir [44,45,46,49].

Şekil 3.29'da (ZÖ12) bileşinin DMSO'da çözülderek alınan  $^1H$ -NMR spektrumu görülmektedir. Bu bileşinin  $^1H$ -NMR spektrumu (ZÖ11) bileşinin  $^1H$ -NMR spektrumuna benzemektedir. Spektrum DMSO'da çözülderek alınmıştır.  $\delta=2.51$  - $CH_2-$  piki,  $\delta=7.30\text{-}7.97$  ppm arasında aromatik halka protonları görülmektedir. Bulunan proton sayısı elementel analiz sonuçları ile uyum içindedir [48].

Kimyasal kayma ( $\delta=ppm$ ) :                    2.51                    7.30-7.97

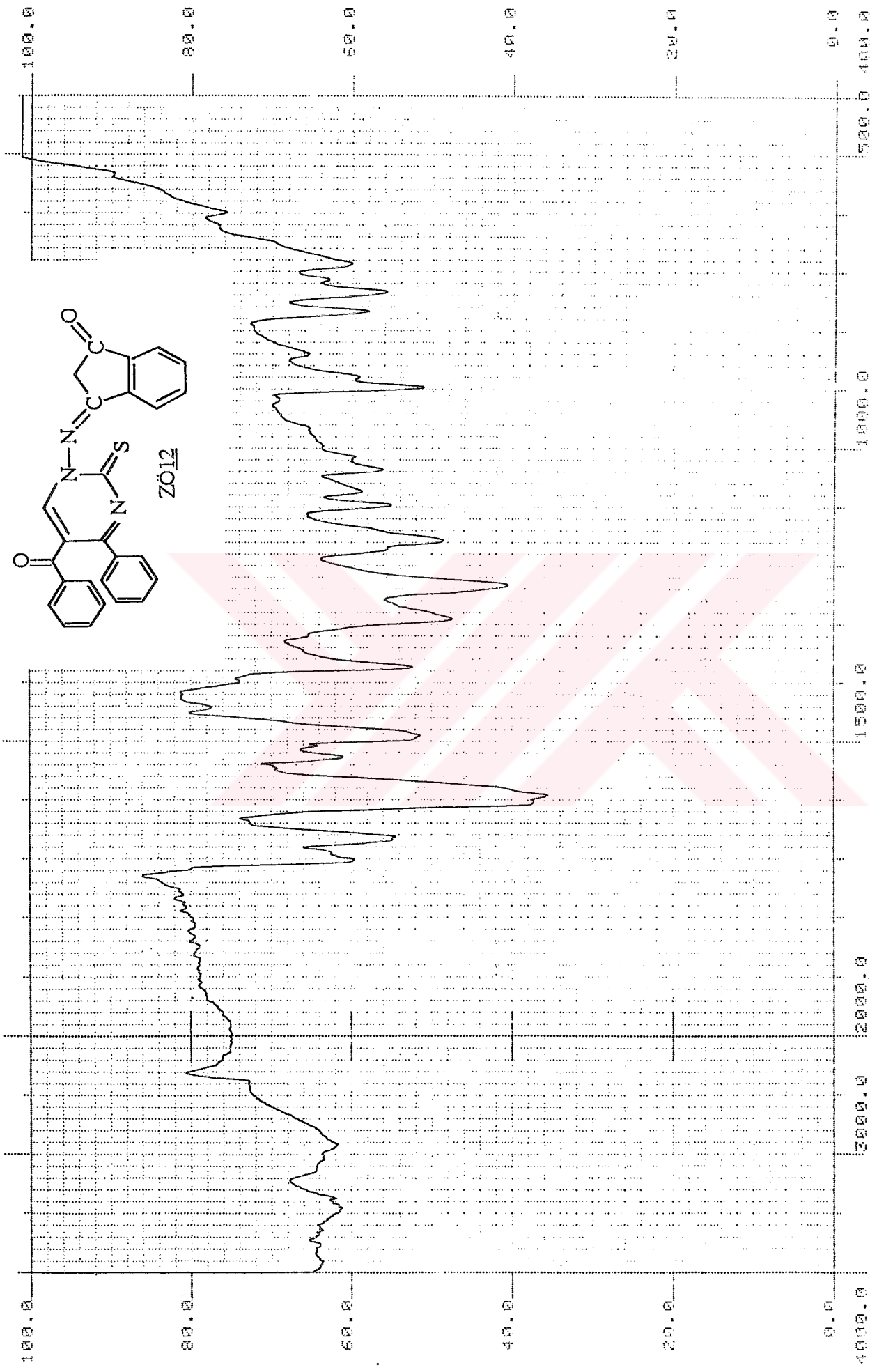
İntegrasyon (proton sayısı) :                    2                            15

Bu spektral ve analiz bilgileri ışığında (ZÖ12) bileşinin reaksiyon denklemi ve açık formülü aşağıdaki gibi olup, IUPAC adlandırma sistemine göre; 5-Benzoil-1-(indan-3-on-1-iliden-amino)-4-fenil-pirimidin-2-tyon şeklinde adlandırıldı.

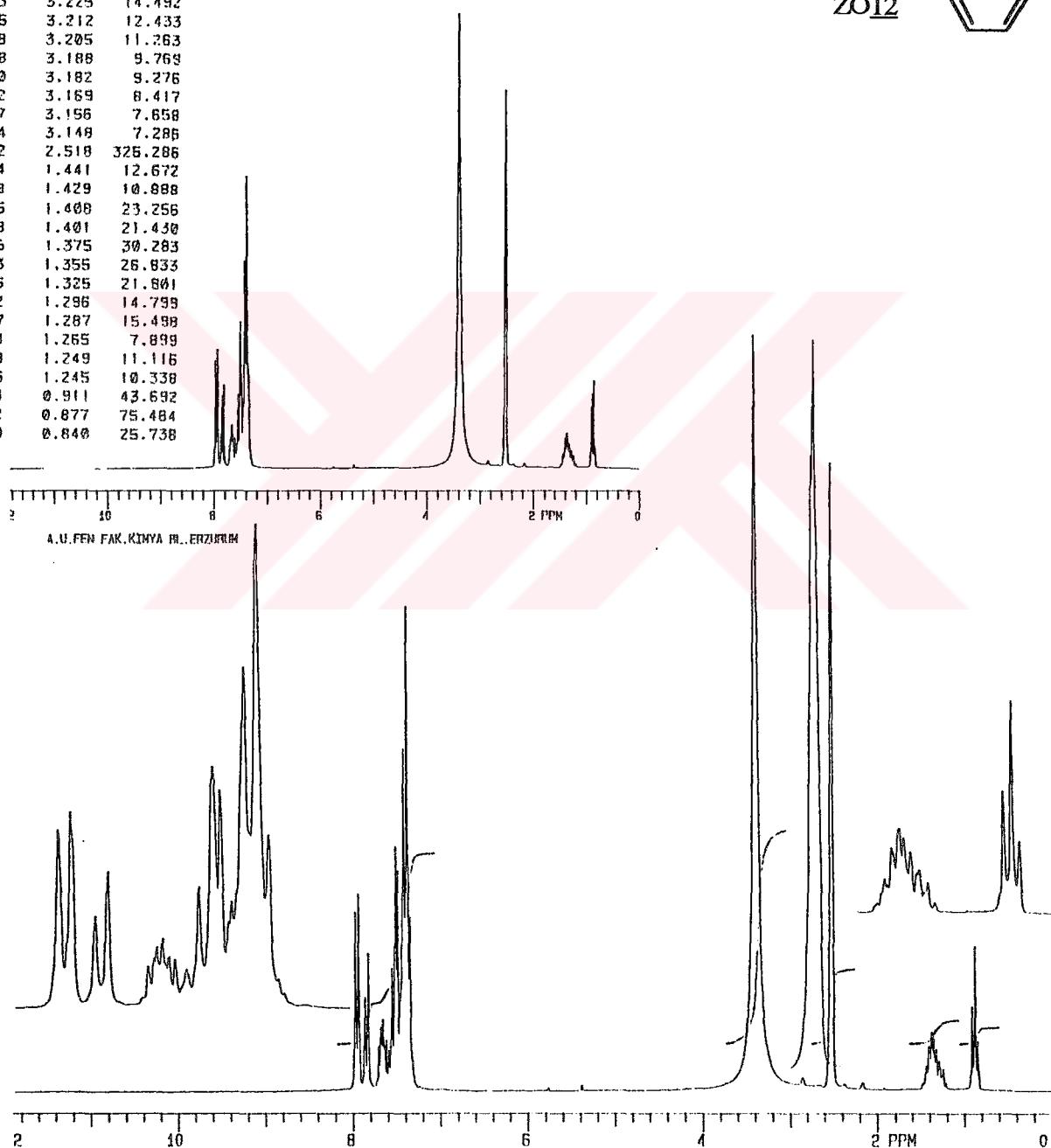
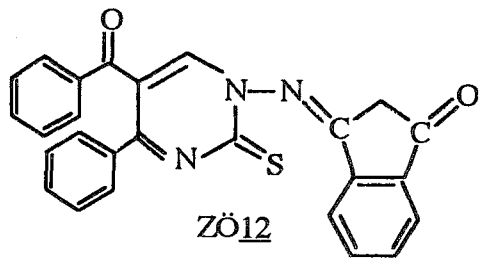


ZÖ12

**Şekil 3.28.** ZÖ12 Bileşliğinin IR Spektrunu

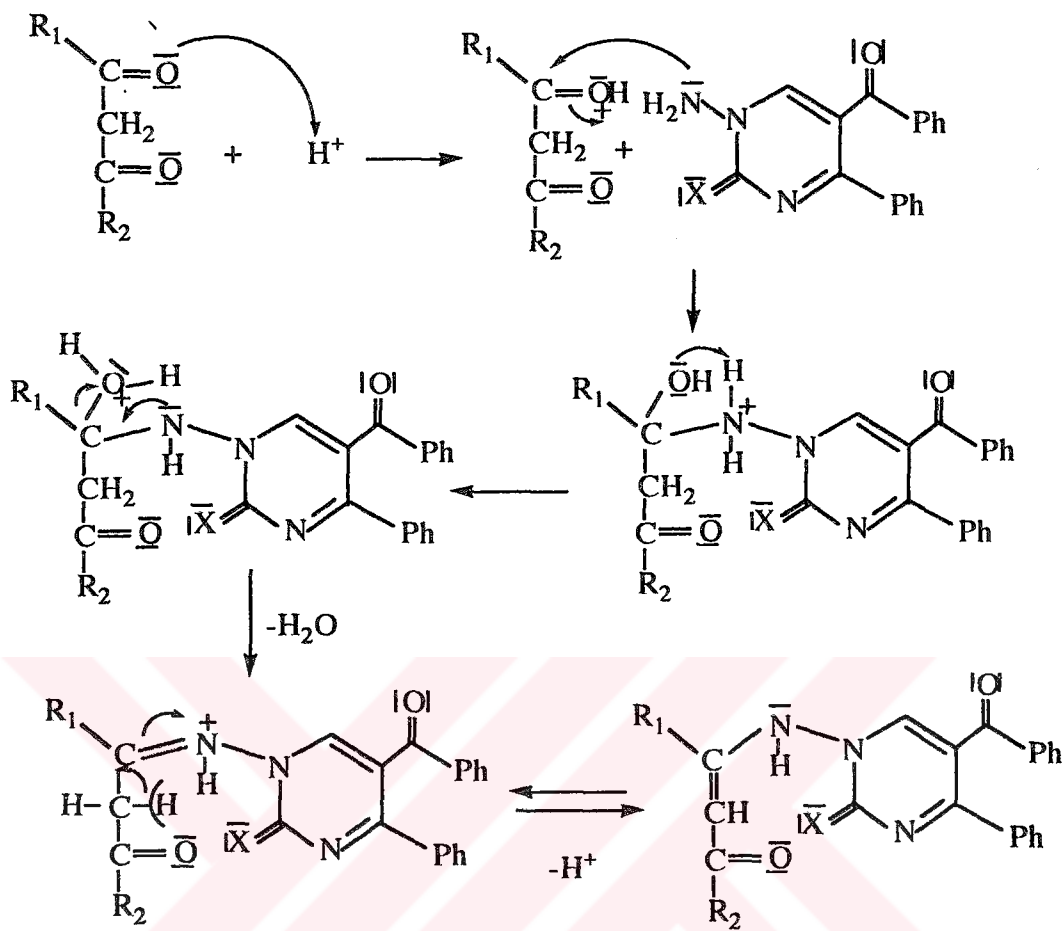


INDEX	FREQ	PPM	INTENSITY
01	1594.62	7.974	93.286
02	1587.01	7.936	102.451
03	1572.44	7.863	49.005
04	1565.12	7.827	72.128
05	1541.19	7.707	22.407
06	1535.73	7.680	32.499
07	1532.44	7.663	36.915
08	1528.45	7.643	27.731
09	1525.07	7.626	26.007
10	1518.15	7.592	20.959
11	1510.91	7.555	63.892
12	1502.68	7.514	127.287
13	1498.29	7.492	115.598
14	1491.45	7.458	56.224
15	1484.09	7.421	177.914
16	1476.39	7.383	251.354
17	1469.52	7.348	90.673
18	1463.61	7.318	16.114
19	1460.36	7.303	8.316
20	725.13	3.626	7.048
21	718.74	3.594	9.143
22	679.34	3.397	391.275
23	652.60	3.263	22.266
24	644.83	3.225	14.492
25	642.35	3.212	12.433
26	640.88	3.205	11.263
27	537.58	3.188	9.769
28	638.40	3.182	9.276
29	633.72	3.169	8.417
30	631.07	3.156	7.658
31	629.44	3.148	7.286
32	503.52	2.518	326.286
33	288.14	1.441	12.672
34	285.78	1.429	10.888
35	281.55	1.408	23.256
36	280.08	1.401	21.430
37	274.95	1.375	30.283
38	270.93	1.355	26.833
39	265.06	1.325	21.801
40	259.12	1.286	14.799
41	257.37	1.287	15.498
42	252.98	1.265	7.899
43	249.68	1.249	11.116
44	248.95	1.245	10.338
45	182.24	0.911	43.692
46	175.32	0.877	75.484
47	168.00	0.840	25.738



Şekil.3.29. ZÖ12 Bileşiginin <sup>1</sup>H-NMR Spektrumu

### 3.12.1. ZÖ1 - ZÖ12 Bileşiklerinin Reaksiyon Mekanizması



ZÖ1-10	X	R <sub>1</sub>	R <sub>2</sub>
ZÖ1	O	Ph-	Ph-
ZÖ2	S	Ph-	Ph-
ZÖ3	O	p-CH <sub>3</sub> O-C <sub>6</sub> H <sub>4</sub> -	p-CH <sub>3</sub> O-C <sub>6</sub> H <sub>4</sub> -
ZÖ4	S	p-CH <sub>3</sub> O-C <sub>6</sub> H <sub>4</sub> -	p-CH <sub>3</sub> O-C <sub>6</sub> H <sub>4</sub> -
ZÖ5	O	CH <sub>3</sub> -	CH <sub>3</sub> -
ZÖ6	S	CH <sub>3</sub> -	CH <sub>3</sub> -
ZÖ7	O	p-CH <sub>3</sub> -C <sub>6</sub> H <sub>4</sub> -	p-CH <sub>3</sub> -C <sub>6</sub> H <sub>4</sub> -
ZÖ8	S	p-CH <sub>3</sub> -C <sub>6</sub> H <sub>4</sub> -	p-CH <sub>3</sub> -C <sub>6</sub> H <sub>4</sub> -
ZÖ9	O	p-CH <sub>3</sub> -C <sub>6</sub> H <sub>4</sub> -	Ph-
ZÖ10	S	p-CH <sub>3</sub> -C <sub>6</sub> H <sub>4</sub> -	Ph-
ZÖ11	O	o-Fenilen	
ZÖ12	S	o-Fenilen	

### 3.13. (2) Bileşinin Etilasetoasetat ile Reaksiyonu

(2) ve etilasetoasetattan (1:3) mol oranlarında alınarak, bir seri denemeler yapıldı. Daha önceki çalışmalarımız da, gözünde tutularak değişik sıcaklıklar denendi. (1:14) mol oranlarında alınan maddeler, p-toluen sulfonik asit katalizörüğünde şilifli bir balonda  $\text{CaCl}_2$  kurutma başlığı takılarak  $130\text{ }^\circ\text{C}$ 'ye ayarlanmış etüvde 2 saat tutuldu. Süre tamamlandığında etüvden alınarak, oda sıcaklığında soğumaya bırakıldı. Etilasetoasetatin fazları, rotovapordan atıldıktan sonra yağımısı kısım dietileter ile muamele edildi. Çöken beyaz renkli ham ürün süzüldü. Değişik çözücüler denenerek, n-butanoldan kristalleşmesi sağlandı. TLC, IR ve erime noktası tayinlerinden sonra, başlangıç maddelerinden farklı bir ürünün oluştuğu belirlendi. Elementel analiz sonuçlarına göre bileşinin (ZÖ13) kapalı formülünün  $\text{C}_{23}\text{H}_{21}\text{N}_3\text{O}_4$  olduğu anlaşıldı.

(ZÖ13) bileşinin şekil 3.30'da IR spektrumu görülmektedir. Spektrumda; 3500-3400  $\text{cm}^{-1}$  arasındaki pik karbonil grubu overtonudur. 3150-3000  $\text{cm}^{-1}$  arasındaki pik alifatik ve aromatik C-H gerilme titreşimlerini gösterir. 3000  $\text{cm}^{-1}$  in altındaki küçük pik alifatik gruplara ait C-H gerilme titreşimlerini temsil eder. 1720-1680  $\text{cm}^{-1}$  deki kuvvetli pikler karbonil gruplarına aittir ve 1590  $\text{cm}^{-1}$  deki pik aromatik halkadaki  $\text{C}=\text{C}$  ve  $\text{C}=\text{N}$  gerilme titreşimlerini gösterir. 1500-1400  $\text{cm}^{-1}$  deki bandlar fenil gruplarını, 1200-1100  $\text{cm}^{-1}$  arasındaki kuvvetli pikler alifatik gruplara ait C-H eğilme titreşimlerini gösterir. 800-640  $\text{cm}^{-1}$  arasındaki pikler pirimidin halkasına ait iskelet titreşimleridir [49,50].

(ZÖ13) bileşinin DMSO'de çözülerek alınan  $^1\text{H-NMR}$  spektrumu, Şekil 3.31'de görülmektedir.  $\delta=7.30\text{-}7.76$  ppm arasında aromatik halka protonlarına ait pikler görülmektedir.  $\delta=0.77\text{-}0.84$  ppm'de (-OCH<sub>2</sub>-CH<sub>3</sub>) grubuna bağlı -CH<sub>3</sub> grubu protonları triplete yarılmış olarak görülmektedir. Bu gruba bağlı -CH<sub>2</sub> protonları ise  $\delta=3.70\text{-}3.90$  ppm'de metil grubundaki protonlar nedeniyle visinal-spin-spin etkileşmesi yaparak bir quartet vermiştir.  $\delta=2.46$  ppm'deki singlet pik azota bağlı karbon atomu üzerindeki -CH<sub>3</sub> grubuna aittir.  $\delta=3.35$  ppm'deki pik -CH<sub>2</sub>- grubuna ait protonları gösterir. Spektrumdaki integral alanları karşılaştırılarak orantı ile bulunan proton sayıları elementel analizle uyum içindedir. Bileşikte yine tautomeri durumu söz konusudur. Bileşinin en çok keto formunda bulunduğu  $^1\text{H-NMR}$  spektrumlarından anlaşıldı [51]. Enol formunun pikleri ise  $\delta=5.2$ 'de =C-H- ve  $\delta=12.28$  ppm'de -OH pikleri çok az gözlenebilmiştir [46].

Spektrumda integral alanları karşılaştırılarak, bulunan proton sayıları, aşağıda verilmiştir.

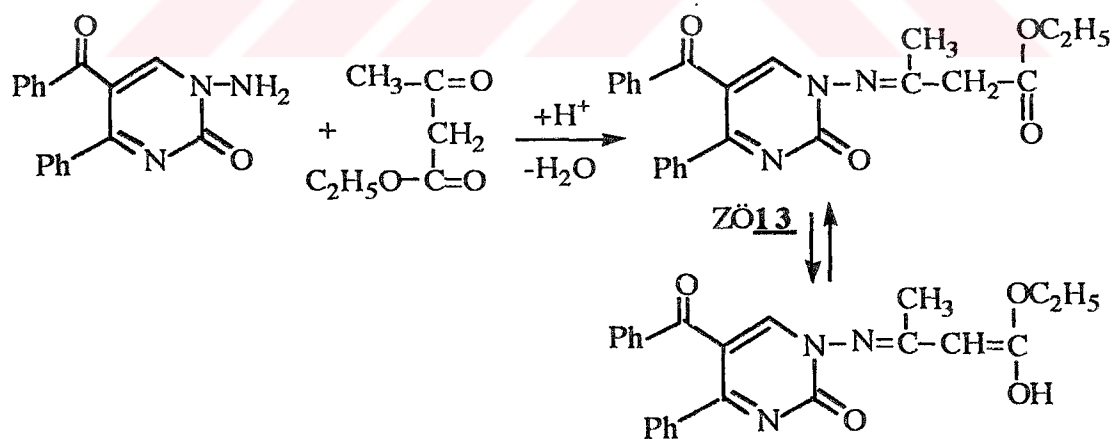
Kimyasal kayma ( $\delta$ =ppm) :	0.77-0.84	2.46	3.33	3.70-3.90	7.30-7.76
İntegrasyon (proton sayısı):	3	3	2	2	11

(ZÖ13) bileşininin  $^{13}\text{C}$ -NMR spektrumu şekil 3.32'de verilmiştir. Spektrumun analizi karbon atomlarının numaralarına göre aşağıda gösterilmiştir:

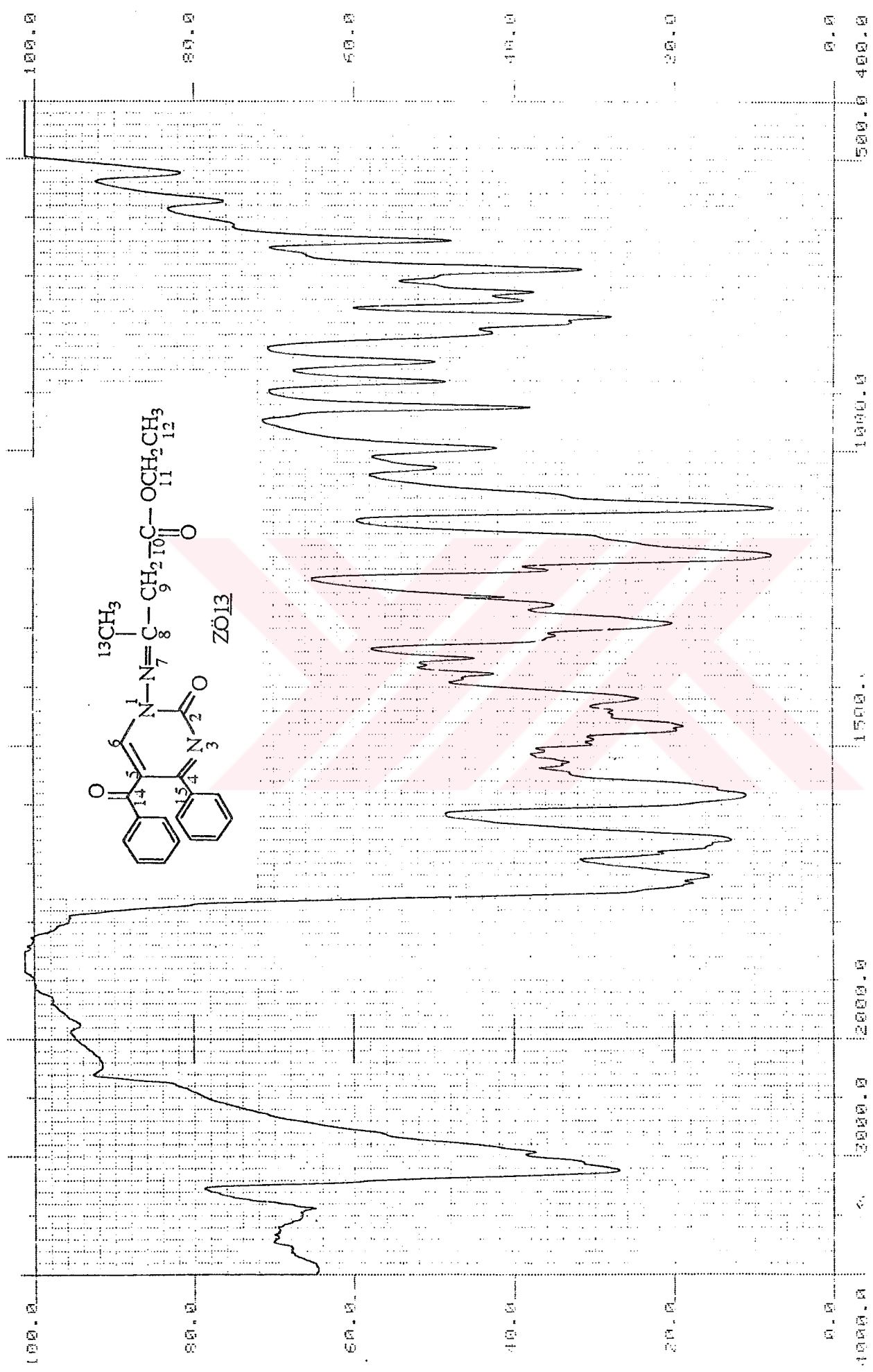
C <sub>2</sub>	163.81 ppm (singlet)	C <sub>8</sub>	145.87 ppm (s)
C <sub>9</sub>	61.23 ppm (s)	C <sub>10</sub>	156.32 ppm (s)
C <sub>11</sub>	61.23 ppm (s)	C <sub>12</sub>	15.24 ppm (s)
C <sub>13</sub>	15.71 ppm (s)	C <sub>14</sub>	192.74 ppm (s)
<b>C<sub>8</sub></b> 108.01 ppm (s) (Enol formu)			
<b>C<sub>9</sub></b> 110.06 ppm (s) (Enol formu)			

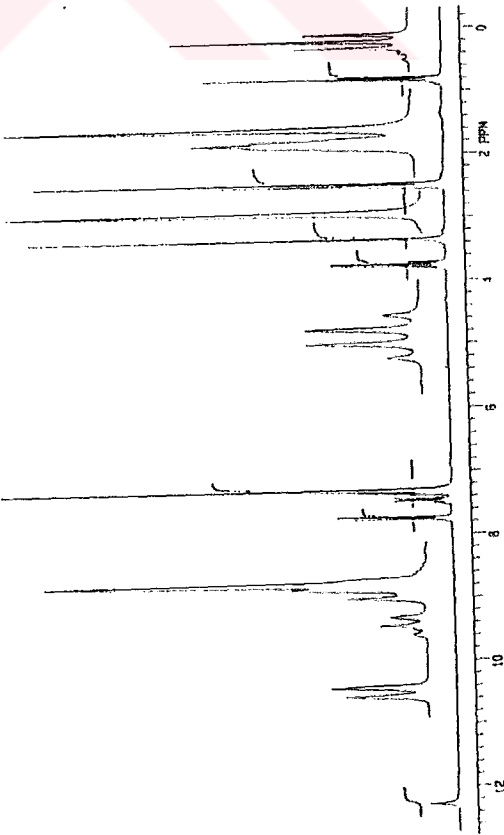
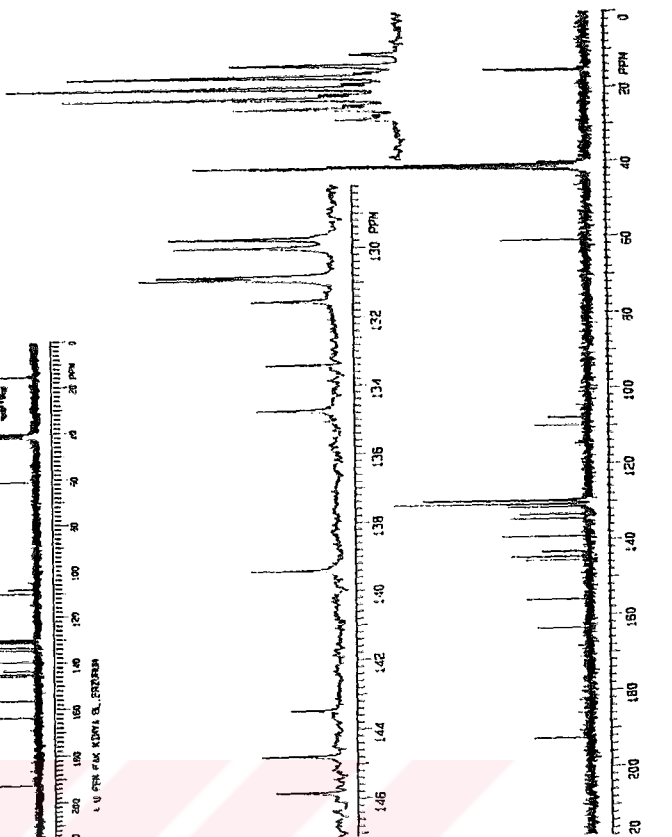
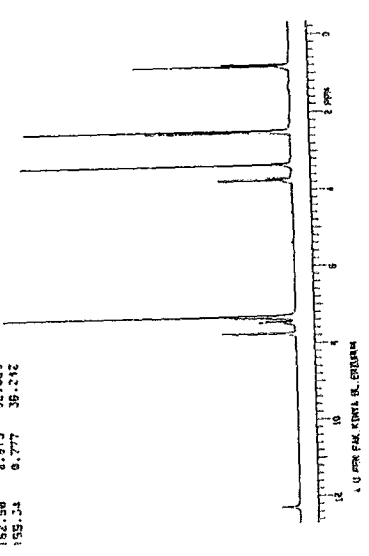
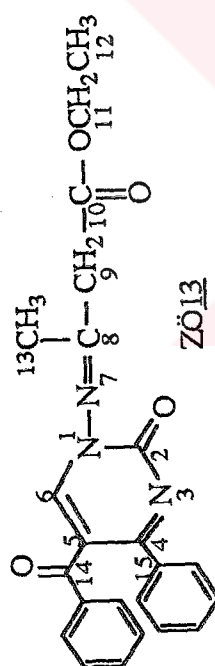
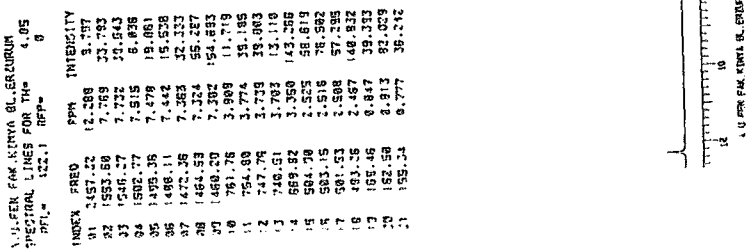
Aromatik karbonlar ise  $\delta=129.750-144.82$  ppm arasında yer almaktadır [46].

Bu spektral ve elementel analiz bilgileri ışığında (ZÖ13) bileşininin adı; N-(5-Benzoil-4-fenil-2-okso-1,2-dihidro-pirimidinil)-1-etoksi-1-okso-2-il-metilketiminin olup, reaksiyon denklemi aşağıdaki gibidir.



**Sekil 3.30.** ZÖ13 Bileşiginin IR Spektrumu





Sekil 3.31. ZÖ13 Bileşiginin <sup>1</sup>H-NMR Spektrumu

Sekil 3.32. ZÖ13 Bileşiginin <sup>13</sup>C-NMR Spektrumu

### **3.14. (3) Bileşiği ile Etilasetoasetat'ın Reaksiyonu**

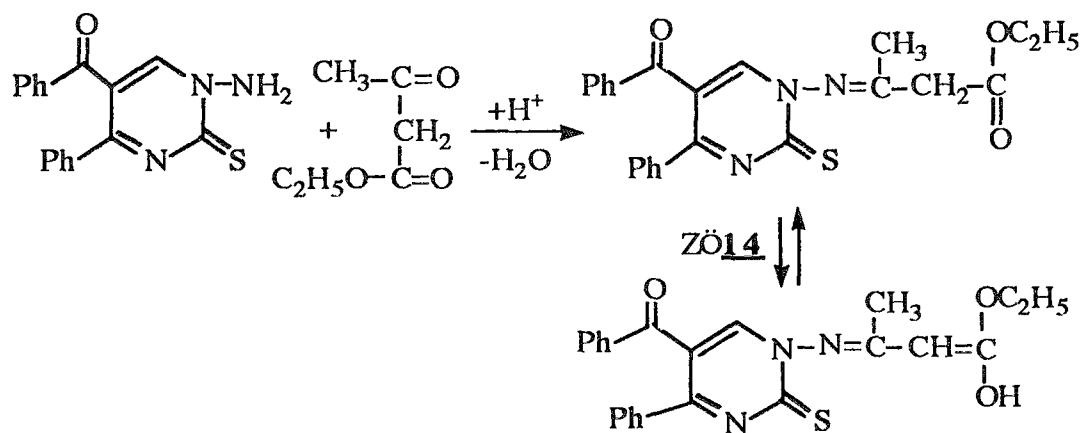
Burada bir önceki çalışmamız dikkate alınarak, reaksiyon için aynı şartlar uygulandı. (1:14) mol oranlarında alınan başlangıç maddeleri, şilifli bir reaksiyon balonunda, p-toluen sulfonik asit katalizörüğünde,  $\text{CaCl}_2$  kurutma başlığı takılarak,  $135\text{ }^{\circ}\text{C}$ 'ye ayarlanmış etüvde 2 saat ısıtıldı. Etüvden alınarak, oda sıcaklığına kadar soğutuldu. Etilasetoasetatın fazlası rotavopordan atıldı. Geriye kalan yağimsı kısmı dietieterle muamele edildi. Çöken sarı renkli ham ürün süzülerek kristallendirilmeye çalışıldı. n-Butanolda kristallendi. TLC, IR ve erime noktası tayinlerinden sonra yeni bir ürünün oluştuğu belirlendi. Elementel analiz sonuçlarına göre bileşigin, (ZÖ14) kapalı formülü  $\text{C}_{23}\text{H}_{21}\text{N}_3\text{O}_3\text{S}$  belirlendi.

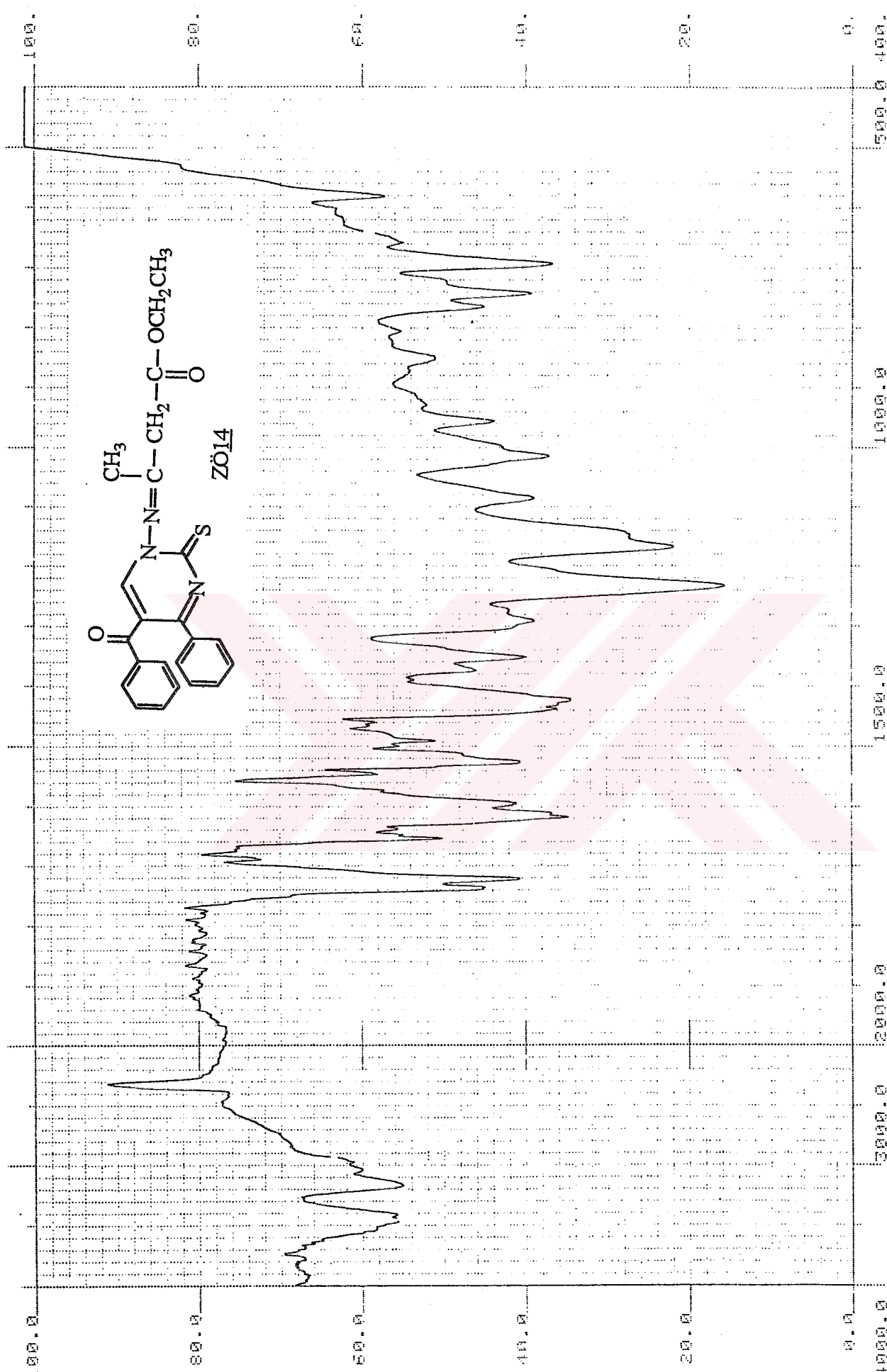
Şekil 3.33'te verilen (ZÖ14) bileşiginin IR spektrumu incelendiğinde, (ZÖ13) bileşigi IR spektrumuyla oldukça benzerlik gösterdiği görülür.  $3500\text{-}3400\text{ cm}^{-1}$  deki pik karbonil gruplarına ait overtonlardır.  $3100\text{ cm}^{-1}$  deki pik aromatik C-H gerilme titreşimlerini gösterir.  $3000\text{-}2900\text{ cm}^{-1}$  deki pikler alifatik gruplara ait -CH gerilme titreşimlerini belirtir.  $1730\text{-}1650\text{ cm}^{-1}$  deki pikler molekuldeki farklı karbonil gruplarına aittir.  $1620\text{ cm}^{-1}$  deki kuvvetli pik C=C ve C=N bağlarına ait gerilme titreşimlerini gösterir.  $1540\text{-}1420\text{ cm}^{-1}$  arasındaki pikler aromatik halka iskelet titreşimini,  $1160\text{-}1090\text{ cm}^{-1}$  arasındaki pikler alifatik C-H eğilme titreşimlerini gösterir. Tiyokarbonil grubuna ait pik  $1230\text{ cm}^{-1}$  de görülmektedir.  $800\text{-}700\text{ cm}^{-1}$  arasında pirimidin halkası iskelet titreşimi bulunmaktadır.

Şekil 3.34'te (ZÖ14) bileşiginin  $^1\text{H-NMR}$  spektrumu görülmektedir. Bileşigin keto formunda olduğunu düşünerek yorumlamaya çalıştık.  $\delta=1.29\text{ ppm}$ de (-OCH<sub>2</sub>-CH<sub>3</sub>) grubuna bağlı metil grubu, visinal etkileşme ile triplet pik vermiştir. (-OCH<sub>2</sub>-CH<sub>3</sub>) grubuna bağlı -CH<sub>2</sub>- protonları ise yine visinal etkileşme ile  $\delta=4.30\text{ ppm}$ de quartet pik vermiştir. Bu piklerin karışık olması enol formundaki ve keto formundaki CH<sub>3</sub>-CH<sub>2</sub>- grubunun çakışmasından ileri gelmiştir.  $\delta=2.07\text{ ppm}$ de tek CH<sub>3</sub>- piki,  $\delta=2.14\text{ ppm}$ de enol formundaki tek CH<sub>3</sub>- piki görülmektedir.  $\delta=2.51\text{ ppm}$ de DMSO piki,  $\delta=3.36\text{ ppm}$ de H<sub>2</sub>O piki görülmektedir. Diğer CH<sub>2</sub> pikinin  $\delta=3.36\text{ ppm}$ deki pik ile çakışarak, görülmemiği düşünülmektedir.  $\delta=10.94\text{ ppm}$ deki pik enol formundaki (OH) protonuna aittir.  $\delta=5.29\text{-}5.35\text{ ppm}$ deki pik grubu enol formu =CH protonlarını göstermektedir.  $\delta=7.02\text{-}7.38\text{ ppm}$  arasında aromatik protonlar multiple pikler vermiştir [46].

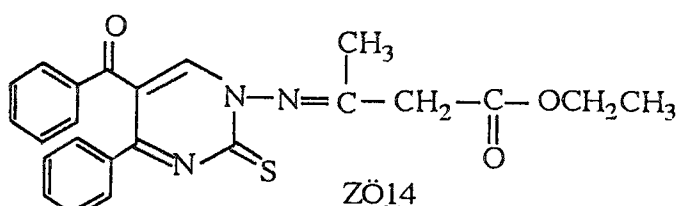
Kimyasal kayma ( $\delta=\text{ppm}$ ) :	1.29	2.07	4.30	3.36	7.02-7.38
İntegrasyon (proton sayısı) :	3	3	2	2	11

Bu spektral ve elementel analiz bilgileri doğrultusunda (**ZÖ14**) bileşiginin reaksiyon denklemi ve açık formülü aşağıdaki gibi olup IUPAC adlandırma sistemine göre; N-(5-Benzoil-4-fenil-2-tiyokso-1,2-dihidro-pirimidinil)-1-etoksi-1-okso-2-il-metilketimin şeklinde adlandırılmıştır.



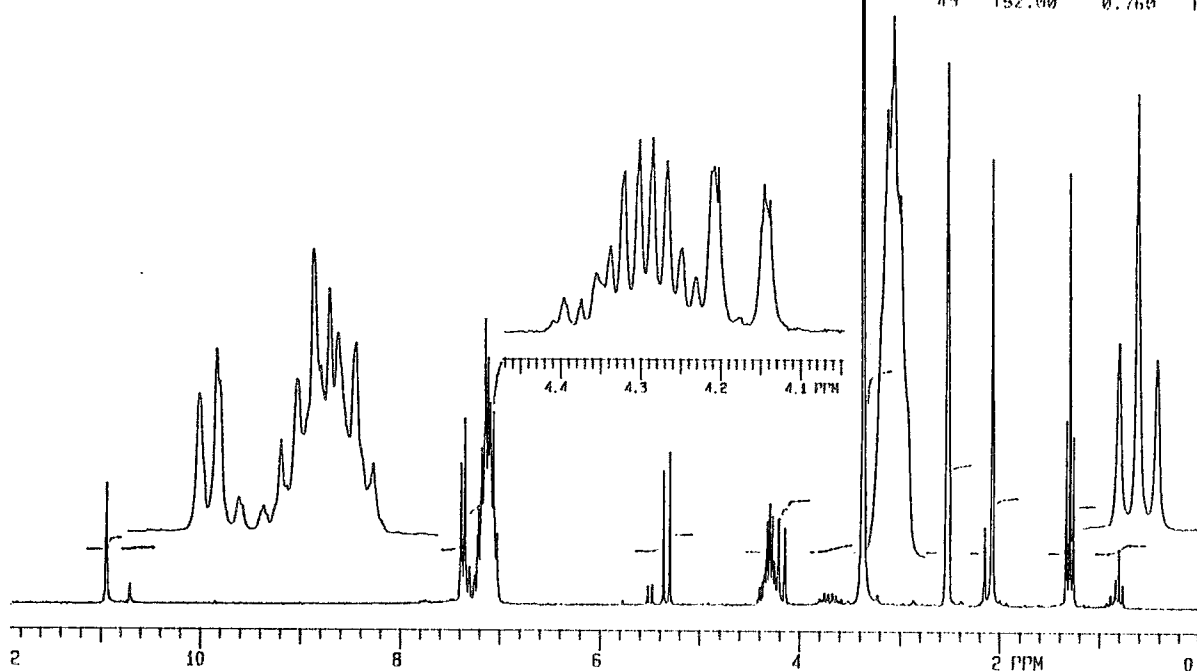
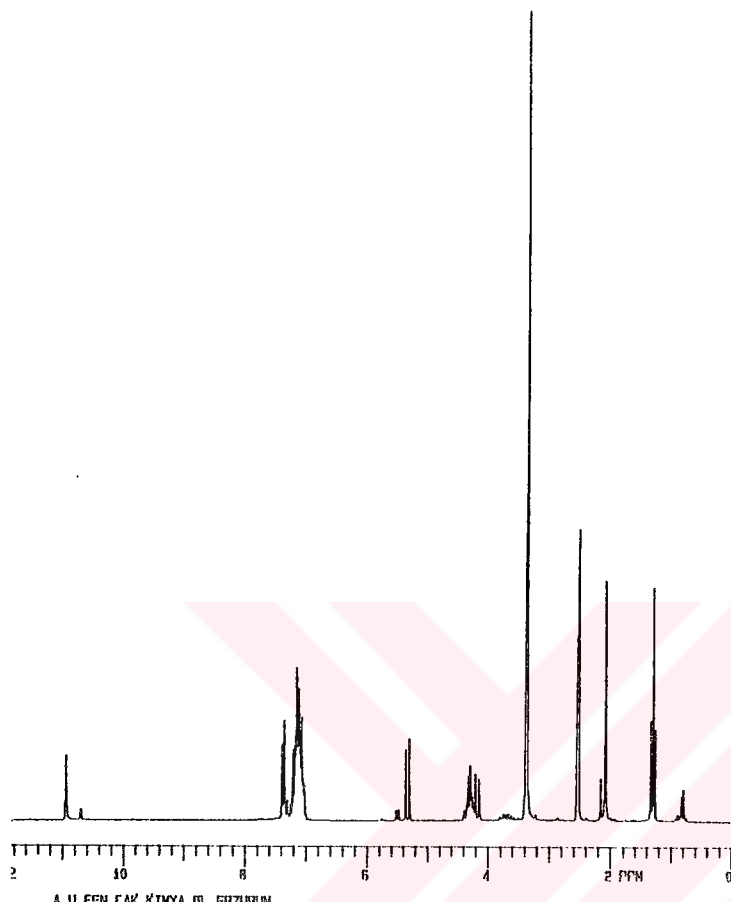


**Şekil 3.33. Zö14 Bileşiginin IR Spektrumu**



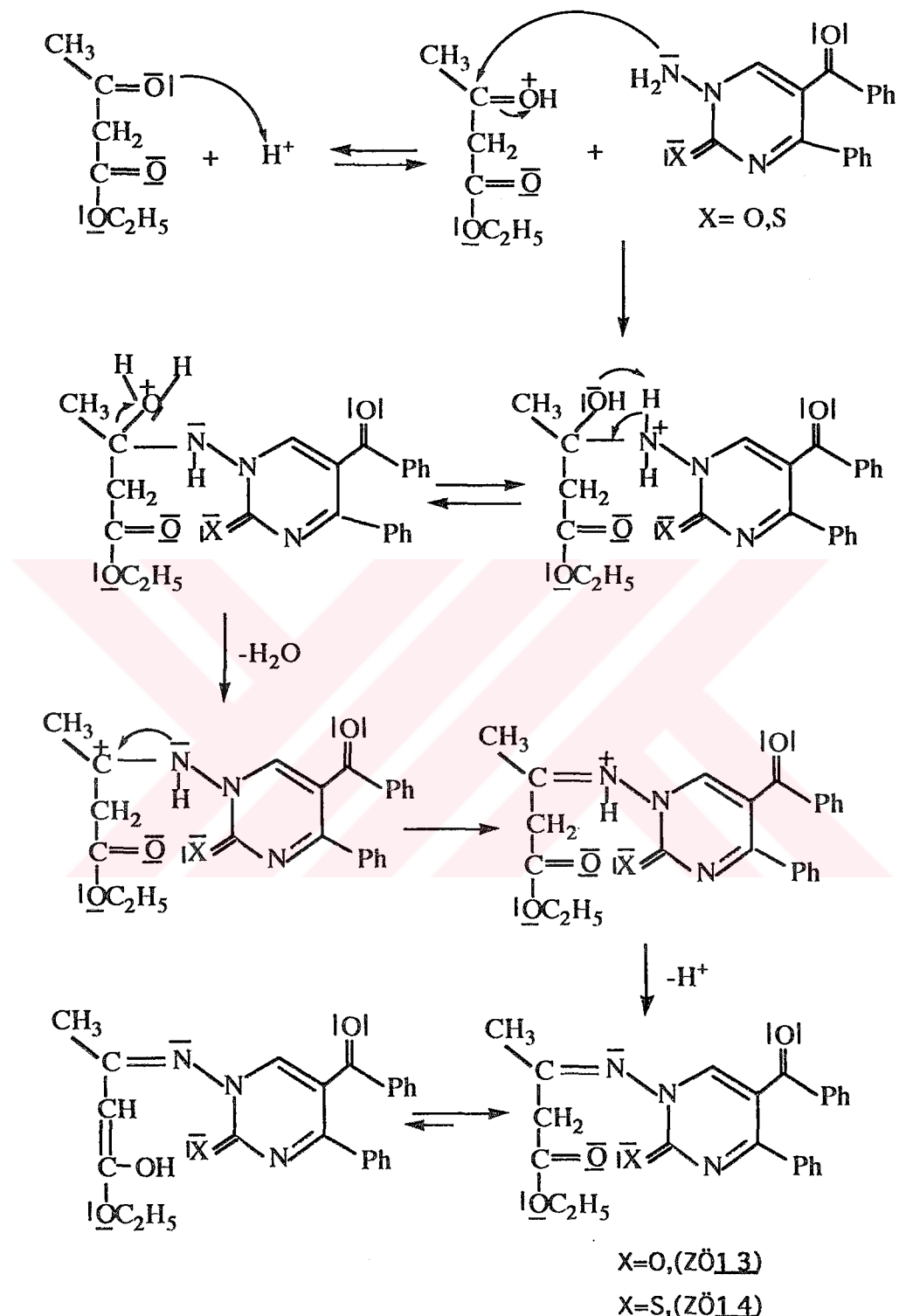
A.U.FEN FAK.KINYA BL.ERZURUM  
SPECTRAL LINES FOR TH+ 6.23  
REL= 422.1 REPE 0

INDEX	FREQ	PPM	INTENSITY
01	2188.38	10.943	49.674
02	2140.48	10.704	7.755
03	1478.78	7.385	57.988
04	1469.35	7.348	77.079
05	1467.97	7.341	63.177
06	1460.28	7.302	15.377
07	1458.81	7.295	12.297
08	1449.86	7.250	12.290
09	1448.47	7.243	8.350
10	1442.69	7.214	39.018
11	1440.25	7.202	20.547
12	1438.18	7.182	64.412
13	1429.14	7.147	117.657
14	1426.37	7.133	70.786
15	1422.55	7.114	101.487
16	1419.17	7.097	83.238
17	1411.54	7.059	80.164
18	1404.52	7.023	29.521
19	1103.83	5.520	8.011
20	1094.43	5.473	8.766
21	1071.64	5.359	55.007
22	1058.82	5.295	82.619
23	878.97	4.395	7.809
24	874.58	4.373	7.431
25	870.83	4.355	13.228
26	867.25	4.337	18.944
27	863.71	4.319	35.933
28	859.92	4.300	41.622
29	856.63	4.284	42.104
30	852.96	4.265	37.180
31	849.30	4.247	18.671
32	845.92	4.230	12.363
33	841.24	4.207	36.008
34	840.14	4.201	39.839
35	828.75	4.144	32.538
36	827.32	4.137	28.863
37	672.75	3.364	620.090
38	660.29	3.302	6.512
39	505.27	2.527	187.699
40	503.52	2.519	223.685
41	501.69	2.509	150.651
42	428.51	2.143	33.162
43	414.06	2.071	186.862
44	265.51	1.328	78.345
45	258.47	1.293	179.334
46	251.43	1.257	71.169
47	166.21	0.831	12.083
48	159.21	0.795	24.307
49	152.00	0.760	19.149



Şekil.3.34. ZÖ14 Bileşinin  $^1\text{H-NMR}$  Spektrumu

### 3.14.1. ZÖ13 ve ZÖ14 Bileşiklerinin Reaksiyon Mekanizması



### 3.15. (2) Bileşinin Ftalanhidrit ile Reaksiyonu

Reaktiflerden (1:1) mol oranlarında alınarak ksilen çözücü ortamında,  $\text{CaCl}_2$  başlığı takılı geri soğutucu altında, 7 saat kaynatıldı. Ksilen rotovapordan atıldı. Dietileter ilave edildi. Magnetik karıştırıcı yardımıyla bir müddet karıştırdı. Çöken ham ürün süzüldü. TLC yardımıyla incelendi. Reaksiyona girmemiş başlangıç maddesinin ortamda bulunduğu anlaşıldı. Daha sonra, önceki çalışmalarımızda olduğu gibi (1:16) mol oranında alınarak, reaksiyon balonuna  $\text{CaCl}_2$  kurutma başlığı takıldı.  $190\text{ }^{\circ}\text{C}$ 'ye ayarlanmış etüvde 1 saat tutuldu. Etüvden alındıktan sonra oda sıcaklığına kadar soğutuldu ve dietil eter ilave edildi. Bir süre karıştıktan sonra ham ürün süzüldü. n-Butanolden kristallendiirdi. TLC, IR ve erime noktası tayinlerinden sonra, oluşan ürünün yeni bir bileşik olduğu anlaşıldı. Elementel analiz sonucuna göre bileşinin (ZÖ15), kapalı formülünün  $\text{C}_{25}\text{H}_{15}\text{N}_3\text{O}_4$  olduğu belirlendi.

Şekil 3.35'te (ZÖ15) bileşinin, KBr disk teknigi ile alınmış IR spektrumu verilmiştir.  $3450\text{ cm}^{-1}$  de karbonil grubu overton bandı,  $3020\text{ cm}^{-1}$  de aromatik  $=\text{CH}$  gerilme titresimlerine ait pik görülmektedir.  $1750, 1690$  ve  $1650\text{ cm}^{-1}$  deki pikler sırasıyla bileşikteki karbonil gruplarını göstermektedir.  $1500-1460\text{ cm}^{-1}$  arasındaki pikler aromatik halka iskelet titresimine aittir.  $1300-1050\text{ cm}^{-1}$  arasında, anhidritlere ait C-O gerilmesini gösteren bir pik görülmektedir.  $800-700\text{ cm}^{-1}$  arasındaki pik grubu pirimidin halkasına ait iskelet titresimini gösterir.

Şekil 3.36'da (ZÖ15) bileşinin  $^1\text{H-NMR}$  spektrumu verilmiştir. Bu bileşinin  $^1\text{H-NMR}$  spektrumu, bileşik DMSO'da çözülmerek alınmıştır.  $\delta=2.51\text{ ppm}$ 'de DMSO piki,  $\delta=3.35\text{ ppm}$ 'de  $\text{H}_2\text{O}$  piki görülmektedir.  $\delta=7.39-8.16\text{ ppm}$  arasında aromatik halka protonları multiple pikler vermiştir. Alan şiddetleri toplamı 462.34 birim olup pik yüksekliği 45 mm'dir.  $45:14=3.2$  birim bir protona karşılık gelmektedir. Proton sayısı hesaplandığında 14 bulunmaktadır.  $\delta=8.99\text{ ppm}$ 'de pirimidin halkasına ait tek proton singlet pik vermiştir. Alan şiddeti 30.23 birim olup, pik yüksekliği 3 mm'dir.  $3:22=0.93$  birim yaklaşık bir protonu gösterir [46]. Integral alanları karşılaştırılarak orantı ile bulunan proton sayısı, elementel analiz sonuçları ile uyum göstermektedir.

Kimyasal kayma ( $\delta=\text{ppm}$ ) :      7.39-8.16      8.99

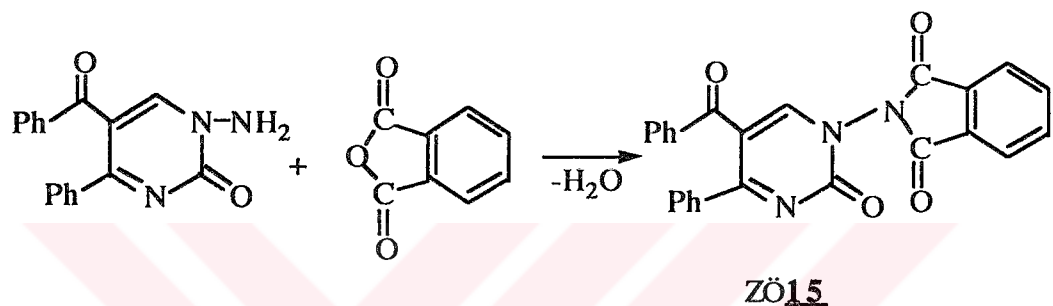
İntegrasyon (proton sayısı) :      14      1

(ZÖ15) bileşinin  $^{13}\text{C-NMR}$  spektrumu Şekil 3.37'de verilmiştir. Karbon atomlarının numaralarına göre spektrumun analizi aşağıda verilmiştir.

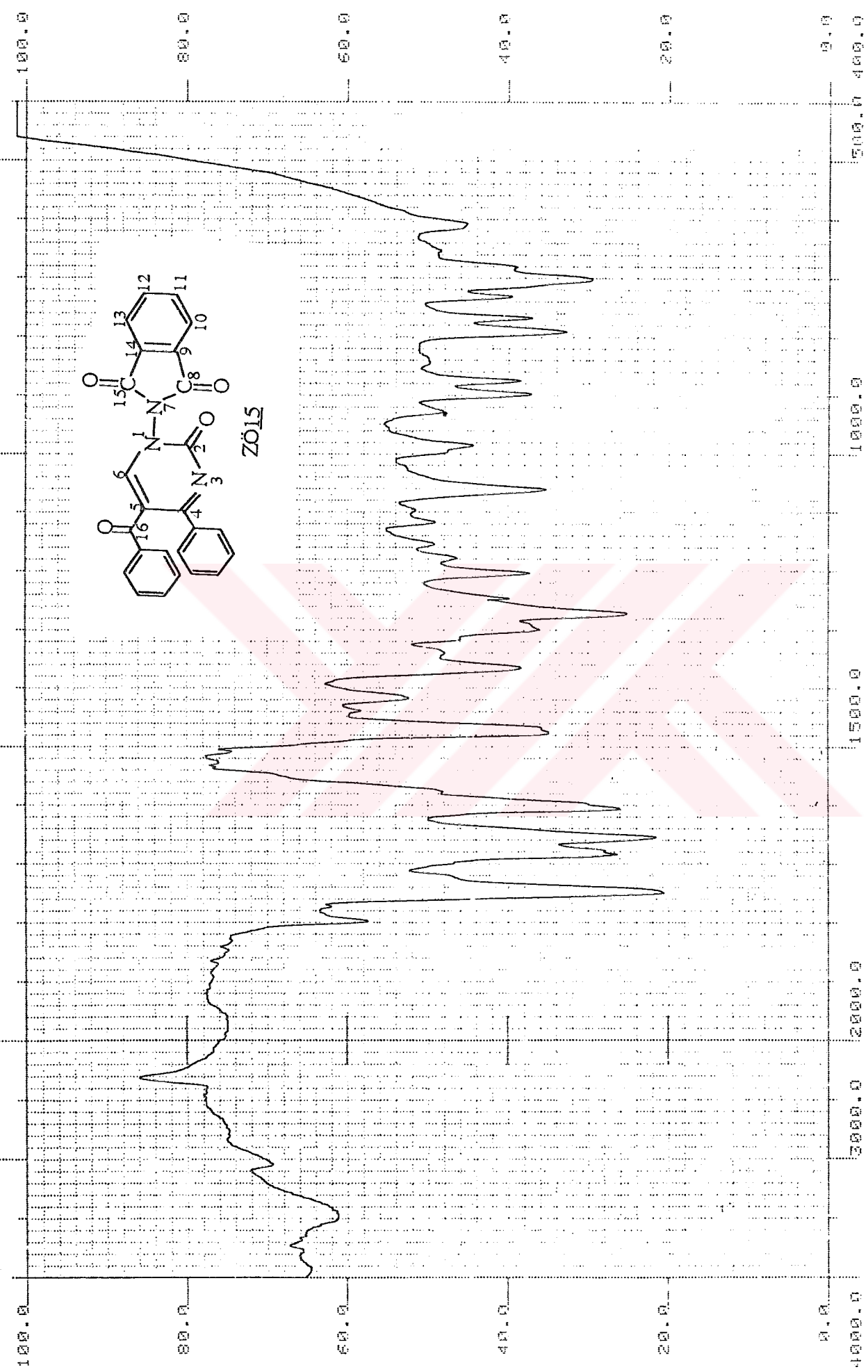
$C_2$  176.80 ppm (s)       $C_{16}$  192.33 ppm (s)

$C_{8,15}$  karbon atomları çakışık olarak 164.69 ppm'de görülmektedir. Diğer karbon atomları  $\delta=119.33-154.59$  ppm arasında yer almaktadır.

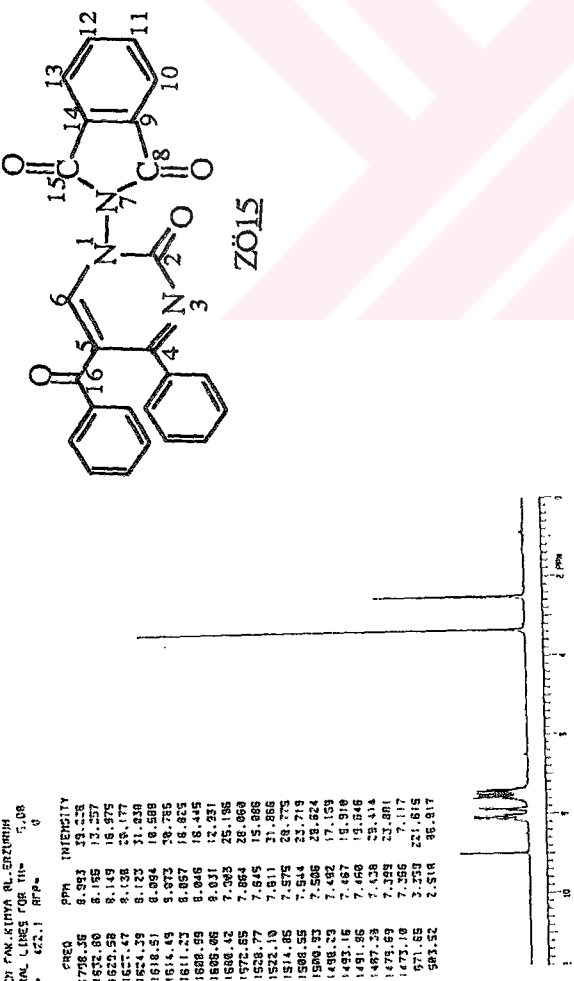
Bu spektral ve elementel analiz verileri doğrultusunda (ZÖ15) bileşığının reaksiyon denklemi ve açık formülü aşağıdaki gibi olup, IUPAC adlandırma sistemine göre; N-(5-Benzoil-4-fenil-2-okso-1,2-dihidro-pirimidinil) ftalimide şeklinde adlandırıldı.



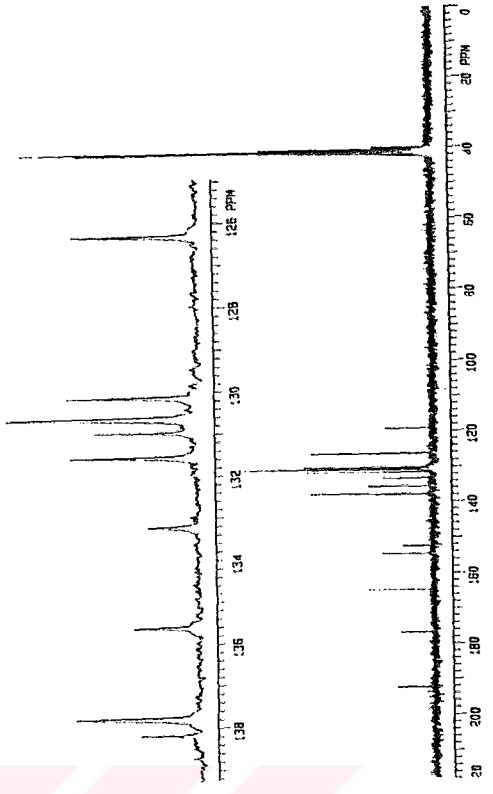
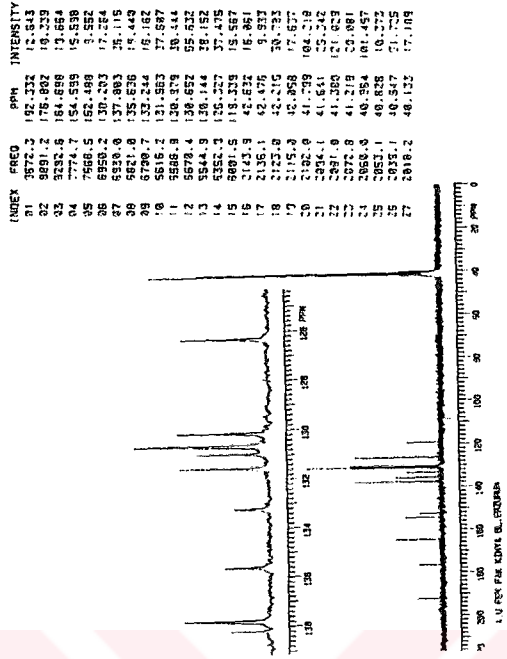
**Şekil 3.35.** ZÖ15 Bileşiginin IR Spektrumu



A.13C-FAB-NMR KONYA BL.ERZURUM  
SPECTRAL LINES FOR TLE-  
IRL-  
REF-  
422.1 RFP-  
0



A.4.FEN FAK. KONYA BL.ERZURUM  
SPECTRAL LINES FOR TLE-  
IRL-  
REF-  
2838.2 RFP-  
0



Şekil 3.36. ZÖ15 Bileşiginin 1H-NMR Spektrumu

Şekil 3.37. ZÖ15 Bileşiginin 13C-NMR Spektrumu

### 3.16. (3) Bileşinin Ftalanhidrit İle Reaksiyonu

(ZÖ15) bileşigi gözontünde tutularak reaktiflerden (1:26) mol oranında alındı. Reaksiyon balonuna  $\text{CaCl}_2$  kurutma başlığı takılarak,  $190^\circ\text{C}$ 'ye ayarlanmış etüvde 2 saat direk reaksiyon yapıldı. Süre tamamlandıktan sonra, etüvden alınarak oda sıcaklığına kadar soğutuldu. Dietileter ilave edildi. 24 saat mağnetik karıştırıcıda karıştırdı. Çöken sarı renkli ham ürün süzülerek asetik asitten kristallendirildi. TLC, IR ve erime noktası tayinlerinden sonra, ürünün reaktiflerden farklı olduğu anlaşıldı. Elementel analiz sonucuna göre (ZÖ16) bileşinin kapalı formülüntün,  $\text{C}_{25}\text{H}_{15}\text{N}_3\text{O}_3\text{S}$  şeklinde olduğu tespit edildi.

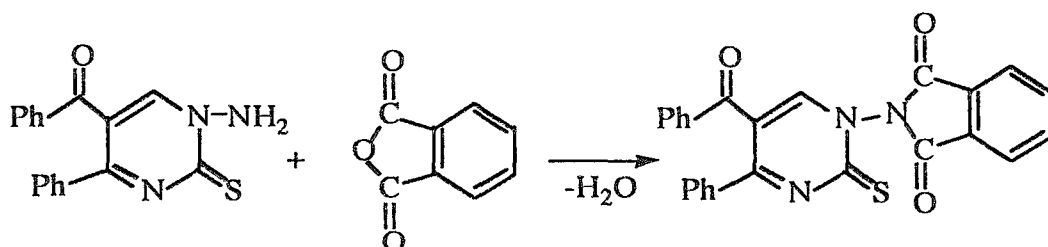
Şekil 3.38'de (ZÖ16) bileşinin IR spektrumu verilmiştir.  $3500\text{-}3400\text{ cm}^{-1}$  de karbonil grubuna ait overton piki bulunmaktadır.  $3000\text{ cm}^{-1}$  de aromatik  $=\text{CH}$  gerilme titresimleri,  $1740, 1680$  ve  $1650\text{ cm}^{-1}$  de karbonil grupları absorbsiyon pikleri görülmektedir.  $1600\text{ cm}^{-1}$  deki kuvvetli pik  $\text{C}=\text{C}$  ve  $\text{C}=\text{N}$  bağlarına ait gerilme titresimlerini gösterir.  $1500\text{-}1420\text{ cm}^{-1}$  arasındaki pikler aromatik halka iskelet titresimini gösterir.  $1260\text{ cm}^{-1}$  de  $\text{C}=\text{S}$  grubuna,  $1220\text{-}1050\text{ cm}^{-1}$  arasındaki pik grubu anhidritlerdeki  $\text{C}-\text{O}$  gerilmesine aittir.  $700\text{-}660\text{ cm}^{-1}$  deki pik, pirimidin halkası iskelet titresimlerini gösterir.

Şekil 3.39'da (ZÖ16) bileşinin  $^1\text{H-NMR}$  spektrumu verilmiştir. Spektrumun yorumu (ZÖ15) bileşigine benzerlik göstermektedir.  $\delta=7.15\text{-}7.96\text{ ppm}$  de aromatik halka protonları multiple pikler vermişlerdir. Alan şiddetleri toplamı  $881.38$  olup, pik yüksekliği  $33\text{ mm}$ 'dir. Her proton  $33:15=2.2\text{ mm}$ 'ye karşılık gelmektedir. İntegral alanları karşılaştırılarak bulunan proton sayıları, elementel analiz ile uyum içindedir.

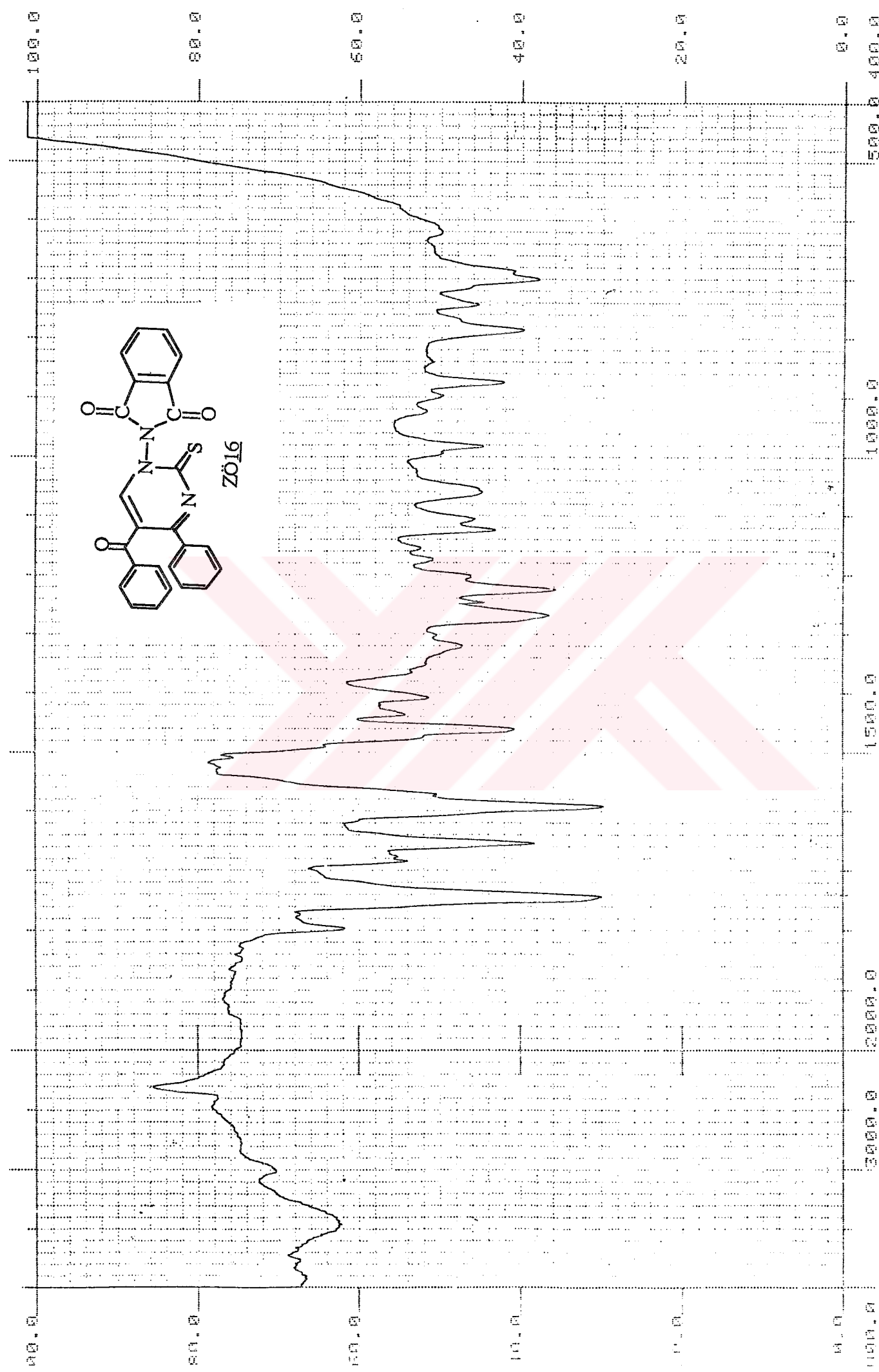
Kimyasal kayma ( $\delta=\text{ppm}$ ) : 7.10-8.03

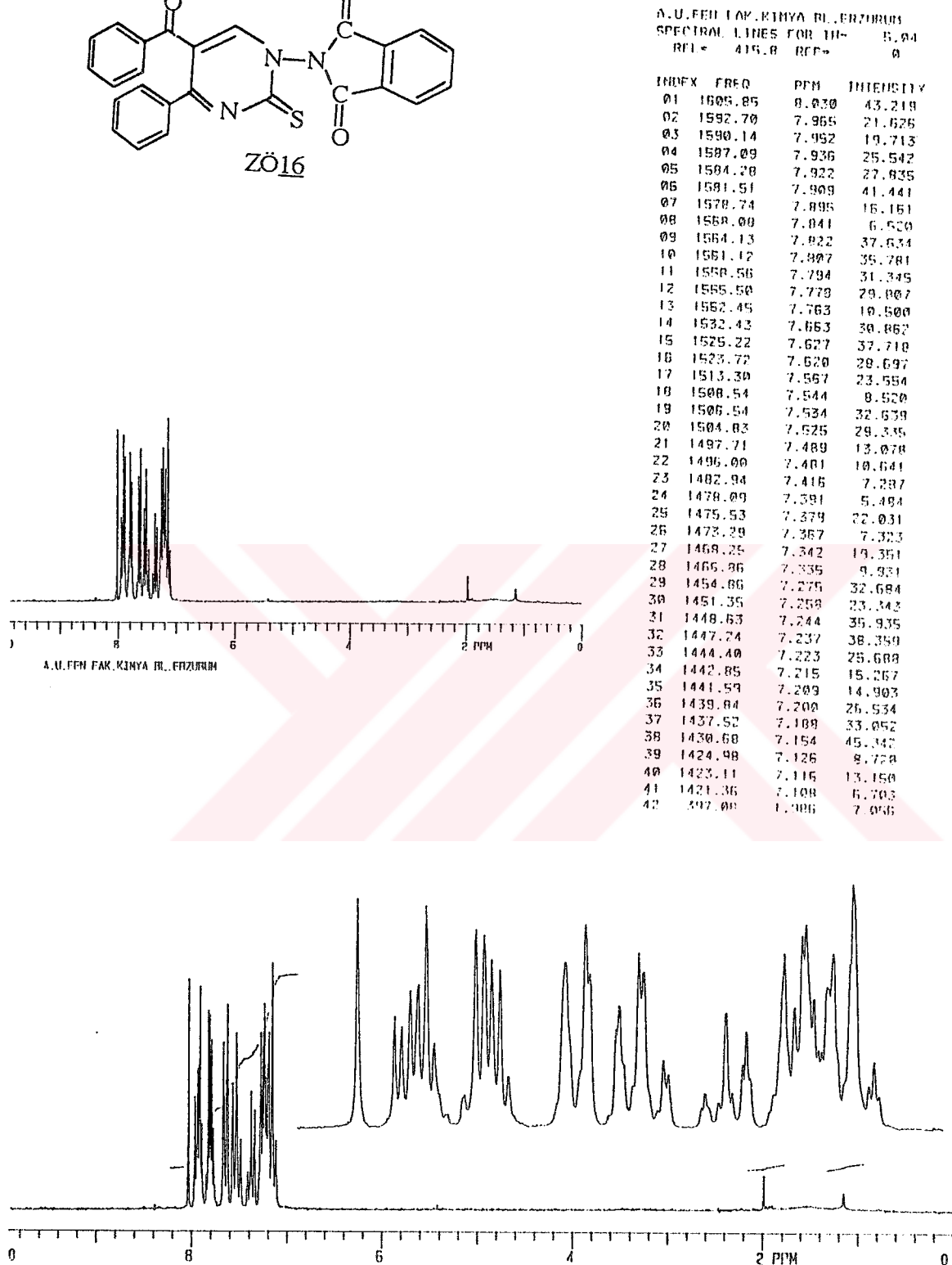
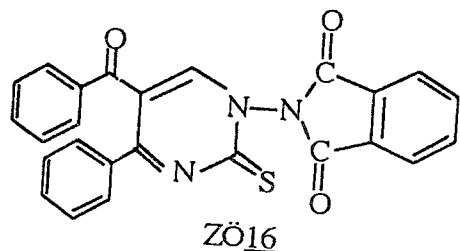
İntegrasyon (proton sayısı) : 15

Bu spektral ve elementel analiz verileri doğrultusunda (ZÖ16) bileşinin reaksiyon denklemi ve açık formülü aşağıdaki gibi olup, IUPAC adlandırma sistemine göre; N-(5-Benzoil-4-fenil-2-tiyokso-1,2-dihidro-pirimidinil) stalimid şeklinde adlandırıldı.



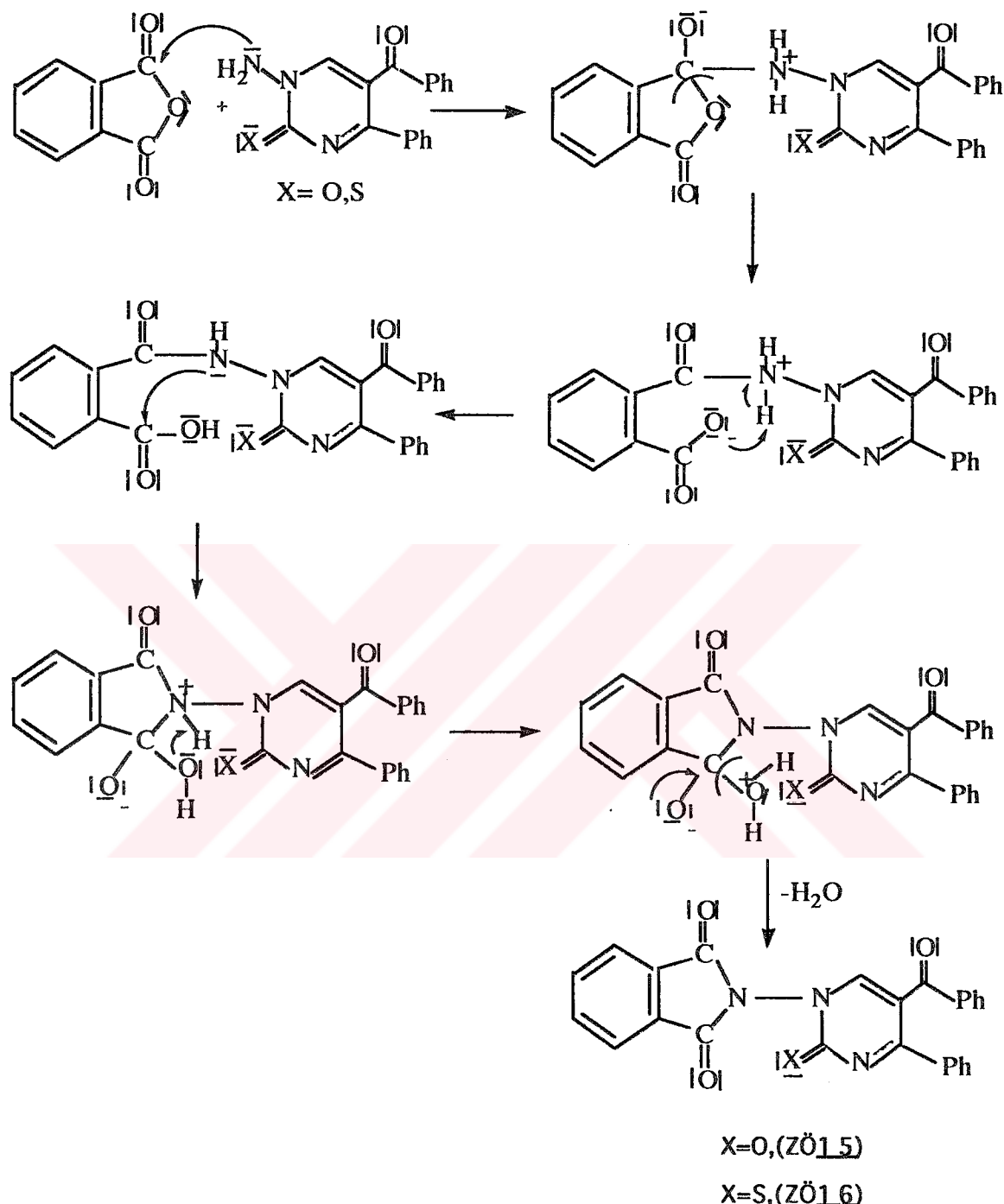
**Sekil 3.38.** ZÖ16 Bileşinin IR Spektrunu





**Şekil.3.39. ZÖ16 Bileşinin  $^1\text{H-NMR}$  Spektrumu**

### 3.16.1. ZÖ15 ve ZÖ16 Bileşiklerinin Reaksiyon Mekanizması

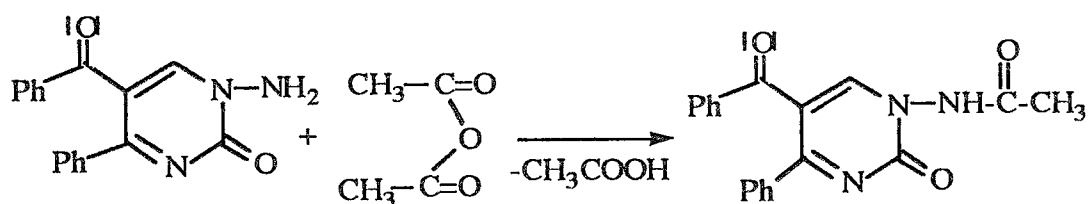


### 3.17. (2) Bileşiginin Asetanhidrit İle Reaksiyonu

Bu reaksiyon için, 0.2 g (2) bileşigiden, bir reaksiyon balonuna alındı. Üzerine 5 ml asetanhidrit ilave edildi.  $\text{CaCl}_2$  kurutma başlığı takılarak, 120 °C'ye ayarlanmış bir etüvde 1 saat tutuldu. Süre tamamlandıktan sonra etüvden alınarak oda sıcaklığına kadar soğutuldu. Asetanhidritin fazlası, rotovapordan atıldı. Dietileter ilave edilerek karıştırıldı. Çöken beyaz ürün süzülerek incelendiğinde, üç farklı ürün görüldü. Bu nedenle reaksiyon, başlangıç maddelerinden aynı miktarlarda alınarak, 0 °C'de reaksiyon tekrarlandı. Asetanhidritin fazlası rotovapordan atılarak, yağimsı ürününe dietileter ilave edildi. Magnetik karıştırıcıda 3-4 saat karıştırıldı. Çöken beyaz türün süzüldü. n-Butanol'dan kristallendirildi. TLC, IR ve erime noktası tayinlerinden sonra, yeni bir türün oluştuğu belirlendi. Elementel analiz sonuçlarına göre (ZÖ17) bileşiginin kapalı formülüntün  $\text{C}_{19}\text{H}_{15}\text{N}_3\text{O}_3$  olduğu anlaşıldı.

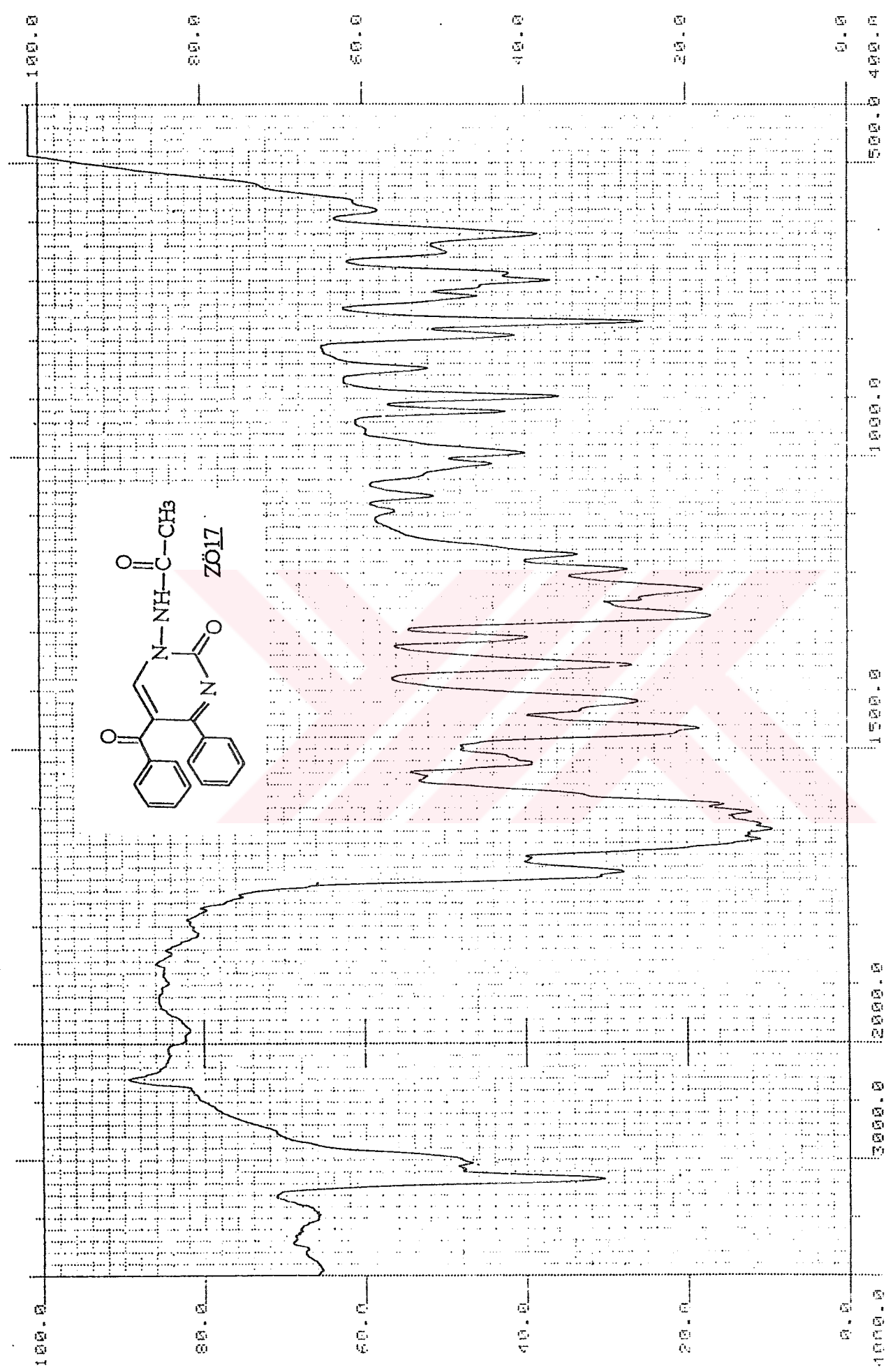
Şekil 3.40'da (ZÖ17) bileşiginin IR spektrumu verilmiştir.  $3200 \text{ cm}^{-1}$  de, sırasıyla NH ve aromatik C-H gerilme titreşimlerine ait pikler görülmektedir.  $1730-1660-1640 \text{ cm}^{-1}$  deki, karbonil gruplarına ait absorbsiyon pikleridir.  $1610-1590 \text{ cm}^{-1}$  deki pikler C=C ve C=N bağlarına ait gerilme titreşimlerini temsil eder.  $1540 \text{ cm}^{-1}$  deki pik, monosübstittüe amidlere aittir.  $1500-1400 \text{ cm}^{-1}$  arasındaki pikler aromatik halka iskelet titreşimine aittir.  $1320 \text{ cm}^{-1}$  deki pik alifatik - $\text{CH}_3$  grubu eğilme titreşimlerini göstermektedir. Pirimidin halkası iskelet titreşimini gösteren pikler ise  $800-670 \text{ cm}^{-1}$  arasında yer almaktadır.

Bu spektral ve elementel analiz verileri doğrultusunda (ZÖ17) bileşiginin reaksiyon denklemi ve açık formülü aşağıdaki gibi olup, IUPAC adlandırma sistemine göre; N-(5-Benzoil-2-okso-4-fenil-1,2-dihidro-pirimidin-1-il)-asetamid şeklinde adlandırıldı.

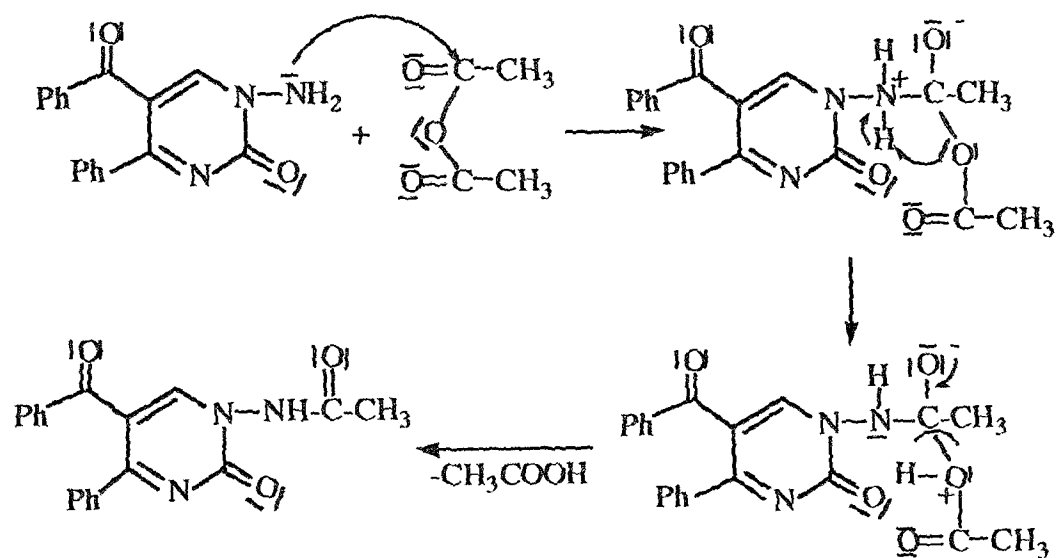


ZÖ17

**Şekil 3.40.** ZÖ17 Bileşiginin IR Spektrumu



### 3.17.1 ZÖ17 Bileşinin Reaksiyon Mekanizması



ZÖ17

### 3.18. (2) Bileşiginin Fenilizotiyosiyanan İle Reaksiyonu

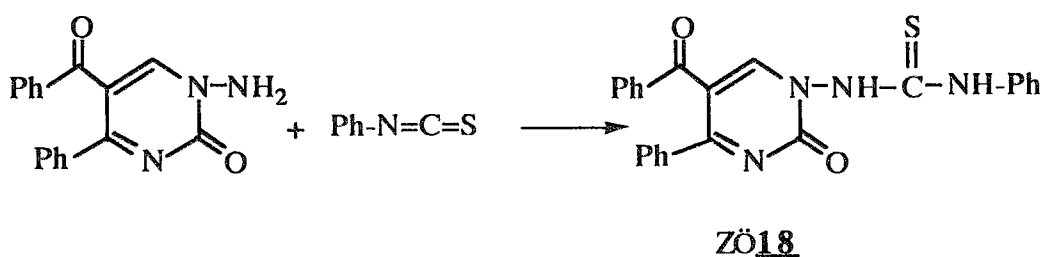
Reaksiyon balonuna reaktiflerden (1:1) mol oranlarında alındı.  $\text{CaCl}_2$  kurutma başlığı takılı geri soğutucu altında, asetonitril, toluen vb. çözücülerde kaynatılarak bir seri denemeler yapıldı. Çözücü ortamında yapılan bu denemelerde, ürünün çok az olduğu, 2 bileşiginin daha çok kısmının reaksiyona girmemiş olduğu, TLC yardımıyla anlaşıldı. Daha sonra fenilizotiyosiyanattan 2 ml (1:25) mol oranlarında alınarak, 100 °C'ye ayarlanmış etüvde 3 saat ısıtıldı. Etüvden alınan reaksiyon balonu oda sıcaklığına kadar soğutuldu. Üzerine dietileter ilave edildi. Çöken sarı renkli ham ürün süzüldü. n-butanol-dan kristallendirildi. TLC, IR ve erime noktası tayinlerinden sonra, reaktiflerden farklı bir ürünün olduğu anlaşıldı. Elementel analiz sonucuna göre bileşigin, (ZÖ18) kapalı formülünün  $\text{C}_{24}\text{H}_{18}\text{N}_4\text{O}_2\text{S}$  olduğu belirlendi.

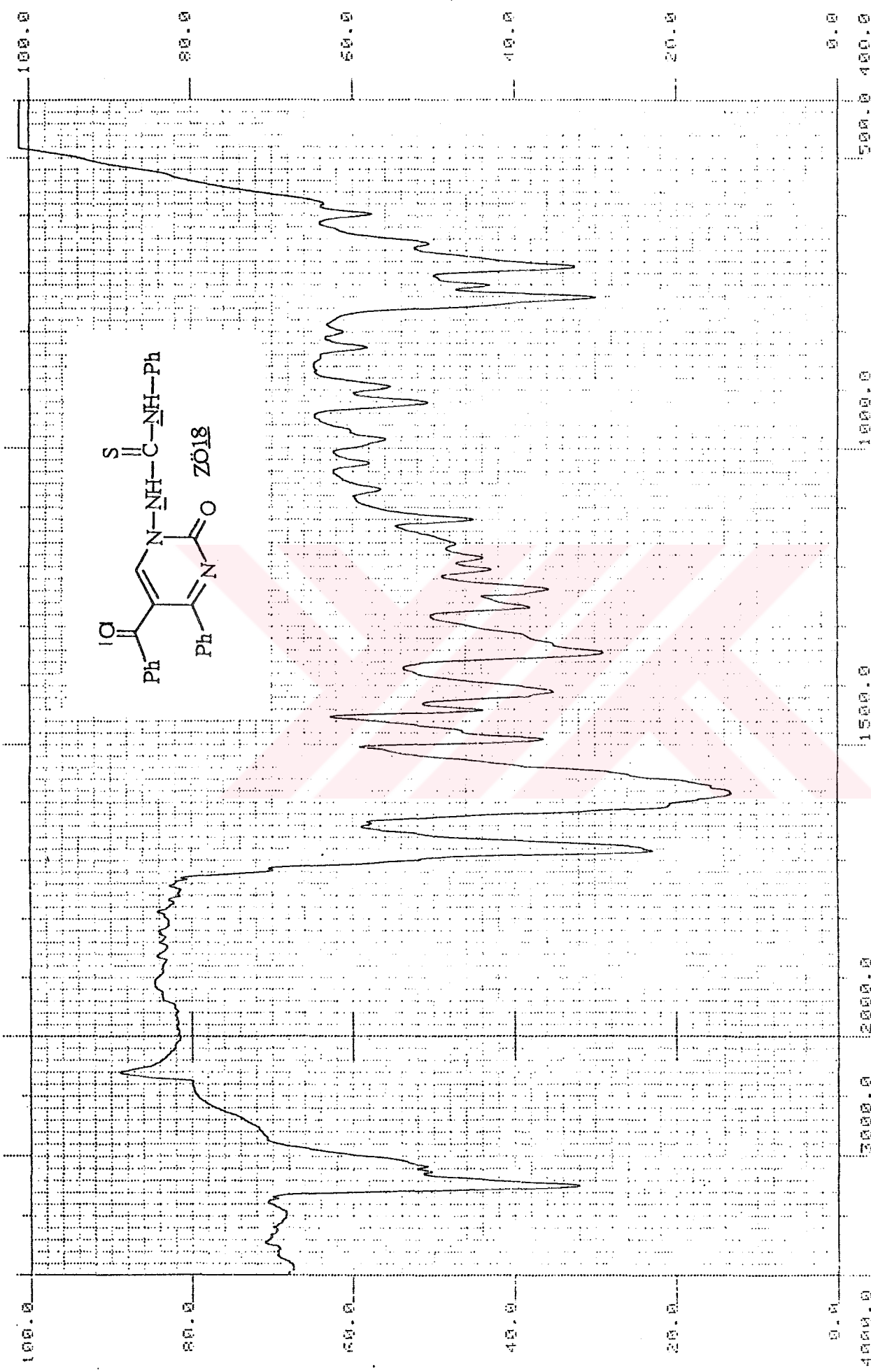
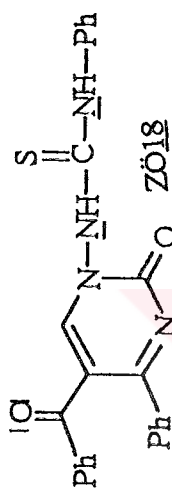
Şekil 3.41'de görülen IR spektrumunda;  $3250 \text{ cm}^{-1}$  deki kuvvetli pik moleküldeki iki -NH gerilme titreşimlerini,  $3050 \text{ cm}^{-1}$  deki pik aromatik -CH gerilme titreşimlerini gösterir.  $1690 \text{ cm}^{-1}$  deki şiddetli pik karbonil gruplarını,  $1600 \text{ cm}^{-1}$  deki kuvvetli band C=C ve C=N bağlarına ait gerilme titreşimlerini temsil eder.  $1500-1350 \text{ cm}^{-1}$  arasındaki pik grubu fenil gruplarını,  $1240 \text{ cm}^{-1}$  deki pik tiyokarbonil grubunu gösterir.  $740-660 \text{ cm}^{-1}$  arasındaki pik grubu pirimidin iskeletine ait titreşimleri temsil eder [44,45,46,49,50].

(ZÖ18) bileşiginin DMSO'de çözülmektedir. Daha önceki bileşiklerde olduğu gibi  $\delta=8.59$ 'deki singlet pik, pirimidin halkasındaki protonu,  $\delta=7.04-8.50$  ppm arasındaki pik grubu, fenil gruplarındaki protonları gösterir.  $\delta=9.65$  ppm'de -NH protonlarından birisi pik vermiştir.  $\delta=9.83-10.88$  ppm arasındaki pikler ise, diğer -NH grubuna ait protonları gösterir. Bunun nedeni N'un spin durumları arasındaki geçiş hızı, H'nın spin durumları arasındaki geçiş hızına yakındır. Bu durumda H, kısmen N ile eşleşebilecegi gibi (INH-50 Hz), kısmen de spin durumlarının ortalamasını göreceğinden pik çokluğunun bozularak geniş bir pik oluşmasına sebep olur. N için I=1 olduğundan H-N eşleşmesi üçlü pik verebilir [46,52]. Bu spektrumda durum bunun gibidir. Sonuçlar analiz sonuçları ile uyum göstermektedir.

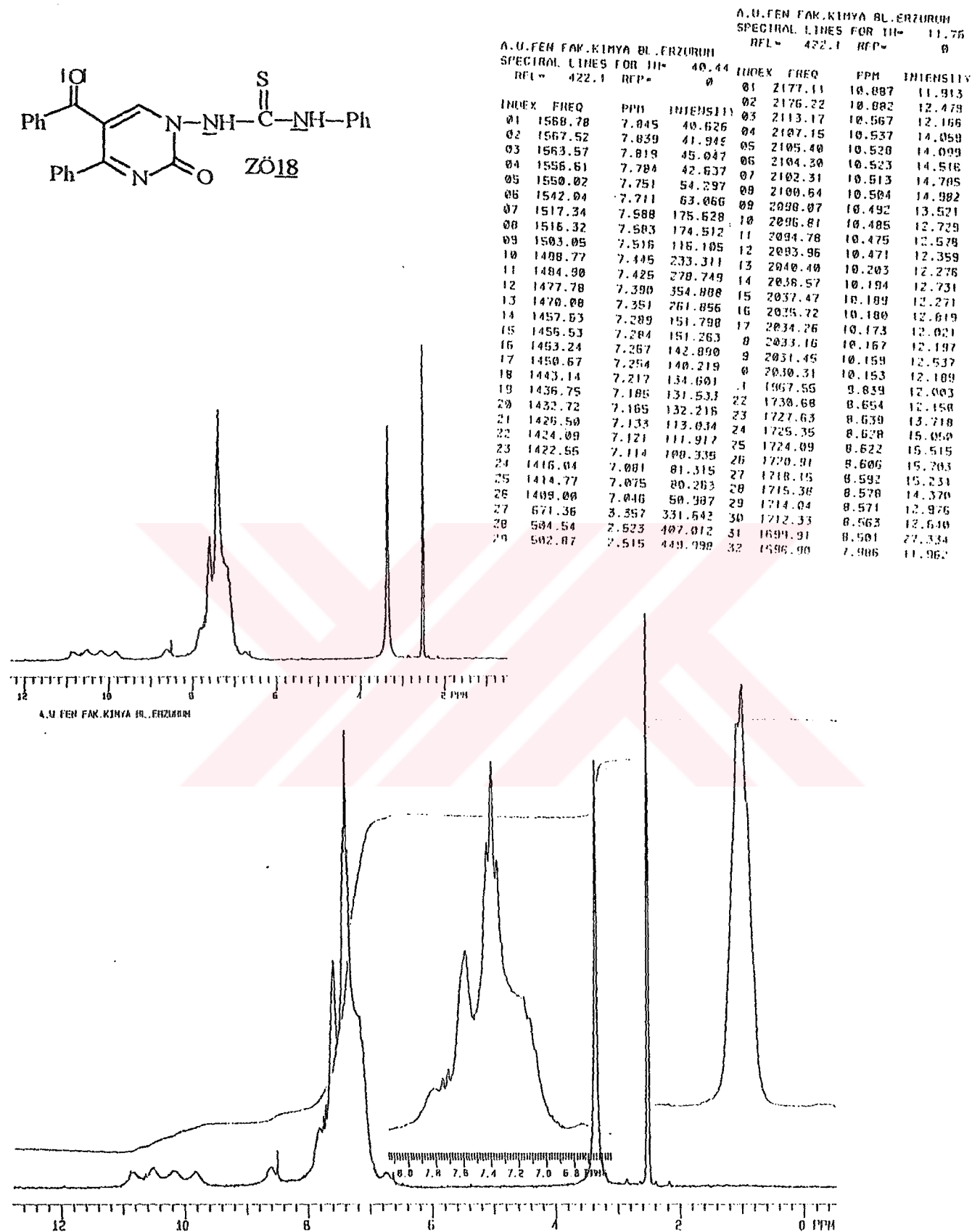
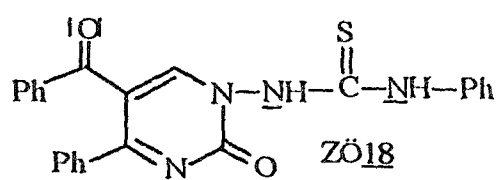
Kimyasal kayma ( $\delta=\text{ppm}$ ) :	7.04-8.50	9.83-10.88
İntegrasyon (proton sayısı) :	16	2

Bu spektral ve elementel analiz verileri doğrultusunda (ZÖ18) bileşiginin reaksiyon denklemi ve açık formülü aşağıdaki gibi olup, IUPAC adlandırma sistemine göre; 1-(5-Benzoil-2-okso-4-fenil-1,2-dihidro-pirimidin-1-il)-3-fenil tiyotüre şeklinde adlandırıldı.





Sekil 3.41. ZÖ18 Bileşiginin IR Spektrumu



### 3.19. (2) Bileşininin p-Metilfenilizotiyosianat ile Reaksiyonu

Önceki reaksiyonlar dikkate alınarak, başlangıç maddelerinden (1:20) mol oranlarında alındı. 130 °C'ye ayarlı sabit ısızdaki etüvde, 2 saat reaksiyon yapıldı. Etüvden alındıktan sonra oda sıcaklığına kadar soğutuldu. Dietileter ilave edilerek magnetik karıştırıcıda 24 saat karıştırıldı. Çöken ham ürün süzülerek n-butanolden kristallendirildi. TLC, IR ve erime noktası tayinleri yapıldıktan sonra, ürünün başlangıç maddelerinden farklı olduğu anlaşıldı. Elementel analiz sonucuna göre bileşinin (ZÖ19) kapalı formülü C<sub>25</sub>H<sub>20</sub>N<sub>4</sub>O<sub>2</sub>S şeklinde belirlendi.

Şekil 3.43' de görülen, (ZÖ19) bileşigi IR spektrumu hidrojen gerilme bölgesinde, 3200 cm<sup>-1</sup> de -NH gerilme titreşimleri, 3050 cm<sup>-1</sup> de aromatik =CH gerilme titreşimleri görülmektedir. 2800 cm<sup>-1</sup> deki pik alifatik gruplara ait, C-H gerilme titreşimleridir. 1750 cm<sup>-1</sup> deki kuvvetli ve ikiye yarılmış pik karbonil gruplarını, 1590 cm<sup>-1</sup> deki pik aromatik halkalardaki C=N ve C=C bağlarına ait gerilme titreşimlerini göstermektedir. 1580-1440 cm<sup>-1</sup> arasındaki pikler fenil gruplarına, 1340-1300 cm<sup>-1</sup> arasındaki pikler alifatik gruplara ait C-H eğilme titreşimlerine ait piklerdir. 850-700 cm<sup>-1</sup> arasındaki pik grubu pirimidin halkası iskelet titreşimleridir [44,45,46,49,50].

Şekil 3.44'te verilen (ZÖ19) bileşininin <sup>1</sup>H-NMR spektrumu incelendiğinde beş ayrı bölgede sinyal grupları görülmektedir. Sinyallerin hangi gruplara ait olabileceği ve yorumlanması için proton kimyasal kayma korelasyon tablolarından ve ilgili kitaplardan yararlanılmıştır [47].  $\delta=2.30$  ppm'de metil grubuna ait singlet görülmektedir.  $\delta=7.11-7.60$  ppm arasında aromatik halka protonları, multiple pikler vermişlerdir.  $\delta=10.78$  ppm'de (N-NH-C) grubundaki -NH protonu singlet vermiştir. Alan şiddeti 21.09 olup, pik yüksekliği 2 mm'dir ve yaklaşık bir protona karşılık gelmektedir.  $\delta=2.52$  ppm'de DMSO,  $\delta=3.39$  ppm'de H<sub>2</sub>O piki görülmektedir. Fenil grubuna bağlı -NH protonu, NH soğurması çekirdek quadripol genişlemesi nedeniyle zor gözlenebildiği gibi, aynı protonların döteryum oksitle yer değiştirmesinden dolayı sinyal şiddeti beklenenden az veya hiç gözlenemeyebilir [46,48,49]. Bu bilgilere dayanarak, spektrumda NH protonu gözlenemedi.

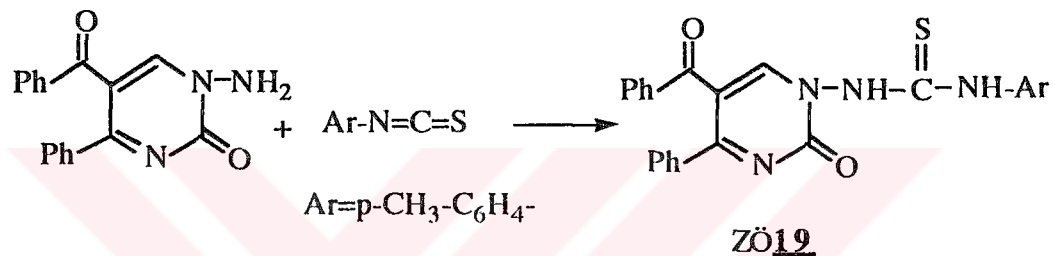
Kimyasal kayma ( $\delta$ =ppm) :	2.30	7.11-7.60	10.78
İntegrasyon (proton sayısı):	3	5	1

(ZÖ19) bileşininin <sup>13</sup>C-NMR spektrumu Şekil 3.45'te görülmektedir. Spektrumun analizi karbon atomlarının numaralarına göre aşağıda verilmiştir:

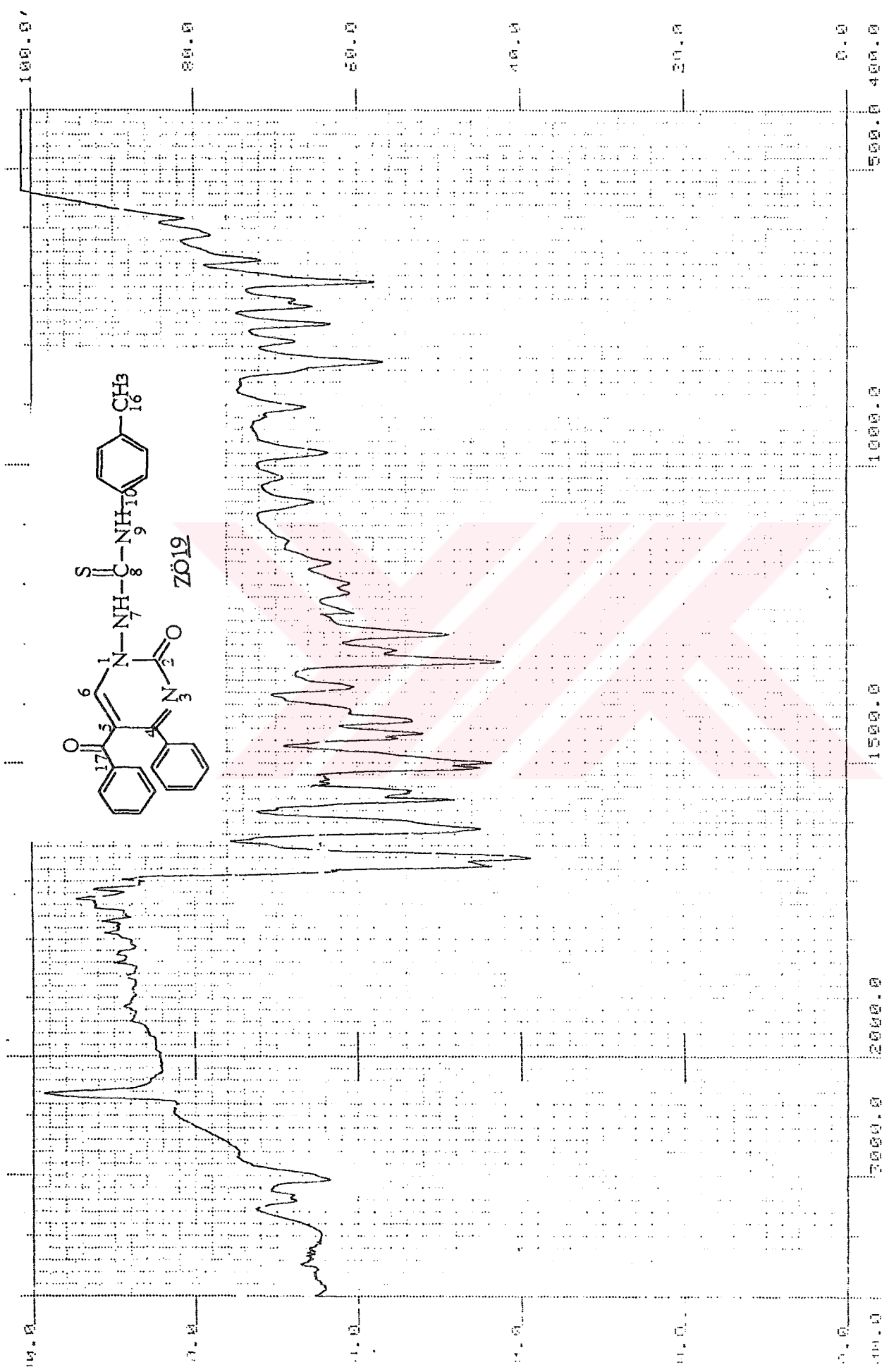
C <sub>2</sub>	169.55 ppm	(s)	C <sub>4</sub>	150.12 ppm	(s)	C <sub>5</sub>	160.54 ppm	(s)
C <sub>6</sub>	160.04 ppm	(s)	C <sub>8</sub>	139.68 ppm	(s)	C <sub>16</sub>	22.23 ppm	(s)
C <sub>17</sub>	193.59 ppm	(s)						

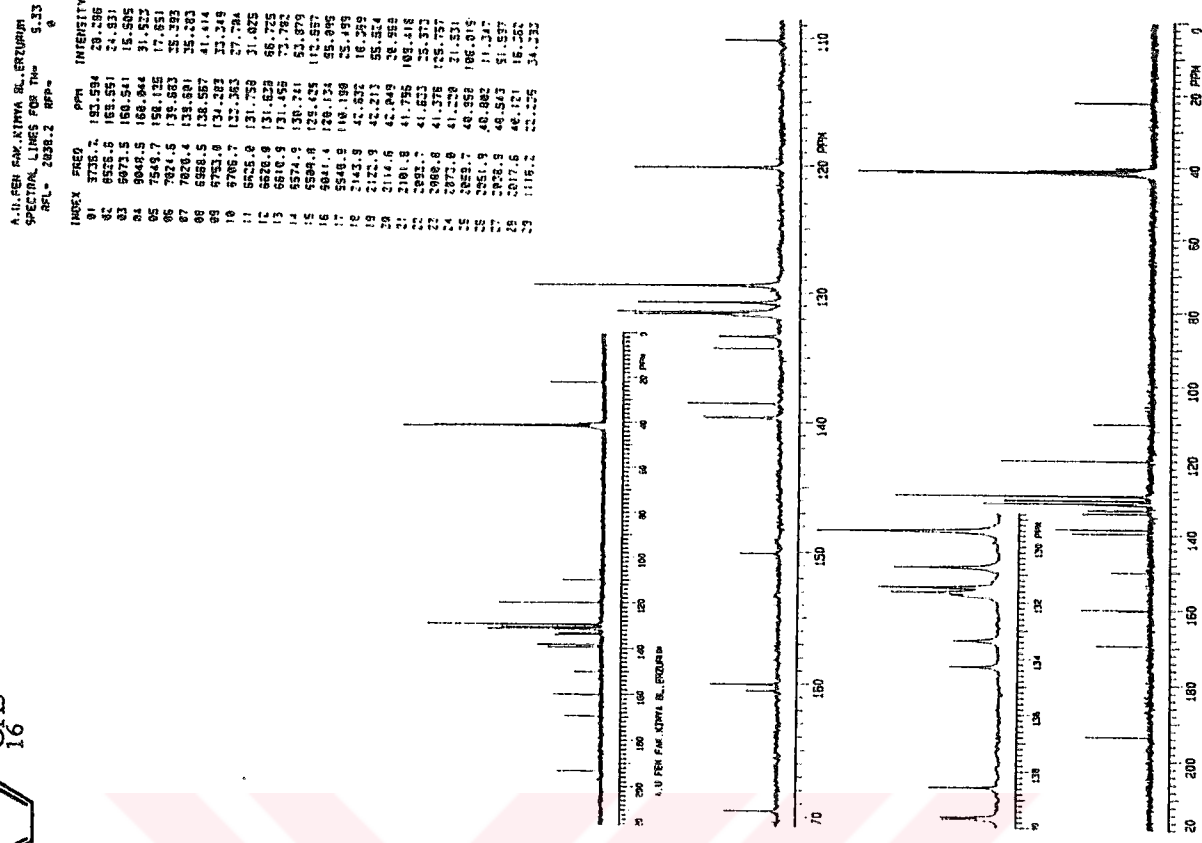
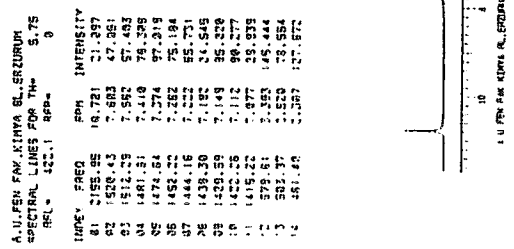
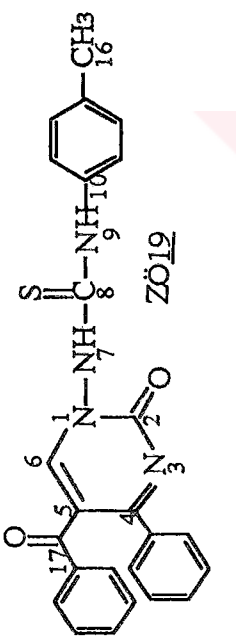
$\delta=110.18\text{-}138.56$  ppm arasında diğer aromatik halka karbonları görülmektedir.

Bu spektral ve elementel analiz verileri doğrultusunda (ZÖ19) bileşiginin reaksiyon denklemi ve açık formülü aşağıdaki gibi olup, IUPAC adlandırma sistemine göre; 1-(5-Benzoil-4-fenil-2-okso-1,2-dihidro-pirimidin-1-il)-3-p-metilfenil-tiyöüre şeklinde adlandırıldı.



**Sekil 3.43.** ZÖ19 Bileşinin IR Spektrumu





**Şekil 3.44. ZÖ19 Bileşiginin  $^1\text{H}$ -NMR Spektrumu**

**Şekil 3.45. ZÖ19 Bileşiginin  $^{13}\text{C}$ -NMR Spektrumu**

### 3.20. (3) Bileşinin p-Metil-fenilizotiyosianat ile Reaksiyonu

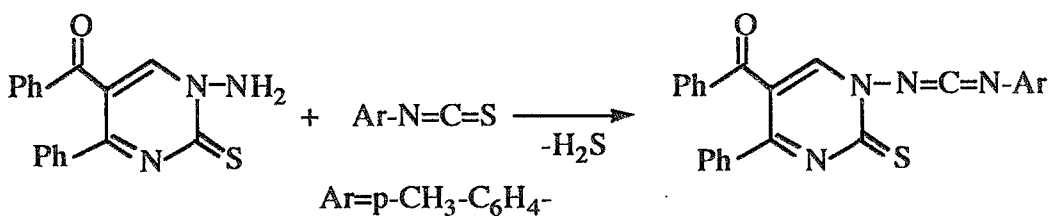
Başlangıç maddelerinden, bir reaksiyon balonuna (1:20) mol oranlarında alındı.  $\text{CaCl}_2$  kurutma başlığı takılarak,  $135^\circ\text{C}$ 'de 2 saat tutuldu. Soğutuluktan sonra, dietileter ilave edilerek, 24 saat magnetik karıştırıcıda karıştırıldı. Çöken ham ürün süzülerek, n-butanolden kristallendirildi. TLC, IR ve erime noktaları tayinlerinden sonra, yeni bir ürün olduğu anlaşıldı. Elementel analiz sonucuna göre (ZÖ20) bileşinin kapalı formülünün  $\text{C}_{25}\text{H}_{20}\text{N}_4\text{O}_2\text{S}$  şeklinde olduğu belirlendi.

Sekil 3.46'da görülen (ZÖ20) bileşinin IR spektrumu incelendiğinde,  $3500\text{-}3400\text{ cm}^{-1}$  arasında karbonil overtonları ile çakışık aromatik (C-H) piki yer almıştır [44,45,46, 47].  $2900\text{ cm}^{-1}$  alifatik (C-H) piki görülmektedir.  $1660\text{ cm}^{-1}$  de karbonil grubu absorbsiyon bandı,  $1620\text{-}1600\text{ cm}^{-1}$  arasında  $\text{C}=\text{C}$  ve  $\text{C}=\text{N}$  çift bağlarına ait gerilme titreşimi piki bulunmaktadır.  $1500\text{-}1400\text{ cm}^{-1}$  arasında aromatik halka iskelet titreşimi,  $1250\text{ cm}^{-1}$  de tiyokarbonil (C=S) grubu absorbsiyon piki görülmektedir.  $680\text{-}820\text{ cm}^{-1}$  arasındaki pikler pirimidin halkası iskelet titreşimine aittir [45,46,49].

(ZÖ20) bileşinin  $^1\text{H-NMR}$  spektrumu Sekil 3.47'de verilmiştir.  $\delta=2.44\text{ ppm}$ 'deki pik metil grubu protonlarına aittir.  $\delta=2.51\text{ ppm}$ 'de DMSO,  $\delta=3.36\text{ ppm}$ 'de su piki görülmektedir.  $\delta=7.32\text{-}7.89\text{ ppm}$  arasında, aromatik halka protonları multiple pikler vermişlerdir. Alan şiddetleri toplamı 391.63 birim'dir.

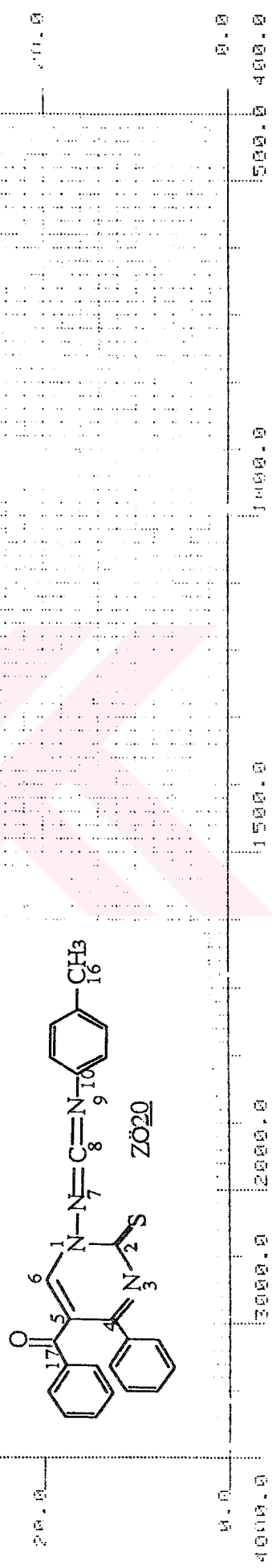
Sekil 3.48'de  $^{13}\text{C-NMR}$  spektrumu verilmiştir.  $\delta=22.67\text{ ppm}$ 'de metil grubu karbon atomuna aittir.  $\delta=193.62\text{ ppm}$ 'de  $\text{C}_{17}$  nolu karbon atomu,  $\delta=162.77\text{ ppm}$ 'de  $\text{C}_2$  nolu karbon atomu piki görülmektedir.  $\text{C}_8$  nolu karbon atomu  $\delta=177.17\text{ ppm}$ 'de görülmektedir.  $\delta=126.83\text{-}149.27\text{ ppm}$  arasında görülen multiple pikler ise, aromatik halka karbonlarına aittir.

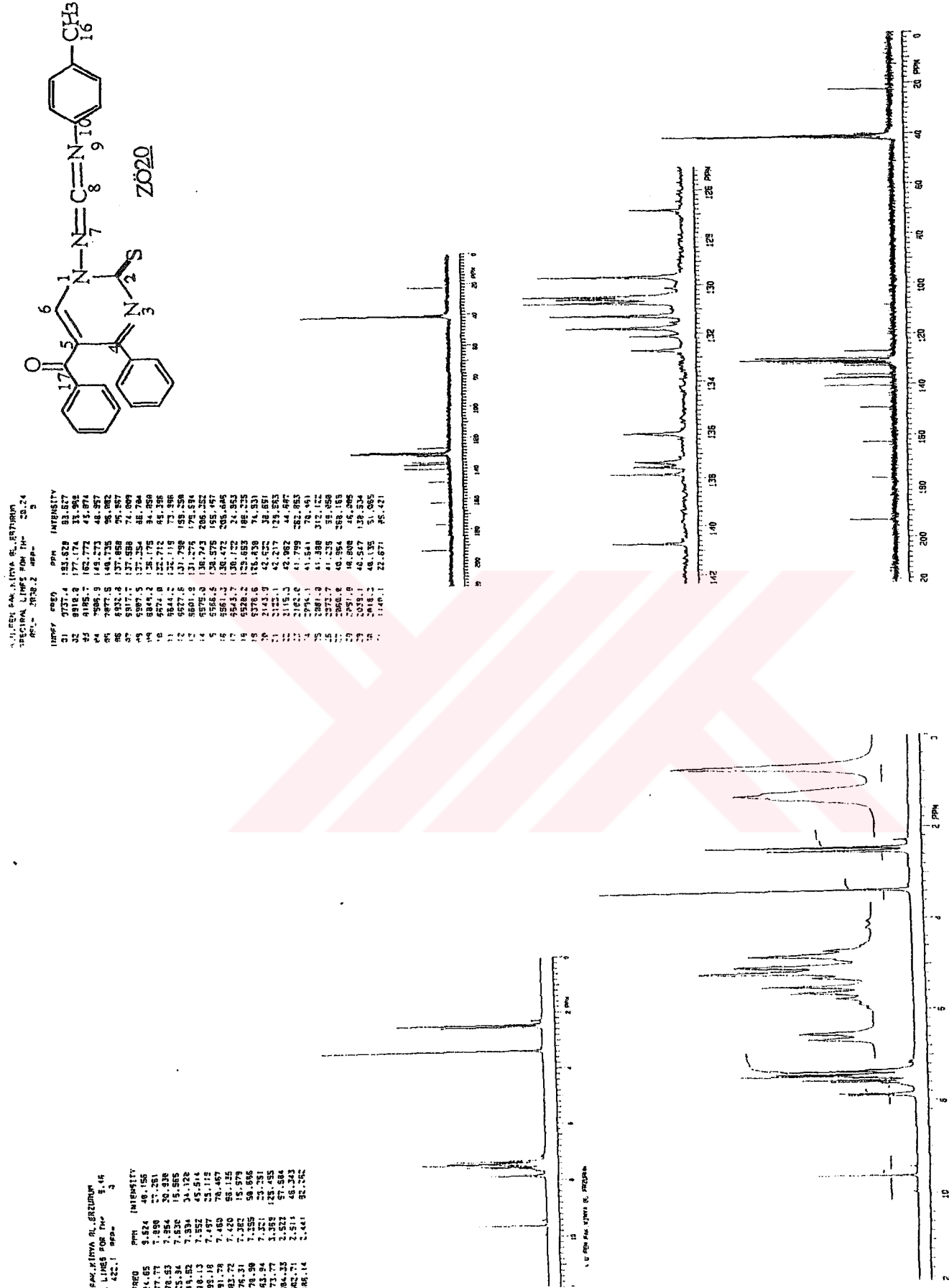
Bu spektral veriler ışığında (ZÖ20) bileşinin açık formülü ve reaksiyon denklemi aşağıdaki gibi olup IUPAC adlandırma sistemine göre; 1-(5-Benzoil-2-tiyokso-4-fenil-1,2-dihidro-pirimidin-1-il)-3-p-metilfenil-karbodiimid şeklinde adlandırıldı.



ZÖ20

**Şekil 3.46.** ZÖ20 Bileşiminin IR Spektrumu

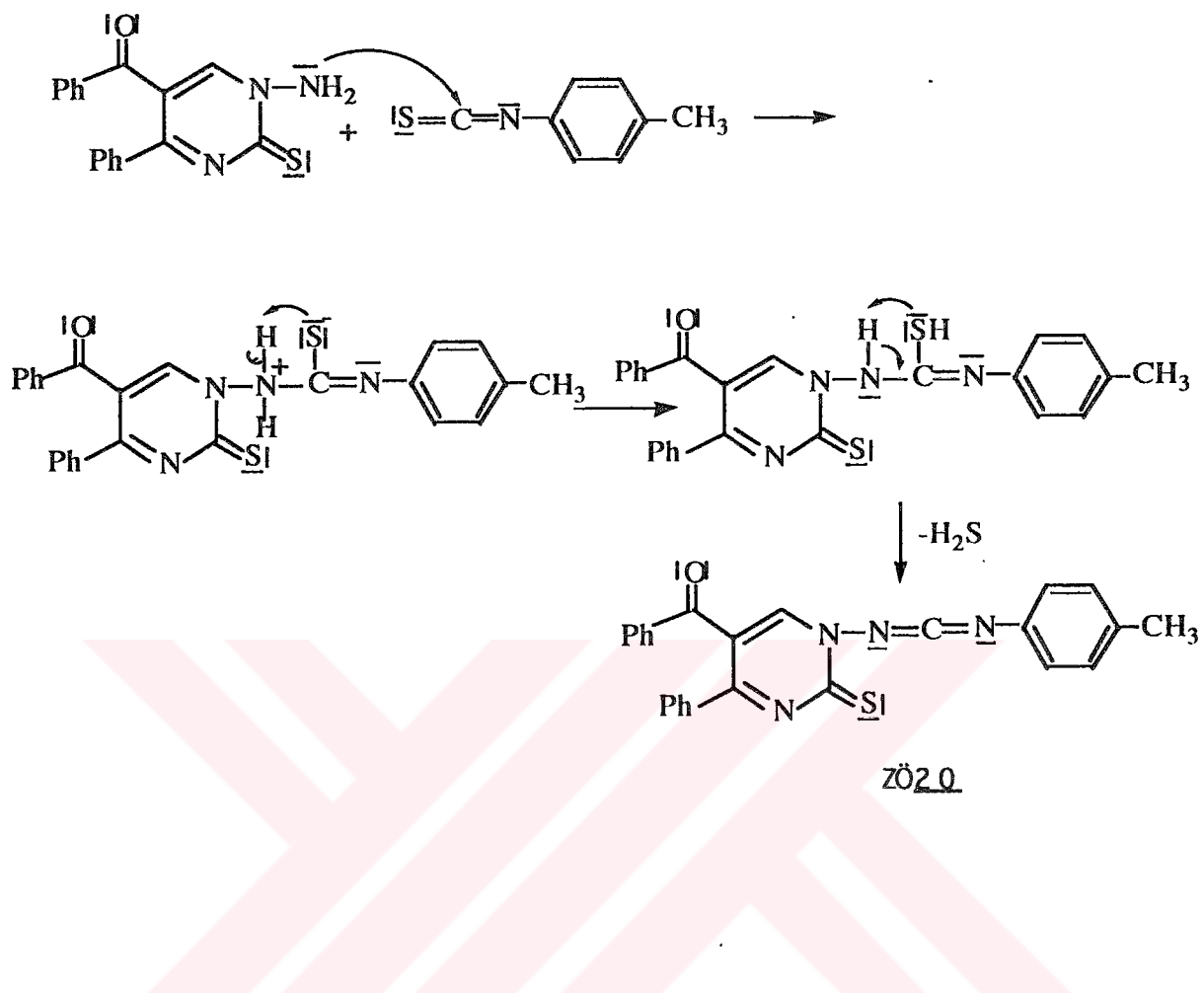




Sekil 3.47. ZÖ20 Bileşiginin  $^1\text{H}$ -NMR Spektrumu

Sekil 3.48. ZÖ20 Bileşiginin  $^{13}\text{C}$ -NMR Spektrumu

### 3.20.1. ZÖ20 Bileşinin Reaksiyon Mekanizması



### 3.21. (2) ve (3) Bileşiklerinin Dimerleşme Reaksiyonu

Bu reaksiyon (2) yada (3) bileşiği ile fenilizotiyosianattan bir reaksiyon balonuna, (1:25) mol oranlarında alındı.  $\text{CaCl}_2$  kurutma başlığı takılarak  $135\text{ }^\circ\text{C}$ 'ye ayarlanmış etüvde 2 saat direk ısıtıldı. Reaksiyon balonu etüvden alınarak oda sıcaklığında soğutuldu. Üzerine dietileter ilave edildi. Magnetik karıştırıcıda iki saat karıştırıldı. Çöken sarı ham ürün süzüldü. Ürün n-butanoldan kristallendirildi. TLC, IR ve erime noktası tayinleri yapılarak yeni bir ürünün oluştuğu belirlendi. Elementel analiz sonuçlarına göre, (2) ve (3) bileşiklerinin fenilizotiyosianat ile reaksiyonları sonucunda oluşan (ZÖ21) bileşığının kapalı formülünün  $\text{C}_{34}\text{H}_{22}\text{N}_6\text{O}_2$  şeklinde olduğu anlaşıldı. Buna göre fenilizotiyosianat (2) yada (3) bileşiği ile reaksiyona girmeyip, ortamda dimerleşmede katalizör görevi yapmıştır.

Şekil 3.49'da verilen (ZÖ21) bileşiği IR spektrumu incelendiğinde,  $3500\text{-}3400\text{ cm}^{-1}$  arasında görülen band, karbonil gruplarına ait overtondur.  $3050\text{-}3000\text{ cm}^{-1}$  arasındaki zayıf pik aromatik C-H gerilme titreşimleridir.  $1650\text{ cm}^{-1}$  de karbonil grubuna ait pik görülmektedir.  $1600\text{-}1560\text{ cm}^{-1}$  deki iki kuvvetli pik, C=C ve C=N bağlarına ait gerilme titreşimlerini gösterir.  $1500\text{-}1400\text{ cm}^{-1}$  arasındaki pik grubu aromatik halka iskelet titreşimi ni temsil eder.  $840\text{-}680\text{ cm}^{-1}$  arasındaki pikler, pirimidin halkası iskelet titreşimine aittir.

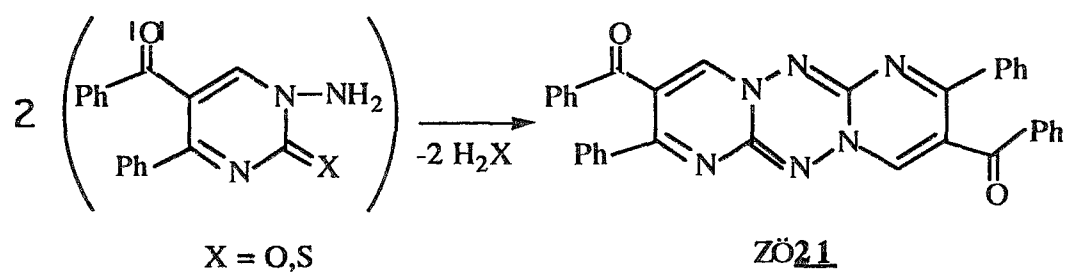
Şekil 3.50'de (ZÖ21) bileşığının  $^1\text{H-NMR}$  spektrumu görülmektedir. Spektrum, (ZÖ21) bileşiği DMSO'da çözülerek alınmıştır.  $\delta=2.51\text{ ppm}$ 'de DMSO piki,  $\delta=3.34\text{ ppm}$ 'de su piki görülmektedir.  $\delta=6.93\text{-}7.86\text{ ppm}$  arasında aromatik halka protonları multiple pikler vermişlerdir.  $\delta=9.45\text{ ppm}$ 'deki pik pirimidin iskeletindeki tek protonu göstermektedir. Spektrumdaki piklerin integral alanları karşılaştırıldığında bulunan proton sayıları, yukarıdaki yorum ve elementel analizle uyum içindedir.

Kimyasal kayma ( $\delta=\text{ppm}$ ) :      9.45      6.93-7.86

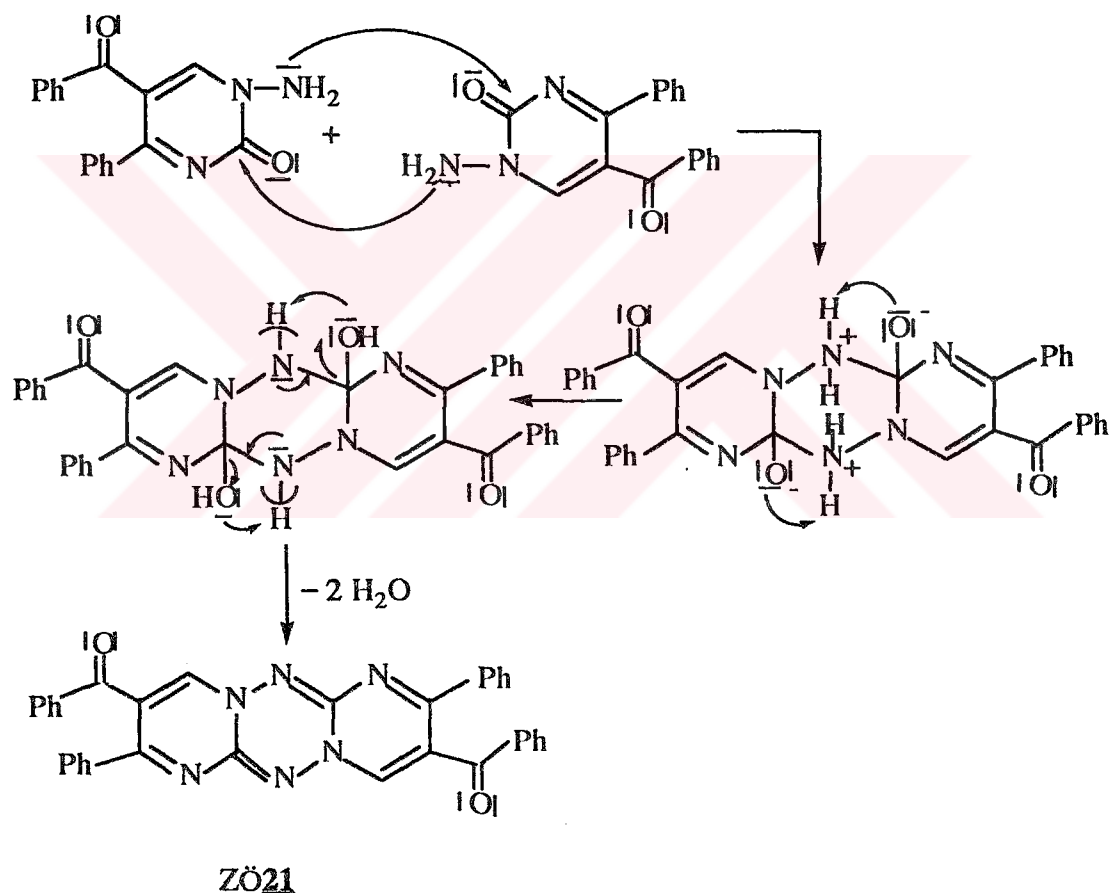
İntegrasyon (proton sayısı) :      1      21

Şekil 3.51'de (ZÖ21) bileşığının  $^{13}\text{C-NMR}$  spektrumu görülmektedir.  $\delta=194.44\text{ ppm}$ 'de karbonil grubu karbonu görülmektedir.  $\delta=119.11\text{-}166.71\text{ ppm}$  arasındaki pikler, bileşikteki diğer karbonlara aittir.

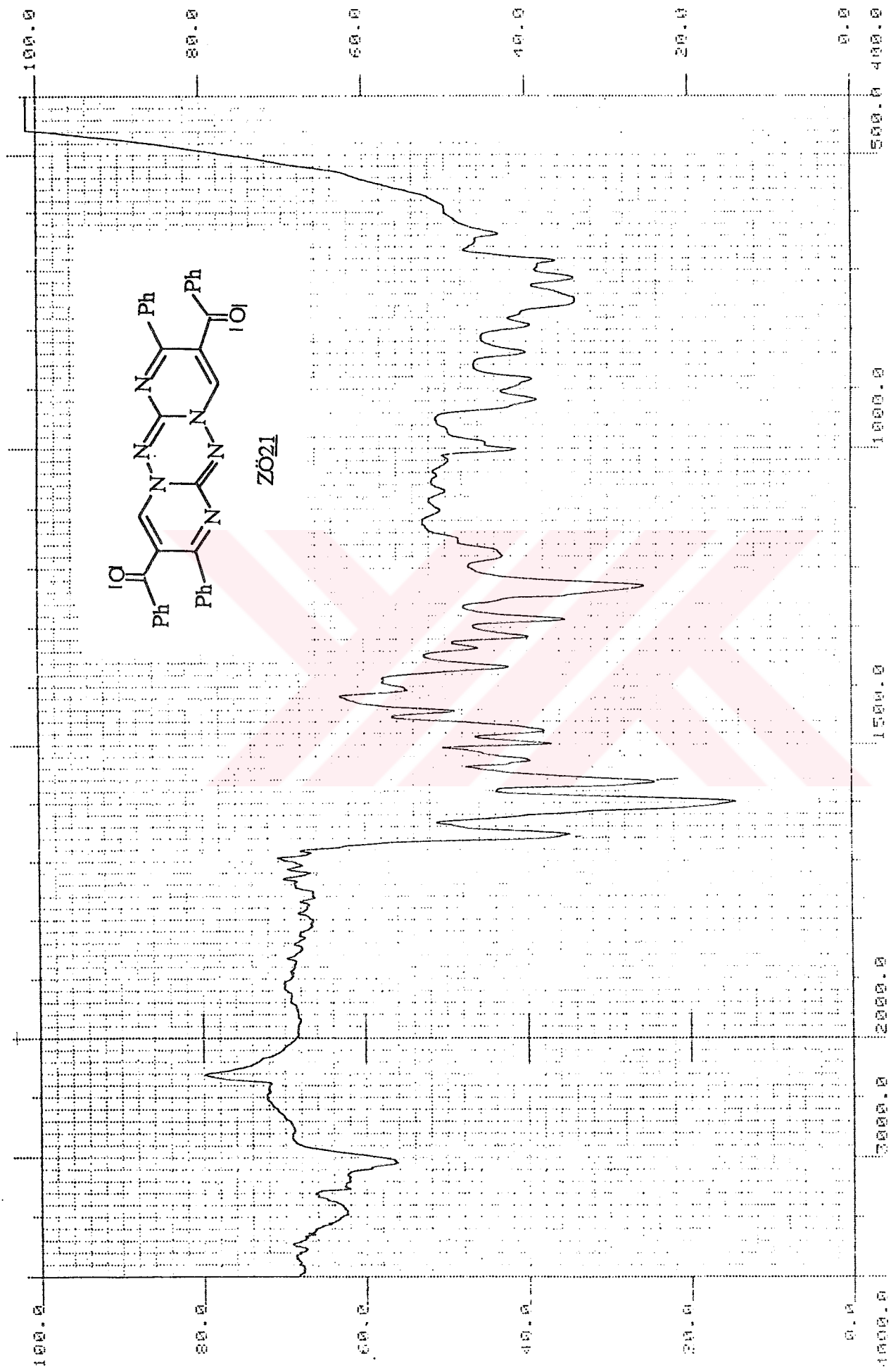
Bu spektral ve elementel analiz bilgileri ışığında (ZÖ21) bileşığının yapı formülü ve reaksiyon denklemi aşağıdaki gibi olup, IUPAC adlandırma sistemine göre; 2,8-dibenzoil-3,9-difenil-bis[1,3]diazino[2,3-b;2',3'e][1,2,4,5]tetrazin şeklinde adlandırıldı.

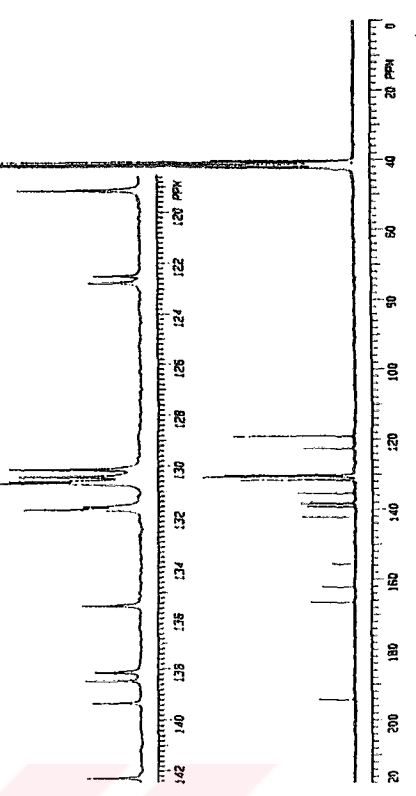
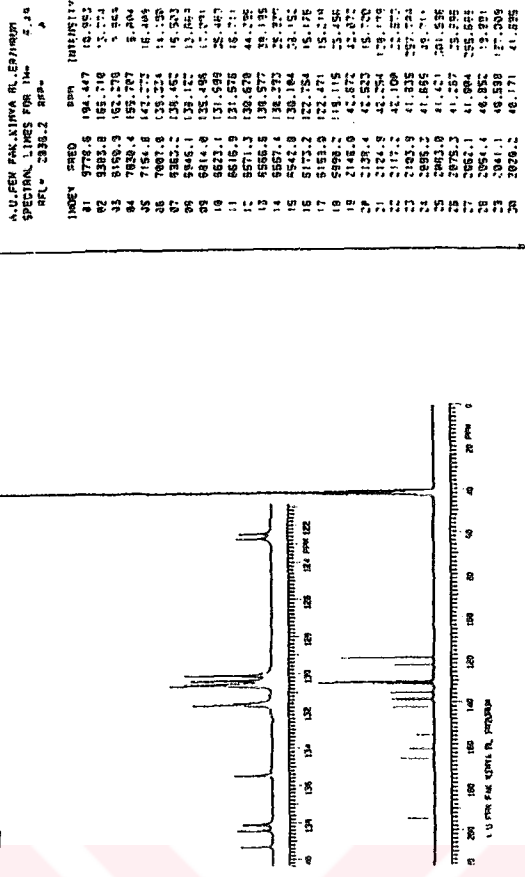
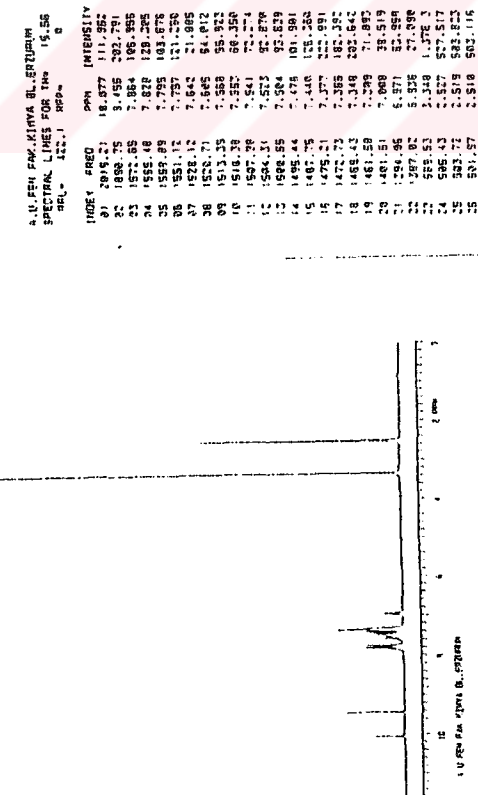
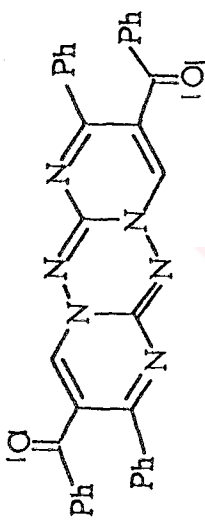


### 3.21.1. ZÖ21 bileşliğinin reaksiyon mekanizması



Sekil 3.49. ZÖ21 Bileşiginin IR Spektrumu





**Şekil 3.50. ZÖ21 Bileşiginin  $^1\text{H-NMR}$  Spektrumu**

**Şekil 3.51. ZÖ21 Bileşiginin  $^{13}\text{C-NMR}$  Spektrumu**

### 3.22. (2) Bileşinin Benzalasetofenon ile Reaksiyonu

Bu reaksiyon için (1:3) mol oranında alınan başlangıç maddeleri, homojen bir şekilde karıştırılarak,  $\text{CaCl}_2$  kurutma başlığı takılmış bir reaksiyon balonuna alınır. Uygun bir sıcaklık olarak belirlenen,  $120\text{ }^{\circ}\text{C}$ ye ayarlanmış bir etüvde 5 saat bekletildi. Süre tamamlanınca reaksiyon ürünü etüvden alındı ve oda sıcaklığına kadar soğutuldu. Dietiler ilave edilerek, magnetik karıştırıcıda 3-4 saat karıştırdı. Elde edilen ham ürün n-butanoldan kristallendirildi. TLC, IR ve erime noktası işlemlerinden sonra elde edilen ürünün (ZÖ22) başlangıç maddelerinden farklı ve saf olduğu belirlendi. Elementel analiz sonuçlarına göre bileşinin (ZÖ22) kapalı formülünün  $\text{C}_{32}\text{H}_{23}\text{N}_3\text{O}_2$  şeklinde olduğu anlaşıldı.

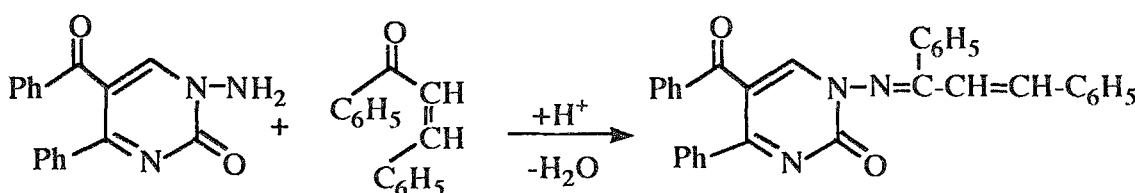
Şekil 3.52'de (ZÖ22) bileşinin KBr disk teknigi ile alınan IR spektrumu görülmektedir.  $3500\text{-}3400\text{ cm}^{-1}$  arasındaki pik karbonil grubuna ait overton bandıdır.  $3000\text{ cm}^{-1}$  de aromatik halka C-H gerilme titreşimlerine ait pik görülmektedir.  $1730\text{ cm}^{-1}$  de ikiye yarılmış pik, karbonil grubu absorbsyonunu gösterir.  $1650\text{-}1600\text{ cm}^{-1}$  deki kuvvetli pikler  $\text{C}=\text{C}$  ve  $\text{C}=\text{N}$  bağlarına aittir.  $1490\text{-}1440\text{ cm}^{-1}$  deki pikler aromatik halka  $\text{C}=\text{C}$  gerilmesini göstermektedir.  $780\text{-}680\text{ cm}^{-1}$  arasındaki pikler pirimidin halkası iskelet titreşimlerini belirtir.

Şekil 3.53'de (ZÖ22) bileşinin  $^1\text{H-NMR}$  spektrumu verilmiştir. Spektrumda  $\delta=3.44\text{-}3.94\text{ ppm}$  arasında  $-\text{CH}=\text{CH}-$  protonları görülmektedir.  $\delta=6.58\text{-}7.82\text{ ppm}$  arasında görülen pik grubu, daha önceki spektrumların yorumu sırasında açıklandığı üzere, moleküldeki fenil grupları protonlarına aittir [44,45,46]. Spektrumdaki piklerin integral alanları karşılaştırıldığında bulunan proton sayıları, yukarıdaki yorum ve elementel analizle uyum içindedir.

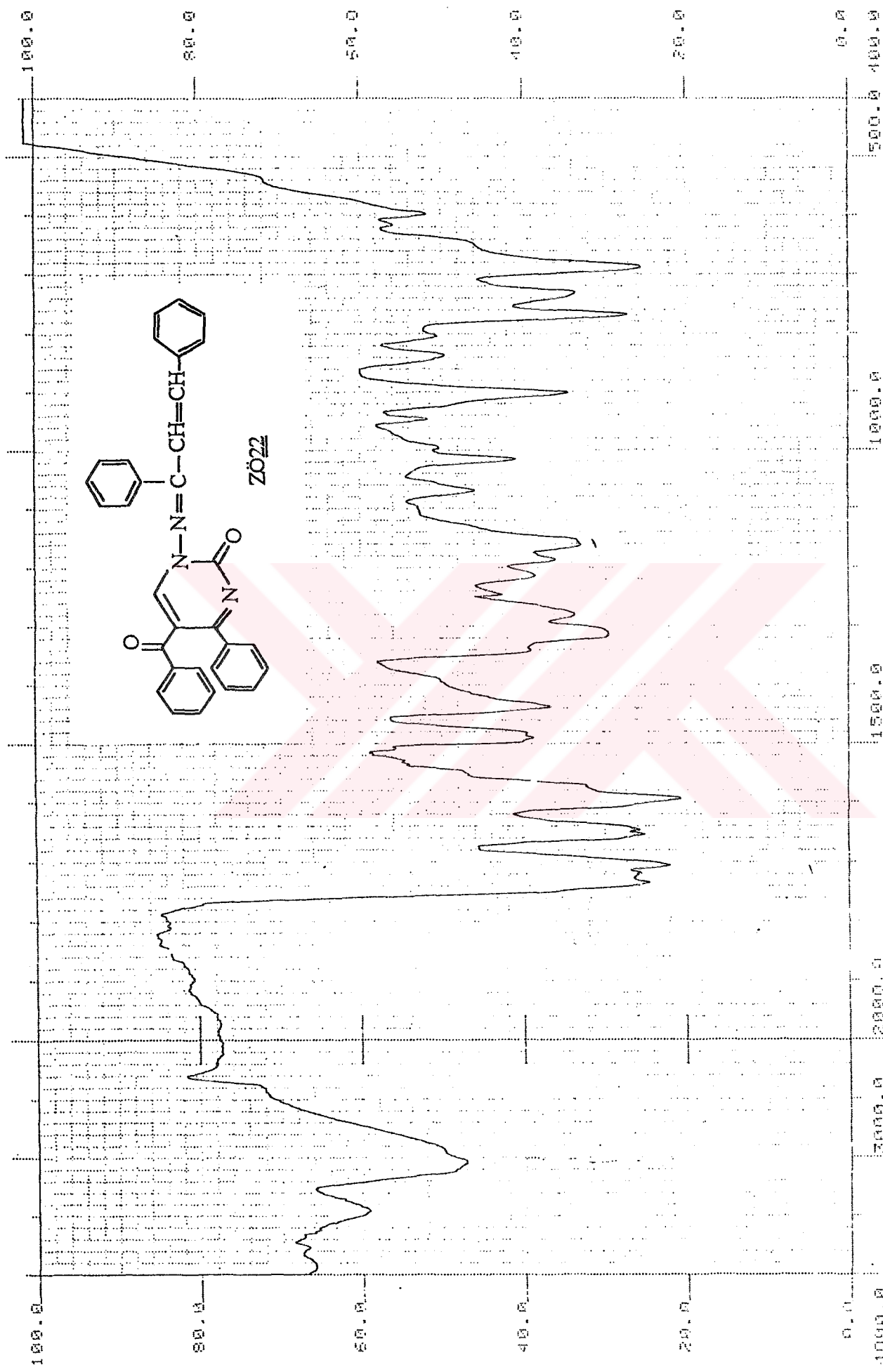
Kimyasal kayma (ppm) : 6.58-7.82      3.44-3.94

İntegrasyon (proton sayısı) :                21                2

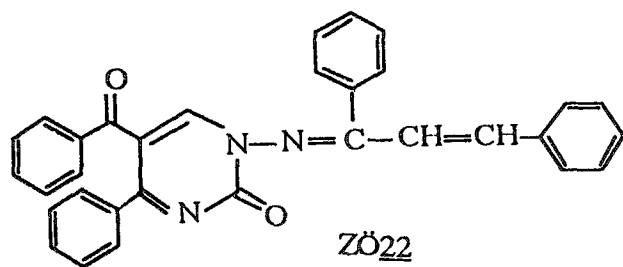
Yukarıdaki bilgilere göre, elde edilen bu yeni (ZÖ22) bileşiği açık formülü ve reaksiyon denklemi aşağıdaki gibi olup, IUPAC adlandırma sistemine göre; N-(5-Benzoil-4-fenil-2-okso-1,2-dihidro-pirimidinil)-2-fenil-1-etenil-fenilketimin şeklinde adlandırıldı.



ZÖ22

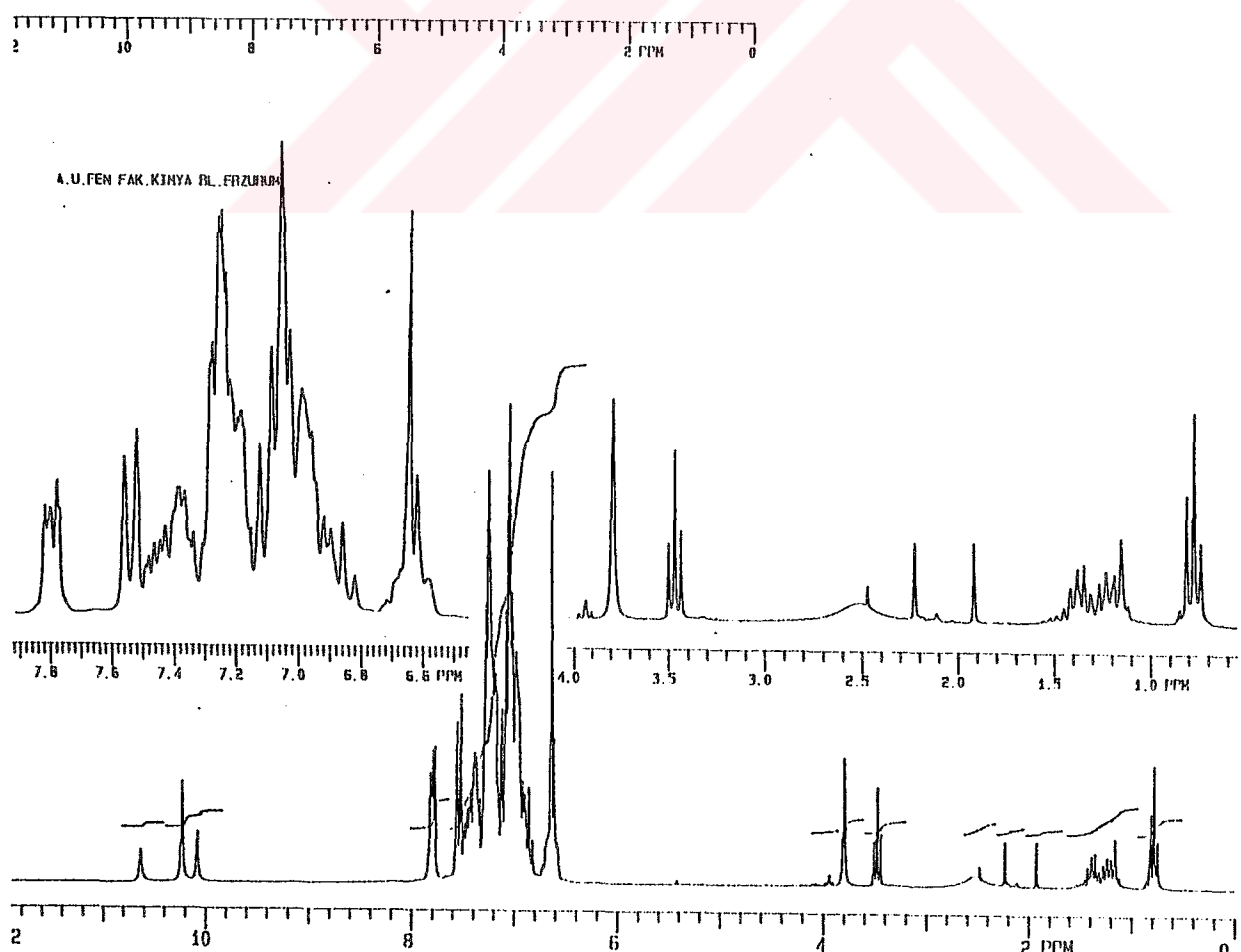


**Sekil 3.52. ZÖ22 Bileşiginin IR Spektrumu**



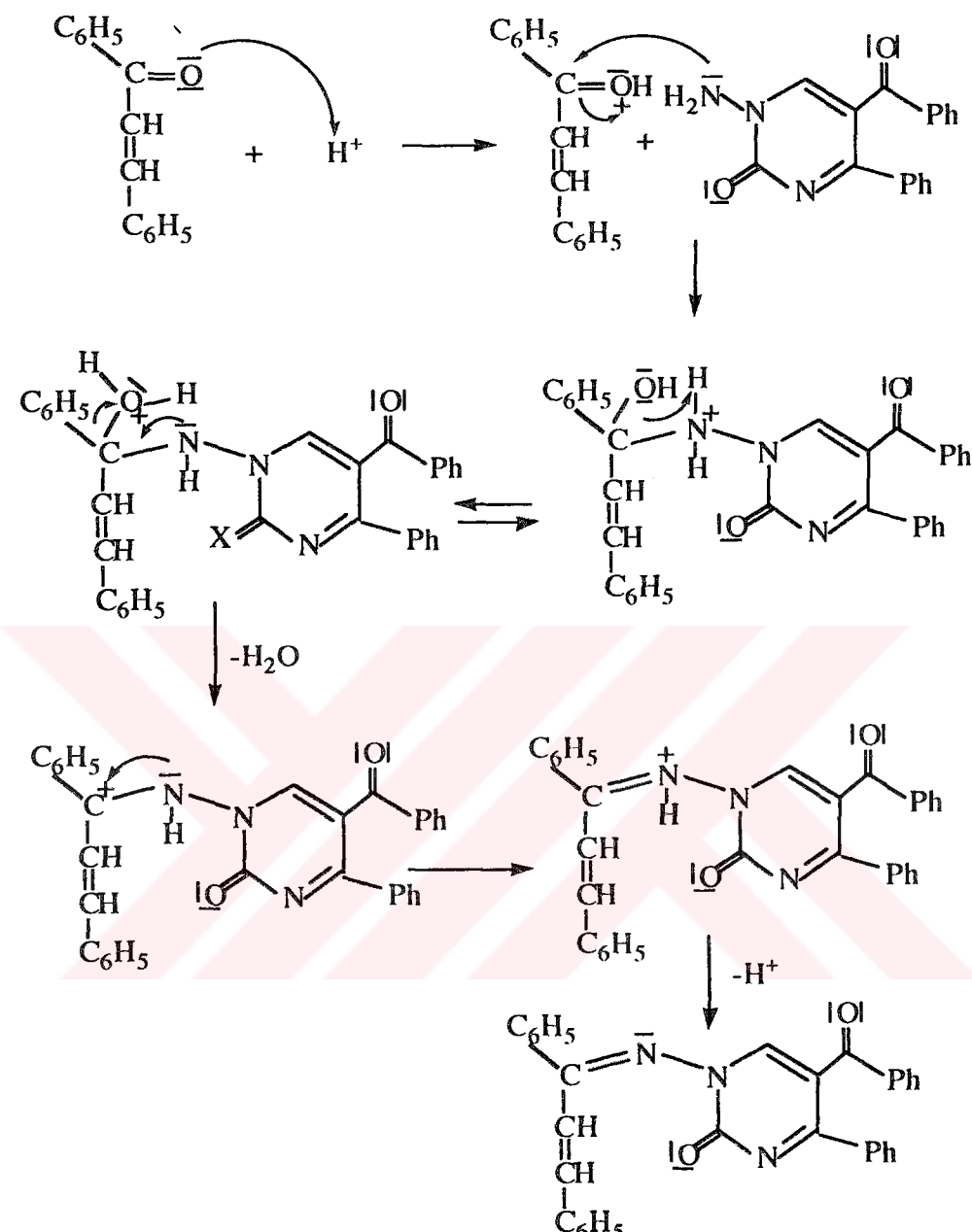
ZÖ22

SPECTRAL	ELTHS	PPM	INTENSITY	PPM	INTENSITY	PPM	INTENSITY
RFL-	415.8	PPM	17.45	40	1355.67	6.779	17.743
REP-	0			41	1316.98	6.731	26.010
				42	1343.30	6.717	37.244
INDEX	FREQ	PPM	1334.63	43	1328.12	6.641	722.797
01	2126.19	10.632	56.312	44	1323.72	6.619	255.417
02	2045.77	10.230	176.150	45	1317.41	6.588	75.491
03	2016.02	10.001	87.984	46	1316.40	6.503	74.297
04	1563.09	7.020	199.400	47	708.00	3.940	22.056
05	1550.63	7.004	192.612	48			
06	1556.03	7.781	241.747	49	759.10	3.796	229.150
07	1554.20	7.772	192.984	50	700.94	3.509	83.126
08	1512.36	7.563	284.366	51	694.43	3.473	176.777
09	1504.63	7.524	331.557	52	687.00	3.440	94.740
10	1498.44	7.493	95.482	53	512.95	2.565	21.177
11	1495.78	7.485	100.936	54	510.11	2.551	22.579
12	1492.58	7.464	132.459	55	504.61	2.523	23.174
13	1488.92	7.446	137.375	56	501.11	2.506	23.281
14	1485.99	7.431	163.440	57	499.48	2.490	22.424
15	1470.22	7.392	231.215	58	494.80	2.474	39.934
16	1476.91	7.385	232.512	59	491.51	2.458	18.411
17	1473.54	7.369	223.861	60	446.09	2.231	84.519
18	1470.32	7.353	130.414	61	384.18	1.921	84.531
19	1467.60	7.338	151.826	62	291.06	1.455	20.389
20	1461.73	7.310	133.706	63	283.00	1.420	41.248
21	1455.95	7.281	487.768	64	283.09	1.416	35.311
22	1450.30	7.253	730.244	65	200.52	1.403	23.669
23	1447.61	7.239	612.293	66	277.06	1.305	57.470
24	1444.68	7.224	423.002	67	278.13	1.381	80.044
25	1437.27	7.187	366.705	68	274.06	1.374	39.432
26	1430.31	7.152	160.233	69	269.57	1.340	64.208
27	1425.19	7.127	300.697	70	263.14	1.316	35.905
28	1417.49	7.088	478.424	71	262.21	1.311	32.426
29	1411.63	7.059	842.165	72	254.07	1.270	46.268
30	1405.69	7.029	512.003	73	246.74	1.234	58.971
31	1398.16	6.992	406.553	74	245.72	1.229	45.363
32	1392.22	6.962	331.219	75	238.60	1.194	55.706
33	1389.66	6.949	241.367	76	231.07	1.156	91.231
34	1383.08	6.920	181.763	77	224.56	1.123	23.838
35	1379.40	6.890	160.758	78	170.35	0.852	20.210
36	1371.71	6.859	170.895	79	162.94	0.815	134.864
37	1364.01	6.821	78.077	80	155.62	0.778	220.007
38	1359.99	6.001	19.671	81	148.33	0.742	66.579



Şekil.3.53. ZÖ22 Bileşiginin  $^1\text{H}$ -NMR Spektrumu

### 3.22.1. ZÖ22 Bileşinin Reaksiyon Mekanizması



ZÖ22

### 3.23. (2) Bileşinin Siyanoasetikasit İle Reaksiyonu

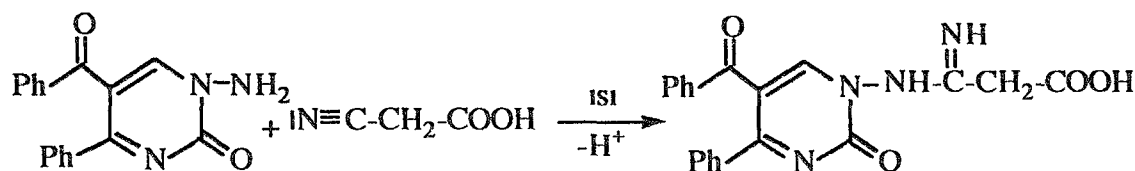
Bu reaksiyon için (1:4) mol oranında alınan başlangıç maddeleri, taze destile edilmiş benzende geri soğutucu altında 10 saat kaynatıldı. Reaksiyonun ince tabaka kromotografiyle takibinin yanında, çözelti renginin açık sarıdan turuncuya dönüşmesi de gözlandı. Çözücü rotovapordan atıldıktan sonra yağlısı kısmı dietileter ile muamele edildi. Çökken sarı renkli ham ürün süzüldü. Ürün kristallendirilemedi. Sıcak petrol eteri ile yıkandı. TLC, IR ve erime noktası tayinleri yapılarak yeni bir ürünün oluştuğu belirlendi. Elementel analiz sonuçlarına göre bileşinin (ZÖ23), kapalı formülünün  $C_{20}H_{16}O_4N_3$  olduğu anlaşıldı.

Şekil 3.54'de (ZÖ23) bileşinin IR spektrumu verilmiştir.  $3400\text{-}3000\text{ cm}^{-1}$  arasındaki geniş band -COOH grubu O-H gerilme titresimini gösterir. 1720 deki pik grubu, karbonil gruplarına ait absorbsiyon pikidir.  $1640\text{ cm}^{-1}$  de C=N gerilmesi,  $1590\text{-}1600\text{ cm}^{-1}$  de NH eğilme pikleri görülmektedir.  $690\text{-}790\text{ cm}^{-1}$  arasında pirimidin halkası iskelet titresimlerine ait pikler bulunmaktadır.

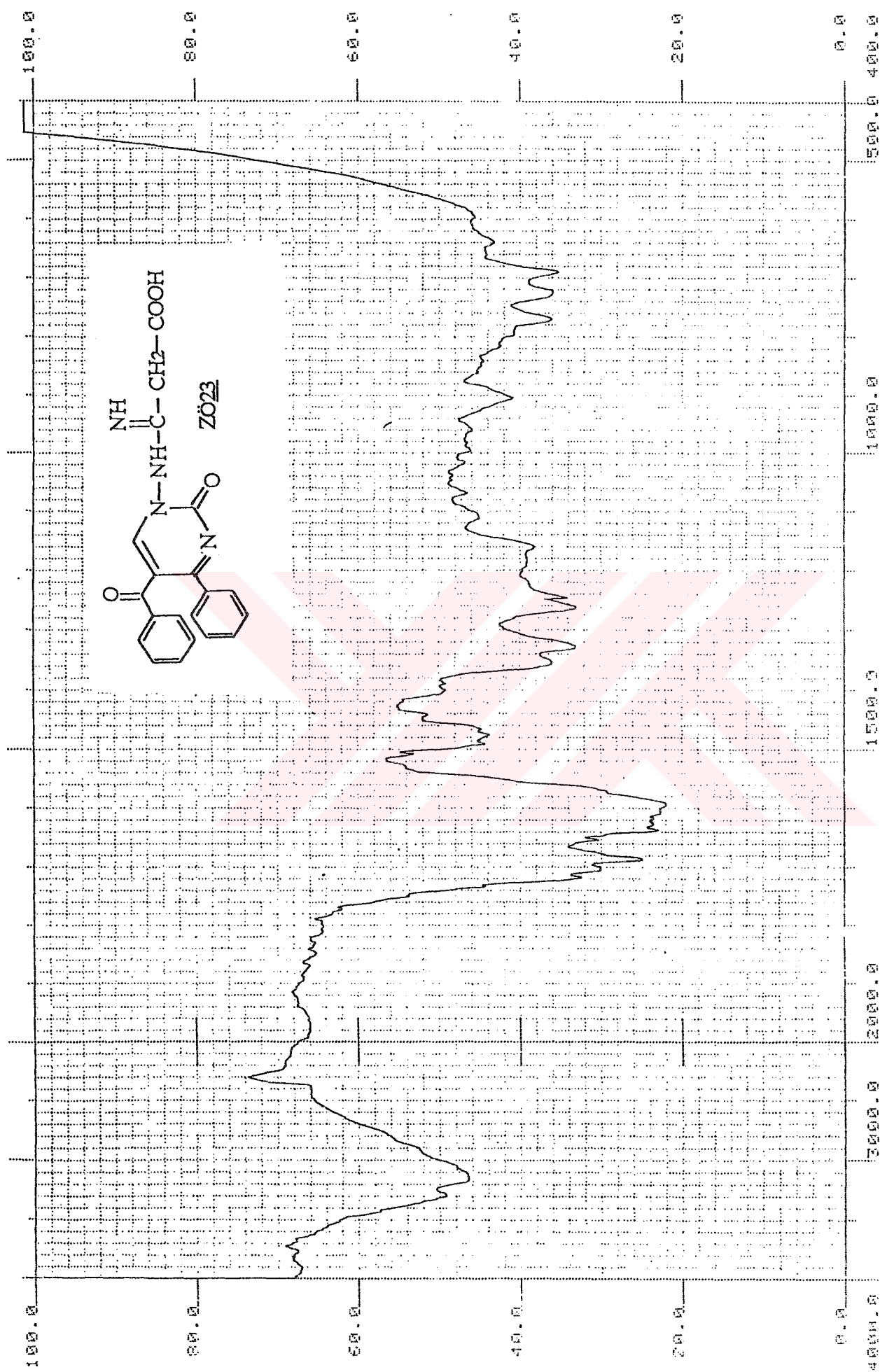
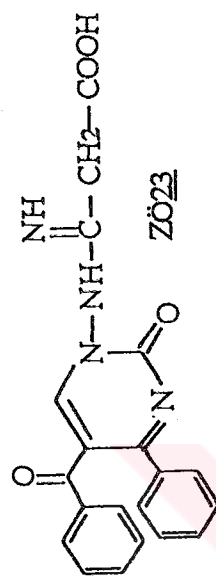
Şekil 3.55'te (ZÖ23) bileşinin, DMSO'da çözülerek alınmış,  $^1H$ -NMR spektrumu verilmiştir.  $\delta=3.96\text{ ppm}$ 'de  $-\text{CH}_2-$  protonları pik vermiştir.  $\delta=7.04\text{-}7.99\text{ ppm}$  arasında aromatik halka protonları, multiple pikler vermişlerdir.  $\delta=9.37\text{ ppm}$ 'de -NH- grubu görülmektedir [44,45,46,47]. Spektrumdaki piklerin integral alanları karşılaştırıldığında bulunan proton sayıları, yukarıdaki yorum ve elementel analizle uyum içindedir.

Kimyasal kayma (ppm) :	9.37	7.04-7.99	3.96
İntegrasyon (proton sayısı) :	1	12	2

Bu spektral ve elementel analiz verileri ışığında (ZÖ23) bileşinin açık formülü ve reaksiyon denklemi aşağıdaki gibi olup, IUPAC adlandırma sistemine göre; 3-(5-Benzoil-4-fenil-2-okso-1,2-dihidro-pirimidinil-amino)-3-imino-propanoik asit şeklinde adlandırıldı.

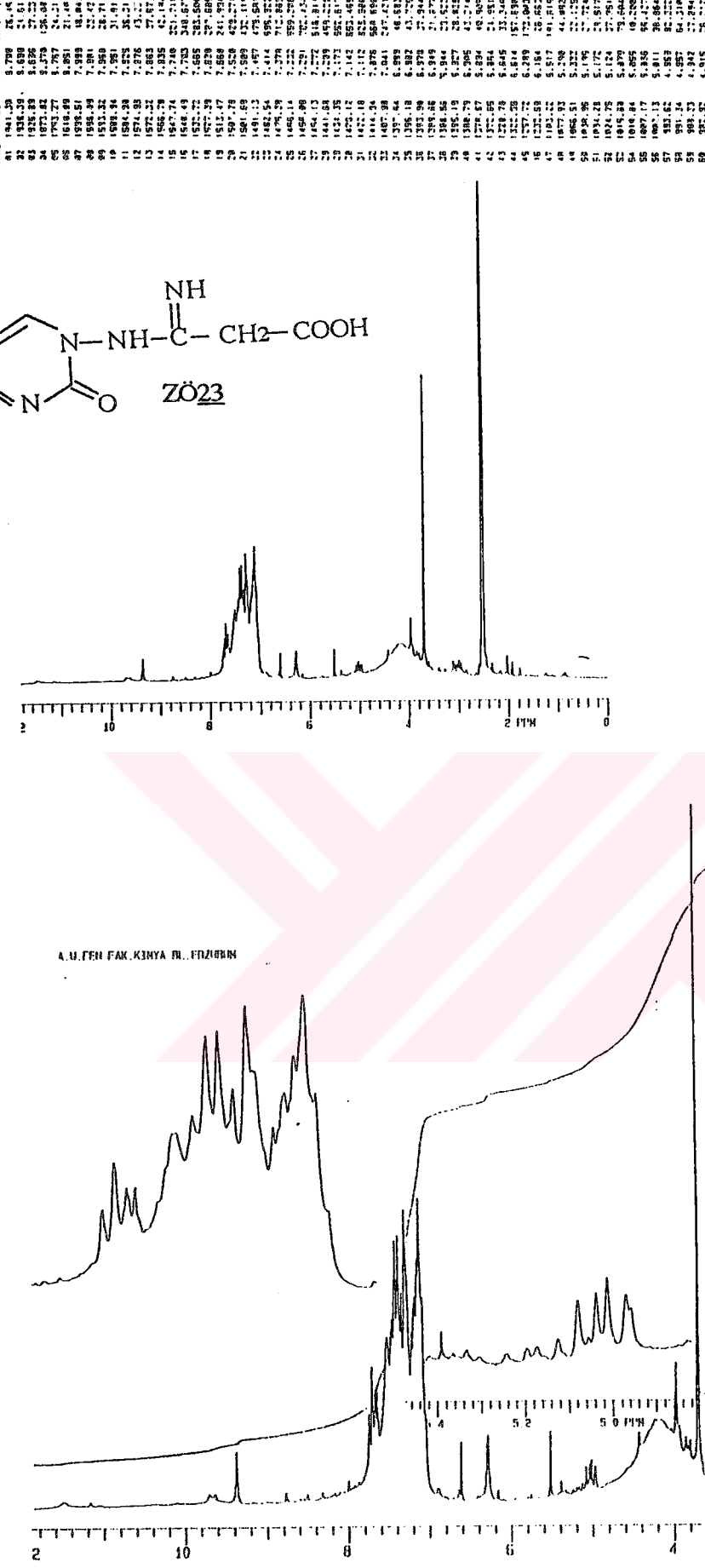


ZÖ23



**Şekil 3.54.** ZÖ23 Bileşiginin IR Spektrumu

ANALYSTEN KİMYA İ.Ş. İZMİR  
SPECTRAL LINES PRO<sup>TM</sup>  
BILGI SAYISI: 42211  
SPEKTRUM TIPİ: 1H-NMR



### 3.24. (2) Bileşiginin Benzil İle Reaksiyonu

Başlangıç maddelerinden (1:4) mol oranında alınarak homojen bir şekilde karıştırdı. Karışım bir reaksiyon balonuna alındı. p-toluen sulfonik asit katalizör olarak ilave edildi. Balona  $\text{CaCl}_2$  kurutma başlığı takılarak,  $135^\circ\text{C}$ 'ye ayarlanmış etüvde 2 saat tutuldu. Süre tamamlandıktan sonra etüvden alınarak oda sıcaklığında soğutuldu. Yağlımsı ürün üzerine dietileter ilave edilerek 24 saat karıştırıldı. Çöken beyaz ürün süzüldü. n-Butanolden kristallendirildi. TLC, IR ve erime noktası tayinlerinden sonra reaktanlardan farklı bir ürün olduğu belirlendi. Elementel analiz sonuçlarına göre 2 bileşiginin benzil ve ile reaksiyonları sonunda oluşan bileşigin (ZÖ24), kapalı formülüün  $\text{C}_{31}\text{H}_{23}\text{N}_3\text{O}_4$  şeklinde olduğu anlaşıldı.

Şekil 3.56'da KBr disk teknigi ile alınan IR spektrumu görülmektedir.  $3400\text{ cm}^{-1}$  deki pik -NH gerilme titreşimini,  $3000\text{-}2600\text{ cm}^{-1}$  deki geniş band -OH gerilme titreşimini gösterir.  $1660\text{ cm}^{-1}$  deki pik, karbonil gruplarına ait absorbsiyon pikidir.  $1600\text{ cm}^{-1}$  de  $\text{C}=\text{C}$  ve  $\text{C}=\text{N}$  bağlarına ait pik bulunmaktadır.  $1500\text{-}1400\text{ cm}^{-1}$  arasında aromatik halka,  $800\text{-}700\text{ cm}^{-1}$  arasında pirimidin halkası iskelet titreşimini gösteren pikler bulunmaktadır.

Şekil 3.57'de (ZÖ24) bileşiginin  $^1\text{H-NMR}$  spektrumu görülmektedir. Spektrum, DMSO'da alınmıştır.  $\delta=3.41\text{-}3.43\text{ ppm}$ 'de OH piki, geniş pik vermiştir.  $\delta=7.01\text{-}7.84\text{ ppm}$  arasında aromatik halka protonlarına ait multiple pikler görülmektedir.  $\delta=8.34\text{ ppm}$ 'de pirimidin halkasına ait tek proton pik vermiştir.  $\delta=12.44\text{-}12.55\text{ ppm}$  arasındaki geniş pikin NH protonuna ait olduğu düşünülmektedir. Bulunan proton sayısı elementel analiz sonuçları ile uyum içindedir.

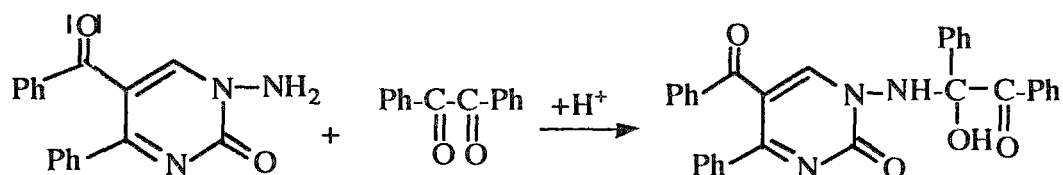
Kimyasal kayma ( $\delta=\text{ppm}$ ) :	3.41-3.43	7.01-7.84	8.34	12.44-12.55
İntegrasyon (proton sayısı) :	1	20	1	1

Şekil 3.58'de (ZÖ24) bileşiginin  $^{13}\text{C-NMR}$  spektrumu görülmektedir. Spektrumun yorumu, karbon atomlarının numaralarına göre aşağıda verilmiştir.

$\text{C}_2$	157.42 ppm	(s)	$\text{C}_4$	132.23 ppm	(s)
$\text{C}_5$	138.80 ppm	(s)	$\text{C}_6$	134.85 ppm	(s)
$\text{C}_{10}$	194.10 ppm	(s)			

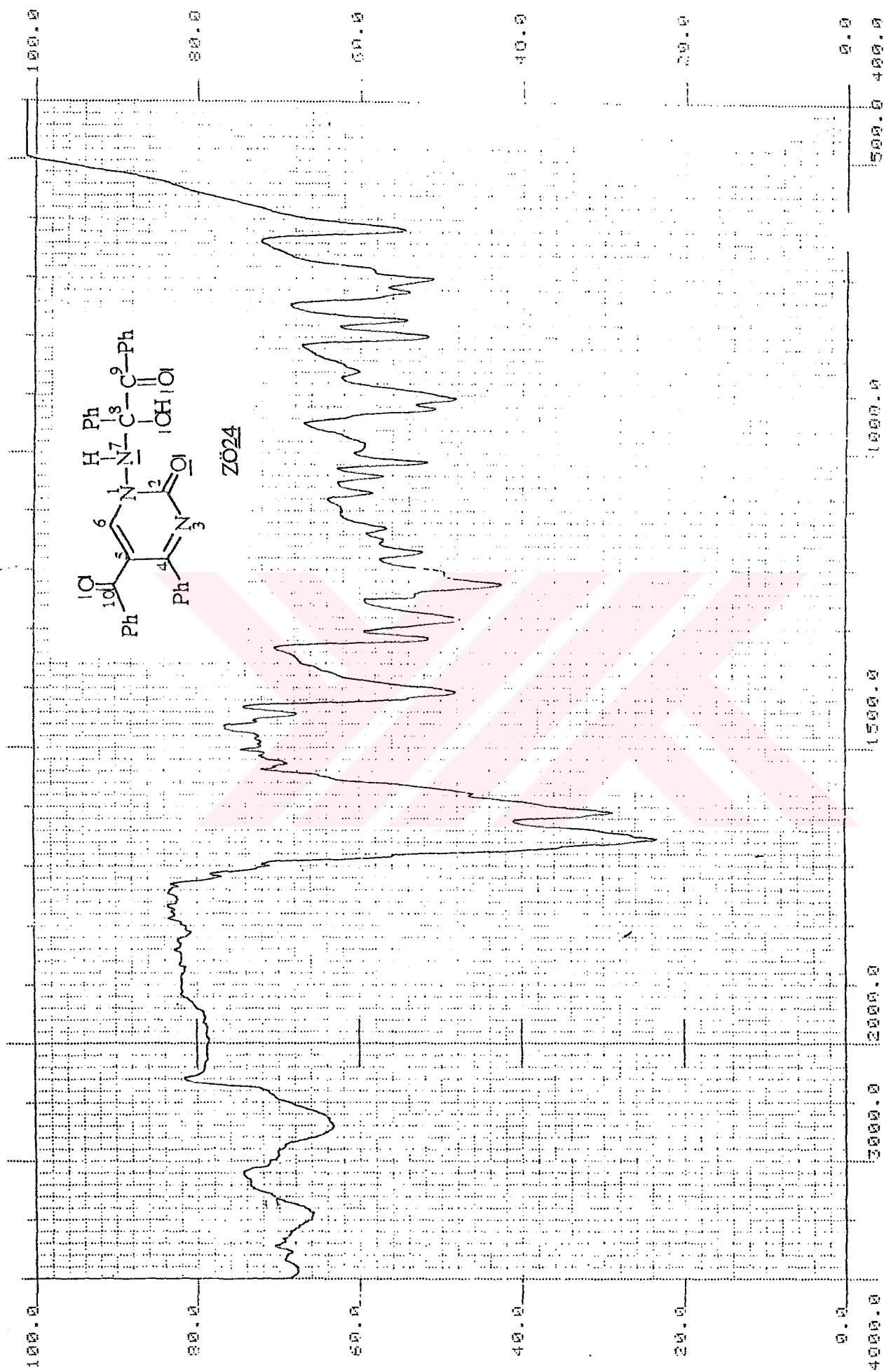
Aromatik halka karbonları ise  $\delta=117.54\text{-}132.25\text{ ppm}$  arasında bulunmaktadır.

Bu spektral ve elementel analiz verileri doğrultusunda (ZÖ24) bileşığının reaksiyon denklemi ve açık formülü aşağıdaki gibi olup, IUPAC adlandırma sistemine göre; 1-(5-benzoil-4-fenil-2-okso-1,2-dihidro-pirimidinil-amino)-1,2-difenil-1-hidroksi-2-okso-etan şeklinde adlandırıldı.



ZÖ24

**Şekil 3.56. ZÖ24 Bileşiginin IR Spektrumu**

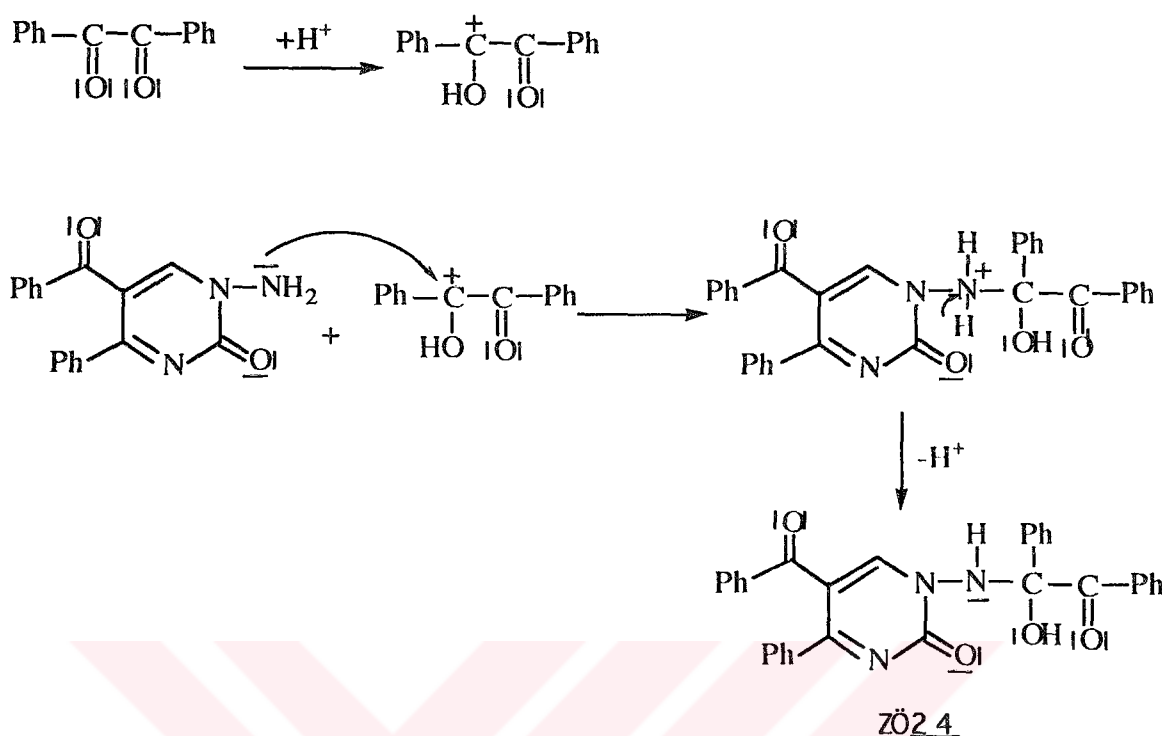




Sekil 3.57. ZÖ<sub>24</sub> Bileşiginin <sup>1</sup>H-NMR Spektrumu

Sekil 3.58. ZÖ<sub>24</sub> Bileşiginin <sup>13</sup>C-NMR Spektrumu

### 3.24.1. ZÖ24 Bileşığının Reaksiyon Mekanizması



### 3.25. (2) Bileşığının Benzoin ile Reaksiyonu

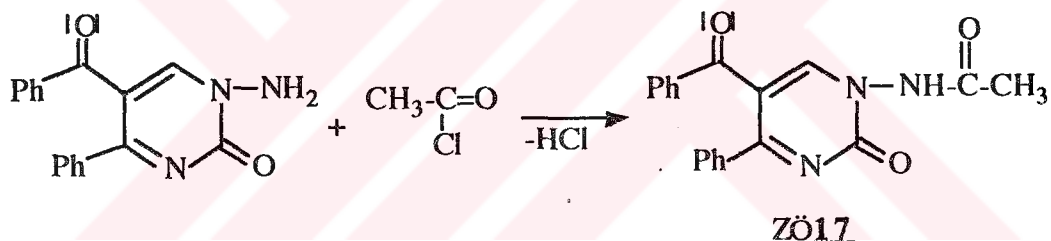
(2) Bileşığının benzoin ile reaksiyonu yapılmaya çalışıldı. Fakat elde edilen ürünün (ZÖ24) ile aynı yapıda olduğu tespit edildi. Bunun sebebi olaraka benzoinin reaksiyon ortamında yükseltgenerek, benzil'e dönüştüğü ve (2) bileşiği ile reaksiyona girerek (ZÖ24) oluşturduğu düşünülmektedir. Elementel analiz, IR,  $^1\text{H-NMR}$  spektrumlarının yorumu (ZÖ24) bileşiği ile aynı olduğundan burada tekrarlanmadı.

### 3.26. (2) Bileşinin Asetilklorür ile Reaksiyonu

Başlangıç maddelerinden (1:3) mol oranlarında, bir reaksiyon balonuna alındı. Üzerine çözücü olarak asetonitril ilave edildi. 1 g sodyum asetat ve 2 ml su katılarak oda sıcaklığında 24 saat karıştırıldı. Reaksiyonun gerçekleşmesi, TLC ile kontrol edildi. Çözücü rotovapordan atıldı. Yağimsı ürün üzerine, dietileter ilave edildi. 24 saat magnetik karıştırıcıda karıştırıldı. Çöken beyaz ham ürün süzüldü. Saf su ile yıkandı. Etil alkolden kristallendirildi. TLC, IR ve erime noktası tayinlerinden sonra yeni bir ürün olduğu belirlendi. Elementel analiz sonuçlarına göre bileşinin, daha önce elde edilen (ZÖ17) bileşği ile aynı yapıda olduğu ve kapalı formülünün  $C_{19}H_{15}N_3O_3$  olduğu anlaşıldı.

Şekil 3.40'da bileşinin IR spektrumu verilerek, yorumlanmıştır.

Bu spektral ve elementel analiz verileri doğrultusunda bileşinin reaksiyon denklemi ve açık formülü aşağıdaki gibi olup, IUPAC adlandırma sistemine göre; N-(5-Benzoil-2-okso-4-fenil-1,2-dihidro-pirimidin-1-il)-asetamid şeklinde adlandırıldı.

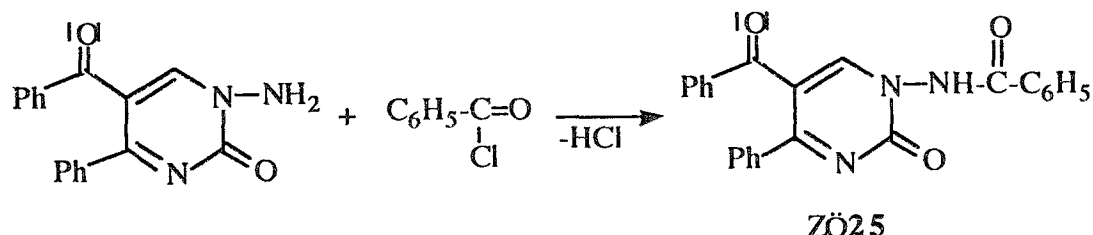


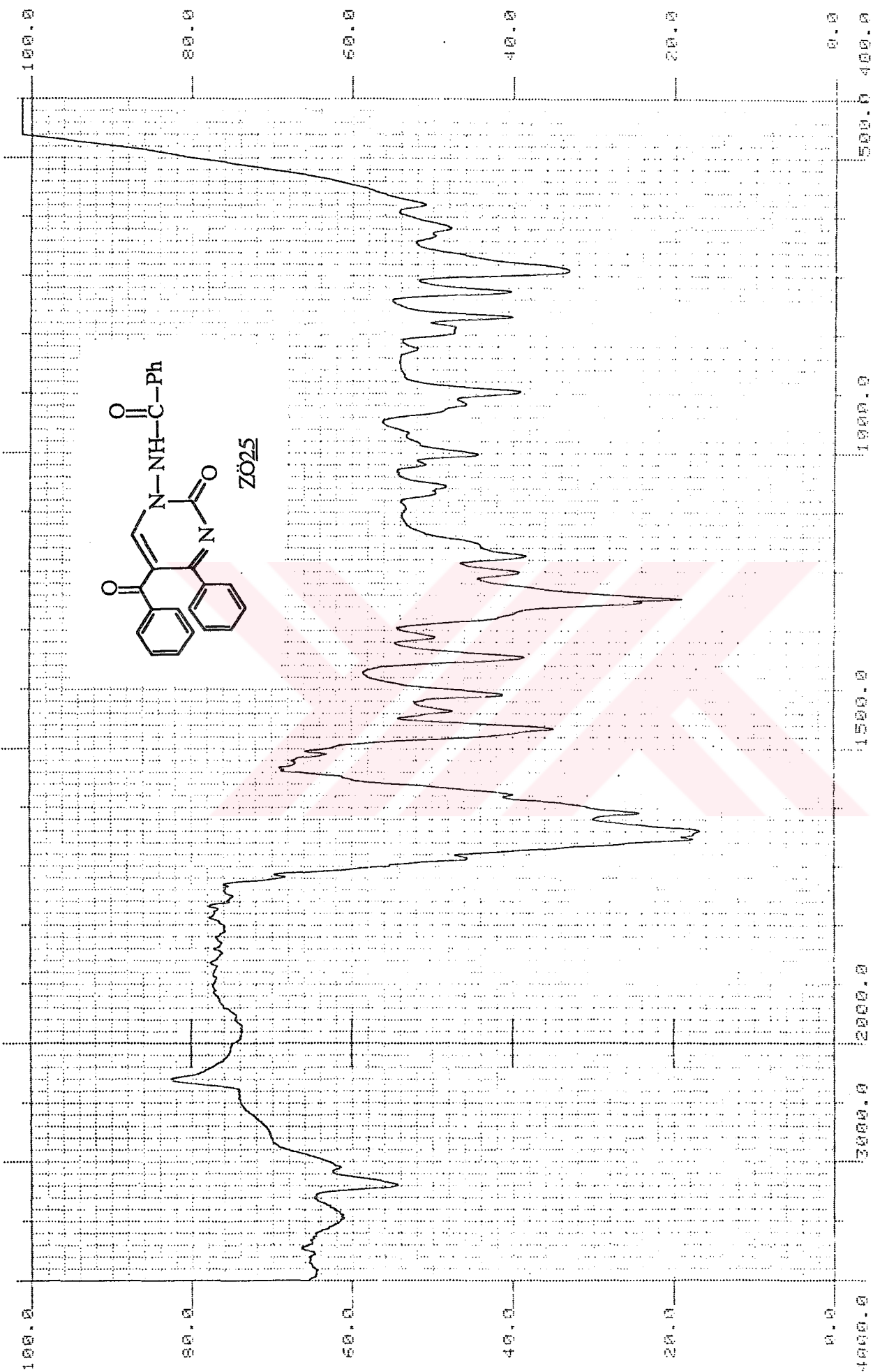
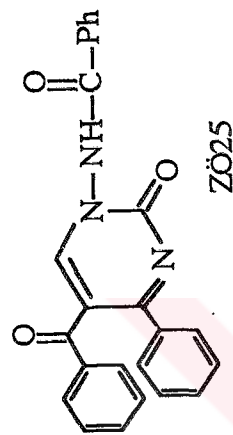
### 3.27. (2) Bileşığının Benzoilklorür ile Reaksiyonu

Başlangıç maddelerinden (1:4) mol oranlarında, bir reaksiyon balonuna alındı. Reaksiyon ortamına 1 g CH<sub>3</sub>COONa ve 2 ml su ilave edildi. Asetonitril çözücü ortamında CaCl<sub>2</sub> kurutma başlığı takılarak, 24 saat oda sıcaklığında karıştırıldı. Reaksiyonun tamamlanması TLC ve ortamda beyaz bir çökeltinin oluşmasıyla kontrol edildi. Çözücü rotovapordan atıldı. Dietileter ilave edildi. Çöken beyaz ham ürün süzülmekle saf su ile yıkandı. n-butanolden kristallendirildi. TLC, IR ve erime noktası tayinleri yapılarak yeni bir ürünün olduğu belirlendi. Elementel analiz sonuçlarına göre bileşığın (ZÖ25) kapalı formülünün C<sub>24</sub>H<sub>17</sub>N<sub>3</sub>O<sub>3</sub> olduğu anlaşıldı.

Şekil 3.59'da KBr disk teknigi ile alınan IR spektrumu görülmektedir. 3200 cm<sup>-1</sup> de ve 3010 cm<sup>-1</sup> de görülen pikler sırasıyla, N-H ve aromatik C-H gerilme titreşimlerine aittir. 1700, 1660 ve 1640 cm<sup>-1</sup> deki pikler karbonil gruplarına ait absorbsiyon pikleridir. 1600 cm<sup>-1</sup> de C=C ve C=N gerilme titreşimleri görülmektedir. 1480-1360 cm<sup>-1</sup> arasındaki pikler aromatik halka iskelet titreşimlerine aittir. 800-680 cm<sup>-1</sup> arasında pirimidin halkası iskelet titreşimine ait pik grubu görülmektedir.

Bu spektral ve elementel analiz verileri doğrultusunda (ZÖ25) bileşığının reaksiyon denklemi ve açık formülü aşağıdaki gibi olup, IUPAC adlandırma sistemine göre; N-(5-Benzoil-2-okso-4-fenil-1,2-dihidro-pirimidin-1-il) benzamid şeklinde adlandırıldı.





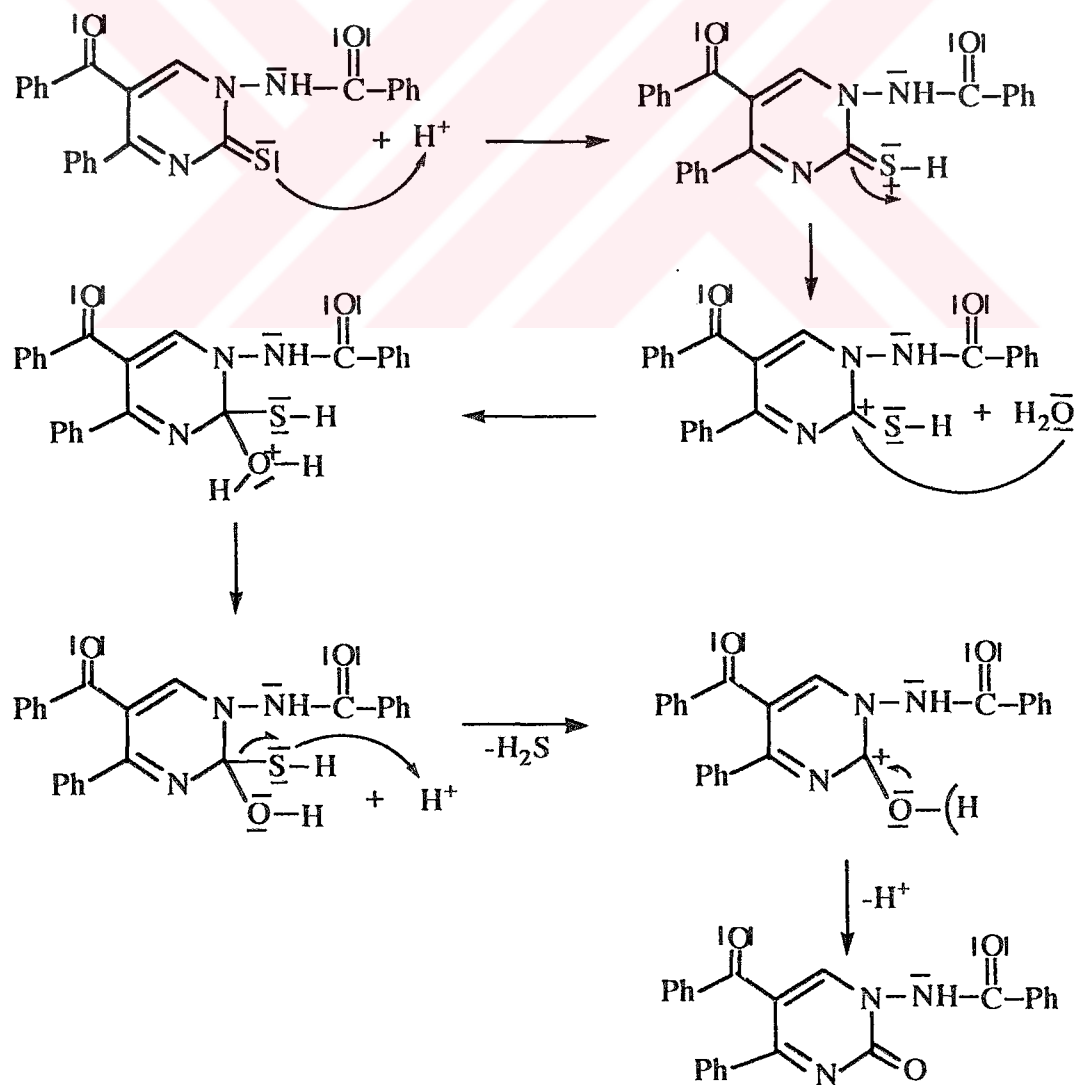
**Sekil 3.59** **ZÖ25** Bileşiginin IR Spektrumu

### 3.28. (3) Bileşinin Benzoilklorür İle Reaksiyonu

Bir reaksiyon balonuna (1:4) mol oranlarında başlangıç maddelerinden alındı. Üzerine 2 g CH<sub>3</sub>COONa ve 2 ml su ilave edilerek, asetonitril çözücü ortamında 24 saat karıştırıldı. Reaksiyonun tamamlanması TLC ve çökelti oluşumu ile kontrol edildi. Çözücü roto-vapordan atıldı. Dietileter ilave edilerek, 3-4 saat bir magnetik karıştırıcı ile karıştırıldı. Çöken beyaz ham ürün süzüldü. n-butanolden kristallendirildi. TLC, IR ve erime noktası tayinlerinden sonra yeni bir ürünün olduğu belirlendi. Elementel analiz sonuçlarına göre bileşinin (ZÖ25) bileşiği ile aynı yapıda olduğu ve kapalı formülünün C<sub>24</sub>H<sub>17</sub>N<sub>3</sub>O<sub>2</sub>S olduğu anlaşıldı.

Şekil 3.59'da verilen IR spektrumu (ZÖ25) bileşinin, IR spektrumu yorumu ile aynı olduğu için burada tekrarlanmayacaktır. Sadece reaksiyonun mekanizması gösterilmiştir.

#### Reaksiyonun Mekanizması:

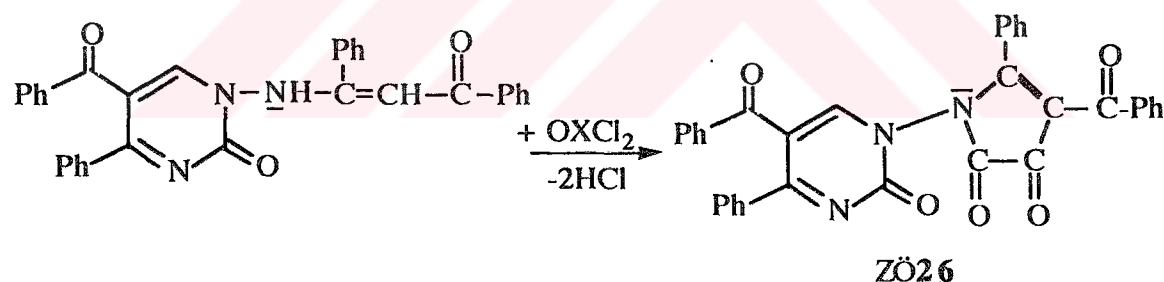


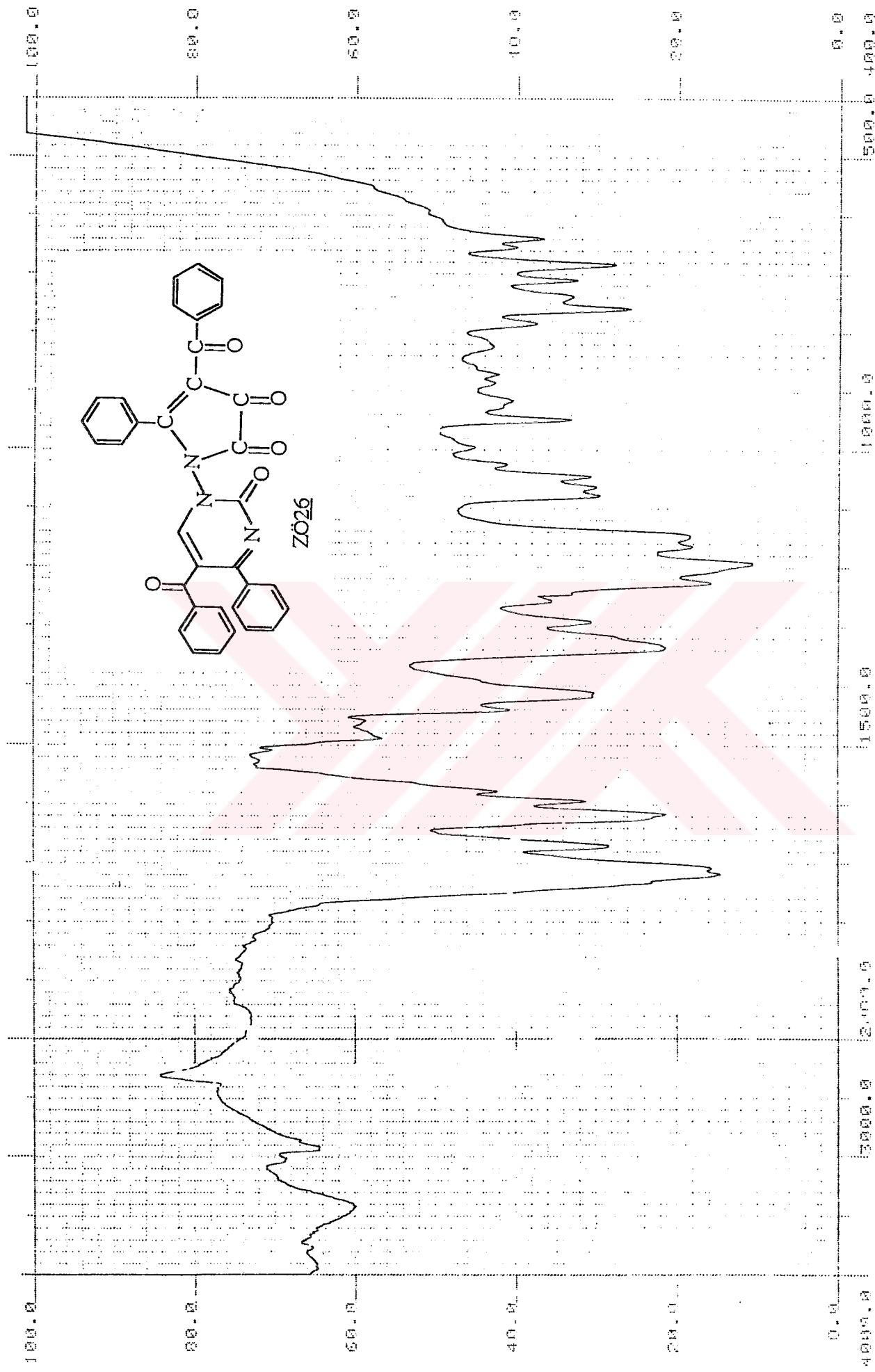
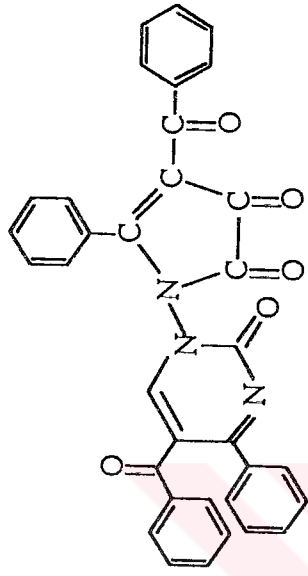
### 3.29. ZÖ1 Bileşinin $\text{OXCl}_2$ ile Reaksiyonu

Başlangıç maddelerinden (1:3) mol oranlarında alındı. Çözücü olarak susuz benzen ilave edildi.  $\text{CaCl}_2$  kurutma buşluğu takılarak, 24 saat oda sıcaklığında bir magnetik karıştırıcı ile karıştırıldı. Reaksiyon ortamında oluşan beyaz ham ürün süzülerek, n-butanol-dan kristallendirildi. TLC, IR ve erime noktası tayinleri yapılarak yeni bir ürünün oluştuğu belirlendi. Elementel analiz sonuçlarına göre bileşinin (ZÖ26) kapalı formülünün  $\text{C}_{34}\text{H}_{21}\text{N}_3\text{O}_5$  olduğu anlaşıldı.

Şekil 3.60'da KBr disk teknigi ile alının IR spektrumu görülmektedir.  $2980 \text{ cm}^{-1}$ de aromatik C-H gerilme titreşimleri görülmektedir.  $1720-1660 \text{ cm}^{-1}$ de karbonil gruplarına ait absorbsiyon pikleri görülmektedir.  $1620 \text{ cm}^{-1}$  deki pik C=C ve C=N gerilme titreşimlerini gösterir.  $1500-1340 \text{ cm}^{-1}$ de aromatik halka iskelet titreşimleri bulunmaktadır [52].

Bu spektral ve elementel analiz verileri doğrultusunda (ZÖ26) bileşinin, reaksiyon denklemi ve açık formülü aşağıdaki gibi olup, IUPAC adlandırma sistemine göre; 5-benzoil-4-fenil-1-(2-fenil-3-benzoil-4,5-diokso-pirrol-1-il)-pirimidin-2(H)-on şeklinde adlandırıldı.





**Şekil 3.60 ZÖ26 Bileşiginin IR Spektrumu**

## BÖLÜM IV

### 4. BULGULAR

Bu araştırmada deneylerin nasıl yapıldığı, deney metodlarının ve sentez edilen yeni bileşiklerin reaksiyon şartlarının nasıl olduğu, bundan önceki deneysel çalışmalar bölümünde verildi. Ayrıca deneylerde kullanılan kimyasal maddeler ve yararlanılan alet ve cihazlar belirtildi, spektrumların yorumu yapıldı. Bu bölümde ise, literatüre kazandırılan bu bileşiklerin elementel analiz sonuçları, yani yapılarında C, H ve N yüzde oranlarının hesaplanan ve deneysel olarak bulunan değerleri verildi. Reaksiyonlarda kullanılan başlangıç maddeleri, bilinen bileşikler olduğundan, burada yer almadi.

#### 4.1. 1-(5-Benzoil-4-fenil-2-okso-1,2-dihidro-pirimidinil-amino)-1-fenil-2-benzoileten (ZÖ1)

0.2 g 1-Amino-5-benzoil-4-fenil-1H-pirimidin-2-on (**2**) ve 1 g dibenzoilmetan (1:7 mol), 0.05 g p-toluen sulfonik asit 50 ml'lik şilifli bir balon içerisinde homojen bir şekilde karıştırılır.  $\text{CaCl}_2$  kurutma başlığı takılarak 115 °C'ye ayarlı etüvde 40 dak. reaksiyona sokulur. Soğutuluktan sonra dietil eter ile karıştırılır. n-butanolden kristallendirilir. Verim: % 60 (teorik değerin), Erime noktası: 294 °C.

$\text{C}_{32}\text{H}_{23}\text{N}_3\text{O}_3$  MA : 497.531 g/mol

Bileşen %	C	H	N
Hesaplanan	77.25	4.65	8.44
Bulunan	77.01	4.61	8.40

**IR Spektrumu** : 3350-3500 cm<sup>-1</sup> (N-H), 3150-3200 (-C=CH), 3000-3050 (aroma. C-H), 1690 cm<sup>-1</sup> (C=O), 1600 cm<sup>-1</sup> (C=C ve C=N), 1500-1400 cm<sup>-1</sup> (aroma.hal.isk.tit.), 660-800 cm<sup>-1</sup> (pirimidin hal.isk.tit.).

**<sup>1</sup>H-NMR Spektrumu** : 5.85 5.96 6.67-7.85

( $\delta$ =ppm) N-H -C=CH (Arom.prot.)

**<sup>13</sup>C-NMR Spektrumu** : 160.05 148.78 58.69 64.91

( $\delta$ =ppm) C<sub>2</sub> C<sub>4</sub> C<sub>8</sub> C<sub>9</sub>

196.59 196.94 129.12-148.79

C<sub>10</sub> C<sub>23</sub> Aroma.C'lar

#### 4.2. 1-(5-Benzoil-4-fenil-2-tiyokso-1,2-dihidro-pirimidinil-amino)-1-fenil-2-benzoileten (ZÖ2)

0.2 g 1-Amino-5-benzoil-4-fenil-1H-pirimidin-2-tiyon (**3**) ve 1 g dibenzoilmetan (1:7 mol), 0.05 g p-toluen sulfonik asit şilifli bir balonda homojen bir şekilde karıştırılır. CaCl<sub>2</sub> kurutma başlığı takılarak 115 °C'ye ayarlı etüvde 3 saat reaksiyona sokulur. Soğutulduktan sonra dietileterle karıştırılır. Çöken ham ürün süzülerek n-butanolden kıştıllendirilir ve P<sub>2</sub>O<sub>5</sub> üzerinde desikatörde kurutulur. Verim: % 60, Erime noktası: 275 °C.

C<sub>32</sub>H<sub>23</sub>N<sub>3</sub>O<sub>2</sub>S MA : 513.592 g/mol

Bileşen % : C H N S

Hesaplanan : 74.78 4.50 8.18 6.24

Bulunan : 74.46 4.39 7.98 5.94

**IR Spektrumu** : 3400 cm<sup>-1</sup> (N-H), 3150-3200 (-C=CH), 3020 cm<sup>-1</sup> (aroma. C-H), 1600 cm<sup>-1</sup> (C=C ve C=N), 1520-1450 cm<sup>-1</sup> (aroma. isk.tit.), 1220 cm<sup>-1</sup> (C=S), 680-760 cm<sup>-1</sup> (pirimidin isk.tit.).

**<sup>1</sup>H-NMR Spektrumu** : 5.71 5.89 6.66-7.70

( $\delta$ =ppm) (=CH) (N-H) ((Arom.prot.))

#### 4.3. 1-(5-Benzoil-4-fenil-2-okso-1,2-dihidro-pirimidinil-amino)-1-p-metoksifenil-2-p-metoksibenzoileten (ZÖ3)

0.2 g 4-Benzoil-5-fenil-1H-pirimidin-2-on (**2**) ve 0.76 g di(p-metoksibenzoil) metan (1:4 mol), 0.05 g p-toluen sulfonik asit şilifli bir balonda homojen bir şekilde karıştırılır.

$\text{CaCl}_2$  kurutma başlığı takılarak  $115^\circ\text{C}$ 'ye ayarlı etüvde 1 saat 30 dk. reaksiyona sokulur. Soğutulduktan sonra dietileter ile karıştırılır. Çöken ham ürün szünlerek, n-butanolden kristallendirilir ve desikatörde  $\text{P}_2\text{O}_5$  üzerinde kurutulur. Verim: % 64, Erime noktası:  $325^\circ\text{C}$ .

$\text{C}_{34}\text{H}_{27}\text{N}_3\text{O}_5$ MA	: 557.589 g/mol			
Bileşen %	: C	H	N	
Hesaplanan	: 73.74	4.87	7.53	
Bulunan	: 73.49	4.51	7.53	
IR Spektrumu	: $3400\text{-}3500\text{ cm}^{-1}$ (N-H), $3050\text{-}3100$ (aroma. $\text{C}=\text{CH}$ ), $2800\text{-}3000\text{ cm}^{-1}$ ( $-\text{OCH}_3$ ), $1710\text{-}1650\text{ cm}^{-1}$ ( $\text{C}=\text{O}$ ), $1600\text{-}1580\text{ cm}^{-1}$ ( $\text{C}=\text{C}$ ve $\text{C}=\text{N}$ ), $1510\text{-}1430\text{ cm}^{-1}$ (aroma.hal.isk.tit.), $1150\text{-}1260\text{ cm}^{-1}$ ( $\text{C}-\text{O}-\text{C}$ , vas,vs), $900\text{-}760\text{ cm}^{-1}$ (pirimidin hal.isk.tit.).			
$^1\text{H-NMR}$ Spektrumu : ( $\delta=\text{ppm}$ )	3.36-3.71 ( $\text{OCH}_3$ )	6.62-6.67 ( $=\text{CH}$ )	6.88-6.92 (N-H)	7.04-7.52 (Arom.prot.)
$^{13}\text{C-NMR}$ Spektrumu : ( $\delta=\text{ppm}$ )	164.81 $\text{C}_2$ 193.08 $\text{C}_{25}$	161.64 $\text{C}_5$ 56.96 $\text{C}_{24}$	155.43 $\text{C}_6$ 57.10 $\text{C}_{17}$	146.43 $\text{C}_4$ 190.93 $\text{C}_{10}$

#### 4.4. 1-(5-Benzoil-4-fenil-2-tiyokso-1,2-dihidro-pirimidinil-amino)-1-p.metoksifenil-2-p-metoksibenzoiletен (ZÖ4)

0.2 g 1-Amino-5-benzoil-4-fenil-1H-pirimidin-2-tyon (3) ve 0.76 g di(p-metoksibenzoil) metan (1:4 mol), 0.05 g p-toluen sulfonik asit şilifli bir balonda homojen bir şekilde karıştırılır.  $\text{CaCl}_2$  kurutma başlığı takılarak  $115^\circ\text{C}$ 'ye ayarlı etüvde 2 saat tutulur. Soğutulduktan sonra dietileter ile karıştırılır. Çöken ham ürün szünlerek, n-butanolden kristallendirilir. Verim: % 50, Erime noktası:  $277^\circ\text{C}$ .

$\text{C}_{34}\text{H}_{27}\text{N}_3\text{O}_4\text{S}$ MA	: 573.589 g/mol			
Bileşen %	: C	H	N	S
Hesaplanan	: 71.18	4.74	7.32	5.58
Bulunan	: 70.85	4.82	7.08	5.43
IR Spektrumu	: $3400\text{-}3500\text{ cm}^{-1}$ (N-H), $3050\text{ cm}^{-1}$ (aroma. $\text{C}=\text{CH}$ ), $2800\text{-}3000\text{ cm}^{-1}$ ( $-\text{OCH}_3$ ), $1660\text{-}1600\text{ cm}^{-1}$ ( $\text{C}=\text{O}$ ), $1530\text{-}1400\text{ cm}^{-1}$ (aroma.hal.isk.tit.), $1200\text{-}1350\text{ cm}^{-1}$ ( $\text{C}-\text{O}-\text{C}$ , vas,vs), $1160\text{ cm}^{-1}$			

(C=S), 730-600 cm<sup>-1</sup> (pirimidin hal.isk.tit.).

<sup>1</sup> H-NMR Spektrumu : (δ=ppm)	3.61-3.66 (CH <sub>3</sub> )	5.67-5.71 (=CH)	5.73-5.77 (N-H)	6.57-7.68 (Arom.prot.)
--	------------------------------	-----------------	-----------------	------------------------

#### 4.5. 1-(5-Benzoil-4-fenil-2-okso-1,2-dihidro-pirimidinil-amino)-1-metil-2-asetileten (ZÖ5)

0.2 g 1-Amino-5-benzoil-4-fenil-1H-pirimidin-2-on (**2**) ve 0.18 g asetil aseton (1:30 mol), 0.05 g p-toluen sulfonik asit şilifli bir balonda homojen bir şekilde karıştırılır. CaCl<sub>2</sub> kurutma başlığı takılarak 115 °C'ye ayarlı etüvde 30 dak. tutulur. Asetilaseton rotovapordan atılıp, kalan yağımıksı kısım dietileter ile karıştırılır. Çöken ham ürün süzülerek, n-butanolden kristallendirilir. Verim: % 62, Erime noktası: 240 °C.

C<sub>22</sub>H<sub>19</sub>N<sub>3</sub>O<sub>3</sub> MA : 373.393 g/mol

Bileşen % : C H N

Hesaplanan : 70.76 5.12 11.25

Bulunan : 70.37 5.24 10.96

IR Spektrumu : 3400-3500 cm<sup>-1</sup> (N-H), 3200-3100 (aroma. C-CH), 3050 cm<sup>-1</sup> (CH<sub>3</sub>), 1720-1690 cm<sup>-1</sup> (C=O), 1620-1600 cm<sup>-1</sup> (C=C ve C=N), 1500-1400 cm<sup>-1</sup> (aroma.isk.tit.), 1340-1240 cm<sup>-1</sup> (CH<sub>3</sub> eğilme), 800-690 cm<sup>-1</sup> (pirimidin isk.tit.).

<sup>1</sup> H-NMR Spektrumu : (δ=ppm)	2.38-1.88 (CH <sub>3</sub> )	4.32 (=CH)	5.31 (N-H)	7.03-7.37 (Arom.prot.)
	9.80 (enol-OH)			

<sup>13</sup>C-NMR Spektrumu : 156.81 148.68 151.20 141.04

(δ=ppm) C<sub>2</sub> C<sub>4</sub> C<sub>5</sub> C<sub>6</sub>

68.36 63.65 196.28 33.05

C<sub>8</sub> C<sub>9</sub> C<sub>10</sub> C<sub>11</sub>

16.20 205.51 110.08-134.48

C<sub>12</sub> C<sub>13</sub> (Arom.C'lar)

#### 4.6. 1-(5-Benzoil-4-fenil-2-tyyokso-1,2-dihidro-pirimidinil-amino)-1-metil-2-asetileten (ZÖ6)

0.2 g 1-Amino-5-benzoil-4-fenil-1H-pirimidin-2-tiyon (**3**) ve 0.18 g asetilaseton (1:30

mol), 0.05 g p-toluen sulfonik asit, şilifli bir balona alınır.  $\text{CaCl}_2$  kurutma başlığı takılarak,  $115^\circ\text{C}$ 'ye ayarlı etüvde 45 dk. reaksiyona sokulur. Asetilaseton rotovapordan atılır ve kalan yağımı kışım dietileter ile karıştırılır. Çöken ham ürün süzülerek, n-butanol-den kristallendirilir. Verim: % 60, Erime noktası:  $247^\circ\text{C}$ .

$\text{C}_{22}\text{H}_{19}\text{N}_3\text{O}_2\text{S}$	MA	: 389.404 g/mol				
Bileşen %	:	C	H	N	S	
Hesaplanan	:	67.85	4.91	10.79	8.22	
Bulunan	:	67.73	4.74	10.41	8.15	
IR Spektrumu	:	3600-3400 $\text{cm}^{-1}$ (N-H), 3200-3100 (aroma. C-CH), 3000 $\text{cm}^{-1}$ ( $\text{CH}_3$ ), 1720 $\text{cm}^{-1}$ (C=O), 1600 $\text{cm}^{-1}$ (C=C ve C=N), 1540-1400 $\text{cm}^{-1}$ (aroma. isk. tit.), 1220 $\text{cm}^{-1}$ (C=S), 780-680 $\text{cm}^{-1}$ (pirimidin isk. tit.).				
$^1\text{H-NMR}$ Spektrumu	:	2.14-2.49 ( $\delta$ =ppm)	4.10-4.15 ( $\text{CH}_3$ )	5.37-5.43 (=CH)	6.99-7.33 (N-H) (Arom. prot.)	

#### 4.7. 1-(5-Benzoil-4-fenil-2-okso-1,2-dihidro-pirimidinil-amino)-1-p-metilfenil-2-p-metilbenzoiletен (ZÖ7)

0.2 g 1-Amino-5-benzoil-4-fenil-1H-pirimidin-2-on (**2**) ve 0.64 g di-p-metilbenzoil metan (1:4 mol), 0.05 g p-toluen sulfonik asit, şilifli bir balonda homojen bir şekilde karıştırılır.  $\text{CaCl}_2$  kurutma başlığı takılarak,  $120^\circ\text{C}$ 'ye ayarlı etüvde, 2 saat reaksiyona sokulur. Soğutulduktan sonra dietileter ile karıştırılır. Çöken ham ürün süzülerek, n-butanol-den kristallendirilir ve desikatörde  $\text{P}_2\text{O}_5$  üzerinde desikatörde kurutulur. Verim: % 65, Erime noktası:  $284^\circ\text{C}$ .

$\text{C}_{34}\text{H}_{27}\text{N}_3\text{O}_3$	MA	: 525.22 g/mol			
Bileşen %	:	C	H	N	
Hesaplanan	:	77.69	5.17	7.99	
Bulunan	:	77.39	5.19	7.71	
IR Spektrumu	:	3400-3500 $\text{cm}^{-1}$ (N-H), 3000-3100 $\text{cm}^{-1}$ (aroma. C-CH), 2900-3000 $\text{cm}^{-1}$ (- $\text{CH}_3$ ), 1720-1650 $\text{cm}^{-1}$ (C=O), 1600 $\text{cm}^{-1}$ (C=C ve C=N), 1500-1650 $\text{cm}^{-1}$ (aroma. isk. tit.), 1160-1320 $\text{cm}^{-1}$ (Alifatik eğilme), 900-860 $\text{cm}^{-1}$ (pirimidin isk. tit.).			
$^1\text{H-NMR}$ Spektrumu	:	2.08-2.15 ( $\delta$ =ppm)	5.64-5.69 ( $\text{CH}_3$ )	5.80-5.85 (-C=CH)	6.63-7.69 (N-H) (Arom. prot.)
			8.89		

## Pir.hal-C-H

**4.8. 1-(5-Benzoil-4-fenil-2-tiyokso-1,2-dihidro-pirimidinil-amino)-1-p-metilfenil-2-p-metilbenzoiletten (ZÖ8)**

0.2 g 1-Amino-5-benzoil-4-fenil-1H-pirimidin-2-tyon (**3**) ve 0.65 g di-p-metilbenzoilmekan (1:4 mol), 0.05 g p-toluen sulfonik asit, şilifli bir balonda homojen bir şekilde karıştırılır.  $\text{CaCl}_2$  kurutma başlığı takılarak  $120^\circ\text{C}$ 'ye ayarlı etüvde 2 saat reaksiyona sokulur. Soğutulduktan sonra dietileter ile karıştırılır. Çöken ham ürün süzülerek, i-propil alkolde sıcakta yıkandır.  $\text{P}_2\text{O}_5$  üzerinde desikatörde kurutulur. Verim: % 65, Erime noktası:  $295^\circ\text{C}$ .

$\text{C}_{34}\text{H}_{27}\text{N}_3\text{O}_2\text{S}$ MA	: 541.592 g/mol				
Bileşen %	: C	H	N	S	
Hesaplanan	: 75.40	5.02	7.73	5.90	
Bulunan	: 75.56	4.80	7.56	5.60	
IR Spektrumu	: 3400-3500 $\text{cm}^{-1}$ (N-H), 3020-3100 (aroma. C-CH), 2900-3000 $\text{cm}^{-1}$ (Alifatik C-H), 1660 $\text{cm}^{-1}$ (C=O), 1600 $\text{cm}^{-1}$ (C=C ve C=N), 1520-1450 $\text{cm}^{-1}$ (aroma. isk. tit.), 1080-1240 $\text{cm}^{-1}$ (Alifatik C-H eğilme).				
$^1\text{H-NMR}$ Spektrumu : (δ=ppm)	2.22-2.27 ( $\text{CH}_3$ )	5.83-5.88 (-C=CH)	6.35-6.40 (N-H)	6.87-7.89 (Arom. prot.)	

**4.9. 1-(5-Benzoil-4-fenil-2-okso-1,2-dihidro-pirimidinil-amino)-1-p-metilfenil-2-benzoiletten (ZÖ9)**

0.2 g 1-Amino-5-benzoil-4-fenil-1H-pirimidin-2-on (**2**) ve 0.65 g p-metilbenzoil-benzoilmekan (1:4 mol), 0.05 g p-toluen sulfonik asit, şilifli bir balonda homojen bir şekilde karıştırılır.  $\text{CaCl}_2$  kurutma başlığı takılarak,  $125^\circ\text{C}$ 'ye ayarlı etüvde 3 saat ısıtılr. Soğutulduktan sonra dietileter ile karıştırılır. Çöken ham ürün süzülerek, n-butanolden kristallendirilir ve desikatörde  $\text{P}_2\text{O}_5$  üzerinde desikatörde kurutulur. Verim % 50, Erime noktası:  $293^\circ\text{C}$ .

$\text{C}_{33}\text{H}_{25}\text{N}_3\text{O}_3$ MA	: 511.229 g/mol			
Bileşen %	: C	H	N	
Hesaplanan	: 77.46	4.92	8.21	

Bulunan	: 77.45	4.75	8.07	
IR Spektrumu	: 3400-3500 cm <sup>-1</sup> (N-H), 3000-3100 (aroma. C-CH), 2900 cm <sup>-1</sup> (CH <sub>3</sub> ), 1680-1720 cm <sup>-1</sup> (C=O), 1600 cm <sup>-1</sup> (C=C ve C=N), 1500-1400 cm <sup>-1</sup> (aroma. isk.tit.), 680-800 cm <sup>-1</sup> (pirimidin hal. isk.tit.).			
<sup>1</sup> H-NMR Spektrumu : (δ=ppm)	2.07 (-CH <sub>3</sub> )	5.66-5.70 (-C=CH)	5.81-5.86 (N-H)	6.62-7.72 (Arom.prot.)
<sup>13</sup> C-NMR Spektrumu : (δ=ppm)	160.25 C <sub>2</sub>	146.64 C <sub>4</sub>	149.12 C <sub>5</sub>	143.26 C <sub>6</sub>
	196.03 C <sub>10</sub>	23.26 C <sub>17</sub>	196.97 C <sub>24</sub>	56.67-145-86 (Arom.C'lar)

#### 4.10. 1-(5-Benzoil-4-fenil-2-tiyokso-1,2-dihidro-pirimidinil-amino)-1-p-metilfenil-2-benzoiletten (ZÖ10)

0.2 g 1-Amino-5-benzoil-4-fenil-1H-pirimidin-2-tyon (**3**) ve 0.66 g p-metilbenzoil-benzoilmetan (1:4 mol), 0.05 g p-toluen sulfonik asit, şilifli bir balonda homojen bir şekilde karıştırılır. CaCl<sub>2</sub> kurutma başlığı takılarak, 125 °C'ye ayarlı etüvde 2 saat ısıtıldı. Soğutulduktan sonra, dietileter ile karıştırılır. Çöken ham ürün süzülerek, n-butanolden kristallendirilir ve desikatörde P<sub>2</sub>O<sub>5</sub> üzerinde desikatörde kurutulur. Verim: % 50, Erime noktası: 265 °C.

C <sub>33</sub> H <sub>25</sub> N <sub>3</sub> O <sub>2</sub> S MA	: 527.589 g/mol			
Bileşen %	: C	H	N	S
Hesaplanan	: 75.12	4.77	7.96	6.06
Bulunan	: 74.92	4.47	7.91	6.36
IR Spektrumu	: 3400-3500 cm <sup>-1</sup> (N-H), 3050 cm <sup>-1</sup> (aroma. C-CH), 3000 cm <sup>-1</sup> (CH <sub>3</sub> ), 1660 cm <sup>-1</sup> (C=O), 1600 cm <sup>-1</sup> (C=N), 1530-1400 cm <sup>-1</sup> (aroma.hal.isk.tit.), 1230 cm <sup>-1</sup> (C=S), 1100-1200 cm <sup>-1</sup> (Alifatik -CH <sub>3</sub> vas,vs), 800-660 cm <sup>-1</sup> (pirimidin isk.tit.).			
<sup>1</sup> H-NMR Spektrumu : (δ=ppm)	2.10 (-CH <sub>3</sub> )	5.29-5.35 (-C=CH)	5.73-5.80 (N-H)	6.69-5.95 (Arom.prot.)

#### 4.11. 5-Benzoil-1-(indan-3-on-1-iliden-amino)-4-fenil-pirimidin-2-on (ZÖ11)

0.2 g 1-Amino-5-benzoil-4-fenil-1H-pirimidin-2-on (**2**) ve 0.2 g indan-1,3-dion (1:2

mol), 0.01 ml HCl, CaCl<sub>2</sub> başlığı takılı şilifli bir balon içerisinde, etanol çözücü ortamında 48 saat, oda sıcaklığında karıştırılır. Çöken sarı ham ürün süzülerek, n-butanol-den kristallendirilir. P<sub>2</sub>O<sub>5</sub> üzerinde desikatörde kurutulur. Verim: % 40, Erime noktası: 345 °C.

C <sub>26</sub> H <sub>17</sub> N <sub>3</sub> O <sub>3</sub>	MA	: 419.319 g/mol			
Bileşen %		: C	H	N	
Hesaplanan		: 74.40	4.08	10.02	
Bulunan		: 74.47	4.25	9.25	
IR Spektrumu		: 3450 cm <sup>-1</sup> (karbonil overtonu), 1700 cm <sup>-1</sup> (C=O), 1590 cm <sup>-1</sup> (C=C ve C=N), 1500-1380 cm <sup>-1</sup> (aroma.hal.isk.tit.), 760-680 cm <sup>-1</sup> (pirimidin hal.isk.tit.).			
<sup>1</sup> H-NMR Spektrumu		: 2.51 (-CH <sub>2</sub> -)	7.34-7.94 (Arom.prot.)		
<sup>13</sup> C-NMR Spektrumu		: 167.50 (C <sub>2</sub> )	114.60 (C <sub>8</sub> )	110.33 (C <sub>9</sub> )	182.07 (C <sub>10</sub> )
		192.33 (C <sub>17</sub> )	123.24-147.215 (Arom.C'lar)		

#### 4.12. 5-Benzoyl-1-(indan-3-on-1-iliden-amino)-4-fenil-pirimidin-2-tiyon (ZÖ12)

0.2 g 1-Amino-5-Benzoyl-4-Fenil-1H-Pirimidin-2-tiyon (**3**) ve 0.18 g İndan- 1,3-dion (1:2 mol), 0.01 ml HCl, şilifli bir balona alınır. CaCl<sub>2</sub> kurutma başlığı takılarak etanol çözücü ortamında, oda sıcaklığında 48 saat karıştırılır. Çöken sarı ham ürün süzülerek, n-butanol-den kristallendirilir. P<sub>2</sub>O<sub>5</sub> üzerinde desikatörde kurutulur. Verim: % 40, Erime noktası: 300 °C.

C <sub>26</sub> H <sub>17</sub> N <sub>3</sub> O <sub>2</sub> S	MA	: 435.32 g/mol			
Bileşen %		: C	H	N	S
Hesaplanan		: 71.71	4.24	9.65	7.35
Bulunan		: 71.99	3.70	9.02	7.00
IR Spektrumu		: 3400 cm <sup>-1</sup> (karbonil overtonu), 1700-1660 cm <sup>-1</sup> (C=O), 1600 cm <sup>-1</sup> (C=C ve C=N), 1500-1370 cm <sup>-1</sup> (fenil), 1230 cm <sup>-1</sup> (C=S), 780-600 cm <sup>-1</sup> (pirimidin hal.isk.tit.).			
<sup>1</sup> H-NMR Spektrumu		: 2.518 (-CH <sub>2</sub> -)	7.30-7.97 (Arom.prot.)		

**4.13. N-(5-Benzoil-4-fenil-2-okso-1,2-dihidro-pirimidinil-amino)-1-etoksi-1-oksoetil-metilketimin (ZÖ13)**

0.2 g 1-Amino-5-benzoil-4-fenil-1H-pirimidin-2-on (**2**) ve 1 ml etilasetoasetat (1:14 mol), 0.05 g p-toluen sulfonik asit, şilifli bir balon içerisinde,  $\text{CaCl}_2$  kurutma başlığı takılarak 130 °C'ye ayarlı etüvde 2 saat reaksiyona sokulur. Etilasetoasetatin fazlası rotavapordan atılır. Geriye kalan yağımış ürün dietileter ile karıştırılır. Çöken beyaz ham ürün süzülerek, n-butanolden kristallendirilir ve desikatörde  $\text{P}_2\text{O}_5$  üzerinde kurutulur. Verim: % 70, Erime noktası: 260 °C.

$\text{C}_{23}\text{H}_{21}\text{N}_3\text{O}_4$ MA	: 557.589 g/mol			
Bileşen %	: C H N			
Hesaplanan	: 68.47 5.24 10.40			
Bulunan	: 68.70 4.90 10.73			
IR Spektrumu	: 3500-3400 $\text{cm}^{-1}$ (karbonil overtonu), 3000-3150 (alifatik ve aromatik C-H), 1720-1680 $\text{cm}^{-1}$ (C=O), 1590 $\text{cm}^{-1}$ (C=C ve C=N), 1500-1400 $\text{cm}^{-1}$ (fenil), 1100-1200 $\text{cm}^{-1}$ (alifatik C-H eğilmesi), 800-640 $\text{cm}^{-1}$ (pirimidin hal.isk.tit.).			
$^1\text{H-NMR}$ Spektrumu : (δ=ppm)	0.77-0.84 (-OCH <sub>2</sub> -CH <sub>3</sub> )	3.70-3.90 (-OCH <sub>2</sub> -CH <sub>3</sub> )	2.46 (-CH <sub>3</sub> )	3.35 (-CH <sub>2</sub> )
		7.32-7.76		
		(Arom.prot.)		
$^{13}\text{C-NMR}$ Spektrumu : (δ=ppm)	163.81 C <sub>2</sub>	145.87 C <sub>8</sub>	61.23 C <sub>9</sub>	156.32 C <sub>10</sub>
	61.23 C <sub>11</sub>	15.24 C <sub>12</sub>	15.77 C <sub>13</sub>	192.74 C <sub>14</sub>
	129.75-144.82 (Arom.C'lar)			

**4.14. N-(5-Benzoil-4-fenil-2-tiyokso-1,2-dihidro-pirimidinil-amino)-1-etoksi-1-okso-ethylmetilketimin (ZÖ14)**

0.2 g 1-Amino-5-benzoil-4-fenil-1H-pirimidin-2-tiyon (**3**) ve 1 ml etilasetoasetat (1:14 mol), 0.05 g p-toluen sulfonik asit, şilifli bir balon içerisinde alınır.  $\text{CaCl}_2$  kurutma başlığı takılarak, 135 °C'ye ayarlı etüvde 2 saat reaksiyona sokulur. Etilasetoasetatin fazlası

rotovapordan atılır. Geriye kalan yağımısı ürün dietieter ile karıştırılır. Çöken sarı ham ürün n-butanolden kristallendirilir ve desikatörde  $P_2O_5$  üzerinde kurutulur. Verim: % 60, Erime noktası: 248 °C.

$C_{23}H_{21}N_3O_3S$ MA	: 419.424 g/mol			
Bileşen %	: C	H	N	S
Hesaplanan	: 65.87	5.01	10.00	7.63
Bulunan	: 65.72	4.91	9.63	7.91
IR Spektrumu	: 3500-3400 $\text{cm}^{-1}$ (karbonil overtonu), 3100 $\text{cm}^{-1}$ (aromatik C-H), 3000-2900 $\text{cm}^{-1}$ (alifatik C-H), 1730-1650 $\text{cm}^{-1}$ (C=O), 1620- $\text{cm}^{-1}$ (C=C ve C=N), 1540-1420 $\text{cm}^{-1}$ (aroma.hal.isk.tit.), 1160-1090 $\text{cm}^{-1}$ (alifatik C-H eğilme tit.), 1230 $\text{cm}^{-1}$ (C=S), 800-700 $\text{cm}^{-1}$ (pirimidin hal.isk.tit.).			
$^1\text{H-NMR}$ Spektrumu : (δ=ppm)	1.29 (-OCH <sub>2</sub> -CH <sub>3</sub> )	4.30 (-OCH <sub>2</sub> -CH <sub>3</sub> )	2.07 (-CH <sub>3</sub> )	3.36 (-CH <sub>2</sub> -)
	7.02-7.38			
	(Arom.prot.)			

#### 4.15. N-(5-Benzoil-4-fenil-2-okso-1,2-dihidro-pirimidinil) ftalimid (ZÖ15)

0.2 g 1-Amino-5-benzoil-4-fenil-1H-pirimidin-2-on (**2**) ve 1.6 g ftalanhidrit (1:32 mol) şıllıfli bir balonda homojen bir şekilde karıştırılır.  $\text{CaCl}_2$  kurutma başlığı takılarak 190 °C'ye ayarlı etüvde 1 saat direk reaksiyona sokulur. Soğutuluktan sonra dietileter ile karıştırılır. Çöken beyaz ham ürün süzülerek, n-butanolden kristallendirilir ve desikatörde  $P_2O_5$  üzerinde kurutulur. Verim: % 70, Erime noktası: 326 °C.

$C_{25}H_{15}N_3O_4$ MA	: 421.297 g/mol			
Bileşen %	: C	H	N	
Hesaplanan	: 71.25	3.58	9.97	
Bulunan	: 71.28	3.42	10.07	
IR Spektrumu	: 3450 $\text{cm}^{-1}$ (karbonil overtonu), 3020 $\text{cm}^{-1}$ (aromatik C-CH), 1750-1690-1650 $\text{cm}^{-1}$ (C=O), 1500-1460 $\text{cm}^{-1}$ (aroma. hal. isk. tit.), 1300-1050 $\text{cm}^{-1}$ (anhidrit C-O gerilmesi), 800-700 $\text{cm}^{-1}$ (pirimidin hal.isk.tit.).			
$^1\text{H-NMR}$ Spektrumu : (δ=ppm)	7.10-8.03 (Arom.prot.)	8.99 (Pirim.halk.prot.)		

<sup>13</sup> C-NMR Spektrumu :	176.80	164.69	164.69	192.33
( $\delta$ =ppm)	C <sub>2</sub>	C <sub>8</sub>	C <sub>15</sub>	C <sub>16</sub>
	119.33-154.59			
	(Arom.C'lar)			

#### 4.16. N-(5-Benzoil-4-fenil-2-tiyokso-1,2-dihidro-pirimidinil) ftalimid (ZÖ16)

0.2 g 1-Amino-5-benzoil-4-fenil-1H-pirimidin-2-tiyon (**3**) ve 2.4 g ftalanhidrit (1:26 mol) şilifli bir balona alınır. CaCl<sub>2</sub> kurutma başlığı takılarak, 190 °C'ye ayarlı etüvde 2 saat ısınılır. Soğutulduktan sonra dietileter ile karıştırılır. Çöken sarı ham ürün süzüle rek, asetik asitte kristallendirilir ve desikatörde P<sub>2</sub>O<sub>5</sub> üzerinde kurutulur. Verim: % 70, Erime noktası: 305 °C.

C <sub>25</sub> H <sub>15</sub> N <sub>3</sub> O <sub>3</sub> S MA	:	437.298 g/mol				
Bileşen %	:	C	H	N	S	
Hesaplanan	:	68.64	3.43	9.61	7.31	
Bulunan	:	68.95	3.76	9.72	6.06	
IR Spektrumu	:	3500-3400 cm <sup>-1</sup> (karbonil overtonu), 3000 cm <sup>-1</sup> (aromatik C-CH), 1740-1680 cm <sup>-1</sup> (C=O), 1600 cm <sup>-1</sup> (C=C ve C=N), 1500-1420 cm <sup>-1</sup> (aroma.hal.isk.tit.), 1300-1200 cm <sup>-1</sup> (anhidrit C-O gerilmesi), 700-660 cm <sup>-1</sup> (pirimidin hal.isk.tit.).				
<sup>1</sup> H-NMR Spektrumu	:	7.15-7.96				
( $\delta$ =ppm)		(Arom.prot.)				

#### 4.17. N-(5-Benzoil-2-okso-4-fenil-1,2-dihidro-pirimidin-1-il) asetamid (ZÖ17)

A. 0.2 g 1-Amino-5-benzoil-4-fenil-1H-pirimidin-2-on (**2**) ve 3 ml asetanhidrit şilifli bir balona alınır. CaCl<sub>2</sub> kurutma başlığı takılarak 0 °C'de (buz banyosunda) 3-4 saat karıştırılır. Asetanhidritin fazlası rotavapordan atılır. Soğutulduktan sonra dietileter ile karıştırılır. Çöken beyaz ham ürün süzülerek saf su ile yıkılır. n-Butanolden kristallendirilir ve desikatörde P<sub>2</sub>O<sub>5</sub> üzerinde kurutulur. Verim: % 60, Erime noktası: 280 °C.

B. 0.2 g 1-Amino-5-benzoil-4-fenil-1H-pirimidin-2-on (**2**) ve 0.2 ml asetilklorür (1:3 mol oranlarında, şilifli bir balona alınır. Üzerine 1g CH<sub>3</sub>COONa ve 2 ml su ilave edilir. Asetonitril çözücü ortamında, balona CaCl<sub>2</sub> kurutma başlığı takılarak, oda sıcaklığında

24 saat karıştırılır. Çözücü rotovapordan atılır, yağımış ürün üzerine dietileter ilave edilir. Çöken ham ürün süzülür ve saf su ile yıkılır. Etil alkolden kristallendirilir. Desikatörde  $P_2O_5$  üzerinde kurutulur. Verim: % 50, Erime noktası:  $280^{\circ}C$ .

$C_{19}H_{15}N_3O_3$	MA	: 333.117 g/mol	
Bileşen %	:	C	H
Hesaplanan	:	68.46	4.50
Bulunan	:	68.51	4.68
IR Spektrumu	: $3200\text{ cm}^{-1}$ (N-H), $3020\text{ cm}^{-1}$ ( $CH_3$ ), $1730\text{-}1660\text{ cm}^{-1}$ ( $C=O$ ), $1610\text{-}1590\text{ cm}^{-1}$ ( $C=C$ ve $C=N$ ), $1500\text{-}1450\text{ cm}^{-1}$ (Arom.isk. tit.), $1320\text{ cm}^{-1}$ (- $CH_3$ eğilme), $800\text{-}670\text{ cm}^{-1}$ (pirimidin hal. isk. tit.).		

#### 4.18. 1-(5-Benzoil-2-okso-4-fenil-1,2-dihidro-pirimidinil-1-il)-3-fenil-tiyoüre (ZÖ18)

0.2 g 1-Amino-5-benzoil-4-fenil-1H-pirimidin-2-on (**2**) ve 2 ml fenilizotiyosianat (1:25 mol) şilifli bir balona alınır.  $CaCl_2$  kurutma başlığı takılarak,  $100^{\circ}C$ 'ye ayarlı etüvde 3 saat direk reaksiyona sokulur. Soğutuluktan sonra mutlak eter ile karıştırılır. Çöken sarı ham ürün n-Butanol'den kristallendirilir ve desikatörde  $P_2O_5$  üzerinde kurutulur. Ve rim: % 60, Erime noktası:  $230^{\circ}C$

$C_{24}H_{18}N_4O_2S_1$	MA	: 557.589 g/mol		
Bileşen %	:	C	H	N
Hesaplanan	:	67.60	4.25	13.13
Bulunan	:	67.74	4.09	12.88
IR Spektrumu	: $3250\text{ cm}^{-1}$ (-N-H), $3050\text{ cm}^{-1}$ (aromatik C-H), $1690\text{ cm}^{-1}$ ( $C=O$ ), $1600\text{ cm}^{-1}$ ( $C=C$ ve $C=N$ ), $1500\text{-}1350\text{ cm}^{-1}$ (Fenil grub.), $1240\text{ cm}^{-1}$ ( $C=S$ ), $740\text{-}660\text{ cm}^{-1}$ (pirimidin hal. isk. tit.).			S 7.51
$^1H$ -NMR Spektrumu	:	7.04-8.50	8.59	(Arom.prot.) (Pirim.hal.prot.)
( $\delta$ =ppm)				

#### 4.19. 1-(5-Benzoil-2-okso-4-fenil-1,2-dihidro-pirimidin-1-il)-3-p-metilfenil-tiyoüre (ZÖ19)

0.2 g 1-Amino-5-benzoil-4-fenil-1H-pirimidin-2-on (**2**) ve 2 ml 4-metilfenil izotiyosianat (1:20 mol) şilifli bir balona alınır.  $CaCl_2$  kurutma başlığı takılarak,  $130^{\circ}C$ 'ye ayarlı etüvde 2 saat direkt reaksiyona sokulur. Soğutuluktan sonra dietileter ile karıştırılır.

Çöken beyaz ham ürün n-butanolden kristallendirilir. Verim: % 60, Erime noktası: 348 °C.

$C_{25}H_{20}N_4O_2S$  MA : 440 g/mol

Bileşen %	C	H	N	S
Hesaplanan	68.18	4.50	12.72	7.27
Bulunan	67.90	4.23	12.20	7.11
IR Spektrumu	: $3200\text{ cm}^{-1}$ (-N-H), $3050\text{ cm}^{-1}$ (aroma. C-CH), $2800\text{ cm}^{-1}$ ( $CH_3$ ), $1750\text{ cm}^{-1}$ (C=O), $1590\text{ cm}^{-1}$ (C=C ve C=N), $1580-1440\text{ cm}^{-1}$ (Fenil grub.), $1340-1280\text{ cm}^{-1}$ (alifatik C-H eğilme tit.), $850-700\text{ cm}^{-1}$ (pirimidin hal.isk.tit.).			
$^1H$ -NMR Spektrumu : ( $\delta$ =ppm)	2.30 (- $CH_3$ )	7.11-7.60 (Arom.prot.)	10.78 (N-NH)	
$^{13}C$ -NMR Spektrumu : ( $\delta$ =ppm)	169.55 $C_2$ 139.68 $C_8$	160.04 $C_4$ 22.23 $C_{16}$	160.54 $C_5$ 193.59 $C_{17}$	150.12 $C_6$ 110.18-138.56 (Arom.C'lar)

#### 4.20. 1-(5-Benzoil-2-tiyokso-4-fenil-1,2-dihidro-pirimidin-1-il)-3-p-metilfenil-karbo-diimid (ZÖ20)

0.2 g 1-Amino-5-benzoil-5-fenil-1H-pirimidin-2-tiyon (3) ve 2 ml p-metilfenil izotiyositanat (1:20 mol) şilifli bir balona alınır.  $CaCl_2$  kurutma başlığı takılarak 135 °C'ye ayarlı etüvde 2 saat direk reaksiyona sokulur. Soğutuluktan sonra dietileter ile karıştırılır. Çöken sarı ham ürün n-butanolden kristallendirilir. Verim: % 60, Erime noktası: 268 °C.

$C_{25}H_{18}N_4OS$  MA : 422.165 g/mol

Bileşen %	C	H	N	S
Hesaplanan	71.09	4.26	13.27	7.58
Bulunan	71.12	4.34	13.14	7.19
IR Spektrumu	: $3500-3400\text{ cm}^{-1}$ (karbonil overtonu ve çakışık aromatik C-H), $2900\text{ cm}^{-1}$ ( $CH_3$ ), $1660\text{ cm}^{-1}$ (C=O), $1600-1620\text{ cm}^{-1}$ (C=C ve C=N), $1500-1400\text{ cm}^{-1}$ (aroma.hal.isk.tit.), $1250\text{ cm}^{-1}$ (C=S), $680-820\text{ cm}^{-1}$ (pirimidin hal.isk.tit.).			
$^1H$ -NMR Spektrumu : ( $\delta$ =ppm)	2.44 ( $CH_3$ )	7.32-7.89 (Arom.prot.)		

<sup>13</sup> C-NMR Spektrumu :	22.67	193.62	177.17	126.83-149.27
(δ=ppm)	CH <sub>3</sub>	C <sub>17</sub>	C <sub>8</sub>	(Arom.C'lar)

**4.21. 2,8-Dibenzoil-3,9-difenil-bis[1,3] diazino [2,3-b; 2',3'-e] [1,2,4,5] tetrazin (ZÖ21)**

0.2 g 1-Amino-5-benzoil-4-fenil-1H-pirimidin-2-on (**2**) ve 2 ml fenil izotiyositanat (1:25 mol) şilifli bir balona alınır. CaCl<sub>2</sub> kurutma başlığı takılarak 135 °C'ye ayarlı etüvde 2 saat direk reaksiyona sokulur. Soğutulduktan sonra dietileter ile karıştırılır. Çöken sarı ham ürün n-butanolden kristallendirilir. Verim: % 60, Erime noktası: 325 °C.

C <sub>34</sub> H <sub>22</sub> N <sub>6</sub> O <sub>2</sub> MA	:	546.562 g/mol		
Bileşen %	:	C	H	N
Hesaplanan	:	74.71	4.05	15.37
Bulunan	:	75.00	4.30	15.60
IR Spektrumu	:	3400-3500 cm <sup>-1</sup> (karbonil overtonu), 3000-3050 (aroma. C-H), 1650 cm <sup>-1</sup> (C=O), 1600-1560 cm <sup>-1</sup> (C=C ve C=N), 1500-1400 cm <sup>-1</sup> (aroma. isk.tit.), 840-680 cm <sup>-1</sup> (pirimidin hal. isk.tit.).		
<sup>1</sup> H-NMR Spektrumu	:	6.93-7.86	9.45	
(δ=ppm)		(Arom.prot.)	(Pirim.C=CH)	
<sup>13</sup> C-NMR Spektrumu	:	194.44	119.11-166.71	
(δ=ppm)		(C=O)	(Arom.C'lar)	

**4.22. N-(5-Benzoil-4-fenil-2-okso-pirimidinil)-1,3-difenil-2-etenilketimin (ZÖ22)**

0.2 g 1-Amino-5-benzoil-4-fenil-1H-pirimidin-2-on (**2**) ve 0.4 g benzalasetofenon (1:3 mol), 0.05 g p-toluen sulfonik asit, şilifli bir balonda homojen bir şekilde karıştırılır. CaCl<sub>2</sub> kurutma başlığı takılarak, 120 °C'ye ayarlı etüvde 5 saat direk reaksiyona sokulur. Soğutulduktan sonra dietileter ile karıştırılır. Çöken sarı ham ürün szüleerek, n-butanolden kristallendirilir ve desikatörde P<sub>2</sub>O<sub>5</sub> üzerinde kurutulur. Verim: % 30, Erime noktası: 190 °C.

C <sub>32</sub> H <sub>23</sub> N <sub>3</sub> O <sub>2</sub> MA	:	481.519 g/mol		
Bileşen %	:	C	H	N
Hesaplanan	:	79.82	4.64	8.93

Bulunan	: 79.68	4.64	8.93
IR Spektrumu	: 3500-3400 cm <sup>-1</sup> (karbonil overtonu), 3000 cm <sup>-1</sup> (aroma. C-H), 1730 cm <sup>-1</sup> (C=O), 1650-1600 cm <sup>-1</sup> (C=C ve C=N), 780-680 cm <sup>-1</sup> (pirimidin hal.isk.tit.).		
<sup>1</sup> H-NMR Spektrumu : (δ=ppm)	3.44-3.94 (-CH=CH)	6.58-7.82	(Arom.prot.)

**4.23. 3-(5-Benzoil-4-fenil-2-okso-1,2-dihidro-pirimidinil-amino)-3-imino-proponik asit (ZÖ23)**

0.2 g 1-Amino-5-Benzoil-5-Fenil-1H-Pirimidin-2-on (**2**) ve 0.2 g Siyanoasetik asit (1:4 mol) şilifli bir balona alınır. Benzen ortamında 10 saat kaynatılır. Çözücü rotovapordan atılır ve mutlak eter ile karıştırılır. Çöken sarı ham ürün süzülerek, sıcak petrol eterinden yıkınır. P<sub>2</sub>O<sub>5</sub> üzerinde desikatörde kurutulur. Verim: % 50, Erime noktası: 250 °C.

C <sub>20</sub> H <sub>16</sub> O <sub>4</sub> N <sub>3</sub> MA	: 376.22 g/mol		
Bileşen %	: C	H	N
Hesaplanan	: 63.82	4.25	14.89
Bulunan	: 63.76	4.37	14.94
IR Spektrumu	: 3400-3000 cm <sup>-1</sup> (-COOH), 1720 cm <sup>-1</sup> (C=O), 1640 cm <sup>-1</sup> (C=N), 1590-1600 cm <sup>-1</sup> (N-H eğilme), 690-790 cm <sup>-1</sup> (pirimidin hal.isk.tit.).		
<sup>1</sup> H-NMR Spektrumu : (δ=ppm)	3.96 (-CH <sub>2</sub> -)	7.04-7.99	9.37 (N-H)

**4.24. 1-(5-Benzoil-4-fenil-2-okso-1,2-dihidro-pirimidinil-amino)-1,2-difenil-1-hidroksiyi-2-okso etan (ZÖ24)**

0.2 g 1-Amino-5-benzoil-4-fenil-1H-pirimidin-2-on (**2**) ve 1.32 g benzil (1:4 mol), 0.05 g p-toluen sulfonik asit, şilifli bir balonda homojen bir şekilde karıştırılır. CaCl<sub>2</sub> kurutma başlığı takılarak, 135 °C'ye ayarlı etüvde 2 saat reaksiyona sokulur. Soğutuluktan sonra dietileter ile karıştırılır. Çöken beyaz ham ürün süzülerek, n-butanolden kristalleştirilir ve desikatörde P<sub>2</sub>O<sub>5</sub> üzerinde kurutulur. Verim: % 50, Erime noktası: 248 °C.

C <sub>31</sub> H <sub>25</sub> N <sub>3</sub> O <sub>4</sub> MA	: 503.101 g/mol		
Bileşen %	: C	H	N

Hesaplanan	:	74.25	4.59	8.38
Bulunan	:	73.95	4.40	9.00

#### 4.25. N-(5-Benzoil-2-okso-4-fenil-1,2-dihidro-pirimidin-1-il) benzamid (ZÖ25)

0.2 g 1-Amino-5-benzoil-4-fenil-1H-pirimidin-2-on (**2**) ve 0.3 ml benzoilklorür (1:4 mol) oranlarında şilifli bir balona alınır. Üzerine 1 g CH<sub>3</sub>COONa ve 2 ml su ilave edilir. CaCl<sub>2</sub> kurutma başlığı takılarak oda sıcaklığında 24 saat karıştırılır. Reaktiflerin fazlası rotovapordan atılır ve dietileter ile karıştırılır. Çöken beyaz ham ürün süzülür ve saf su ile yıkılır. n-Butanolden kristallendirilir ve desikatörde P<sub>2</sub>O<sub>5</sub> üzerinde kurutulur. Verim: % 70, Erime noktası: 275 °C.

C <sub>24</sub> H <sub>17</sub> N <sub>3</sub> O <sub>3</sub> MA	:	395.396 g/mol		
Bileşen %	:	C	H	N
Hesaplanan	:	72.91	4.30	10.63
Bulunan	:	72.35	4.39	10.37
IR Spektrumu	:	3200 cm <sup>-1</sup> (N-H), 3010 cm <sup>-1</sup> (Arom.C-H), 1700-1660 cm <sup>-1</sup> (C=O), 1600 cm <sup>-1</sup> (C=C ve C=N), 1480-1360 cm <sup>-1</sup> (Arom. isk. tit.), 800-680 cm <sup>-1</sup> (pirimidin hal. isk. titreşimi).		

#### 4.26. 5-Benzoil-4-fenil-1-(2-fenil-3-benzoil-4,5-diokso-pirrol-1-il)-pirimidin-2(H)-on(ZÖ26)

0.3 g 1-(5-Benzoil-4-fenil-2-okso-1,2-dihidro-pirimidinil)-1-fenil-2-benzoiletен (ZÖ1) bileşiği reaksiyon balonuna alınır. Susuz benzende çözülür. Üzerine 0.1 ml OXCl<sub>2</sub> ilave edilir. CaCl<sub>2</sub> kurutma başlığı takılarak, oda sıcaklığında 24 saat karıştırılır. Çöken beyaz ham ürün süzülerek, n-butanolden kristallendirilir. Desikatörde P<sub>2</sub>O<sub>5</sub> üzerinde kurutulur. Verim: % 50, Erime noktası: 250 °C.

C <sub>19</sub> H <sub>15</sub> N <sub>3</sub> O <sub>3</sub> MA	:	551.981 g/mol		
Bileşen %	:	C	H	N
Hesaplanan	:	73.92	4.80	7.65
Bulunan	:	73.85	3.92	7.54
IR Spektrumu	:	2980 cm <sup>-1</sup> (aroma.C-H), 1720-1660 cm <sup>-1</sup> (C=O), 1620 cm <sup>-1</sup> (C=C ve C=N), 1500-1340 cm <sup>-1</sup> (Arom. isk. tit.).		

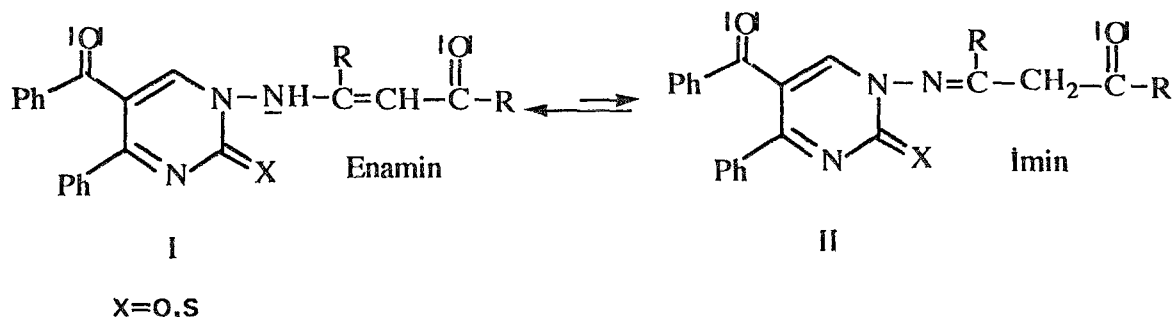
## BÖLÜM V

### 5. TARTIŞMA VE SONUÇ

Çalışmamızda **(2)** ve **(3)** bileşiklerinde amino grubunun 1,3-dikarbonil bileşikleri ile nükleofilik katılma-kondenzasyon reaksiyonları yapılmıştır. 1,3-dikarbonil bileşikleri olarak, dibenzoilmetan, di-(p-metoksibenzoil)metan, asetilaseton, di-(p-metilbenzoil)metan, p-metilbenzoil-benzoilmetan, indan-1,3-dion, etilasetoasetat, ftalanhidrit, asetanhidrit kullanılmıştır. Ayrıca **(2)** ve **(3)** bileşiklerinin, fenilizotiyosiyanat, p-metil-fenilizotiyosiyanat, benzalasetefanon, siyanoasetikasit, asetilklorür, benzoilklorür, benzil ve benzoin bileşikleriyle de reaksiyonları incelenmiştir.

**(2)** ve **(3)** bileşiklerinin 1,3-dikarbonil bileşikleri ile reaksiyonları yapılarak, yeni bileşikler sentezlenmiştir. Sentezi gerçekleştirilen bileşiklerin yapısı elementel analiz, IR,  $^1\text{H-NMR}$ ,  $^{13}\text{C-NMR}$  spektrum yorumları, erime noktası ve TLC metodu ile doğrulanmıştır. **(2)** ve **(3)** bileşiklerinin bu reaktiflerle olan etkileşmeleri direk reaksiyonlar şeklinde olup, ürünler % 40 - 70 verimle elde edilmiştir. Bu reaksiyonlar çözelti ortamlarında da denenmiştir. **(2)** ve **(3)** bileşiklerinin direk reaksiyonlarında sürenin  $1/2$  - 4 saat arasında değiştiği gözlenmiştir. Fakat aynı reaksiyonların çözücü ortamında 9 - 10 saat'te gerçekleştiği görülmüştür. Genel olarak reaksiyonlarda **(3)** bileşiginin **(2)** bileşigiden daha uzun sürede reaksiyon vermiştir. Bunun sebebi kükürt atomunun oksijen atomundan büyük olmasından dolayı ortaya çıkan sterik engel olabilir. Ayrıca **(3)** bileşiginin erime noktasının **(2)** bileşigiden daha yüksek olması nedeniyle, **(3)** bileşiginin reaksiyonlarında, sıcaklık  $5 - 10^0 \text{ C}$  daha artırılmıştır.

Bu reaksiyonlarda, oluşan ürünlerde genellikle imin-enamin tautomerliği söz konusudur.



(ZÖ<sup>1</sup>)'den (ZÖ<sup>10</sup>)'a kadar olan bileşiklerin <sup>1</sup>H-NMR spektrumlarından bu bileşiklerin daha çok enamin formunda bulunduğu anlaşılmıştır. Enamin formunun heterokonjugate yapıda olması yönüyle bu durum doğrulanmaktadır [53].

İndan-1,3-dion, etilasetoasetat ve ftalanhidritin, (2) ve (3) bileşikleri ile reaksiyonları sonucunda ZÖ<sup>11</sup>-ZÖ<sup>16</sup> bileşikleri elde edilmiştir. İndan-1,3-dion (2) ve (3) bileşikleri ile oda sıcaklığında reaksiyon vermiştir. İndan-1,3-dionun aktif bir bileşik olması ve ısiya karşı hassas olması sebebiyle, reaksiyon oda sıcaklığında süre uzatılarak yapılmaya çalışılmış ve sonuç alınmıştır. Elde edilen ürünün imin formunda bulunduğu <sup>1</sup>H-NMR spektrumundan anlaşılmıştır. Bu bileşiklerde de imin formunda heterokonjugate yapı söz konusudur.

Etilasetoasetat ile (2) ve (3) bileşiklerinin reaksiyonu sonucu elde edilen ZÖ<sup>13</sup> ve ZÖ<sup>14</sup> bileşiklerinde ise keto-enol tautomerliği bulunduğu <sup>1</sup>H-NMR spektrumundan anlaşılmıştır ve spektrumdaki piklerin şiddetinden keto formunun enol formundan daha fazla olduğu görülmüştür.

Ftalanhidritin (2) ve (3) bileşiği ile reaksiyonu 190-195 °C'de reaktiflerin direk ısıtılması ile yapılmıştır. Bu reaksiyonun yüksek sıcaklıkta gerçekleşmesinin nedenini, reaktiflerin erime noktalarının yüksek olmasına bağlıyoruz. Bilindiği gibi anhidritler sudan etkilenen bileşiklerdir. Bundan dolayı reaksiyon susuz ortamda direkt reaksiyon şeklinde yapılmıştır. Düşük sıcaklıkta (2) bileşiği ile asetanhidritin reaksiyonu gerçekleştirilmemesine rağmen, (3) bileşiği ile asetanhidritin reaksiyon ürünü izole edilememiştir. Aynı reaksiyon yüksek sıcaklıkta yapıldığında, ortadaki aminin anhidritle tekrar reaksiyona girerek, yan ürünler oluşturduğu görülmüştür. Bu reaksiyonla ilgili çalışmalarımız devam etmektedir.

(2) bileşığının elimizde bulunan fenilizotiyosianat, p-metil-fenilizotiyosianat ile 100

$^0\text{C}$  ' de tiyoüre türevi bileşikler verdiği gözlenmiştir. Yalnız  $135\text{ }^0\text{C}$  ' de, (2) bileşiğinin fenilizotiyosiyanat ile reaksiyonundan tiyoüre türevi olmayan 2,8-dibenzoil-3,9-difenilbis[1,3] diazino [2,3-b; 2',3'-e][1,2,4,5] tetrazin (ZÖ21) sentez edilmiştir. Oluşan ürünün, (2) bileşiğinin yüksek sıcaklıkta elde edilen dimerleşme ürünü olduğu görülmüşdür. (3) bileşiğinin fenil izotiyosiyanatla reaksiyonundan tiyoüre türevi bileşikler elde edilememiş ve elde edilen ürünün daha önce elde edilen dimerleşme ürünü ile aynı yapıda olduğu görülmüştür. (3) bileşiğinin p-metil-fenilizotiyosiyanatla da reaksiyonu yapılmış olup, (ZÖ20) elde edilmiştir. (ZÖ20) bileşiği tiyoüre türevi olmayıp karbodiimid yapısında bir bileşiktir.

(2) bileşiğinin benzil ve benzoin ile direk reaksiyonları yapılmış olup her iki reaksiyonda aynı ürün elde edilmiştir. Bunun sebebi olarakta benzoinin ortamda oksidasyona uğrayarak, benzil oluşturduğu ve reaksiyonun benzil üzerinden yürüdüğü düşünülmektedir.

Yine (2) bileşiğinin, asetilklorür ve benzoilklorür ile reaksiyonları sonucu amit türevi bileşikler elde edilmiştir. (3) bileşiğinin asetilklorür ile reaksiyonundan kararlı bir ürün sentez edilememiştir. (3) bileşiğinin benzoilklorür ile reaksiyonu yapılmıştır. Fakat elde edilen ürünün, (2) bileşiğinin benzoilklorür ile reaksiyonundan elde edilen ürün ile aynı yapıda olduğu anlaşıldı. Bu durum reaksiyon mekanizmasında gösterilmiştir.

(2) bileşiğinin benzalasetofenon ile reaksiyonu yapılarak (ZÖ22) bileşiği elde edilmiştir. Reaksiyon çözelti ortamında denenmiş fakat iyi sonuç alınamamıştır. Bu nedenle direk reaksiyon yapılmıştır. Elde edilen ürünün çözünürlüğü fazla idi. (ZÖ22) bileşiğinin polar ve apolar çözücülerde çözünürlüğünün fazla olması nedeniyle, kristallendirmede güçlüklerle karşılaşıldı. Ürün % 30 verimle elde edilmiştir.

## KAYNAKLAR

- [1]. B.Altural, Y.Akçamur, E.Sarıpınar, İ.Yıldırım and G.Kollenz, Reactions of cyclic Oxalyl Compounds, Part 29 [1]: A simple Synthesis of Functionalized 1H-Pyrimidines, Monatshefte für Chemie, 120, 1015-1020, (1989).
- [2]. Y.Akçamur, B.Altural, E.Sarıpınar, G.Kollenz, O.Kappe, E.M.Peters und H.G. von Schnering, A Convenient Sythesis of Functionelized 1H-Pyrimidine-2-thiones [1], Journal of Heterocyclic Chem., 25, 1419-1422, (1988).
- [3]. B.Altural and G.Kollenz, Reactions of Cyclic Oxalyl Compounds, Part 30 [1]: Some Reactions with N-Amino-pyrimidine Derivatives, Monatshefte für Chemie, 121, 677-682, (1990).
- [4]. E.Ziegler, M.Eder, C.Belegaris und E.Prewedourakis, Synthesen von Heterocyclen, 103. Mitt: Über Reaktionen mit Oxalylchlorid, Monatsch.Chem., 98, 2249-2251, (1967).
- [5]. G.Kollenz, E.Ziegler, M.Eder und E.Prewedourakis, 149. Mitt: Über Reaktionen mit cyclischen Oxalylverbindungen, Monatsch.Chem., 101, 1597-1605, (1970).
- [6]. G.Kollenz, Über Reaktionen mit cyclischen Oxalylverbindungen, Monatsch.Chem., 103, 947-950, (1972).
- [7]. P.Bosshard and C.H.Eugster, The Development of The Chemistry of Furans, 7, 377, Academic Press, New York (1966).

- [8]. G.Kollenz, E.Ziegler, W.Ott und H.Igel, Reaktionen mit Cyclischen Oxarylverbindungen, Synthesen von Heterocyclen, 1511-1514, (1976).
- [9]. R.O.C.Norman, "Principles of Organic Synthesis", s.244 Second Ed. Chapman and Hall, London, 1978.
- [10]. E.Ziegler, G.Kollenz, T.Kappe, 127 Mitt: Über Reaktionen des Salicylsaurechlorids mit Derivaten des harnst offs und Thioharnstoffs, Monatsch.Chem., 100, 540-544, (1969).
- [11]. H.W.Winter, Doktora Çalışması. Dissertation Universität, Marburg, 1980.
- [12]. C.Wentrup, H.W.Winter, G.Gross, K.P.Netsch, G.Kollenz, W.Ott und A.G.Biedermann. Acyl-anothioacylketenes: Synthesis of 3-Benzoyl-4-phenylthiet-2-one, Angewandte Chemie., Vol.23, Nummer 10, 800-802, (1984).
- [13]. C.Wentrup and G.Kollenz,  $^{13}\text{C}$ -and  $^{17}\text{O}$ - labeling of Novel Rearrangement with Five membered 2,3-dioxo-heterocycles, Synthesis and Applications of Isotopically Labeled Compounds, 515-516, (1985).
- [14]. G.Kollenz und Y.Akçamur, Cycloaddationen Nach Thermolyse Heterocyclischer Fünf rigdionen, İst.Üniv.Fen-Fak.Mec., Seri C, 46, 59-74 (1981).
- [15]. G.Kollenz, E.Ziegler and W.Ott, Synthesis of 5-Benzoyl-6-phenyl-1,3-oxazinones, Organic Preparations and Procedures Int., 5(6), 261-264, (1973).
- [16]. E.Ziegler, G.Kollenz, G.Kriwetz und W.Ott, Reaktionen von 4-Benzoyl-5-phenyl-2,3-dion mit aliphatischen Nitrilen, Liebigs Ann.Chem., 1751-1757, (1977).
- [17]. G.Kollenz, H.Igel und E.Ziegler, Reactions of cyclic Oxaryl Compounds, 4: Syntheses of Heterocycles, CLXI., Monatsch.Chem., 103, 450-459, (1972).
- [18]. E.Ziegler, G.Kollenz and W.Ott, Reaktionen von 4-Benzoyl-2,3-dioxo-5-phenyl-2,3-dihydro-furan mit Schiffsschen Basen, Synthesis, No:11, 679-680, (1973).
- [19]. G.Kollenz, E.Ziegler, W.Ott und G.Kriwetz, Eine einfache Synthese von 5-Benzoyl-6-phenyl-1,3-dioxin-4-onen, Synthesen von Heterocyclen. 701-704, (1973).

- [20]. G.Kollenz, E.Ziegler, W.Ott und G.Kriwetz, Eine einfache Synthese von 5-Benzoyl-6-phenyl-1,3-dioxin-4-onen, *2. Naturforsch.*, 32b, 701-704, (1977).
- [21]. G.Kollenz und Y.Akçamur, Cycloadditionen an heterocyclischen Fünfring-dionen, *Ist.Üniv.Fen-Fak.Mec.*, Seri C, 46, 75-79, (1981).
- [22]. G.Kollenz, W.Ott, E.Ziegler, K.Peters, H.G.von Schnering und H.Quast, Struktur der [4+1]-Cycloaddukte aus Phenylisocyanid und 1,5-diaryl-4-benzolpyrrol-2,3-dion Und ihrer Folgeprodukte- Eine Richtigstellung, *Liebigs Ann.Chem.*, 1801-1813, (1980).
- [23]. E.Ziegler, G.Kollenz und W.Ott, Zur Reaktion von heterocyclischen Fünfring-2,3-dion mit phenylisocyanid, *Liebigs Ann.Chem.*, 1976, 2071-2082, (1976).
- [24]. G.Kollenz, W.Ott, E.Ziegler, E.M.Peters, K.Peters, H.G. von Schnering, V.Formacek und H.Quast, 1-Adukkte von Arylisocyaniden an 4-Benzoyl-5-Phenylfuran-2,3-dion und ihrer Produkte mit Nucleophilen, *Liebigs Ann.Chem.*, 1137-1164, (1984).
- [25]. G.Kollenz, G.Penn, W.Ott, K.Peters, E.M.Peters, H.G. von Schnering, Heteroanalogous Deazapurines VIA Novel 4+2 Cycloaddition Reactions of Ketenimines, *Heterocycles*, Vol:26, No:3, 625-629, (1987).
- [26]. G.Kollenz, G.Penn, W.Ott, K.Peters, E.M.Peters, H.G. von Schnering, Zur Reaktion heterocyclischer Fünfring-2,3-dione mit Carbodiimiden- Eine Synthesemöglichkeit für heteroanaloge-7-Desazoparin-systeme, *Chem.Ber.*, 117, 1310-1329, (1984).
- [27]. W.Ott, E.Terpetsching, H.Sterk, G.Kollenz, Strukturder Cycloaddukte von Alkyliminen 4, Benzoyl-5-phenylfuran-2,3-dion-eine Richtigstellung, *Synthesis*, 176-179, (1987).
- [28]. Y.Akçamur ve G.Kollenz, A Simple Synthesis of Some Novel Oxime Ethers, *Organic Prep.Proced.Int.*, 19, 52-56, (1987).
- [29]. G.Kollenz, G.Penn, G.Dolenz, Y.Akçamur, K.Peters, E.M.Peters, H.G. von Schnerring, Untersuchungen von Reaktionsmechanismen durch isotopenmarkierung, VIII, Zum Bildungsweg der Pyrrolo [2,3-d] Pyrimidine aus 4-Benzoyl-5-Phenyl-2,3-fuerendion und Arylisocyanaten, *Chem.Ber.*, 117, 1299-1309, (1984).

- [30]. W.Ott, E.Ziegler and G.Kollenz, Umsetzung von 4-Benzoyl-2,3-dioxo-5-phenyl-2,3-dihydrofuran mit o-phenylenediamin, *Synthesis*, 7, 477- 478, (1976).
- [31]. H.G.von Schnering, E.M.Peters, K.Peters, G.Kollenz, W.Ott, und E.Terpetschnig, Cyclokondensation von 4,5-Substituierten Thiophen-bzw. N-Alkylpyrrol-2,3-dionen mit o-Phenylenediamin, *Monatsh. Chem.*, Vol.119, 367-374,(1988).
- [32]. W.Ott, G.Kollenz, E.Ziegler, Synthese von Heterocyclen;182: Reactionen von 4-Benzoyl-2,3-dioxo-5-phenyl-2,3-dihydrofuran mit Schiffsschen Basen *Synthesis*, No: 7, 433-434, (1975).
- [33]. Y.Akçamur, G.Penn, E.Ziegler, H.Sterk, G.Kollenz, K.Peters, E.M.Peters und H.G. von Schnering, Zur Reaktion von 4-Benzoyl-5-phenyl-furan-2,3-dion mit Phenylhydrazonen bzw. Phenylhydrazin, *Monatsch.Chem.*, 117, 231-245, (1986).
- [34]. İ.Yıldırım, Bazı Furan ve Pirrol Türevi Visinal-Dion Bileşiklerinin Çeşitli Nükleofillerle Reaksiyonları, Bölüm 2, Doktora Tezi, Erciyes Univ., Kayseri, 1990.
- [35]. W.M.F.Fabian, G.Kollenz, Y.Akçamur, T.R.Kök, M.Tezcan, M.Akkurt und W.Hiller, Synthese von Dibenzoylacet-N-carboxyacetyliden und semiempirische Rechnungen zur Keto-Enol Tautomerie, *Monatsch.Chem.*, 123, 265-275, (1992).
- [36]. P. Molina, M.Alajarín, A.Ferao, A.Lorenzo, J.Vilaplana, E.Aller and J.Planes, Carbodiimid-Mediated Annulation of A [1,2,4] Ttriazole Ring Into A Heterocyclic Ring: Synthesis of [1,2,4] Triazolo [4,3-b]-Triazole, Imidazo [1,2-b] [1,2,4] Triazole and [1.2.4] Triazo-[1,5-d] [1,2,4] Triazine Derivatives, *Heterocyclic*, Vol.27, No:1, 161-162, (1988).
- [37]. Molina P., Alajarín M., Ferao A., Perez De Vega MA.J., Synthesis of 1,2,4-Triazolo [4,3-b] [1,2,4] Triazole Derivatives from 4-Amino-1,2,4-Triazoles and Carbodiimides or via Imino Phosphoranes and Disubstituted Thioureas., *J. Chem. Soc.*, 12, 2667-2672, (1987).
- [38]. Y.A. Ibrahim, M.M.Eid and S.A.L. Abdel-Hady, Rearrangement of 4-Aryl-1,2,4-triazine into the 4-Amino Derivatives, *J.Heterocyclic Chem.*, 17, 1733, (1980).
- [39]. Sristava V.K., Sing S., Gulati A., Shanker K., Fused Pyrimidine Derivatives, *Indian B J.Chem.*, 7, 652-656, (1987).

- [40]. P. Molina, M. Alajarin, J. Perez de Vega, and A. Lopez, Preparation of [1,2,4] Triazole [5,1- $\alpha$ ] [1,2,4] Triazine Derivatives from 3,4-Diamino [1,2,4] Triazine, Heterocycles, Vol.29, No.8, 1607-1611 (1989).
- [41]. P. Molina, A. Tarraga and C. Garcia, Preparation of Pyrazolo [1,5-a] Pyridine and [1,2,4] Triazolo [1,5-a] Pyridine Derivatives From, 1,6-Diaminopyridine-2-Thiones, Heterocycles, Vol.27, No. 3, 733-735 (1987).
- [42]. F.Sigmund und R.Uchann, Umwandlung in das Semicarbazone des Asetophenons, Monatsch., 51: 250, (1929).
- [43]. E.Campaigne, P.A.Monroe, B.Arnowine and W.L.Archer, Thiosemicarbazones of Thiophene Derivatives, Journal American Chemistry Society 75, 988, (1950).
- [44]. R.M.Silverstein, A.C.Bassler, T.C.Morrill, "Spectrometric Identification of Organic Compounds", Fourth Edition, John Wiley and Sons, N.Y., P.95-304, (1981).
- [45]. H.Willard, L.Merrit, A.Dean and E.Settle, "Instrumental Methods of Analysis", 6th Ed. D. von Nostrand Comp., New York, P.177-216 and 316-372, 1981.
- [46]. E.Erdik, "Organik Kimyada Spektroskopik Yöntemler", Gazi Büro Kitabevi, Bölüm 4-5, Ankara, 1993.
- [47]. M.Balcı, "Nükleer Manyetik Rezonans", Tur Yayın C.Ş. Atatürk Univ., Erzurum, 151-152, 1986.
- [48]. D.E.Leyden, R.H.Cox, "Analytical Application of NMR", 195-250, 1977.
- [49]. E.Erdik, M.Obalı, N.Yükselişik, A.Öktemer, T.Pekel, E.İhsanoğlu, " Denel Organik Kimya.", A.Ü.Fen-Fak Yayınları No:145, S. 572-575, Ankara, 1987.
- [50]. H.Günzler, H.Böck, "IR-Spektroskopie", Taschentext, 1975.
- [51]. N.P.Peet, S.Sunder, R.J.Barbuch and M.R.Whalon, Reinvestigation of the Condensation of 2-Hydrazinobenzothiazole with Ethyl Acetoacetate, J.Heterocyclic Chem., 25, 543, (1988).

[52]. B.Altural and G.Kollenz, Reactions of cyclic Oxaryl Compound, Part [30]: Some Reactions with N-Amino-pyrimidine Derivatues, Monatshefte für Chemie, 121, 677-682, (1990).

[53]. C.Tüzün, "Organik Kimya", Palme Yayın-Dağıtım, 188-190, Ankara, 1993.